

# **CERCETĂRI PRIVIND ECHIPAMENTE SI PROCESE ELECTROTERMICE PERFORMANTE ÎN CÂMP DE MICROUND**

Teză destinată obținerii  
titlului științific de doctor inginer  
la  
Universitatea Politehnica Timișoara  
în domeniul INGINERIE ELECTRICĂ  
de către

**Ing. Ion-Cristian Abrudean**

Conducător științific:

Referenți științifici:

prof.univ.dr.ing. Ioan Șora

m.c.acad.dr.fiz. Ladislau Vekas

prof.univ.dr.ing. Mircea Chindriș

conf.univ.dr.ing. Alexandru Hedeș

Ziua susținerii tezei: 24.10.2014

Seriile Teze de doctorat ale UPT sunt:

- |   |  |
|---|--|
| 1. Automatică                               | 9. Inginerie Mecanică                      |
| 2. Chimie                                   | 10. Știința Calculatoarelor                |
| 3. Energetică                               | 11. Știința și Ingineria Materialelor      |
| 4. Ingineria Chimică                        | 12. Ingineria sistemelor                   |
| 5. Inginerie Civilă                         | 13. Inginerie energetică                   |
| 6. Inginerie Electrică                      | 14. Calculatoare și tehnologia informației |
| 7. Inginerie Electronică și Telecomunicații | 15. Ingineria materialelor                 |
| 8. Inginerie Industrială                    | 16. Inginerie și Management                |

Universitatea Politehnica Timișoara a inițiat seriile de mai sus în scopul diseminării expertizei, cunoștințelor și rezultatelor cercetărilor întreprinse în cadrul școlii doctorale a universității. Seriile conțin, potrivit H.B.Ex.S Nr. 14 / 14.07.2006, tezele de doctorat susținute în universitate începând cu 1 octombrie 2006.

Copyright © Editura Politehnica – Timișoara, 2014

Această publicație este supusă prevederilor legii dreptului de autor. Multiplicarea acestei publicații, în mod integral sau în parte, traducerea, tipărirea, reutilizarea ilustrațiilor, expunerea, radiodifuzarea, reproducerea pe microfilme sau în orice altă formă este permisă numai cu respectarea prevederilor Legii române a dreptului de autor în vigoare și permisiunea pentru utilizare obținută în scris din partea Universității Politehnica Timișoara. Toate încălcările acestor drepturi vor fi penalizate potrivit Legii române a drepturilor de autor.

România, 300159 Timișoara, Bd. Republicii 9,  
tel. 0256 403823, fax. 0256 403221  
e-mail: editura@edipol.upt.ro

## Cuvânt înainte

Teza de doctorat a fost elaborată pe parcursul activității mele în cadrul Departamentului de Inginerie Electrică și Informatică Industrială din Facultatea de Inginerie Hunedoara a Universității Politehnica Timișoara.

Această lucrare constituie un studiu asupra echipamentelor și proceselor electrotermice în câmp de microunde. Sunt evidențiate atât aspectele teoretice, cât și modelări și simulări ale proceselor electrotermice într-un cuptor multimod. De asemenea, sunt prezentate și interpretate rezultate ale unor măsurători de parametri electrici în timpul funcționării unui cuptor cu microunde.

Timișoara, octombrie 2014

Ion-Cristian Abrudean

Autorul mulțumește conducătorului științific, domnul prof. dr. ing. Ioan Șora, pentru îndrumarea competentă și eficientă de-a lungul perioadei de elaborare a tezei.

Multe mulțumiri domnului conf. dr. ing. Caius Pănoiu pentru ideile, îndrumarea și sprijinul său, esențiale în realizarea acestei lucrări. Autorul mulțumește dnei. asist. dr. ing. Raluca Rob și dlui. conf. dr. ing. Gabriel Nicolae Popa pentru ajutorul acordat în vederea realizării măsurărilor și redactării tezei.

Autorul le mulțumește colegilor de la Facultatea de Inginerie Hunedoara care într-un fel sau altul au ajutat la punerea în practică a experimentelor din această lucrare.

De asemenea, autorul mulțumește familiei, în mod special fratelui Nicolae Liviu Abrudean, pentru sprijinul acordat.

Abrudean, Ion-Cristian

**Cercetări privind echipamente și procese electrotermice performante în câmp de microunde**

Teze de doctorat ale UPT, Seria 6, Nr. 38, Editura Politehnica, 2014, 202 pagini, 100 figuri, 4 tabele.

ISSN:1842-7022

ISBN:978-606-554-875-6

Cuvinte cheie: electrotermie, microunde, încălzire, simulare, diferențe finite, armonici, parametri electrici, C++, Java, LabView

Rezumat,

Teza constituie un studiu asupra echipamentelor și proceselor electrotermice în câmp de microunde. Sunt evidențiate atât aspectele teoretice, cât și modelări și simulări ale proceselor electrotermice într-un cuptor multimod. De asemenea, sunt prezentate și interpretate rezultate ale unor măsurători de parametri electrici în timpul funcționării unui cuptor cu microunde. În urma studiului realizat asupra cuptoarelor multimod cu cavitate rezonantă au rezultat modele matematice și programe de simulare validate experimental, care au permis determinarea unor caracteristici extrem de dificil de obținut altfel. A fost analizată funcționarea cuptoarelor de serie din punct de vedere electric și a fost concepută o metodă de reglaj continuu a puterii bazată în cea mai mare parte pe componente ieftine, fabricate în serie mare. Această metodă a fost verificată prin simulări.

## CUPRINS

Liste de tabele și figuri .....	7
1. Introducere .....	10
1.1. Încălzirea volumetrică prin mijloace electrice.....	10
1.2. Evoluția sistemelor de încălzire cu microunde .....	13
1.3. Stadiul actual .....	15
2. Încălzirea în câmp de microunde.....	17
2.1. Unde electromagnetice .....	17
2.1.1. Ecuațiile de bază ale câmpului electromagnetic. Unda plană.....	17
2.1.2. Reflexia și refracția pe o frontieră plană.....	20
2.2. Câmpul electric în medii dielectrice .....	23
2.2.1. Polarizarea dielectricilor în câmpul electric .....	23
2.2.2. Constanta dielectrică complexă.....	27
2.2.3. Ecuația încălzirii dielectricului .....	30
2.2.4. Dependența de temperatură și umiditate a proprietăților dielectrice .	30
2.2.5. Adâncimea de penetrare.....	36
2.3. Limitări ale densității de putere disipată.....	37
2.3.1. Limitări termice .....	38
2.3.2. Străpungerea dielectrică și producerea de arc electric .....	38
2.3.3. Ambalarea termică.....	40
3. Câmpul electromagnetic în structurile de microunde.....	41
3.1. Propagarea undelor într-un ghid dreptunghiular.....	42
3.1.1. Lungimea de undă de tăiere.....	43
3.1.2. Lungimea de undă a ghidului.....	44
3.1.3. Vitezele de propagare a undelor .....	45
3.2. Moduri de linie de transmisie .....	46
3.2.1. Componentele de câmp pentru un mod de linie de transmisie .....	47
3.2.2. Condiții de existență a modului linie de transmisie.....	48
3.3. Moduri de ghid .....	48
3.4. Ghidul de undă dreptunghiular.....	50
3.4.1. Soluțiile ecuațiilor propagării în ghid dreptunghiular .....	50
3.4.2. Condiții de tăiere .....	51
3.4.3. Condiții de frontieră ale ghidului .....	52
3.4.4. Componentele de câmp ale unde în ghid. Moduri de ghid .....	53
3.5. Pierderi în pereți conductori.....	59
3.6. Cavități rezonante.....	60
3.6.1. Moduri de oscilație într-o cavitate .....	62
3.6.2. Cavitatea paralelipipedică. Metoda reflexiilor. ....	63
3.6.3. Parametrii cavităților rezonante .....	66
3.6.4. Perturbațiile cavității rezonante .....	67
3.7. Aplicatoare electromagnetice.....	70
3.7.1. Aplicatoare cu undă mobilă .....	70
3.7.2. Aplicatorul monomod .....	73
3.7.3. Aplicator cu două cavități.....	74
3.7.4. Aplicatorul multimod .....	74
3.8. Elemente specifice circuitelor de transmisie a energiei de microunde .....	76
3.8.1. Ghiduri de undă rectangulare și curbe .....	76
3.8.2. Circulatoare .....	77
4. Modelarea și simularea proceselor electrotermice într-un cuptor multimod .....	79
4.1. Generalități .....	79

4.2. Discretizarea spațială .....	79
4.3. Diferențierea numerică .....	81
4.4. Discretizarea spațio-temporală a ecuațiilor lui Maxwell.....	84
4.4.1. Algoritmul lui Yee .....	86
4.5. Modelarea proceselor termodinamice.....	89
4.5.1. Modelarea prin metoda diferențelor finite.....	90
4.5.2. Stabilitatea modelului cu diferențe finite .....	93
4.6. Câmpul electromagnetic cuplat cu cel termic într-un cuptor multimod .....	94
4.6.1. Discretizarea spațială .....	95
4.6.2. Funcționarea simulării .....	96
4.6.3. Rezultate și interpretare .....	97
4.7. Validarea experimentală a modelului .....	105
4.8. Concluzii .....	109
5. Soluții constructive pentru partea electrică a unui cuptor multimod .....	110
5.1. Caracteristici ale regimului periodic nesinusoidal .....	110
5.1.1. Integrarea numerică .....	112
5.1.2. Limitări impuse prin reglementări europene .....	114
5.2. Circuitul electric al cuptoarelor comune.....	115
5.2.1. Caracteristici electrice .....	115
5.2.2. Calculul parametrilor magnetronului.....	126
5.3. Simularea funcționării cuptorului.....	127
6. Concluzii și contribuții personale .....	141
Bibliografie.....	143
ANEXE.....	146

## Liste de tabele și figuri

	Pag.
<b>Tabel 1.1</b> Benzile de frecvențe ISM	13
<b>Tabel 3.1</b> Dimensiuni standardizate pentru ghiduri de undă la 2,45GHz	77
<b>Tabel 5.1</b> Curenții armonici maximi conform EN 61000-3-2:2006+A1+A2	114
<b>Tabel 5.2</b> Variația parametrilor electrici la modificarea unghiului de comandă	140
	Pag.
<b>Fig. 1.1</b> Spectrul electromagnetic	12
<b>Fig. 2.1</b> Undă electromagnetică plană în perspectivă	19
<b>Fig. 2.2</b> Câmpul electric la frontieră	21
<b>Fig. 2.3</b> Câmpul magnetic la frontieră	21
<b>Fig. 2.4</b> Undă parțial reflectată	22
<b>Fig. 2.5</b> Diagrama fazorială a vectorului polarizație P și a intensității câmpului electric E	25
<b>Fig. 2.6</b> Diagrama fazorială a densității curentului total indus într-un dielectric	29
<b>Fig. 2.7</b> Factorul de pierderi efectiv al unui material dielectric neomogen în funcție de frecvență, (b) – relaxarea apei legate, (w) – relaxarea apei libere, (mw) – pierderi Maxwell-Wagner și (c) – pierderi prin conducție	31
<b>Fig. 2.8</b> Factorul efectiv de pierderi în funcție de umiditate pentru orientări diferite ale câmpului electric	32
<b>Fig. 2.9</b> Efectele frecvenței și temperaturii asupra proprietăților dielectrice ale apei pure și soluțiilor saline	33
<b>Fig. 2.10</b> Proprietățile electrice ale hârtiei și scândurii în funcție de conținutul de apă la 2450 MHz	33
<b>Fig. 2.11</b> Valorile $\epsilon'_{eff}$ și $\epsilon''_{eff}$ în funcție de umiditate la lemnul de brad Douglas	34
<b>Fig. 2.12</b> Valorile $\epsilon'_{eff}$ și $\epsilon''_{eff}$ în funcție de umiditate la lemnul de brad Douglas	35
<b>Fig. 2.13</b> Valorile $\epsilon'_{eff}$ și $\epsilon''_{eff}$ în funcție de umiditate la lemnul de brad Douglas (grafice în perspectivă tridimensională)	36
<b>Fig. 2.14</b> Rigiditatea dielectrică a aerului la presiune mică	39
<b>Fig. 2.15</b> Rigiditatea dielectrică a vaporilor de apă la presiune mică	39
<b>Fig. 3.1</b> Ghid de undă cu plăci plane paralele	41
<b>Fig. 3.2</b> Metoda imaginilor	42
<b>Fig. 3.3</b> Propagarea undelor în ghid	42
<b>Fig. 3.4</b> Ghid de undă cu plăci plane paralele	43
<b>Fig. 3.5</b> Viteza de grup	45
<b>Fig. 3.6</b> Ghid de undă cu plăci curbate	46
<b>Fig. 3.7</b> Ghid de undă coaxial	46
<b>Fig. 3.8</b> Aspectul liniilor de câmp pentru o linie bifilară	47
<b>Fig. 3.9</b> Ghid de undă dreptunghiular	50
<b>Fig. 3.10</b> a) Câmpul electric în ghidul de undă pentru o valoare z oarecare. b) Componenta transversală a câmpului magnetic de a lungul axei z.	57
<b>Fig. 3.11</b> Dependența câmpului electric de coordonata z	58
<b>Fig. 3.12</b> Modurile $TE_{11}$ , $TM_{11}$ și $TM_{21}$	58

<b>Fig. 3.13</b> Componentele câmpului în semispațiul conductor	59
<b>Fig. 3.14</b> Cavități rezonante care provin dintr-un ghid uniform	60
<b>Fig. 3.15</b> Condensator plan	60
<b>Fig. 3.16</b> Funcții Bessel	61
<b>Fig. 3.17</b> Distribuția câmpului electric între armăturile condensatorului	61
<b>Fig. 3.18</b> Cavitare cilindrică	61
<b>Fig. 3.19</b> Distribuția câmpului electromagnetic în cavitate	62
<b>Fig. 3.20</b> Întreținerea oscilațiilor electromagnetice	62
<b>Fig. 3.21</b> Moduri de oscilație în cavitatea cilindrică	63
<b>Fig. 3.22</b> Cavitatea paralelipipedică	63
<b>Fig. 3.23</b> Componentele câmpului electromagnetic în cavitatea paralelipipedică	64
<b>Fig. 3.24</b> Câmpul electromagnetic într-o cavitate paralelipipedică cu mod de oscilație $TEM_1$ ( $H_{101}$ )	66
<b>Fig. 3.25</b> Cavitate rezonantă inițială și deformată	68
<b>Fig. 3.26</b> Cavitate rezonantă inițială și perturbată	69
<b>Fig. 3.27</b> Componentele câmpului electromagnetic și vectorul Poynting	70
<b>Fig. 3.28</b> Aplicator axial cu unda mobilă	71
<b>Fig. 3.29</b> Aplicator în formă de serpentină	72
<b>Fig. 3.30</b> Variația intensității câmpului electric într-un aplicator cu opt serpentine	72
<b>Fig. 3.31</b> Aplicator de tip serpentină cu două generatoare de microunde	73
<b>Fig. 3.32</b> Variația câmpului electric în cavitatea paralelipipedică	73
<b>Fig. 3.33</b> Aplicator cu două cavități	74
<b>Fig. 3.34</b> Aplicator multimod rectangular	76
<b>Fig. 3.35</b> Circulator cu patru intrări	77
<b>Fig. 3.36</b> Prezentarea schematică a modului de transmisie a energiei	78
<b>Fig. 4.1</b> Disponibilitatea nodurilor rețelei de discretizare spațială la intersecția curbilor de coordonate constante a) sau în poziții oarecare b)	79
<b>Fig. 4.2</b> Rețea de elemente dreptunghiulare a), înclinate b), circulare c) și triunghiulare d)	80
<b>Fig. 4.3</b> Exemple de discretizare spațială cu pas variabil	80
<b>Fig. 4.4</b> Domeniu poligonal specific liniilor cu două conductoare	81
<b>Fig. 4.5</b> Moduri de aproximare a derivatei unei funcții $f(x)$	82
<b>Fig. 4.6</b> Selecții de puncte posibile la operatori cu diferențe finite	83
<b>Fig. 4.7</b> Celula Yee	86
<b>Fig. 4.8</b> Succesiunea prelucrării datelor prin MDFDT	88
<b>Fig. 4.9</b> Dependența $H(t)$ pentru apa pură în jurul punctului de topire	89
<b>Fig. 4.10</b> Geometria cuprătorului simulat	95
<b>Fig. 4.11</b> Regim tranzitoriu, $n = 500$	97
<b>Fig. 4.12</b> Regim tranzitoriu, $n = 1000$	98
<b>Fig. 4.13</b> Regim staționar, $n = 5000$	98
<b>Fig. 4.14</b> Regim tranzitoriu, $n = 500$	99
<b>Fig. 4.15</b> Regim staționar, $n = 5000$	99
<b>Fig. 4.16</b> Regim staționar în sarcină	100
<b>Fig. 4.17</b> Regim staționar cu sarcină mică	100
<b>Fig. 4.18</b> Temperatura în funcție de timp și coordonata $z$ pentru $x=y=0$	101
<b>Fig. 4.19</b> Temperatura în funcție de coordonatele $x$ și $y$ pentru $z=1$ la momentul final	101
<b>Fig. 4.20</b> Temperatura în funcție de timp și coordonata $z$ pentru $x=y=0,5$	102



<b>Fig. 4.21</b> Temperatura în funcție de coordonatele x și y pentru $z=0,5$ la momentul final	102
<b>Fig. 4.22</b> Temperatura în funcție de timp și coordonata x pentru $y=0$ și $z=1$	103
<b>Fig. 4.23</b> Temperatura în funcție de coordonatele z și y pentru $x=0$ la momentul final	103
<b>Fig. 4.24</b> Temperatura în funcție de timp și coordonata x pentru $z=y=0,5$	104
<b>Fig. 4.25</b> Temperatura în funcție de coordonatele z și y pentru $x=0,5$ la momentul final	104
<b>Fig. 4.26</b> Imagini în spectru vizibil și infraroșu suprapus peste vizibil obținute cu camera Fluke Ti-25	105
<b>Fig. 4.27</b> Imagine detaliu termic cu selecție (a), poziția sarcinii în cuptor (b), distribuția de temperaturi obținută experimental la 60 secunde (c) și prin simulare (d)	106
<b>Fig. 4.28</b> Imagine detaliu termic cu selecție (a), poziția sarcinii în cuptor (b), distribuția de temperaturi obținută experimental la 30 secunde (c) și prin simulare (d)	107
<b>Fig. 4.29</b> Imagine detaliu termic cu selecție (a), poziția sarcinii în cuptor (b), distribuția de temperaturi obținută experimental la 60 secunde (c) și prin simulare (d)	108
<b>Fig. 5.1</b> Integrarea prin metoda trapezelor	113
<b>Fig. 5.2</b> Circuitul tipic de alimentare a magnetronului	115
<b>Fig. 5.3</b> Măsurători pentru cuptorul Vortex MG8021TP-AP	116
<b>Fig. 5.4</b> Măsurători pentru cuptorul Samsung G2736N	117
<b>Fig. 5.5</b> Măsurători pentru cuptorul Candy CMG 2071 DS	117
<b>Fig. 5.6</b> Măsurători pentru cuptorul SMC E70 TF-A	118
<b>Fig. 5.7</b> Schema cuptorului Vortex MG8021TP-AP	118
<b>Fig. 5.8</b> Interiorul cuptorului Vortex MG8021TP-AP	119
<b>Fig. 5.9</b> Schemă de măsură	119
<b>Fig. 5.10</b> Captură ecran pentru programul de monitorizare continuă	120
<b>Fig. 5.11</b> Schemă de măsură pentru tensiunea și curentul în primarul transformatorului	121
<b>Fig. 5.12</b> Captură ecran pentru programul de monitorizare continuă	121
<b>Fig. 5.13</b> Programul mwel, date la funcționare normală (magnetron cald)	123
<b>Fig. 5.14</b> Programul mwel, date la funcționare în gol (magnetron nealimentat)	124
<b>Fig. 5.15</b> Programul mwel, date la funcționare în regim tranzitoriu (magnetron rece)	125
<b>Fig. 5.16</b> Programul mwelim și rezultatele	126
<b>Fig. 5.17</b> Schemă simulare	127
<b>Fig. 5.18</b> Model comandă tranzistoare IGBT	127
<b>Fig. 5.19</b> Model de calcul curenți armonici	127

# 1. Introducere

Încălzirea este probabil cel mai utilizat proces tehnologic în industrie. Este deseori folosită în industria alimentară, textilă, chimică și a materialelor de construcții pentru a usca, modifica proprietățile fizice și chimice ale materialelor, și în multe alte scopuri. Și totuși este una din cele dificil de controlat tehnici, fiind lentă și imprecisă atunci când se practică în maniera obișnuită: încălzind suprafața obiectului prin conducție, convecție, radiație sau o combinație a acestora. Chiar dacă se obține o încălzire superficială care poate fi controlată, durata procesului este limitată de viteza de transmitere a căldurii în interiorul piesei. Această viteză este complet determinată de trei proprietăți fizice ale materialului: căldura specifică, densitatea și conductivitatea termică. Aceste proprietăți sunt combinate într-un singur parametru, difuzivitatea termică [18], de care depinde în totalitate creșterea temperaturii în interior ca funcție de timp, distanța până la suprafață și temperatura suprafeței. Nu se poate face nimic pentru a accelera procesul de încălzire din momentul în care suprafața a atins o temperatură maximă impusă.

Pentru un obiect dat, viteza de încălzire prin metode clasice scade cu volumul obiectului. Procesul nu este doar lent, ci și neuniform, deoarece suprafețele și în special muchiile și colțurile sunt mult mai calde decât interiorul. În consecință, calitatea produsului tratat este variabilă și deseori inferioară celei dorite.

Încălzirea imperfectă care rezultă din aceste dificultăți este o cauză uzuală pentru rebuturi și risipă de energie. Durata lungă a procesului are drept consecință rezervarea unei mari arii de lucru cuptoarelor. Cuptoarele mari răspund greu la schimbări de temperatură cerute, se încălzesc încet și au capacități termice mari.

## 1.1. Încălzirea volumetrică prin mijloace electrice

Încălzirea în tot volumul este posibilă prin transmiterea energiei prin suprafața obiectului de încălzit sub formă electromagnetică, și nu ca flux de căldură ca la încălzirea clasică. Viteza de încălzire în acest caz nu mai este limitată de temperatura suprafeței și difuzivitatea termică, iar uniformitatea temperaturii este mult îmbunătățită. Durata de încălzire se poate reduce uneori de peste 100 de ori față de procedeele clasice, cu variația de temperatură în interiorul materialului de 10%.

Orice material poate fi încălzit electric în volum cu condiția să nu fie nici foarte bun conductor nici foarte bun izolator. Nici o tehnică de încălzire electrică în volum nu este eficientă în toate cazurile. Există patru metode folosite în practică, clasificate după rezistivitatea electrică și proprietățile fizice ale materialului [2].

### *Încălzirea prin conducție și inducție*

Aceste metode sunt folosite pentru încălzirea metalelor cu rezistivitate scăzută și implică trecerea unui curent de mare intensitate prin piesa de încălzit. Curentul poate să circule prin conexiuni directe (încălzire prin conducție) sau piesa de încălzit formează secundarul în scurtcircuit al unui transformator coborât de tensiune (inducție). Frecvențele folosite sunt sub 60 Hz pentru conducție și între 50 Hz și aproximativ 30 kHz pentru inducție.

Încălzirea prin conducție sau inducție se folosesc în special în industria metalurgică și construcții de mașini pentru topire, sudare sau tratamente termice, uneori sub vid pentru a preveni oxidarea.

### *Încălzirea ohmică*

Aceasta este o metodă de încălzire prin conducție a lichidelor, și constă în trecerea unui curent alternativ prin lichidul dintre doi electrozi. Soluțiile apoase în special sunt aproape întotdeauna suficient de bune conductoare pentru a permite o densitate de putere mare, deoarece ionii din sărurile dizolvate acționează ca purtători de sarcină.

Instalațiile de încălzire ohmică utilizează invariabil surse de frecvență industrială (50 sau 60 Hz) și sunt extrem de eficiente în conversia energiei electrice în căldură, randamentul lor fiind de peste 95%. Este posibilă și încălzirea lichidelor care conțin solide sau semi-solide, ca în industria alimentară, deoarece particulele solide au de obicei conductivitate electrică apropiată de cea a lichidului.

### *Încălzirea la frecvențe radio (capacitivă)*

Când materialul de încălzit are rezistivitate mare, tensiunea necesară pentru a transmite suficient curent pentru încălzire prin conducție este dificil sau imposibil de obținut. Această problemă se poate rezolva prin creșterea frecvenței la 1÷100 MHz, cel mai adesea 27,12 MHz, una din frecvențele alocate pentru acest scop.

Materialele tipice pentru această metodă sunt plastice, lemn, textile, hârtie, alimente și ceramice. Obiectul de încălzit este plasat între sau trece printre două armături metalice, la care se aplică o tensiune înaltă (de ordinul kilovoltilor). Deoarece materialul de încălzit este un dielectric imperfect, structura se poate echivala cu un condensator ideal înseriat cu un rezistor care reprezintă sursa de căldură din interiorul materialului.

### *Încălzirea cu microunde*

Încă din 1929, P. Debye ([3], [4]) a demonstrat faptul că dezvoltarea căldurii într-un material dielectric este determinată de două fenomene: încălzirea prin efect Joule și încălzirea asociată fenomenului de histerezis dielectric și polarizare în câmpuri electrice variabile în timp. Însă deoarece puterea dezvoltată prin histerezis dielectric este semnificativă numai la frecvențe ridicate, aplicațiile industriale ale procesului de încălzire a materialelor dielectrice au devenit posibile numai după 1940 când au putut fi realizate surse de microunde cu caracteristicile necesare.

Cercetări din timpul celui de-al 2-lea război mondial privind radarele de înaltă rezoluție au condus la dezvoltarea tehnicilor de microunde (300 MHz ÷ 300 GHz), și în special la apariția magnetronului cu cavități (Univ. din Birmingham, Anglia, 1940) – un generator de microunde de mare putere și randament excepțional.

Cunoașterea proprietăților dielectrice ale materialelor ce urmează a fi procesate cu ajutorul microundelor este esențială pentru proiectarea și realizarea propriu-zisă a aplicatoarelor de microunde. Atât constanta dielectrică  $\epsilon'$  cât și factorul de pierderi  $\epsilon''$ , și implicit tangenta unghiului de pierderi  $\tan \delta$ , joacă un rol determinant în încălzirea cu microunde a materialelor dielectrice. Aceste mărimi definesc proprietățile dielectrice ale unui material și caracterizează comportamentul acestuia sub influența unui câmp de înaltă frecvență, fiind dependente de frecvență, temperatură și umiditate.

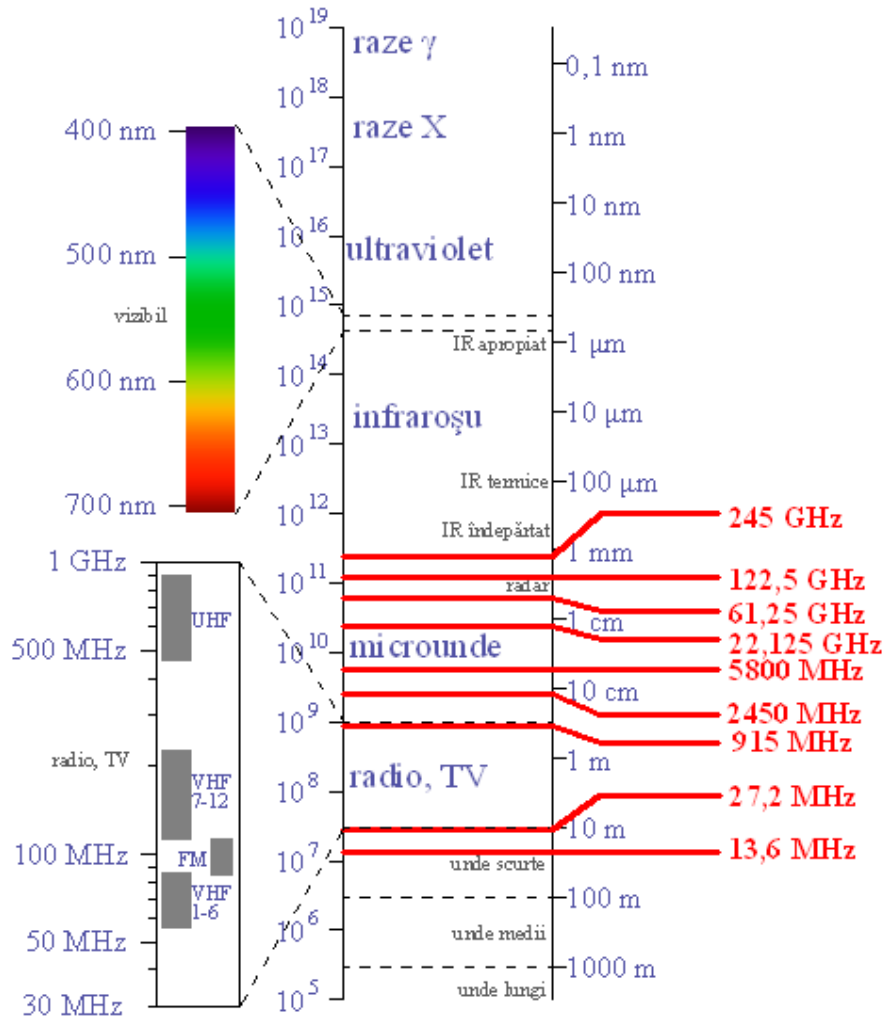


Fig. 1.1. Spectrul electromagnetic

Lungimile de undă ale microundelor folosite la încălzire sunt comparabile și în general proporționale cu dimensiunile materialului de procesat. Dimensiunile relative ale lungimii de undă și ale cavității la o anumită frecvență sunt astfel alese încât lungimea cavității să fie multiplu al lungimii de undă. Adâncimea de pătrundere în material depinde și ea de frecvență, iar utilizarea unei frecvențe prea mari poate anula cel mai important avantaj al încălzirii cu microunde: faptul că este volumetrică. În fine, pentru a evita interferențele cu echipamente de comunicații, frecvența trebuie aleasă dintre cele standard alocate pentru încălzirea cu microunde. Ecranarea trebuie să fie mult mai bună dacă se folosesc alte frecvențe decât cele autorizate într-o anumită zonă. De exemplu, banda 890–960 MHz este folosită pentru telefonie mobilă (GSM) în Europa și nu pentru încălzire. În acest caz instalațiile de încălzire pe 900 MHz trebuie să fie ecranate contra interferențelor în

timp ce cele care funcționează la 2450 MHz trebuie ecranate doar pentru a nu avea emisii periculoase din punct de vedere fiziologic, nivelul permis de emisie fiind mult mai mare. Benzile de frecvențe alocate de Uniunea Internațională pentru Telecomunicații pentru aplicații industriale, științifice și medicale (uzual abreviat ISM) sunt indicate în tabelul următor [1]. Banda de 915 MHz este folosită numai pe continentul american.

Tab. 1.1. Benzile de frecvențe ISM

Banda	Frecvența centrală
902 ÷ 928 MHz	915 MHz
2400 ÷ 2500 MHz	2450 MHz
5275 ÷ 5875 MHz	5800 MHz
24 ÷ 24,25 GHz	24,125 GHz
61 ÷ 61,5 GHz	61,25 GHz
122 ÷ 123 GHz	122,5 GHz
244 ÷ 246 GHz	245 GHz

În mod paradoxal, deși banda de 2450 MHz este alocată pentru încălzire peste tot în lume, și este cea mai folosită în acest scop, multe sisteme electronice de larg consum folosesc exact această frecvență pentru comunicații. De obicei este vorba de telecomunicații pe distanță scurtă: telefoane cu receptor fără fir, dispozitive Bluetooth, rețele wireless IEEE 802.11b/g etc. Motivația alegerii acestei benzi pentru comunicații este aceea că se pot emite puteri destul de mari fără a mai cere autorizare, iar emisiile cuptoarelor cu microunde sunt nemodulate și pot fi filtrate destul de ușor. Chiar și așa, un cuptor cu microunde cu scăpări mari poate compromite o rețea wireless.

Chiar dacă dimensiunile materialului nu limitează puterea – și deci viteza de încălzire, caracteristicile dielectrice ale acestuia pot să introducă limitări. Dacă pierderile cresc cu temperatura, atunci orice neomogenitate de temperatură tinde să se amplifice – fenomen cunoscut ca ambalare termică. În acest caz, puterea trebuie limitată pentru a permite omogenizarea temperaturii prin conducție termică. Uneori pierderile scad cu temperatura, și atunci se produce o stabilizare termică ce permite aplicarea unei densități de putere mai mare. Un exemplu de ambalare termică este la dezghețarea alimentelor, deoarece apa în stare lichidă are pierderi mult mai mari decât gheața. Stabilizarea termică se obține de exemplu la uscarea lemnului.

## 1.2. Evoluția sistemelor de încălzire cu microunde

Cuptoare destinate acestui scop se produc încă din 1945, concepția originală a acestui echipament fiind atribuită lui Percy Spencer (*Raytheon*, 1945) [5]. Astfel, el a inaugurat o nouă eră în prepararea alimentelor și a pus la punct o metodă care a schimbat radical, în toată lumea, concepția asupra aparatului de uz casnic. Mai mult sau mai puțin simultan și alții au fost interesați de aceste aspecte. De exemplu, s-a arătat de către Kinn și Marcum (1947) că diferite mărimi și forme de cavități folosite la încălzire pot fi obținute prin modificarea formei terminației ghidului de undă. Efectul încălzirii și preparării alimentelor cu microunde a fost studiat de Morse și Rivercomb (1947), [5]. Ei au fost primii care au descris problemele referitoare la ambalarea termică.

Primele eforturi în această direcție au fost inițiate de firmele americane Raytheon, General Electric și Westinghouse. Raytheon a efectuat experimente cu

echipamente la frecvența de 2450 MHz, în timp ce General Electric a preferat să lucreze la frecvența de 915 MHz.

Dezvoltarea eforturilor făcute de Raytheon și concentrate asupra echipamentelor de tip "Radarange" rămâne cel mai important program până în prezent, [7]. Evoluția aplicatoarelor cu microunde a cunoscut importante progrese. Este cunoscut un aplicator cu microunde încă înainte de 1945, utilizat de aviația americană, aplicator care era capabil să dezghețe și să încălzească 250 de grame de carne de la  $-12^{\circ}\text{C}$  la  $77^{\circ}\text{C}$ , într-un minut. Sunt cunoscute mai multe versiuni ale acestor încălzitoare cu microunde.

În 1946 apare un prim model de "încălzitor de sandvișuri", cu cavitate demontabilă lateral. Acest model anticipează cuptoarele fixe, cu durată scurtă a ciclului de funcționare, care se întâlnesc astăzi în echipamentele de microunde.

În 1947 a apărut modelul 1132, denumit "white range" [5]. Acesta avea o putere de aproximativ 1,6 kW, magnetron răcit cu apă și magnet permanent, era un echipament greu. Microundele intrau printr-un ghid de undă de tip U într-o fereastră de sticlă Pyrex, așezată pe capacul superior, chiar deasupra punctului central. Această instalație era prevăzută cu un agitator, destinat să omogenizeze distribuția căldurii. Agitatorul era realizat din două piese de crom având forma a două semisfere scobite, așezate spate în spate, întreg ansamblul fiind montat în partea superioară a cuptorului și rotindu-se cu 2-3 rotații pe secundă, acționat de un motor, plasat în compartimentul superior. Magnetronul a fost montat cu antena în poziție verticală, într-un ghid de undă, amplasat în partea de jos a aplicatorului și era alimentat în curent continuu. Acest model era un aplicator mic, cu putere de ieșire mare, care dădea un câmp de microunde de mare densitate și cu o creștere exagerată în distribuția căldurii.

Următorul aplicator, în ordine cronologică, a fost modelul 1150, care utiliza două magnetroane răcite cu aer, de tip QK-312, având dimensiunile de gabarit mult mai mari: 534x737x660 mm; cele două magnetroane fiind montate direct pe plafonul aplicatorului, [6]. Acest aplicator a apărut înainte de 1951 și a fost utilizat până la apariția liniei "United States". Ceea ce îl deosebea de alte aplicatoare era, în primul rând, puterea de ieșire neobișnuită - peste 2 kW teoretic. Puterea utilă se situa între 1,1 și 1,7 kW. Cele două magnetroane erau utilizate sub puterea lor maximă. Operatorul putea să schimbe modul de funcționare, în funcție de cerințele impuse de alimente și putea să coboare sub 200 mA sau să urce peste 300 mA pentru fiecare magnetron. Energia furnizată aplicatorului era dependentă de curentul magnetronului care, la rândul lui, era determinat de câmpul magnetic și de tensiunea aplicată magnetronului. Câmpul magnetic era permanent și în acest caz curentul era controlat prin modificarea tensiunii aplicate la magnetron. Operatorul putea să lucreze, obținând timpi de încălzire mai mici și putând astfel să prepare o cantitate mai mare de alimente. În consecință, acest model introducea un echipament cu putere mai mare, volum adecvat și control flexibil al procesului.

În Europa începând cu anii 1960 au apărut firme având ca domeniu de activitate utilizarea microundelor. Primele firme în acest domeniu au fost Philips și Atlas Electronik. Aplicațiile industriale au fost continuate de către firme mai mici, astfel au apărut Industries Micro-ondes Internationales în Franța, Calores AB în Suedia, etc.

În anul 1966, Litton Industries Atherton Division a utilizat două aplicatoare cu puteri de 50 și respectiv 80 kW, la 2,45 GHz, utilizate pentru gătitul carni și pasăre. Aceste cercetări au fost extinse și în alte domenii cum ar fi tratamentul pumei de poliuretan, evaporarea alcoolului, uscarea finală a cipsurilor, etc.

În anul 1968, în Japonia au debutat primele aplicații industriale care au utilizat microundele. Acestea au fost utilizate pentru distrugerea mușcăiului, uscarea produselor din orez, decongelare.

În anul 1964, Ernie Okress, a organizat în Florida, un simpozion destinat aplicațiilor cu microunde numit "Microwave Power Application". În cadrul acestui simpozion a fost creat un organism specializat numit "International Microwave Power Institut" (IMPI), care vizează promovarea tuturor aplicațiilor cu microunde, cu excepția telecomunicațiilor și radarului. Anual sunt organizate și alte simpozioane unde sunt prezentate cele mai recente cercetări în domeniul microundelor, care ulterior sunt publicate în reviste de specialitate ca de exemplu: Journal of Microwave Power și Microwave Energy Applications Newsletter.

Totuși putem spune că piața industrială de microunde a cunoscut o dezvoltare destul de lentă, deoarece multe dintre aplicații nu au avut un succes imediat, cercetările fiind continuate de către firme mici. Această dezvoltare lentă se datorează în primul rând costului investiției, care în cazul aplicațiilor industriale este de 2500–3000 \$/kW putere instalată [7], în timp ce pentru un aplicator casnic costul este de 350 \$/kW putere instalată. Cu toate aceste inconveniente microundele sunt preferate în multe din aplicațiile unde nu pot fi utilizate metodele tradiționale.

### 1.3. Stadiul actual

Utilizarea microundelor pentru uscarea materialelor are câteva avantaje destul de importante: sursele de căldură sunt distribuite în întreg volumul materialului; modificarea umidității materialului influențează parametrii dielectrice, astfel încât procesul de uscare capătă "stabilitate", pierderile descresc odată cu umiditatea.

Din păcate, modelarea matematică a procesului de uscare în câmp de microunde este o problemă destul de dificilă. Problemele de câmp electromagnetic, de câmp termic și de umiditate sunt cuplate. În plus, obținerea unor rezultate corecte obligă utilizarea unor modele 3D.

Numeroase firme de prestigiu din străinătate (S.U.A. – General Electric, Cober Electronics Inc.; Franța – CNRS, EDF, SAIREM; Japonia – Toshiba; Olanda – Philips, etc.) fac cercetări cu privire la proprietățile materialelor dielectrice procesate în câmp de microunde, modelarea proceselor termice, elaborarea unor scheme de automatizare și control a parametrilor de procesare, concepția și execuția echipamentelor la nivel de laborator [4], [5], [6], [14]. În prezent există preocupări în valorificarea activității de cercetare a specialiștilor implicați în această activitate [11].

Măsurarea proprietăților materialelor dielectrice aflate în câmp de microunde a fost făcută de către Bengtsson și Risman, 1974 [9]. Studii asupra proprietăților dielectrice ale materialelor au fost făcute mai recent și de către Paltin, 1992.

Turner, 1984 [15], a oferit o oarecare clarificare asupra modurilor de propagare existente în interiorul aplicatoarelor, luând în considerare inexistența unor moduri datorită joncțiunii dintre ghid și cavitate. Totuși aceste informații nu au fost suficiente pentru a afla modul optim de amplasare a unui dielectric în interiorul unui aplicator.

Kashiwa, 1991 [17], a folosit o rețea de cochilii sferice din plastic subțire umplute cu apă pentru a schița distribuția câmpului în interiorul aplicatorului multimod.

S. Lefeuvre, 1993, [16] a efectuat studii asupra proprietăților materialelor dielectrice și modul cum acestea influențează procesarea în câmp de microunde. A studiat modul de adaptare ghid - cavitate.

O analiză a aplicatoarelor multimod a fost prezentată de către R. J. Meredith în 1994. Acesta arată modul de superpoziționare a undelor după trei direcții ortogonale, dezvoltând cu succes o tehnică simplă de măsurare a modurilor într-o cavitate goală. Acest studiu a fost apoi extins de către Chow Ting Chan și H. C. Reader, 1995 [5], la o cavitate încărcată cu o sarcină, folosind un soft de element finit MSC.

D.C. Dibben, 1996 [13] a studiat modelarea numerică și experimentală a mai multor tipuri de aplicatoare, informații care ulterior au fost folosite la dezvoltarea unor metode complexe de calcul.

H.C. Reader, 1997 [7], a dezvoltat o metodă de detectare a distribuției câmpului electric pe suprafața interioară a aplicatorului. Această metodă utilizează un analizor de rețea cu două deschideri. O deschidere este folosită pentru excitarea cavității iar cealaltă pentru a testa pereții ortogonali ai cavității. Această metodă a fost apoi extinsă și la studiul aplicatoarelor multimod. Rezultatele obținute au fost foarte utile, deoarece au oferit un mod rapid și ieftin de examinare a câmpului electromagnetic în structurile cu microunde.

Metaxas, 2001 [11], a prezentat o metodă laborioasă de analiză a câmpului electromagnetic și a distribuției de putere în mai multe configurații de aplicatoare multimod utilizând metoda elementului finit.



## 2. Încălzirea în câmp de microunde

### 2.1. Unde electromagnetice

#### 2.1.1. Ecuațiile de bază ale câmpului electromagnetic. Unda plană.

În ipoteza unui mediu dielectric imobil, omogen, liniar și izotrop, ecuațiile lui Maxwell sunt:

$$\operatorname{rot}\vec{H} = \frac{\partial\vec{D}}{\partial t} = \varepsilon \frac{\partial\vec{E}}{\partial t} \quad (2.1)$$

$$\operatorname{rot}\vec{E} = -\frac{\partial\vec{B}}{\partial t} = -\mu \frac{\partial\vec{H}}{\partial t} \quad (2.2)$$

$$\operatorname{div}\vec{B} = 0 \Rightarrow \operatorname{div}\vec{H} = 0 \quad (2.3)$$

$$\operatorname{div}\vec{D} = 0 \Rightarrow \operatorname{div}\vec{E} = 0 \quad (2.4)$$

Dacă expresiei (2.1) i se aplică operatorul rotor se obține:

$$\operatorname{rot}(\operatorname{rot}\vec{H}) = \operatorname{rot}\left(\varepsilon \frac{\partial\vec{E}}{\partial t}\right) \text{ sau}$$

$$\operatorname{grad}(\operatorname{div}\vec{H}) - \Delta\vec{H} = \varepsilon \frac{\partial}{\partial t}(\operatorname{rot}\vec{E}) \text{ și ținând cont de (2.2) rezultă:}$$

$$\Delta\vec{H} - \mu\varepsilon \frac{\partial^2\vec{H}}{\partial t^2} = 0 \quad (2.5)$$

Analog, aplicând operatorul rotor relației (2.2) și ținând cont de (2.1) rezultă:

$$\Delta\vec{E} - \mu\varepsilon \frac{\partial^2\vec{E}}{\partial t^2} = 0 \quad (2.6)$$

Notând cu  $c = \frac{1}{\sqrt{\mu\varepsilon}}$  viteza de propagare a luminii în mediul dielectric considerat, relațiile (2.5) și (2.6) devin:

$$\Delta\vec{H} - \frac{1}{c^2} \frac{\partial^2\vec{H}}{\partial t^2} = 0 \quad (2.7)$$

$$\Delta\vec{E} - \frac{1}{c^2} \frac{\partial^2\vec{E}}{\partial t^2} = 0 \quad (2.8)$$

relații care constituie ecuațiile undelor electromagnetice în mediul dielectric.

Să presupunem că intensitatea câmpului electric  $\vec{E}$  este paralelă cu axa 0x,  $\vec{E} = \vec{i}E$  și depinde numai de coordonata z. Deci  $\vec{E} = \vec{E}(z,t)$ , de unde:

$\Delta \vec{E} = \vec{i} \frac{\partial^2 E}{\partial z^2}$ , iar ecuația (2.8) devine:

$$\frac{\partial^2 E}{\partial z^2} = \frac{1}{c^2} \frac{\partial^2 E}{\partial t^2} \quad (2.9)$$

cu soluția:

$$E(z, t) = E_d \left( t - \frac{z}{c} \right) + E_i \left( t + \frac{z}{c} \right) \quad (2.10)$$

$E_d(t - z/c)$  este o undă a intensității câmpului electric care se propagă în sensul pozitiv al axei Oz cu viteza de propagare c.  $E_i(t + z/c)$  este o undă care se propaga în sensul negativ al axei Oz cu aceeași viteză c. Formulele analitice pentru  $E_d$  și  $E_i$  se determină din condițiile inițiale și condițiile la limită.

Aceleași observații sunt valabile și pentru intensitatea câmpului magnetic.

$$H(z, t) = H_d \left( t - \frac{z}{c} \right) + H_i \left( t + \frac{z}{c} \right) \quad (2.11)$$

Deoarece  $\vec{E}$  și  $\vec{H}$  există simultan rezultă că și undele  $E(z, t)$  și  $H(z, t)$  există simultan. Spunem că perechea ( $E_d, H_d$ ) formează unda electromagnetică directă și perechea ( $E_i, H_i$ ) formează unda electromagnetică inversă.

#### Unda electromagnetică plană

Presupunem că intensitatea câmpului electric și intensitatea câmpului magnetic depind numai de timp și coordonata z.

$$\begin{cases} \vec{E} = \vec{E}(z, t) \\ \vec{H} = \vec{H}(z, t) \end{cases} \quad (2.12)$$

Din relația (2.1) avem:

$$\text{rot} \vec{H} = \begin{vmatrix} \vec{i} & \vec{j} & \vec{k} \\ 0 & 0 & \frac{\partial}{\partial z} \\ H_x & H_y & H_z \end{vmatrix} = \vec{i} \varepsilon \frac{\partial E_x}{\partial t} + \vec{j} \varepsilon \frac{\partial E_y}{\partial t} + \vec{k} \varepsilon \frac{\partial E_z}{\partial t} \text{ sau}$$

$$-\vec{i} \frac{\partial H_y}{\partial z} + \vec{j} \frac{\partial H_x}{\partial z} = \vec{i} \varepsilon \frac{\partial E_x}{\partial t} + \vec{j} \varepsilon \frac{\partial E_y}{\partial t} + \vec{k} \varepsilon \frac{\partial E_z}{\partial t}$$

și identificând termenii:

$$-\frac{\partial H_y}{\partial z} = \varepsilon \frac{\partial E_x}{\partial t} \quad (2.13)$$

$$\frac{\partial H_x}{\partial z} = \varepsilon \frac{\partial E_y}{\partial t} \quad (2.14)$$

$$0 = \varepsilon \frac{\partial E_z}{\partial t} \quad (2.15)$$

Analog, din (2.2) se obține:

$$\frac{\partial E_y}{\partial z} = \mu \frac{\partial H_x}{\partial t} \quad (2.16)$$

$$\frac{\partial E_x}{\partial z} = -\mu \frac{\partial H_y}{\partial t} \quad (2.17)$$

$$0 = -\mu \frac{\partial H_z}{\partial t} \quad (2.18)$$

Din (2.3) și (2.4) se obține:

$$\frac{\partial E_z}{\partial z} = 0 \quad (2.19)$$

$$\frac{\partial H_z}{\partial z} = 0 \quad (2.20)$$

Considerând relațiile (2.15) și (2.19) rezultă că  $E_z$  este constantă în timp și spațiu. O componentă care satisface asemenea condiții nu poate fi o mărime care se propagă, deci o undă electromagnetică, ea ar putea fi doar o componentă a unui câmp electrostatic. Considerăm că înlăturăm toate cauzele de generare a câmpului electrostatic, deci  $E_z = 0$ . Similar se raționează și pentru componenta  $H_z$ , pe baza relațiilor (2.18) și (2.20), concluzionând că și  $H_z = 0$ .

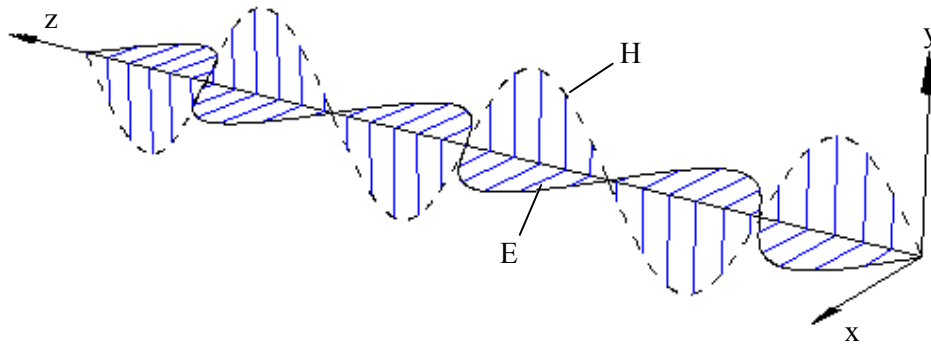


Fig. 2.1. Undă electromagnetică plană în perspectivă

Unda electromagnetică nu are componente după direcția  $z$ , deci este plană,  $\vec{E}$  și  $\vec{H}$  fiind conținuți în plane perpendiculare pe direcția de propagare  $z$ .

Observând ecuațiile (2.13), (2.14), (2.16), (2.17) se constată că nici una nu leagă pe  $E_x$  cu  $H_x$  sau pe  $E_y$  cu  $H_y$ . Componentele interdependente sunt  $(E_x, H_y)$  și  $(E_y, H_x)$  dar cele două perechi sunt independente una față de cealaltă. Fiecare dintre aceste perechi reprezintă o undă electromagnetică plană polarizată liniar.

Așadar, o undă electromagnetică plană oarecare poate fi descompusă în două unde liniar polarizate independente una față de cealaltă. Pentru simplificarea raționamentelor vom considera numai perechea  $(E_x, H_y)$ , cealaltă fiind nulă ( $E_y = 0$ ,  $H_x = 0$ ). Simplificăm notațiile:

$$\begin{cases} \vec{E} = \vec{i}E \\ \vec{H} = \vec{j}H \end{cases} \quad (2.21)$$

Ecuțiile (2.7) și (2.8) devin:

$$\frac{\partial^2 H}{\partial x^2} = \frac{1}{c^2} \frac{\partial^2 H}{\partial t^2} \quad (2.22)$$

$$\frac{\partial^2 E}{\partial x^2} = \frac{1}{c^2} \frac{\partial^2 E}{\partial t^2} \quad (2.23)$$

având soluții de forma:

$$E(z, t) = E_d \left( t - \frac{z}{c} \right) + E_i \left( t + \frac{z}{c} \right) \quad (2.24)$$

$$H(z, t) = H_d \left( t - \frac{z}{c} \right) + H_i \left( t + \frac{z}{c} \right) \quad (2.25)$$

Introducând soluțiile (2.24) și (2.25) în ecuațiile (2.13) și (2.17) și identificând între ei termenii funcției de  $(t-z/c)$  respectiv  $(t+z/c)$  se obțin:

$$\frac{E_d}{H_d} = \sqrt{\frac{\mu}{\varepsilon}} \quad (2.26)$$

$$\frac{E_i}{H_i} = -\sqrt{\frac{\mu}{\varepsilon}} \quad (2.27)$$

Se notează cu  $\zeta = \sqrt{\frac{\mu}{\varepsilon}}$  impedanța de undă și în concluzie:

$$\frac{E_d}{H_d} = \zeta, \quad \frac{E_i}{H_i} = -\zeta \quad (2.28)$$

În cazul particular al vidului  $\zeta_0 = \sqrt{\frac{\mu_0}{\varepsilon_0}} = 377\Omega$ .

### 2.1.2. Reflexia și refracția pe o frontieră plană

Unda electromagnetică descrisă până acum se propagă într-un spațiu infinit, fără frontiere. Ecuțiile câmpului electromagnetic au fost rezolvate în absența oricărei frontiere. Dacă trebuie să considerăm condițiile de frontieră, atunci nu poate să existe o undă plană. O undă plană apare practic atunci când sursa se găsește la o distanță foarte mare de observator și se poate neglija curbura frontului de undă. Lumina poate fi considerată în multe cazuri o undă plană, dar la lungimea de undă a

microundelor doar un satelit sau un alt obiect aflat în spațiul cosmic pot fi considerate surse de unde plane.

#### Condițiile de frontieră

La suprafața de separație dintre două medii (fig. 2.2), pentru câmpul electric condițiile de trecere sunt:

$$\begin{aligned} D_{2n} - D_{1n} &= \rho_s \\ \vec{E}_{1t} &= \vec{E}_{2t} \end{aligned} \quad (2.29)$$

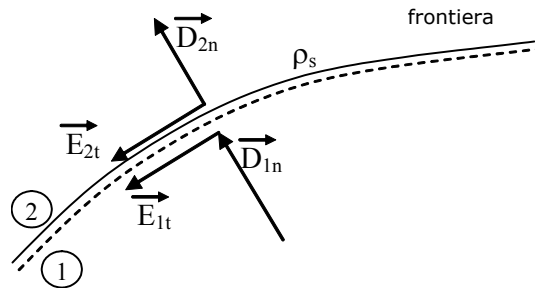


Fig. 2.2. Câmpul electric la frontieră

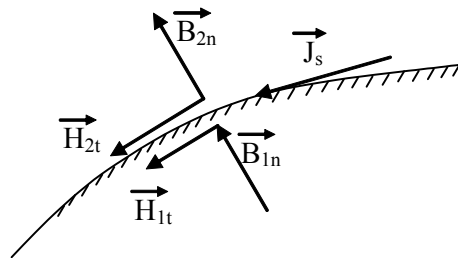


Fig. 2.3. Câmpul magnetic la frontieră

Pentru câmpul magnetic (fig. 2.3), condițiile de trecere sunt:

$$\begin{aligned} \vec{H}_{2t} - \vec{H}_{1t} &= \vec{J}_s \\ B_{1n} &= B_{2n} \end{aligned} \quad (2.30)$$

unde  $\vec{J}_s$  este pânza superficială de curent la suprafața dintre cele două medii.

În cazul particular când materialul 1 este perfect conductor ( $\sigma \rightarrow \infty$ ), deoarece  $\vec{J}_s = \sigma \vec{E}_t$ , rezultă  $E_t = 0$ , deci intensitatea câmpului electric este perpendiculară pe suprafață. Această condiție este bine satisfăcută de un perete metalic. Se obișnuiește să se spună că este o condiție de scurtcircuit.

În cazul unui perete perfect magnetic ( $\mu \rightarrow \infty$ ) se obține că  $\vec{H}$  este perpendicular pe suprafață. Deși în probleme de microunde nu se întâlnesc materiale cu permitivitate mare, condiția este bună pentru a considera simetrii geometrice. Această condiție mai este numită "conectare în gol".

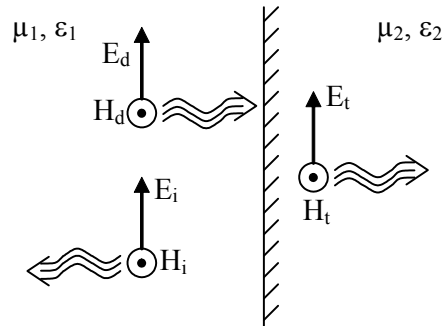


Fig. 2.4. Undă parțial reflectată

În cazul unei unde parțial reflectate la suprafața de separare a două materiale (fig. 2.4), am notat:

- $E_d, H_d$  - unda directă
- $E_i, H_i$  - unda inversă (reflectată)
- $E_t, H_t$  - unda transmisă

Impedanțele de undă pentru cele două medii sunt:

$$\zeta_1 = \sqrt{\frac{\mu_1}{\varepsilon_1}} \text{ și } \zeta_2 = \sqrt{\frac{\mu_2}{\varepsilon_2}}$$

Avem relațiile:

$$\begin{aligned} E_d &= \zeta_1 H_d \\ E_i &= -\zeta_1 H_i \\ E_t &= \zeta_2 H_t \end{aligned} \quad (2.31)$$

Dacă studiem fenomenul care are loc la suprafață, ținând cont de condițiile de frontieră (2.29) și (2.30), rezultă:

$$E_d + E_i = E_t \text{ sau } \zeta_1 H_d - \zeta_1 H_i = \zeta_2 H_t \quad (2.32)$$

$$H_d + H_i = H_t \quad (2.33)$$

Din relațiile (2.32) și (2.33) avem:

$$\begin{cases} H_d - H_i = \frac{\zeta_2}{\zeta_1} H_t \\ H_d + H_i = H_t \end{cases} \quad (2.34)$$

de unde eliminând pe  $H_t$  rezultă:

$$\frac{H_d}{H_i} = \frac{\zeta_1 + \zeta_2}{\zeta_1 - \zeta_2} \quad (2.35)$$

La fel și pentru  $\frac{E_d}{E_i}$ . Valorile maxime și minime ale intensității câmpului electric sunt:

$$\begin{aligned} E_{\max} &= E_d + E_i \\ E_{\min} &= E_d - E_i \end{aligned} \quad (2.36)$$

Aceste valori conduc la un coeficient de undă staționară:

$$VSWR = \frac{E_{\max}}{E_{\min}} = \frac{E_d + E_i}{E_d - E_i} = \frac{\zeta_2}{\zeta_1} \quad (2.37)$$

## 2.2. Câmpul electric în medii dielectrice

Mediile dielectrice se caracterizează prin faptul că nu conțin decât un număr neînsemnat de purtători liberi de sarcini electrice care să se poată deplasa pe distanțe nelimitate sub acțiunea câmpului electric; prin urmare, au conductivitatea electrică egală practic cu zero.

Sub acțiunea câmpului electric exterior, electronii din mediul dielectric, ce gravitează în jurul unor formații structurale (atomi, molecule), execută numai o deplasare pe o distanță limitată, denumită deplasare elastică, fără să se desprindă de formațiunile cărora le aparțin. Dacă intensitatea câmpului electric din dielectric depășește o anumită limită, electronii sunt "desprinși" din formații, devenind liberi, respectiv mediul își pierde calitățile izolatoare, devenind conductor.

Calitățile materialelor izolatoare folosite în industria electrotehnică sunt determinate în primul rând de comportarea lor în câmpul electric.

### 2.2.1. Polarizarea dielectricilor în câmpul electric

Un atom sau o moleculă dintr-un material izolator sunt neutre din punct de vedere electric în sensul că ele conțin același număr de sarcini electrice elementare negative și pozitive. Electronii ce aparțin formațiunilor structurale ale substanței izolante execută o mișcare permanentă; sarcinile electronilor în mișcare se manifestă ca și cum ar fi amplasate într-un centru echivalent de acțiune a sarcinilor negative, care, în lipsa câmpului electric exterior, se suprapune sau nu peste centrul de acțiune a sarcinilor pozitive situate în nucleele atomilor.

O moleculă la care, în lipsa câmpului electric exterior, centrul echivalent de acțiune al sarcinilor electrice negative se suprapune peste centrul de acțiune al sarcinilor electrice pozitive, se numește moleculă nepolară, având momentul electric  $p = 0$ . În caz contrar, când cele două centre nu se suprapun, molecula este polară, având momentul electric  $p \neq 0$ .

Cel mai simplu atom nepolar este cel al hidrogenului, format din nucleul cu sarcina electrică elementară pozitivă  $Q_+ = q$  și un electron cu sarcina electrică elementară negativă  $Q_- = -q$ . În lipsa câmpului electric exterior, electronul execută aproximativ o mișcare circulară în jurul nucleului, astfel încât centrul echivalent de acțiune al sarcinii sale coincide cu centrul sarcinii pozitive din nucleu.

Dacă atomul de hidrogen se află într-un câmp electric exterior de intensitate  $E_0$ , orbita electronului se deformează, devenind eliptică, astfel încât centrul echivalent de acțiune al sarcinii negative nu se mai suprapune peste cel al sarcinii pozitive. Se spune că atomul de hidrogen s-a polarizat electric, comportându-se ca un dipol electric. Fenomenul de constituire și orientare a dipolilor la un dielectric cu molecule polare, situat într-un câmp electric exterior, se numește polarizare electrică de deformare.

La dielectricii cu molecule polare, în prezența unui câmp electric exterior, are loc fenomenul de polarizare electrică a unui dielectric adică a dipolilor existenți. În general, polarizarea electrică a unui dielectric constă atât din polarizarea de deformare, cât și din polarizarea de orientare.

Polarizarea electrică a unui dielectric poate fi temporară sau permanentă. În primul caz, starea de polarizare se menține numai în prezența unui câmp electric exterior, iar în al doilea caz această stare se menține independent de existența câmpului electric exterior.

Polarizarea temporară poate fi:

- polarizare de deplasare (electronică sau ionică);
- polarizare de orientare dipolară.

Polarizarea de deplasare electronică reprezintă deplasarea limitată și elastică, sub acțiunea câmpului electric, a învelișurilor electronice ale atomilor dielectricului.

Acest mecanism de polarizare este o proprietate universală a materiei, fiind uneori denumit și polarizare optică datorită faptului că intervine în propagarea prin dielectric a câmpurilor electromagnetice de frecvențe foarte ridicate, situate în domeniile infraroșu, vizibil sau ultraviolet.

Polarizarea de deplasare ionică reprezintă deplasarea limitată și elastică a ionilor dielectricului sub acțiunea câmpului electric. Acest mecanism de polarizare este specific dielectricilor cu legături preponderent ionice.

Polarizarea de orientare dipolară reprezintă orientarea pe direcția câmpului electric aplicat a momentelor electrice care, în absența câmpului, sunt distribuite aleatoriu sub influența agitației termice. Această polarizare este tipică materialelor cu molecule polare – care prezintă moment electric propriu.

În cazul materialelor neomogene, mai există un mecanism de polarizare, numit de neomogenitate (Maxwell-Wagner). Acesta este determinat de apariția unor sarcini pe suprafețele de separare ale părților omogene din dielectricii neomogeni.

În aplicațiile microundelor efectul polarizărilor de deplasare este neglijabil în raport cu cel al polarizării de orientare și de neomogenitate. Aceasta din urmă, pe lângă efectul pozitiv (creșterea pierderilor) are și un posibil efect nedorit, și anume limitarea densității de putere care poate fi aplicată datorită efectului de arc electric.

#### *Polarizarea de orientare (dipolară)*

Mecanismul polarizării dipolare sau de orientare se manifestă în gama de frecvențe a microundelor și are la bază rotația dipolilor permanenți în câmpul electric aplicat. Acești dipoli au tendința de orientare - reorientare sub influența modificării polarității câmpului electric ceea ce conduce la creșterea polarizării. Agitația termică determină o mișcare dezordonată a moleculelor, astfel că suma momentelor electrice ale moleculelor este nulă. Dacă se aplică un câmp electric exterior ( $E \neq 0$ ) dipolii tind să se orienteze în direcția câmpului. Acestei tendințe de orientare i se opune agitația termică. Ca urmare se realizează în medie o rotire (orientare) incompletă a dipolilor în direcția câmpului, polarizația fiind egală cu suma momentelor electrice ale dipolilor conținuți în material și proporțională cu câmpul exterior [3], [4].

La frecvențe joase, timpul necesar câmpului electric să-și schimbe direcția este mai lung decât timpul de răspuns al dipolilor și polarizația dipolară este în fază cu câmpul electric. Câmpul electric furnizează energia necesară orientării moleculelor în câmp. O parte din energie este consumată de mișcarea browniană, de



câte ori un dipol este deplasat din locul său prin ciocnire și apoi realiniat. Energia transferată este mică, temperatura crescând foarte puțin, [10].

În gama frecvențelor corespunzătoare microundelor, timpul în care câmpul electric își schimbă alternanța este aproximativ același cu durata de răspuns a dipolilor. Aceștia se rotesc datorită cuplului exercitat de câmp și polarizația rezultantă rămâne în urmă în raport cu intensitatea câmpului electric fenomen numit relaxare dielectrică sau histerezis dielectric [4], [9].

Considerând un câmp electric uniform de înaltă frecvență aplicat unui dielectric:

$$E = E_{\max} \sin \omega t \quad (2.38)$$

Vectorul polarizație are următoarea formă:

$$P = P_{\max} \sin(\omega t - \varphi) \quad (2.39)$$

unde:  $\varphi$  - defazajul dintre vectorul polarizație P și vectorul intensității câmpului electric E, așa cum rezultă și din figura 2.5.

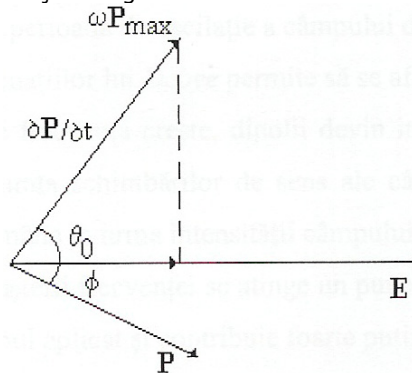


Fig. 2.5. Diagrama fazorială a vectorului polarizație P și a intensității câmpului electric E

Curentul rezultat  $\partial P / \partial t$  determinat de redistribuția sarcinilor din material dat de:

$$\frac{\partial P}{\partial t} = \omega P_{\max} \cos(\omega t - \varphi) \quad (2.40)$$

are o componentă în fază cu intensitatea câmpului E, conducând la disiparea puterii în interiorul materialului ceea ce are ca efect încălzirea acestuia.

Puterea medie disipată în unitatea de volum este dată de:

$$P_{\text{med}} = \frac{1}{2} E_{\max} P_{\max} \omega \sin(\varphi) = \frac{1}{2} E_{\max} P_{\max} \cos(\theta_0) \quad (2.41)$$

unde  $\cos \theta_0$  este factorul de putere.

Daca nu ar exista un defazaj între polarizație și câmpul electric nu s-ar mai disipa putere în material și astfel a fost introdusă noțiunea de "pierderi" care se referă la absorbția în material de energie provenită de la câmpul electromagnetic de înaltă frecvență.

O abordare clasică a comportării dipolilor permanenți dintr-un dielectric căruia i se aplică un câmp alternativ aparține lui Debye, care a arătat că polarizarea

de orientare este rezultatul rotației dipolilor de formă sferică într-un mediu vâscos în care se manifestă forțe de frecare [3], [4]. Debye a dedus următoarea ecuație:

$$\underline{\varepsilon}_d^* = \varepsilon_d' - j\varepsilon_d'' = \varepsilon_\infty + \frac{\varepsilon_s - \varepsilon_\infty}{1 + j\omega\tau} \quad (2.42)$$

unde:

- $\varepsilon_s$  și  $\varepsilon_\infty$  sunt valori statice ale constantei dielectrice;
- $\tau$  este timpul de relaxare dielectrică ce caracterizează rata creșterii și descreșterii polarizației;
- $\omega = 2\pi f$ ;  $f$  este frecvența

Mecanismul de polarizare de orientare este considerat dominant deoarece timpul de relaxare, adică intervalul de timp în care polarizația crește și apoi scade, este de un ordin de mărime comparabil cu perioada de oscilație a câmpului de înaltă frecvență.

Interpretarea ecuațiilor lui Debye permite să se afirme că:

- pe măsură ce frecvența crește, dipolii devin incapabili să-și regăsească pe deplin pozițiile inițiale pe durata schimbărilor de sens ale câmpului aplicat și ca o consecință polarizația dipolară rămâne în urma intensității câmpului electric (relaxarea dielectrică);
- pe măsura creșterii frecvenței se atinge un punct în care polarizația de orientare nu mai poate urmări câmpul aplicat și contribuie foarte puțin la polarizația totală;
- scăderea polarizației efective se manifestă prin scăderea constantei dielectrice și creșterea factorului de pierderi. Energia este acum preluată de la câmpul electromagnetic și disipată sub formă de căldură în interiorul materialului.

Utilizând teorema lui Stokes, Debye a dedus expresia pentru timpul de relaxare considerând dipolul o sferă de rază  $r$  ce se rotește într-un mediu de vâscozitate  $\eta_v$ :

$$\tau = \frac{4\pi r^3 \eta_v}{kT} \quad (2.43)$$

în care  $k$  este constanta lui Boltzmann, iar  $T$  temperatura absolută.

Dacă temperatura crește și vâscozitatea mediului este mai redusă, moleculelor de dimensiuni mici le corespund frecvențe de relaxare ridicate. Timpul necesar dipolilor unui lichid, de exemplu, de a se polariza și depolariza este determinat de constanta timpului de relaxare  $\tau$ .

#### *Polarizarea de neomogenitate (Maxwell-Wagner)*

Acest tip de polarizare se manifestă mai ales în cazul dielectricilor neomogeni care au în structura lor elemente conductive într-o anumită proporție dispersate în medii neconductive.

Polarizarea Maxwell-Wagner este determinată de apariția unor sarcini pe suprafețele de separare ale părților omogene din dielectricii neomogeni [3], [4].

Wagner a arătat că pentru cel mai simplu model care reproduce acest tip de polarizare, modelul constând din două sfere conductoare distribuite într-un mediu neconductor, factorul de pierderi al volumului de material este dat de relația:

$$\varepsilon_{mw}'' = \frac{9v \varepsilon f_{\max}}{1,8 \cdot 10^{10} \sigma} \cdot \frac{\omega\tau}{(1 + \omega^2\tau^2)} \quad (2.44)$$

în care:

- $f_{\max}$  - frecvența pierderilor maxime (Hz);
- $\sigma$  este conductivitatea fazei conductoare (S/m);
- $\tau$  este timpul de relaxare (s).

Ca și o concluzie se poate afirma că procesarea la scară industrială, în banda de frecvențe 10 MHz ÷ 3 GHz a materialelor dielectrice este practic determinată de cele trei mecanisme: conducția electrică, polarizarea de orientare și polarizarea de neomogenitate (Maxwell-Wagner), dacă dielectricul este neomogen [4].

### 2.2.2. Constanta dielectrică complexă

Constanta dielectrică complexă  $\underline{\varepsilon}^*$  este o mărime esențială care caracterizează comportarea unui dielectric sub influența unui câmp de înaltă frecvență:

$$\underline{\varepsilon}^* = \varepsilon' - j\varepsilon'' \quad (2.45)$$

unde:

- $\varepsilon'$  este partea reală a lui  $\underline{\varepsilon}^*$  și caracterizează dielectricul din punct de vedere al capacității sale de a se polariza, înglobând pierderi datorate fenomenului de polarizare dipolară asociat cu frecarea dintre molecule;
- $\varepsilon''$  este partea imaginară a lui  $\underline{\varepsilon}^*$  și reprezintă factorul de pierderi, înglobează toate efectele disipative datorate pierderilor prin efect Joule și dielectrice.

Caracterul complex al constantei dielectrice se demonstrează pornind de la legea circuitului magnetic:

$$\oint \frac{\vec{B}}{\mu_a} \cdot d\vec{l} = \int_S \vec{J}_c \cdot d\vec{S} + \int_S \frac{\partial}{\partial t} (\varepsilon_0 \varepsilon' \vec{E}) \cdot d\vec{S} \quad (2.46)$$

unde:

- $J_c$  - este densitatea curentului de conducție generat de deplasarea sarcinilor libere din dielectric sub acțiunea câmpului electromagnetic [ $A/m^2$ ];
- $B$  - inducția câmpului magnetic [T];
- $\mu_a$  - permeabilitatea magnetică a mediului [H/m];
- $\varepsilon_0$  este permitivitatea vidului [F/m];
- $S$  este suprafața parcursă de fluxul electric total [ $m^2$ ].

Pentru câmpuri electrice alternative de forma  $E_{\max} e^{j\omega t}$ , cum sunt cele aplicate în încălzirea dielectrică, ecuația (2.46) devine:

$$\text{rot} \underline{H} = \underline{J}_c + j\omega \varepsilon_0 \varepsilon' \underline{E} \quad (2.47)$$

Luând în considerare numai efectul conducției electrice a sarcinilor libere sub acțiunea câmpului electric și presupunând constanta dielectrică reală, contribuind numai la înmagazinarea de energie în sistem, relația (2.47), se poate scrie și sub forma:

$$\underline{J} = (\sigma + j\omega \varepsilon_0 \varepsilon') \underline{E} \quad (2.48)$$

Dând factor comun pe  $j\omega \varepsilon_0$ , obținem:

$$\underline{J} = j\omega\varepsilon_0 \left( \varepsilon' - \frac{j\sigma}{\omega\varepsilon_0} \right) \underline{E} \quad (2.49)$$

Deoarece în spațiul liber  $\sigma = 0$ , obținem:

$$\underline{J} = j\omega\varepsilon_0 \varepsilon' \underline{E} \quad (2.50)$$

Comparând relația (2.49) cu (2.50), rezultă că relația (2.49) poate fi scrisă și astfel:

$$\underline{J} = j\omega\varepsilon_0 \underline{\varepsilon}_c^* \underline{E} \quad (2.51)$$

unde:

$$\underline{\varepsilon}_c^* = \varepsilon'_c - \frac{j\sigma}{\omega\varepsilon_0} = \varepsilon'_c - j\varepsilon''_c \quad (2.52)$$

$\underline{\varepsilon}_c^*$  poate fi considerată ca și o constantă dielectrică efectivă a materialului atunci când efectul conductiv este dominant. De altfel, efectul disipativ indus de fenomenul de conducție electrică este reprezentat în relația (2.17) de  $\varepsilon''_c$ , care reprezintă partea imaginară a constantei dielectrice  $\underline{\varepsilon}_c^*$ .

Contribuția fiecărui tip de polarizare cum ar fi de exemplu, polarizarea de orientare (dipolară) sau de neomogenitate (Maxwell-Wagner), va fi luată în considerație în constanta dielectrică prin termenul imaginar. Astfel, dacă se consideră de exemplu, că polarizarea de orientare este mecanismul dominant, contribuția sa la încălzirea materialului dielectric poate fi cuantificată printr-o constantă dielectrică complexă de o formă similară celei din relația (2.52):

$$\underline{\varepsilon}_d^* = \varepsilon'_d - j\varepsilon''_d \quad (2.53)$$

în care indicele **d** se referă la polarizarea dipolară.

Factorul de pierderi (termenul imaginar), înglobează efectele disipative ale tuturor mecanismelor ce contribuie la încălzirea dielectrică ( $\varepsilon''$ ). Pentru a satisface legea circuitului magnetic într-un dielectric real, constanta dielectrică trebuie să aibă o formă complexă, ce include toate mecanismele de polarizare, astfel ecuația (2.49) devine:

$$\underline{J}_t = \underline{J}_c + \underline{J}_d = j\omega\varepsilon_0 \left[ \varepsilon' - j \left( \varepsilon'' + \frac{\sigma}{\omega\varepsilon_0} \right) \right] \cdot \underline{E} \quad (2.54)$$

a cărei reprezentare fazorială este prezentată în figura 2.6.

În figură se arată că densitatea curentului total  $J_t$  indus într-un dielectric este suma densităților curenților de conducție  $J_c$  și de deplasare  $J_d$  ca efect combinat al conducției electrice și al polarizației materialului dielectric sub acțiunea câmpului electric de înaltă frecvență.

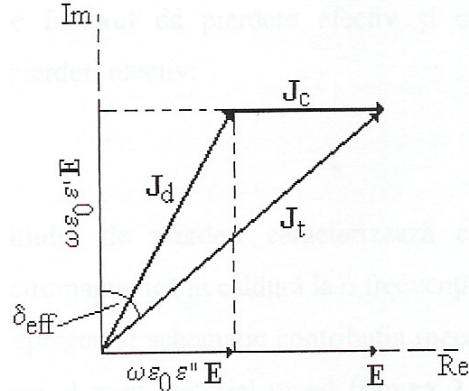


Fig. 2.6. Diagrama fazorială a densității curentului total indus într-un dielectric [4]

Deoarece separarea efectelor datorate conducției și a celor datorate polarizației este dificilă, s-a definit un factor de pierdere efectiv  $\varepsilon''_{eff}$  care însumează efectele conducției electrice și a tuturor mecanismelor de polarizare:

$$\varepsilon''_{eff}(\omega) = \varepsilon''_{mw}(\omega) + \varepsilon''_d(\omega) + \varepsilon''_e(\omega) + \varepsilon''_a(\omega) + \frac{\sigma}{\varepsilon_0\omega} \quad (2.55)$$

unde:

- $\varepsilon''_{mw}$  - factorul de pierdere datorate polarizării Maxwell-Wagner;
- $\varepsilon''_d$  - factorul de pierdere datorate polarizării de orientare (dipolare);
- $\varepsilon''_e$  - factorul de pierdere datorate polarizării electronice;
- $\varepsilon''_a$  - factorul de pierdere datorate polarizării atomice;
- $\sigma/\varepsilon_0\omega$  - pierdere datorate conducției.

Factorul de pierdere efectiv se poate scrie și sub forma:

$$\varepsilon''_{eff}(\omega) = \varepsilon''(\omega) + \frac{\sigma}{\varepsilon_0\omega} \quad (2.56)$$

unde:  $\varepsilon''(\omega)$  - factorul de pierdere datorate mecanismelor de polarizare.

Constanta dielectrică complexă relativă se poate scrie ținând cont de relația (2.56) astfel:

$$\underline{\varepsilon}^* = \varepsilon'_{eff} - j\varepsilon''_{eff} \quad (2.57)$$

Atunci relația (2.54) devine:

$$\underline{J}_t = \underline{J}_c + \underline{J}_d = j\omega\varepsilon_0(\varepsilon'_{eff} - j\varepsilon''_{eff}) \cdot \underline{E} = j\omega\varepsilon_0\underline{\varepsilon}^* \cdot \underline{E} \quad (2.58)$$

Raportul dintre factorul de pierdere efectiv și constanta dielectrică definește tangenta unghiului de pierdere efectiv:

$$\operatorname{tg}\delta_{eff} = \frac{\varepsilon''_{eff}}{\varepsilon'_{eff}} \quad (2.59)$$

Tangenta unghiului de pierdere caracterizează capacitatea materialului de a transforma energia electromagnetică în căldură la o frecvență și temperatură dată.

### 2.2.3. Ecuația încălzirii dielectricului

Presupunând cazul simplu al unui condensator alimentat la o tensiune alternativă cu pulsația  $\omega$  și valoarea efectivă  $U$ , se poate scrie:

$$\underline{I} = \underline{U} \cdot j\omega C \quad (2.60)$$

În cazul unui condensator plan cu dielectric cu pierderi, avem:

$$\underline{C} = \frac{A\varepsilon_0 \underline{\varepsilon}^*}{d} = \frac{A\varepsilon_0}{d} (\varepsilon' - j\varepsilon'') \quad (2.61)$$

unde  $A$  este aria plăcilor și  $d$  distanța între ele. Înlocuind în (2.60) rezultă:

$$\underline{I} = \underline{U} \cdot \frac{A\varepsilon_0}{d} \omega (j\varepsilon' + \varepsilon'') = j\omega \underline{U} \frac{A\varepsilon_0 \varepsilon'}{d} + \omega \underline{U} \frac{A\varepsilon_0 \varepsilon''}{d} \quad (2.62)$$

Al doilea termen din ecuația (2.62) reprezintă disipația de căldură, deoarece este în fază cu tensiunea aplicată. Puterea disipată este:

$$P = \text{Re}(\underline{U} \cdot \underline{I}) = \omega U^2 \frac{A\varepsilon_0 \varepsilon''}{d} = 2\pi \cdot Ad \cdot f \left( \frac{U}{d} \right)^2 \varepsilon_0 \varepsilon'' \quad (2.63)$$

Densitatea de putere se obține împărțind puterea din formula (2.63) la volumul considerat ( $p = P/Ad$ ), și ținând cont ca  $E = U/d$  se obține ecuația încălzirii dielectricului:

$$p = 2\pi f \varepsilon_0 \varepsilon'' E^2 \quad (2.64)$$

Așadar densitatea de putere disipată în dielectric este proporțională cu frecvența, factorul de pierderi  $\varepsilon''$  și pătratul intensității câmpului electric. Această formulă este generalizată și se aplică în orice situație, nu numai în cazul banal al condensatorului plan, care a fost folosit doar pentru demonstrație.

O altă mărime folosită deseori pentru a caracteriza un dielectric cu pierderi este unghiul de pierderi, dat de obicei ca tangentă. Acesta este diferența între defazajul ideal de  $90^\circ$  și defazajul real între curent și tensiune în cazul unui condensator care folosește dielectricul considerat:

$$\text{tg} \delta = \frac{\varepsilon''}{\varepsilon'} \quad (2.65)$$

### 2.2.4. Dependența de temperatură și umiditate a proprietăților dielectrice

J. B. Hasted a reprezentat schematic contribuția mecanismelor luate în considerație prin factorul de pierderi al unui material umed (figura 2.7) în care pierderile dipolare depind de starea apei conținute în material.

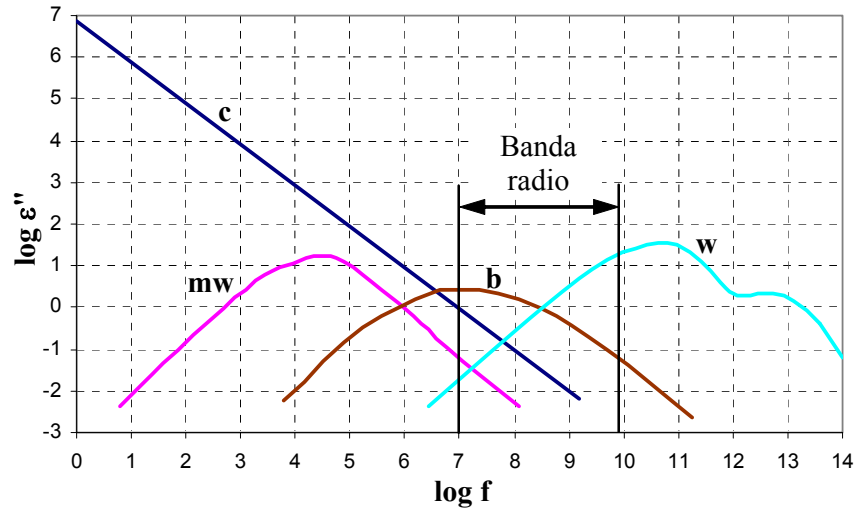


Fig. 2.7. Factorul de pierderi efectiv al unui material dielectric neomogen în funcție de frecvență, (b) - relaxarea apei legate, (w) - relaxarea apei libere, (mw) - pierderi Maxwell-Wagner și (c) - pierderi prin conducție

Datorită faptului că frecvențele industriale de încălzire ale microundelor se situează în banda  $10^7 < f < 3 \cdot 10^9$  Hz, mecanismele luate în considerație sunt cele dipolare și de neomogenitate. Polarizările de tip atomic și electronic apar la frecvențele din domeniul infraroșu și din domeniul vizibil, ca parte al spectrului electromagnetic, acestea nu joacă un rol important în încălzirea cu microunde.

Deoarece multe aplicații implică îndepărtarea umezelii din încărcătura de lucru, variația lui  $\underline{\varepsilon}^*$  și mai ales  $\varepsilon''_{eff}$  cu conținutul de umiditate joacă un rol important în proiectarea instalațiilor de încălzire microunde.

Pentru aceasta a fost făcut un efort major pentru a stabili variația lui  $\varepsilon'_{eff}$  și  $\varepsilon''_{eff}$  cu umiditatea,  $M$ , pentru mai multe materiale industriale cum ar fi: hârtie, scândură, alimente, lemne, textile pentru a interpreta rezultatele și pentru a fi direct aplicabile în proiectarea instalațiilor cu microunde.

Există două deducții importante rezultate din factorul de pierderi funcție de conținutul de umiditate. În primul rând din caracteristicile (figura 2.8),  $\varepsilon''_{eff}$  funcție de umiditatea  $M$ , obținute pentru diferite orientări ale câmpului de frecvență înaltă pe direcția fibră/fir, este arătat cantitativ că pierderile sunt mai mari pentru orientările de câmp paralele cu firul, ceea ce este caracteristic pentru materialele de celuloză, hârtie, scândură, (Driscott, 1976) și lemn (James și Hamill, 1965) [11].

În al doilea rând, panta curbei  $\varepsilon''_{eff}$  funcție de conținutul de umezeală,  $M$ , este critică pentru aplicații industriale unde uniformitatea umezelii unui material în formă de foi este prima cerință, efectul fiind arătat calitativ în figura 2.8b. Acest lucru se petrece deoarece uniformitatea umezelii este efectivă pentru conținuturi de umezeală deasupra valorii critice, deoarece valori mari ale  $d\varepsilon''/dM$  asigură faptul

că părțile mai umede ale materialului absorb mai multă putere și tinde să egalizeze distribuția de umezeală. În figura 2.8b, efectul de egalizare este mult mai puternic pentru caracteristica III decât pentru caracteristica II, iar un material cu caracteristica I nu manifestă această proprietate. Un material dat poate manifesta proprietăți asemănătoare cu cele ale curbelor II și III la frecvențe diferite (*Metaxas și Driscoll, 1974*).

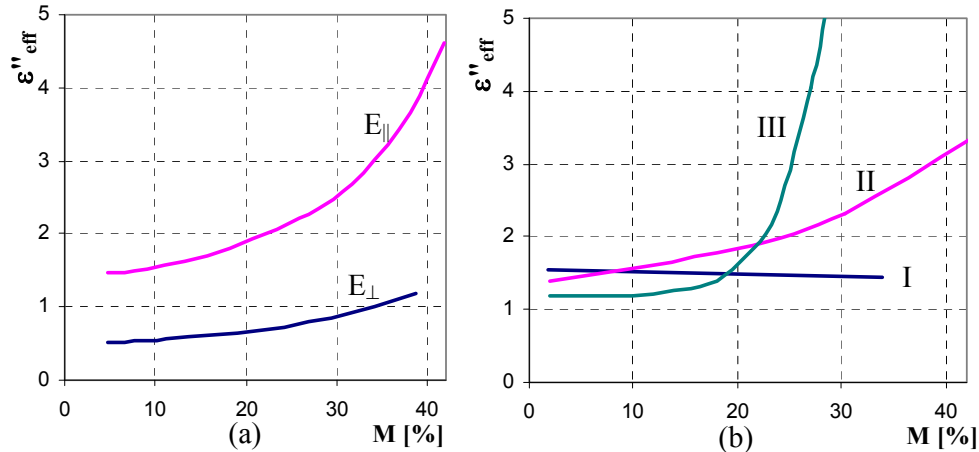


Fig. 2.8. Factorul efectiv de pierderi în funcție de umiditate pentru orientări diferite ale câmpului electric

O serie de investigații au fost făcute pentru a explica dependența de temperatură a factorului de pierderi în diverse materiale. Măsurările lui Tinga (1969) [4] pentru bradul Douglas la umezeală scăzută au arătat că factorul de pierderi crește cu temperatura deoarece legătura fizică se reduce și dipolurile sunt mai libere pentru reorientare.

Pentru umezeală peste 25%, factorul de pierderi scade cu creșterea temperaturii. Influența temperaturii și frecvenței asupra constantei dielectrice complexe a multor alimente a fost investigată de către *Bengtsson și Risman (1971)* la temperaturi între  $-20^{\circ}\text{C}$  și  $60^{\circ}\text{C}$  și de către *To (1974)* care s-a concentrat pe temperaturi deasupra dezghețului, până la  $65^{\circ}\text{C}$  [4].

Cercetările lui *Bengtsson și Risman (1971)* sunt foarte importante pentru că arată clar marile diferențe ale lui  $\epsilon''_{eff}$  și  $\epsilon'_{eff}$  între gheață și apa lichidă. Deoarece majoritatea alimentelor conțin o cantitate apreciabilă de apă, proprietățile lor dielectrice au o caracteristică asemănătoare cu a apei în funcție de temperatură. Atât  $\epsilon''_{eff}$  cât și  $\epsilon'_{eff}$  manifestă creșteri mari cu temperatura la dezgheț, după care valorile scad cu creșterea temperaturii exceptând situația unei concentrații mari de sare când creșterea este continuă datorită pierderilor prin conductivitate.

Relaxarea dielectrică în apă lichidă a fost studiată pe larg de *Hasted (1973)*. Proprietățile dielectrice ale apei în volum nu sunt de mare importanță în încălzirea cu microunde; pentru majoritatea aplicațiilor relaxarea apei legate este mult mai importantă. Caracteristicile dielectrice ale apei și soluțiilor de sare sunt prezentate în figura 2.9a. Vârful lui  $\epsilon''_{eff}$  depinde de temperatură și este situat între aproximativ 9



÷ 30 GHz în cazul temperaturilor între 0 și 50 °C. Influența sării este arătată clar de factorul de pierderi care atinge valoarea de 100 la 9 GHz pentru o soluție de 0,3 molar. Dependența de temperatură a lui  $\epsilon''_{eff}$  și  $\epsilon'_{eff}$  în apă pură este prezentată în figura 2.9b la cele două frecvențe de încălzire cu microunde.

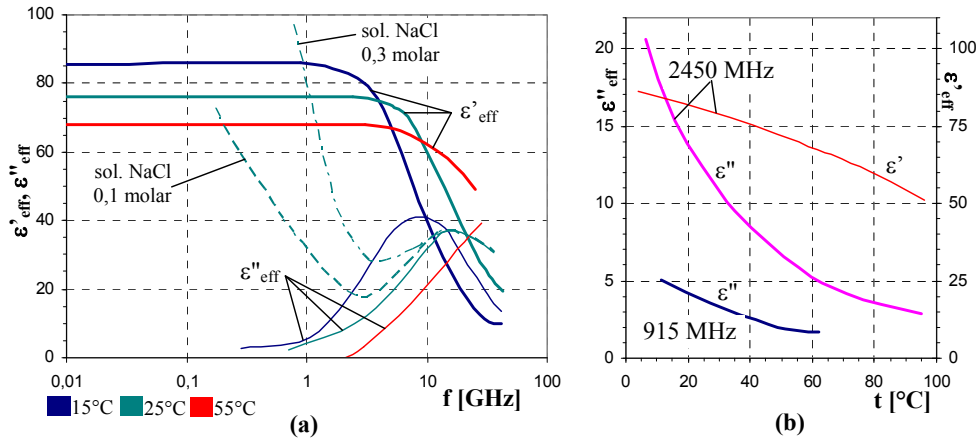


Fig. 2.9. Efectele frecvenței și temperaturii asupra proprietăților dielectrice ale apei pure și soluțiilor saline

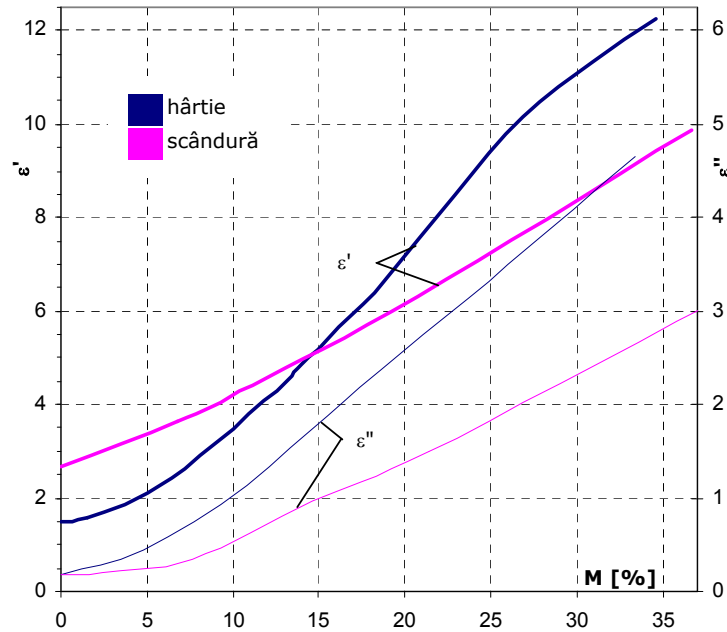


Fig. 2.10. Proprietățile dielectrice ale hârtiei și scândurii în funcție de conținutul de apă la 2450 MHz

*Metaxas și Driscoll (1974)* au efectuat măsurări de proprietăți dielectrice pentru hârtie și scândură la 2,45 GHz (figura 2.10), câmpul electric fiind paralel cu fibrele.

Mai multe articole au fost publicate despre proprietățile dielectrice ale bradului Douglas [4], [6], [9]. În figurile 2.11 ÷ 2.13 sunt prezentate rezultatele lui *Tinga (1969)*, care a studiat variația timpului de relaxare cu conținutul de umezeală și temperatură, pentru câmpul electric paralel cu fibrele.

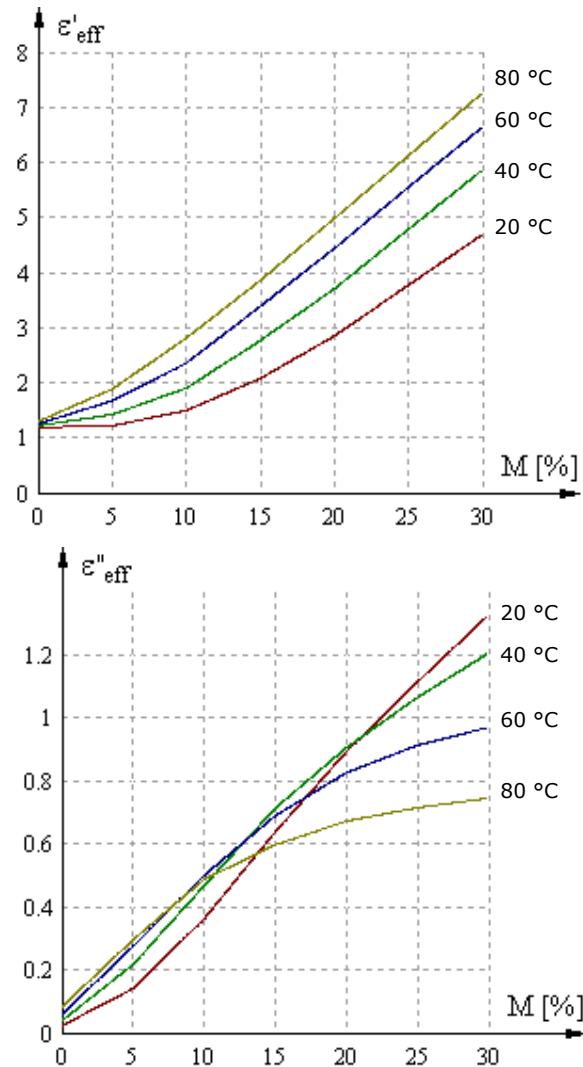


Fig. 2.11. Valorile  $\epsilon'_{eff}$  și  $\epsilon''_{eff}$  în funcție de umiditate la lemnul de brad Douglas

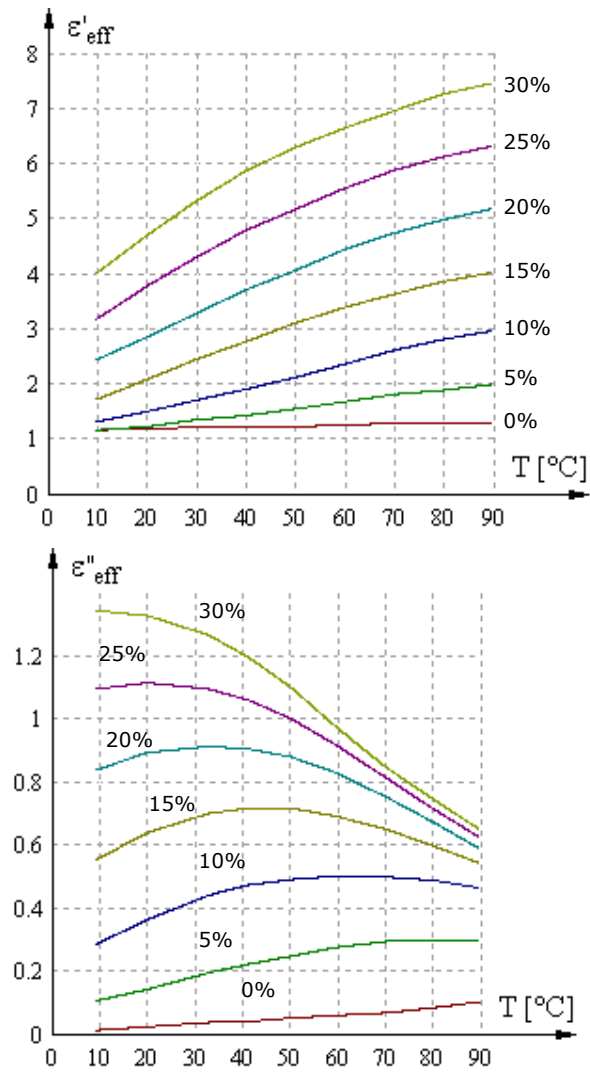


Fig. 2.12. Valorile  $\epsilon'_{eff}$  și  $\epsilon''_{eff}$  în funcție de temperatură la lemnul de brad Douglas

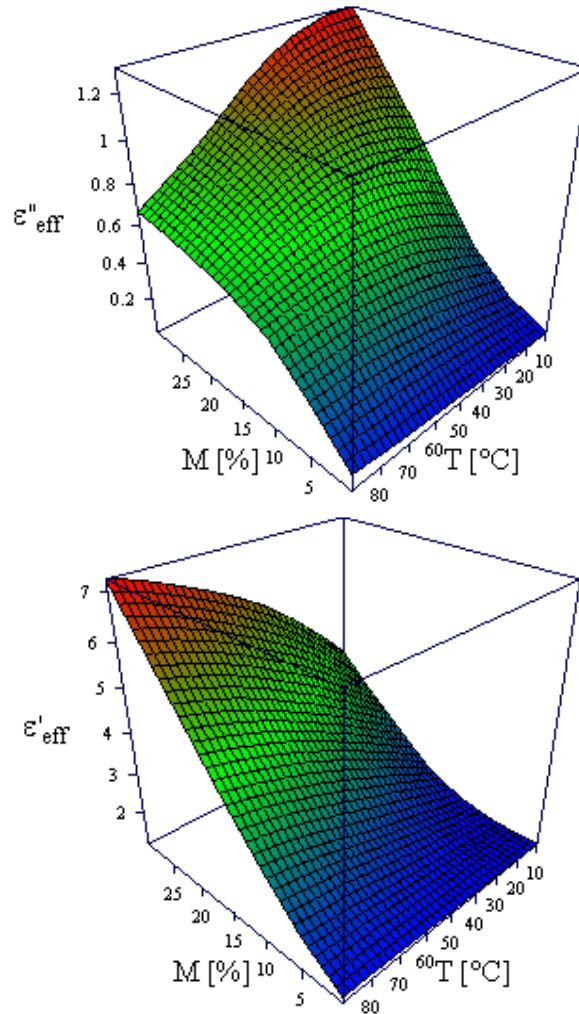


Fig. 2.13. Valorile  $\epsilon'_{eff}$  și  $\epsilon''_{eff}$  în funcție de umiditate și temperatură la lemnul de brad Douglas (grafice în perspectivă tridimensională)

Pierderile cele mai mari în acest caz sunt la temperatură mică și umiditate ridicată, ceea ce conduce la stabilitate termică în cazul uscării lemnului.

### 2.2.5. Adâncimea de penetrare

Pe măsură ce o undă electromagnetică se propagă într-un material dielectric cu pierderi, amplitudinea ei scade din cauza transformării energiei ei în căldură. Dacă facem abstracție de undele reflectate (semispațiu infinit), atunci densitatea fluxului de putere scade exponențial pe măsură ce ne îndepărtăm de suprafață. Deoarece densitatea de putere absorbită de material este proporțională cu densitatea fluxului de putere care trece prin el, și densitatea de putere disipată

scade exponențial cu distanța până la suprafață. Rata scăderii puterii disipate este funcție atât de permitivitatea relativă  $\varepsilon'$  cât și de factorul de pierderi  $\varepsilon''$ . Adâncimea de penetrare este definită ca adâncimea în material la care fluxul de putere este  $e^{-1} \approx 0,368$  din valoarea de la suprafață. Relația de calcul este (Metaxas și Meredith, 1983) [4]:

$$D_p = \frac{\lambda_0}{2\pi\sqrt{2\varepsilon'}} \frac{1}{\sqrt{\sqrt{1 + \left(\frac{\varepsilon''}{\varepsilon'}\right)^2} - 1}} \quad (2.66)$$

Atunci când  $\varepsilon'' \leq \varepsilon'$ , relația (2.66) se simplifică la (2.67) cu o eroare de până la 10%:

$$D_p = \frac{\lambda_0 \sqrt{\varepsilon'}}{2\pi\varepsilon''} \quad (2.67)$$

Adâncimea de penetrare este un parametru de material foarte important deoarece oferă o primă aproximație a distribuției de putere în volumul materialului. Într-un semispațiu infinit de material ideal ( $\varepsilon'$  și  $\varepsilon''$  constante) și cu o undă plană incidentă normal la suprafață, densitatea de putere la adâncimea  $z$  este dată de:

$$p_z = p_0 \exp\left(-\frac{z}{D_p}\right) \quad (2.68)$$

O aproximație a distribuției de putere într-un material gros încălzit din ambele părți poate fi făcută prin superpoziția a două astfel de distribuții exponențiale având originile pe cele două fețe.

Integrând relația (2.68) pe intervalul  $0 \div D_p$  se obține o altă definiție a adâncimii de pătrundere: este adâncimea până la care se disipă  $(1 - e^{-1}) \approx 63,2\%$  din puterea totală, restul fiind disipat la adâncimi mai mari.

Deși definițiile sunt asemănătoare, adâncimea de penetrare nu este același lucru cu adâncimea de pătrundere într-un perete conductor. În cazul peretelui conductor aproape toată energia microundelor este reflectată înapoi, numai o mică parte fiind absorbită. Câmpul magnetic direct al undei determină circulația unor curenți la suprafața conductorului, care la rândul lor produc câmpuri magnetice aproximativ egale și opuse, ceea ce conduce la apariția unei unde reflectate. Este uzual în calculele instalațiilor de microunde să se considere pereții din conductor ideal, deci adâncimea de pătrundere și implicit pierderile în conductor zero.

Este interesant de observat că dacă factorul de pierderi  $\varepsilon''$  este constant, adâncimea de penetrare crește cu permitivitatea relativă  $\varepsilon'$ . Motivul este acela că impedanța caracteristică  $\zeta$  scade (rel. 2.26) și odată cu ea și amplitudinea intensității câmpului electric, deci și densitatea de putere disipată.

### 2.3. Limitări ale densității de putere disipată

Pentru a obține maximum de productivitate și randament este necesar să se crească la maxim densitatea de putere în scopul reducerii timpului de procesare. Totuși, ca și în cazul încălzirii superficiale, puterea aplicată nu poate depăși o anumită valoare, deși din motive diferite. Dacă în cazul încălzirii clasice puterea era limitată de volumul materialului și difuzivitatea termică, în cazul încălzirii

volumetrică cu microunde pot apărea fenomene termice și electrice nedorite în material dacă puterea este prea mare.

### 2.3.1. Limitări termice

Limitările termice apar de obicei, dar nu întotdeauna, ca urmare a încălzirii neuniforme a materialelor neomogene. Există mai multe fenomene care pot apărea:

**Gradienții de temperatură** pot produce tensiuni mecanice în material și posibil deteriorări ale acestuia.

**Gradienții de umiditate** în cazul uscării, care rezultă de asemenea în tensiuni mecanice și deteriorări. Aceasta este o problemă importantă în cazul uscării rapide a materialelor ceramice, și apare chiar dacă uniformitatea încălzirii este perfectă. Căldura din material se propagă nu numai prin convecție ci și prin transportul apei fierbinți care difuzează către suprafață. Evaporarea rapidă la suprafață poate produce gradienți mari de temperatură, care pentru a fi controlați se practică menținerea unui mediu controlat cu umiditate mare.

**Presiunea generată prin evaporare** din cauza fierberii locale în interiorul materialului poate cauza tensiuni mecanice și rupturi, uneori prin explozie; spargerea ouălor încălzite într-un cuptor de bucătărie este un exemplu cunoscut.

### 2.3.2. Străpungerea dielectrică și producerea de arc electric

Aceste fenomene au loc atunci când intensitatea câmpului electric depășește o anumită valoare determinată de proprietățile materialului, ale mediului și de existența neomogenităților conductoare. Deși în mod normal intensitatea câmpului electric este mult sub valoarea critică, uneori condiții speciale favorizează străpungerea și arcul electric. Dacă una sau mai multe din condițiile următoare se îndeplinesc, atunci străpungerea și arcul electric trebuie luate în calcul:

- procesul tehnologic cere densități mari de putere disipată
- factorul de pierderi în material este mic
- procesarea are loc în vid sau la presiune scăzută
- există incluziuni conductoare în material

Intensitatea câmpului electric necesară menținerii unui arc electric este mult mai mică decât cea necesară amorsării lui, și este invariabil necesar să se oprească sursa de microunde pentru a stinge arcul. Este necesară o pauză de câteva secunde pentru a permite gazelor ionizate să se disperseze înainte de a reaplica microundele cu putere mai mică, existând un risc mare ca datorită deteriorării materialului acolo unde a avut loc străpungerea, aceasta să se întâmple din nou în același loc.

Aerul uscat la presiune atmosferică și temperatura camerei ( $18\text{ }^{\circ}\text{C} \approx 288\text{ K}$ ) are rigiditatea dielectrică de aproximativ  $30\text{ kV/cm}$ , aproape constantă în frecvență de la câmp staționar la microunde, dar într-un câmp uniform. În contextul încălzirii cu microunde, intensitatea câmpului electric care contează este dată de amplitudinea undei și trebuie să se țină cont de efectele de concentrare a câmpului și de orice altceva care ar putea să scadă rigiditatea dielectrică a materialului.

Legea lui Paschen (Joos, 1958) [4] afirmă că rigiditatea dielectrică a unui gaz este proporțională cu presiunea absolută sau densitatea, adică cu numărul de molecule de gaz prezent în unitatea de volum. Cum la presiune constantă densitatea scade cu creșterea temperaturii, rezultă că și rigiditatea dielectrică scade. Astfel, la  $200\text{ }^{\circ}\text{C}$  și presiune atmosferică rigiditatea dielectrică a aerului este de aproximativ

$30 \times 288 / 473 = 18 \text{ kV/cm}$ . Este deci important să se țină cont de temperatura suprafeței materialului și a gazului din incinta cuptorului atunci când se estimează limitarea dată de străpungerea dielectrică.

La presiune mică, rigiditatea dielectrică  $E_b$  scade liniar după legea lui Paschen până la presiuni de aprox. 15 mbar, când  $E_b = 450 \text{ V/cm}$ . Un minim este atins în jur de 1 mbar după care rigiditatea dielectrică crește din nou pe măsură ce presiunea scade. Valoarea minimă a rigidității dielectrice este dependentă de frecvență, și este de 190 V/cm la 2450 MHz și de 80 V/cm la 915 MHz. În majoritatea proceselor de uscare în vid presiunea este în jur de  $50 \div 100 \text{ mbar}$ , ceea ce corespunde la o rigiditate dielectrică de  $1500 \div 3000 \text{ V/cm}$  la toate frecvențele. Figurile 2.14 și 2.15 arată rigiditatea dielectrică pentru aer și respectiv vapori de apă.

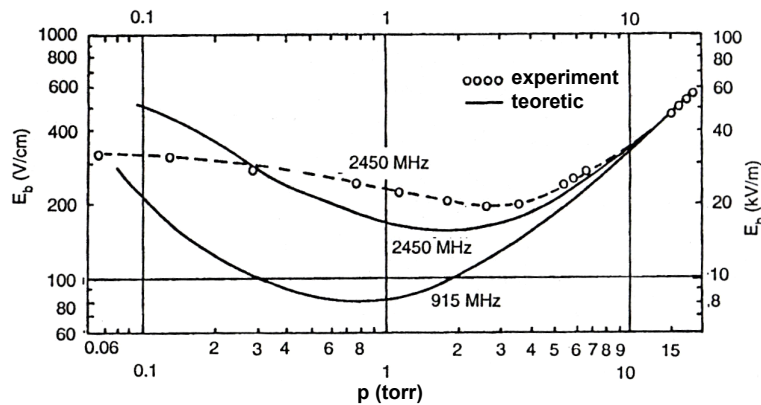


Fig. 2.14. Rigiditatea dielectrică a aerului la presiune mică

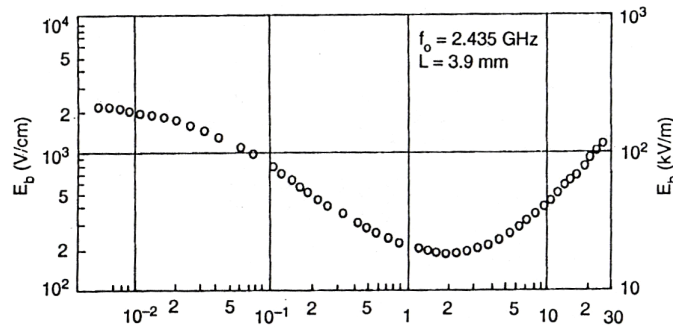


Fig. 2.15. Rigiditatea dielectrică a vaporilor de apă la presiune mică

Din cauza naturii statistice a străpungerii dielectrice și a faptului că există mulți factori care pot cauza o ridicare a intensității câmpului electric peste rigiditatea dielectrică, în practică se lucrează de obicei cu o marjă de eroare considerabilă.

Arcul electric poate să apară atunci când sarcina este sub formă de granule mari care se ating sau sunt foarte apropiate. Dacă de exemplu granulele sunt de formă sferică iar două dintre ele sunt foarte apropiate și au centrele pe o axă

paralelă cu intensitatea câmpului electric, curentul de deplasare "prins" de granule va trece de la una la alta prin zona de contact care are o suprafață mică. Deci densitatea curentului de deplasare va fi mare, creând o zonă de volum foarte mic în care intensitatea câmpului este mare și în plus încălzirea este mai puternică. Poate avea loc o străpungere imediată, sau este posibil ca aceasta să aibă loc datorită încălzirii locale. Acest fenomen de concentrare este cu atât mai important cu cât permitivitatea relativă a materialului este mai mare.

### 2.3.3. Ambalarea termică

Ambalarea termică este o situație care apare când distribuția de putere disipată într-un volum mic din sarcină depășește fluxul termic transmis de acest volum împrejurimilor, astfel încât viteza de creștere a entalpiei este mai mare decât în jur. Temperatura crește mai repede în acest „punct fierbinte” până are loc descompunerea. Ambalarea termică degenerază invariabil în producerea de arcuri și e deseori dificil de a realiza care fenomen este cauza și care efectul.

În practică, mecanismele implicate în ambalarea termică sunt foarte complicate și aproape imposibil de cuantificat. Este un fenomen statistic; condițiile de lucru sunt stabilite astfel încât probabilitatea unui incident de ambalare termică să fie în limite acceptabile, care pot fi determinate doar experimental.

Ambalarea termică este determinată de o inegalitate locală în ecuația transferului de căldură; mărimile implicate sunt densitatea de putere disipată ca urmare a efectului microundelor și transferul de căldură de la „punctul fierbinte” zonelor adiacente.

O anomalie locală în distribuția densității de putere poate să apară ca urmare a câmpului electric neuniform sau a unei valori locale mari a factorului de pierderi. Câmpul electric poate fi concentrat în apropierea unei suprafețe de separare, datorită undelor staționare sau proximității unei alimentări a aplicatorului. Acestea două din urmă se extind însă pe volume mult mai mari decât volumul inițial a unui punct fierbinte și de obicei nu sunt implicate. O neomogenitate în permitivitatea relativă  $\epsilon'$  poate determina de asemenea concentrarea  $E$ . Particulele metalice, în special filiforme, creează concentrații puternice ale câmpului electric.

Factorul de pierderi este deseori o funcție crescătoare de temperatură. Materialele plastice și cauciucul prezintă astfel de caracteristici, cu o creștere rapidă atunci când începe descompunerea termică. Producții de descompunere, îndeosebi carbonul, pot avea o valoare mult mai mare a lui  $\epsilon''$ . Dacă tratarea materialului implică transformări de fază (de exemplu dezghețarea apei) sau reacții chimice, acestea pot conduce la creșteri bruște ale  $\epsilon''$  odată cu temperatura. Efectul este că punctul fierbinte se va încălzi încă și mai repede, de aici și numele „ambalare termică”.

Punctul fierbinte este răcit prin difuzia căldurii materialului înconjurător, determinată complet de gradientul de temperatură și difuzivitatea termică. Conductivitatea termică (și implicit difuzivitatea) pot să scadă prin formarea de goluri în apropierea punctului fierbinte. Materialele cu conductivitate termică scăzută sunt mai predispușe la ambalare termică.



### 3. Câmpul electromagnetic în structurile de microunde

Este cunoscut faptul că o undă electromagnetică plană există numai într-un mediu uniform și infinit extins. În tehnica microundelor este necesară ghidarea și controlarea radiației electromagnetice.

Sistemele de medii conductoare sau dielectrice care determină propagarea undelor electromagnetice în lungul unor trasee se numesc ghiduri de undă. Exemple de ghiduri de undă sunt: linia bifilară, linia multifilară, cablul coaxial, etc. Există anumite condiții în care radiația electromagnetică se propagă prin astfel de structuri.

Cel mai simplu ghid de undă este construit din două plăci perfect conductoare în care unda electromagnetică plană se propagă paralel cu pereții conductori. Sistemul din figura 3.1 realizat din plăci perfect conductoare are extensie finită pe direcțiile  $y$  și  $x$  și cu extensie mult mai mare în direcția  $z$  este un ghid de undă. Câmpul electromagnetic în această structură arată exact ca o undă plană care se propagă paralel cu plăcile conductoare.

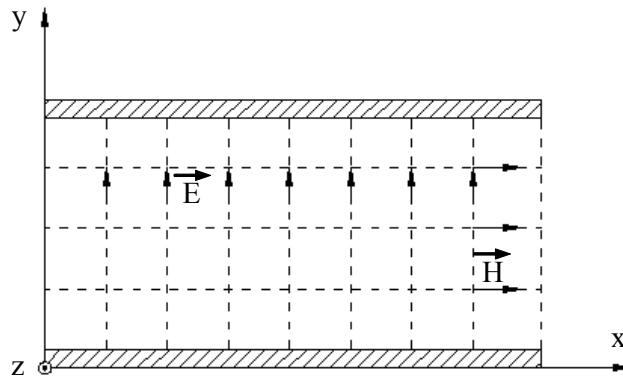


Fig. 3.1. Ghid de undă cu plăci plane paralele

Aspectul câmpului electromagnetic într-un ghid de undă se mai numește **mod**. Unda electromagnetică plană este un mod TEM, adică transversal electric și magnetic, intensitățile câmpului electric și câmpului magnetic sunt situate în plane normale pe direcția de propagare. Câmpul electric are componentă numai după  $Oy$  ( $E_y$ ) și induce pe fețele ghidului de undă sarcină electrică repartizată uniform cu densitatea superficială  $\rho_s = \epsilon E_y$ , iar câmpul magnetic are componentă numai pe axa  $Ox$  și induce pe suprafața plăcilor pânze de curent cu densitatea superficială  $J_s = H_x$ . În acest fel sunt satisfăcute ecuațiile lui Maxwell și condițiile de frontieră.

Modul TEM este realizabil și în dielectricul dintre doi cilindri coaxiali cu razele  $r_e$  și  $r_i \gg (r_e - r_i)$ , dar nu este realizabil în ghidurile de undă tubulare cu contur finit al secțiunii transversale și nici chiar în ghidul cu plăci paralele, dacă unghiul de incidență al undei este diferit de  $\pi/2$ .

### 3.1. Propagarea undelor într-un ghid dreptunghiular

Pentru a înțelege mai ușor modul de formare și propagare a undelor staționare pe ghid, se va presupune un exemplu simplu. Fie ghidul de undă cu plăcile plane paralele din figura 3.1. Sursa de câmp poate să fie un conductor parcurs de curent paralel cu plăcile conductoare ( $+S_0$ ).

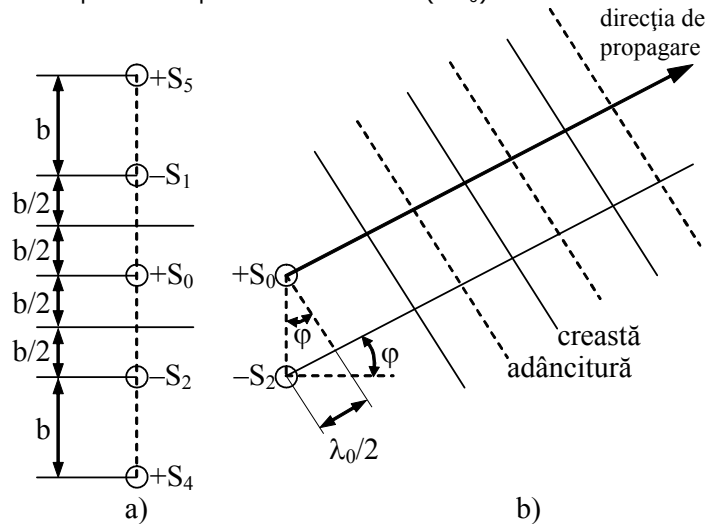


Fig. 3.2. Metoda imaginilor

Pentru soluționarea problemei de câmp se poate apela la metoda imaginilor. Suprimarea plăcilor conductoare este echivalentă cu introducerea unor surse imagini (figura 3.2a) astfel încât să fie îndeplinite condițiile de frontieră la suprafața plăcilor ( $E_t = 0$ ). Sistemul de surse imagine se extinde la infinit.

Prin compunerea câmpurilor produse de fiecare din aceste surse se obțin undele staționare, pentru care în figura 3.2b s-au trasat liniile de fază constantă (creasta - maximum amplitudinii, adâncimea - minimum amplitudinii).

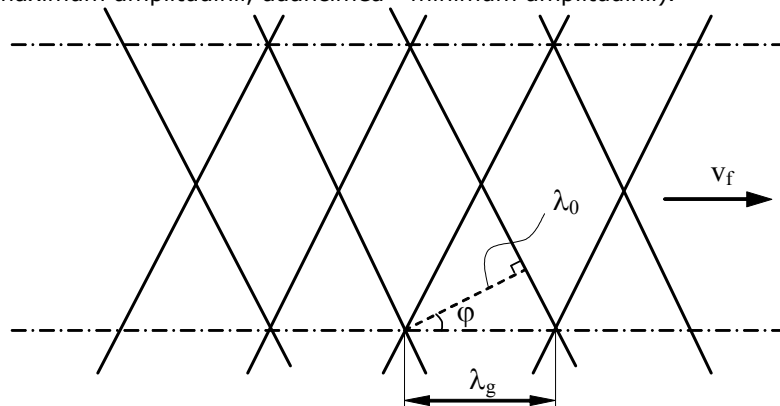


Fig. 3.3. Propagarea undelor în ghid

Direcția de propagare a unei, va fi aceea pentru care diferența de fază în timp, pentru două surse vecine, corespunde la o jumătate de oscilație.

$$\text{Altfel spus } r_2 - r_0 = \frac{\lambda_0}{2}, \text{ iar unghiul } \varphi \text{ este dat de relația } \sin \varphi = \frac{\lambda_0}{2b}.$$

Există evident și un alt sistem de unde care se propagă în jos (figura 3.3) la unghi simetric față de șirul de surse.

Undele obținute prin suprapunerea unui șir infinit de surse liniare se pot obține cu două sisteme de unde ce sunt continuu reflectate înainte și înapoi de două oglinzi perfecte (se știe că o reflexie reprezintă o inversare de fază). Aceste sisteme de unde reflectate s-ar anihila reciproc până s-ar ajunge la unghiul  $\varphi$  calculat mai sus.

### 3.1.1. Lungimea de undă de tăiere

Se consideră un ghid de undă cu plăci plane paralele și o undă plană care se propagă pe o direcție care face un unghi  $\varphi$  cu planul plăcilor (figura 3.4).

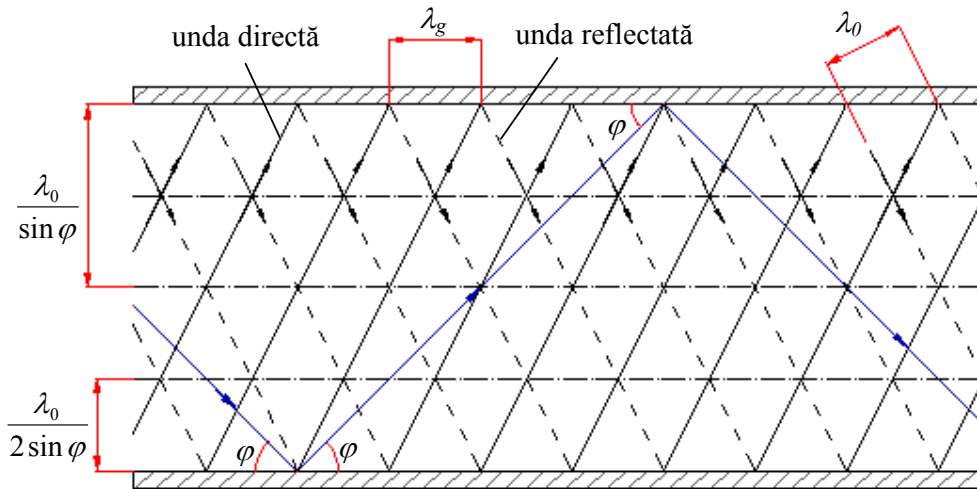


Fig. 3.4. Ghid de undă cu plăci plane paralele

Direcția de propagare este perpendiculară pe liniile de fază egale, care sunt dispuse la distanțe egale cu lungimea de undă  $\lambda_0$ . Pentru a satisface condițiile de frontieră pentru câmpul electric (componentele tangențiale să se anuleze), este necesar ca lățimea  $b$  a ghidului de undă să fie un multiplu de jumătăți de undă:

$$b = \frac{n\lambda_0}{2 \sin \varphi} \tag{3.1}$$

unde  $n$  este un număr întreg. Altfel spus dacă s-ar dispune o placă conductoare în planul ( $P$ ) nu se schimbă aspectul undei. Relația (3.1) reprezintă condiția de propagare.

Pentru orice  $n$ , distanța minimă de realizare a undei este:

$$b = \frac{n\lambda_0}{2} \quad (3.2)$$

care corespunde unui unghi ( $\varphi = 90^\circ$ ).

La un  $b$  dat, cea mai mare lungime de undă posibilă (care „încapă” în ghid) este:

$$\lambda_c = \frac{2b}{n} \quad (3.3)$$

numită lungime de undă de tăiere (sau caracteristică) căreia îi corespunde frecvența de tăiere:

$$f_c = \frac{c}{\lambda_c} = \frac{nc}{2b} = \frac{n}{2b\sqrt{\mu\epsilon}} \quad (3.4)$$

### 3.1.2. Lungimea de undă a ghidului

Lungimea de undă a ghidului ( $\lambda_g$ ) este:

$$\lambda_g = \frac{\lambda_0}{\cos \varphi} \quad (3.5)$$

Se observă că, pentru unghiul  $\varphi = 90^\circ$ ,  $\lambda_g \rightarrow \infty$  și în consecință nu mai există propagare. Din acest motiv, relația (3.2) se numește condiție de tăiere. Lungimea de undă caracteristică reprezintă în fapt cea mai mare lungime de undă care încapă în ghid.

Interesează ce relație de legătură există între  $\lambda_0$ ,  $\lambda_g$  și  $\lambda_c$ . Pentru a obține o astfel de relație se ține cont de relațiile (3.1) și (3.5) și având în vedere că  $\sin^2 \varphi + \cos^2 \varphi = 1$  se obține:

$$\left(\frac{n\lambda_0}{b}\right)^2 + \left(\frac{\lambda_0}{\lambda_g}\right)^2 = 1 \Rightarrow \lambda_g = \frac{\lambda_0}{\sqrt{1 - \left(\frac{n\lambda_0}{b}\right)^2}} \text{ și ținând cont de relația}$$

(3.3) se obține:

$$\lambda_g = \frac{\lambda_0}{\sqrt{1 - \left(\frac{\lambda_0}{\lambda_c}\right)^2}} \quad (3.6)$$

La frecvențe joase se poate propaga numai modul linie de transmisie (TEM). Pe măsură ce crește frecvența, de exemplu pentru  $n = 1$  (atunci când  $\lambda_0 = 2b$ ) va începe să se propage și primul mod dintre cele de ghid. La o frecvență și mai mare care corespunde lungimii de unda  $\lambda_0 = b$  apare și al doilea mod de propagare, etc.

### 3.1.3. Vitezele de propagare a undelor

#### Viteza de fază

Viteza de fază este definită în studiul unei plane. Deoarece într-un ghid de undă  $\lambda_g > \lambda_0$ , rezultă că viteza de fază în ghid este mai mare decât viteza de propagare a unei plane.

Viteza de fază a unei în ghid este dată de relația:

$$v_f = \frac{\lambda_g}{T} = \frac{\lambda_0}{T \cos \varphi} = \frac{c}{\cos \varphi} \quad (3.7)$$

Viteza de fază în ghid se poate exprima și în funcție de  $\omega$  și  $\beta$ . Ținând seama că  $\lambda_g = \frac{2\pi}{\beta}$  și  $\lambda_0 = \frac{c}{f}$  rezultă:

$$v_f = \frac{2\pi f}{\beta} = \frac{\omega}{\beta} \quad (3.8)$$

De reținut că viteza de fază este o viteză relativă, acesta nu este viteza cu care se propagă informația ci viteza cu care se deplasează configurația de câmp.

#### Viteza de grup

Pentru determinarea vitezei de grup a undelor în ghid ( $v_g$ ) se are în vedere că propagarea acesteia se face în zig-zag (figura 3.5). Viteza de grup este viteza cu care energia electromagnetică sau „semnalul” ce transportă informația se propagă în lungul ghidului.

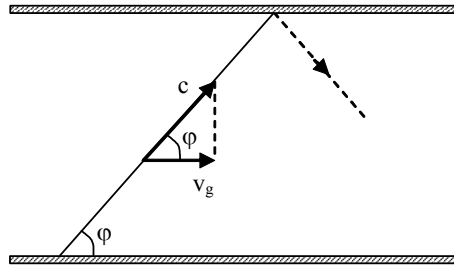


Fig. 3.5. Viteza de grup

Rezultă că:

$$v_g = c \cos \varphi = c \frac{\lambda_0}{\lambda_g} \quad (3.9)$$

Viteza de grup  $v$  se poate exprima în funcție de  $\omega$  și  $\beta$ . Având în vedere că  $\lambda_g = 2\pi/\beta$  și  $\lambda_0 = 2\pi c/\omega$ , din (3.9) rezultă:

$$v_g = c \frac{2\pi c}{\omega} \frac{\beta}{2\pi} = c^2 \frac{\beta}{\omega} \quad (3.10)$$

Ținând cont de expresia vitezei de fază dată de expresia (3.8), se obține o legătură funcțională între  $v_g$  și  $v_f$ :

$$v_g v_f = c^2 \quad (3.11)$$

### 3.2. Moduri de linie de transmisie

Să presupunem că ghidul de undă realizat din două plăci conductoare paralele (studiat în paragrafele precedente) îl curbăm. Se obține un ghid ca în figura 3.6, iar dacă îl curbăm complet se obține un ghid ca în figura 3.7.

Câmpul electromagnetic obținut în modul reprezentat în figura 3.7 este ca și cum pe conturul interior potențialul electric are o valoare  $V = \text{const}$ , iar pe conturul exterior potențialul electric este nul. Sau, conturul interior este parcurs de un curent electric de conducție de „ducere” (perpendicular pe planul secțiunii) iar conturul exterior este parcurs de un curent electric de „întoarcere”.

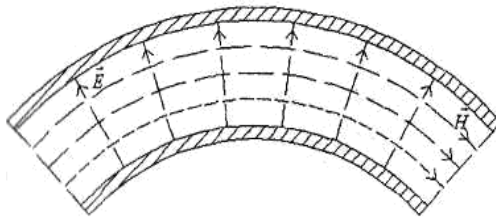


Fig. 3.6. Ghid de undă cu plăci curbate

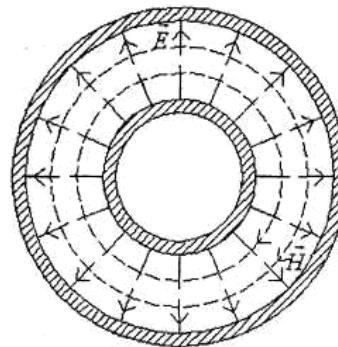


Fig. 3.7. Ghid de undă coaxial

Situația câmpului electromagnetic este ca și în cazul câmpului electromagnetic staționar (câmp electric staționar și câmp magnetic staționar).

Totuși există o deosebire: între intensitățile câmpului electric și a câmpului magnetic (componente ale unei electromagnetice) este o legătură de forma:

$$\frac{E}{H} = \zeta$$

Pentru unda electromagnetică plană s-a definit o impedanță intrinsecă. Pentru un ghid de undă se definește o impedanță de undă ca raportul dintre componentele tangențiale ale câmpului electric și ale câmpului magnetic:

$$\frac{E_t}{H_t} = \zeta_0 \quad (3.12)$$

O altă structură care permite un mod de transmisie de linie este linia bifilară (figura 3.8).

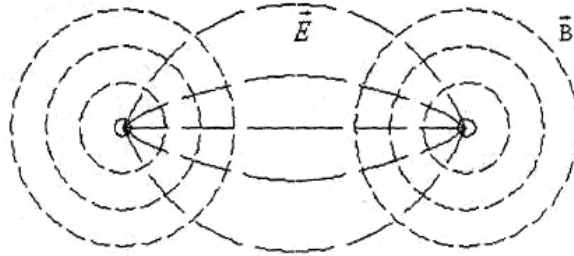


Fig. 3.8. Aspectul liniilor de câmp pentru o linie bifilară

### 3.2.1. Componentele de câmp pentru un mod de linie de transmisie

Se vor stabili ecuațiile satisfăcute de componentele câmpului electric și câmpului magnetic pentru un mod de linie de transmisie. Dacă direcția Oz este direcția de propagare a unde, atunci pentru un mod de linie de transmisie componentele  $E_z$  și  $H_z$  sunt nule.

Ecuatiile vectoriale ale câmpului electric și ale câmpului magnetic sunt:

$$\nabla \times \vec{H} = \varepsilon \frac{\partial \vec{E}}{\partial t} \quad (3.13)$$

$$\nabla \times \vec{E} = -\mu \frac{\partial \vec{H}}{\partial t}$$

Avem o descompunere într-o componentă transversală și o componentă longitudinală (în lungul direcției de propagare). Cum:

$$\nabla = \nabla_t + \vec{k} \frac{\partial}{\partial z} \quad (3.14)$$

Pentru câmpul electric și magnetic se poate scrie:

$$\begin{aligned} \vec{H} &= \vec{H}_t + \vec{k} H_z \\ \vec{E} &= \vec{E}_t + \vec{k} E_z \end{aligned} \quad (3.15)$$

unde  $\vec{H}_t$  și  $\vec{E}_t$  reprezintă componentele în planul perpendicular direcției de propagare Oz ( $\vec{H}_t = \vec{i} H_x + \vec{j} H_y$ ;  $\vec{E}_t = \vec{i} E_x + \vec{j} E_y$ ). Componentele  $E_z$  și  $H_z$  nu sunt unde, acestea având valori constante în timp. Ecuatiile (3.13) se mai scriu astfel:

$$\begin{aligned} \left( \nabla_t + \vec{k} \frac{\partial}{\partial z} \right) \times \vec{H}_t &= \varepsilon \frac{\partial \vec{E}_t}{\partial t} \\ \left( \nabla_t + \vec{k} \frac{\partial}{\partial z} \right) \times \vec{E}_t &= -\mu \frac{\partial \vec{H}_t}{\partial t} \end{aligned} \quad (3.16)$$

Identificând componentele se obține:

$$\nabla_t \times \vec{H}_t = 0 \quad (a)$$

$$\nabla_t \times \vec{E}_t = 0 \quad (b)$$

$$\vec{k} \frac{\partial}{\partial z} \times \vec{H}_t = \varepsilon \frac{\partial \vec{E}_t}{\partial t} \quad (c) \quad (3.17)$$

$$\vec{k} \frac{\partial}{\partial z} \times \vec{E}_t = -\mu \frac{\partial \vec{H}_t}{\partial t} \quad (d)$$

Ecuatiile (3.17a) și (3.17b) arată că distribuția câmpului este oarecum ca în regim staționar (câmpuri irotaționale) și în consecință pentru calculul capacității se procedează ca în electrostatică, iar pentru calculul inductivității ca în magnetostatică. Relațiile (3.17c) și (3.17d) reprezintă ecuațiile telegraștilor în mărimi de câmp.

### 3.2.2. Condiții de existență a modului linie de transmisie

Nu orice structură permite propagarea unui mod de linie de transmisie (TEM). Ținând seama că pentru un mod de linie câmpul electric este irotațional (rel. 3.17b), rezultă că este un câmp de gradient ca în electrostatică:  $\vec{E} = \nabla V$ . Având în vedere că  $\nabla \cdot \vec{E} = 0$ , rezultă că laplacianul potențialului electric este de asemenea zero:  $\nabla^2 V = 0$ .

O structură de tip ghid de undă, formată dintr-un singur conductor, are potențial constant pe frontieră. Ținând cont de aceasta, de faptul că există numai componente transversale pentru câmpul electric și de laplacianul nul dedus anterior, rezultă că potențialul trebuie să fie constant. Adică  $E = 0$ .

În consecință, pentru o structură cu un singur conductor nu există modul TEM. Pentru un sistem cu două conductoare (gen cablu coaxial sau linie bifilară) nu există nici o restricție și modul TEM se propaga la orice frecvență.

### 3.3. Moduri de ghid

Reamintim că orice conductor cilindric având o secțiune oarecare simplu conică poate fi un ghid de undă. Soluțiile ecuațiilor lui Maxwell cu condiții de frontieră impuse de existența pereților ghidului și determinate de configurația geometrică a acestuia se numesc moduri de propagare de ghid sau pe scurt – moduri de ghid.

Pentru determinarea legăturilor între mărimile câmpului electromagnetic, se va considera un ghid de undă dreptunghiular, frecvent utilizat în tehnica de microunde.

Mărimile de stare locală ale câmpului electromagnetic sunt:  $\vec{E}, \vec{D}, \vec{H}, \vec{B}$ , deci 12 componente scalare. Se va demonstra că aceste componente scalare se pot exprima funcție de componentele intensităților câmpului electromagnetic pe direcția de propagare:  $E_z$  și  $H_z$ .



În demonstrație se vor utiliza componentele transversale și longitudinale ale câmpului electromagnetic și a operatorilor. Astfel, ecuațiile lui Maxwell se pot scrie sub forma:

$$\begin{aligned}\nabla \times \vec{E} &= -\mu \frac{\partial \vec{H}}{\partial t} \Rightarrow \left( \nabla_t + \vec{k} \frac{\partial}{\partial z} \right) \times (\vec{E}_t + \vec{k} E_z) = -\mu \frac{\partial}{\partial t} (\vec{H}_t + \vec{k} H_z) \\ \nabla \times \vec{H} &= \varepsilon \frac{\partial \vec{E}}{\partial t} \Rightarrow \left( \nabla_t + \vec{k} \frac{\partial}{\partial z} \right) \times (\vec{H}_t + \vec{k} H_z) = \varepsilon \frac{\partial}{\partial t} (\vec{E}_t + \vec{k} E_z)\end{aligned}\quad (3.18)$$

Dezvoltând relațiile (3.18) de mai sus, se obține:

$$\begin{aligned}\nabla_t \times \vec{E}_t + \nabla_t \times \vec{k} E_z + \vec{k} \frac{\partial}{\partial z} \times \vec{E}_t + \vec{k} \frac{\partial}{\partial z} \times \vec{k} E_z &= -\mu \frac{\partial}{\partial t} (\vec{H}_t + \vec{k} H_z) \\ \nabla_t \times \vec{H}_t + \nabla_t \times \vec{k} H_z + \vec{k} \frac{\partial}{\partial z} \times \vec{H}_t + \vec{k} \frac{\partial}{\partial z} \times \vec{k} H_z &= \varepsilon \frac{\partial}{\partial t} (\vec{E}_t + \vec{k} E_t)\end{aligned}\quad (3.19)$$

$$\text{dar } \vec{k} \frac{\partial}{\partial z} \times \vec{k} E_t = 0 \text{ și } \vec{k} \frac{\partial}{\partial z} \times \vec{k} H_t = 0$$

Din identificarea componentelor pe direcția longitudinală și pe direcția transversală se obțin ecuațiile pentru componentele transversale:

$$\begin{aligned}\nabla_t \times \vec{k} H_z + \frac{\partial}{\partial z} \vec{k} \times \vec{H}_t &= \varepsilon \frac{\partial \vec{E}_t}{\partial t} \quad (a) \\ \nabla_t \times \vec{k} E_z + \frac{\partial}{\partial z} \vec{k} \times \vec{E}_t &= -\mu \frac{\partial \vec{H}_t}{\partial t} \quad (b)\end{aligned}\quad (3.20)$$

În ipoteza unui regim armonic, apelând la reprezentarea în complex, ecuațiile (3.20) devin:

$$\begin{aligned}\nabla_t \times \vec{k} \underline{H}_z + \frac{\partial}{\partial z} \vec{k} \times \underline{H}_t &= j\omega\varepsilon \underline{E}_t \quad (a) \\ \nabla_t \times \vec{k} \underline{E}_z + \frac{\partial}{\partial z} \vec{k} \times \underline{E}_t &= -j\omega\mu \underline{H}_t \quad (b)\end{aligned}\quad (3.21)$$

Substituind componenta  $\underline{H}_t$ , din relația (3.21b) în relația (3.21a) se obține:

$$\nabla_t \times \vec{k} \underline{H}_z + \frac{j}{\mu\omega} \frac{\partial}{\partial z} \vec{k} \times (\nabla_t \times \vec{k} \underline{E}_z) + \frac{j}{\mu\omega} \frac{\partial^2}{\partial z^2} \vec{k} \times (\vec{k} \times \underline{E}_t) = j\omega\mu \underline{E}_t \quad (3.22)$$

Folosind identitatea vectorială  $\vec{a} \times (\vec{b} \times \vec{c}) = \vec{b}(\vec{a} \cdot \vec{c}) - \vec{c}(\vec{a} \cdot \vec{b})$  se obține:

$$\nabla_t \times \vec{k} \underline{H}_z + \frac{j}{\mu\omega} \frac{\partial}{\partial z} (\nabla_t \cdot \underline{E}_z) - \frac{j}{\mu\omega} \frac{\partial^2 \underline{E}_t}{\partial z^2} = j\omega \underline{E}_t \quad (3.23)$$

În cazul undelor electromagnetice plane în medii fără pierderi, soluția este de forma  $\underline{E}_t = \underline{E}_{t0} e^{-j\beta_z z}$ . În consecință  $\frac{\partial^2}{\partial z^2} = -\beta_z^2$  și ecuația (3.23) se scrie sub forma:

$$\nabla_t \times \vec{k} \underline{H}_z + \frac{j}{\mu\omega} \frac{\partial}{\partial z} (\nabla_t \underline{E}_z) + \frac{j\beta^2}{\mu\omega} \underline{\vec{E}}_t = j\omega \underline{E}_t \quad (3.24)$$

de unde:

$$\underline{\vec{E}}_t = \frac{1}{\omega^2 \mu \varepsilon - \beta_z^2} \left[ \frac{\partial}{\partial z} (\nabla_t \underline{\vec{E}}_z) - j\omega \mu \nabla_t \times \vec{k} \underline{H}_z \right] \quad (3.25)$$

În mod asemănător se obține:

$$\underline{\vec{H}}_t = \frac{1}{\omega^2 \mu \varepsilon - \beta_z^2} \left[ \frac{\partial}{\partial z} (\nabla_t \underline{\vec{H}}_z) - j\omega \mu \nabla_t \times \vec{k} \underline{E}_z \right] \quad (3.26)$$

Relațiile (3.25) și (3.26) arată că se pot calcula numai componentele  $E_z$  și  $H_z$  și apoi în funcție de acestea se pot calcula și celelalte componente.

### 3.4. Ghidul de undă dreptunghiular

În figura 3.9 se prezintă un ghid de undă dreptunghiular, cu direcția de propagare Oz.

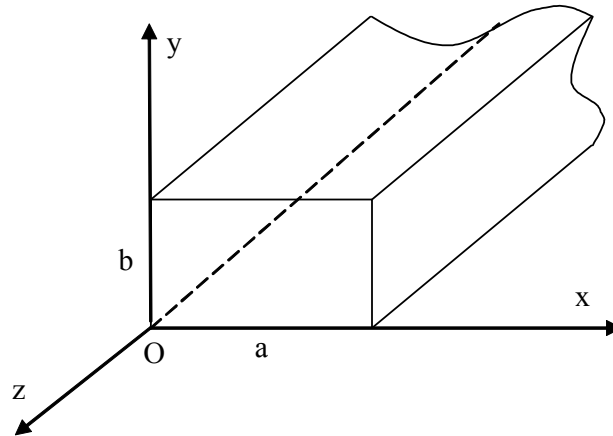


Fig. 3.9. Ghid de undă dreptunghiular

Urmărim să determinăm soluția de propagare a undelor în ghid.

#### 3.4.1. Soluțiile ecuațiilor propagării în ghid dreptunghiular

Ecuțiile satisfăcute de intensitatea câmpului electric pentru regim armonic și intensitatea câmpului magnetic pentru regim armonic sunt:

$$\begin{aligned} \Delta \underline{\vec{E}} + \omega^2 \mu \varepsilon \underline{\vec{E}} &= 0 \\ \Delta \underline{\vec{H}} + \omega^2 \mu \varepsilon \underline{\vec{H}} &= 0 \end{aligned} \quad (3.27)$$

Integrăm mai întâi ecuația satisfăcută de componenta  $\underline{E}_z$ :

$$\frac{\partial^2 \underline{E}_z}{\partial x^2} + \frac{\partial^2 \underline{E}_z}{\partial y^2} + \frac{\partial^2 \underline{E}_z}{\partial z^2} = -\omega^2 \mu \varepsilon \underline{E}_z \quad (3.28)$$

Aplicând metoda separării variabilelor, se caută pentru  $\underline{E}_z$  o soluție de forma:

$$\underline{E}_z(x, y, z) = f_1(x) \cdot f_2(y) \cdot f_3(z)$$

Înlocuind în relația (3.28) se obține:

$$f_1''(x)f_2(y)f_3(z) + f_1(x)f_2''(y)f_3(z) + f_1(x)f_2(y)f_3''(z) = -\omega^2 \mu \varepsilon \cdot f_1(x)f_2(y)f_3(z)$$

ceea ce este echivalent cu (s-a pus condiția  $E_z \neq 0$ ):

$$\frac{f_1''(x)}{f_1(x)} + \frac{f_2''(y)}{f_2(y)} + \frac{f_3''(z)}{f_3(z)} = -\omega^2 \mu \varepsilon = -k^2 \quad (3.29)$$

În relația (3.29) avem o sumă de trei funcții de variabile independente, această sumă având o valoare constantă. Din acest motiv singura posibilitate este ca fiecare raport al sumei să fie o constantă:

$$\frac{f_1''(x)}{f_1(x)} = k_x^2, \quad \frac{f_2''(y)}{f_2(y)} = k_y^2, \quad \frac{f_3''(z)}{f_3(z)} = k_z^2 \quad \text{și} \quad k_x^2 + k_y^2 + k_z^2 = -k^2$$

Notând  $-k_i^2 = k_x^2 + k_y^2$  se obține  $k_z = \pm \sqrt{k_i^2 - k^2}$ . Ecuația satisfăcută de componenta  $\underline{E}_z$  este:

$$\frac{\partial^2 \underline{E}_z}{\partial z^2} = k_i^2 \underline{E}_z$$

cu soluția:

$$\underline{E}_z = E_0 e^{j(\omega t - \gamma z)} \quad \text{cu} \quad \gamma = \alpha + j\beta$$

Mediul în care are loc propagarea este dielectric fără pierderi (nu există atenuare) și  $\alpha=0$ .

$$\beta = \frac{k_z}{j} = \pm j \sqrt{k_i^2 - k^2} = \pm \sqrt{k^2 - k_i^2} \quad (3.30)$$

$\beta = \sqrt{k^2 - k_i^2}$  reprezintă condiția de dispersie.

Așadar  $f_3(z) = E_0 e^{j(\omega t - \beta z)}$  și atunci componenta  $\underline{E}_z$  este dată de:

$$\underline{E}_z = f_1(x)f_2(y)E_0 e^{j(\omega t - \beta z)} \quad (3.31)$$

### 3.4.2. Condiții de tăiere

Dacă  $\beta$  este real, atunci  $\underline{E}_z$  dat de relația (3.31) este o propagare. Dacă  $\beta$  este imaginar, atunci  $\underline{E}_z$  se atenuază în direcția de propagare, într-un mediu presupus fără pierderi și în consecință în acest caz nu există propagare.

Condiția limită critică este dată de relația:

$$\beta^2 = 0 \Rightarrow k^2 = k_i^2 \Rightarrow k_i = \omega \sqrt{\varepsilon \mu} \quad (3.32)$$

Corespunzător valorii date de relația (3.32) rezultă frecvența de tăiere și lungimea de undă de tăiere:

$$f_t = \frac{k_t}{2\pi\sqrt{\varepsilon\mu}}; \quad \lambda_t = \frac{2\pi}{k_t} \quad (3.33)$$

În paragrafele anterioare s-a stabilit că lungimea de undă în ghid  $\lambda_g$  este definită de lungimea de undă caracteristică unei plane ( $\lambda$ ).

Astfel din condiția  $\beta\lambda_g = 2\pi$  se obține

$$\lambda_g = \frac{2\pi}{\beta} \quad (3.34)$$

iar lungimea de undă pentru unda plană este:

$$\lambda = \frac{2\pi}{k} = \frac{2\pi}{\omega\sqrt{\varepsilon\mu}} \quad (3.35)$$

Dacă  $k_t$ ,  $\beta$ ,  $k$  obținute din relațiile (3.33), (3.34), (3.35) se introduc în condiția de dispersie (3.30) se obține:

$$\frac{1}{\lambda_g^2} + \frac{1}{\lambda_t^2} = \frac{1}{\lambda^2} \quad (3.36)$$

Dacă propagarea are loc în aer, atunci  $\varepsilon=\varepsilon_0$ ,  $\mu=\mu_0 \Rightarrow \lambda=\lambda_0$  și:

$$\lambda_g = \frac{\lambda_0}{\sqrt{1 - \left(\frac{\lambda_0}{\lambda_t}\right)^2}} \quad (3.37)$$

### 3.4.3. Condiții de frontieră ale ghidului

Pentru ghidul de undă condițiile de frontieră sunt de tip suprafață perfect conductoare. Așadar la suprafețele ghidurilor, componentele lui  $\underline{E}_z$  se anulează. Deoarece este evident că forma funcțiilor  $f_1(x)$  și  $f_2(y)$  sunt asemănătoare cu forma funcției  $f_3(z)$ , acestea pot fi puse sub următoarea formă (ținându-se seama că atât pe direcția  $x$  cât și pe direcția  $y$ , dimensiunile fiind finite, există și unde directe și unde inverse):

$$f_1(x) = A \sin(jk_x x) + B \cos(jk_x x)$$

$$f_2(y) = C \sin(jk_y y) + D \cos(jk_y y)$$

Așadar punându-se condițiile de frontieră pentru suprafață perfect conductoare, se obține:

$$B = 0$$

$$\sin(jk_x x) = 0 \text{ pentru } x = 0 \text{ și } x = a \Rightarrow$$

$$k_x = \frac{m\pi}{ja} \quad (3.38)$$

Analog pentru axa  $Oy$  vom avea  $D = 0$  și

$$k_y = \frac{n\pi}{jb} \quad (3.39)$$

Funcțiile  $f_1(x)$  și  $f_2(y)$  vor avea expresiile:

$$f_1(x) = A \sin\left(\frac{m\pi}{a} x\right); \quad f_2(y) = C \sin\left(\frac{n\pi}{b} y\right)$$

Având în vedere și relația (3.31), expresia câmpului electric devine

$$\underline{E}_z(x, y, z) = E_0 e^{j(\alpha x - \beta z)} \sin\left(\frac{m\pi}{a} x\right) \sin\left(\frac{n\pi}{b} y\right) \quad (3.40)$$

iar  $k_t$  are expresia:

$$k_t = \sqrt{\left(\frac{m\pi}{a}\right)^2 + \left(\frac{n\pi}{b}\right)^2} \quad (3.41)$$

#### 3.4.4. Componentele de câmp ale undei în ghid. Moduri de ghid

Pornim de la ecuațiile lui Maxwell pentru un dielectric ideal

$$\nabla \times \vec{E} = -\mu \frac{\partial \vec{H}}{\partial t}, \quad \nabla \times \vec{H} = \varepsilon \frac{\partial \vec{E}}{\partial t}$$

și dezvoltând rotorii se obține:

$$\begin{vmatrix} \vec{i} & \vec{j} & \vec{k} \\ \frac{\partial}{\partial x} & \frac{\partial}{\partial y} & \frac{\partial}{\partial z} \\ E_x & E_y & E_z \end{vmatrix} = -\mu \frac{\partial}{\partial t} (\vec{i} H_x + \vec{j} H_y + \vec{k} H_z)$$

$$\begin{vmatrix} \vec{i} & \vec{j} & \vec{k} \\ \frac{\partial}{\partial x} & \frac{\partial}{\partial y} & \frac{\partial}{\partial z} \\ H_x & H_y & H_z \end{vmatrix} = \varepsilon \frac{\partial}{\partial t} (\vec{i} E_x + \vec{j} E_y + \vec{k} E_z)$$

Proiectând ecuațiile pe cele trei coordonate și având în vedere că  $\frac{\partial}{\partial t} = j\omega$

și  $\frac{\partial}{\partial z} = -j\beta$  se obține:

$$\begin{aligned} \frac{\partial E_z}{\partial y} + j\beta E_y &= -j\omega\mu H_x & \frac{\partial H_z}{\partial y} + j\beta H_y &= j\omega\varepsilon E_x \\ \frac{\partial E_z}{\partial x} + j\beta E_x &= j\omega\mu H_y & \frac{\partial H_z}{\partial x} + j\beta H_x &= j\omega\varepsilon E_y \\ \frac{\partial E_y}{\partial x} - \frac{\partial E_x}{\partial y} &= -j\omega\mu H_z & \frac{\partial H_y}{\partial x} - \frac{\partial H_x}{\partial y} &= -j\omega\varepsilon E_z \end{aligned}$$

Relațiile se pot grupa două câte două astfel:

$$\beta E_y + \omega\mu H_x = j \frac{\partial E_z}{\partial y} \quad (a) \quad (3.42)$$

$$\omega\varepsilon E_y + \beta H_x = j \frac{\partial H_z}{\partial x} \quad (b)$$

care leagă pe  $E_y$  cu  $H_x$  și

$$\beta E_x - \omega\mu H_y = j \frac{\partial E_z}{\partial x} \quad (a) \quad (3.43)$$

$$\omega\varepsilon E_x - \beta H_y = -j \frac{\partial H_z}{\partial y} \quad (b)$$

care leagă pe  $E_x$  cu  $H_y$ .

Se observă că nu există relații care să lege componentele  $E_z$ , de  $H_z$  acestea fiind deci soluții independente. Soluțiile se împart astfel:

a) Moduri de propagare transversal magnetic (TM):  $H_z = 0$ ,  $E_z \neq 0$

b) Moduri de propagare transversal electric (TE):  $H_z \neq 0$ ,  $E_z = 0$

#### Moduri de propagare transversal magnetic

Componentele câmpului electric ( $E_x$ ,  $E_y$ ) și ale câmpului magnetic ( $H_x$ ,  $H_y$ ) se obțin din rezolvarea ecuațiilor (3.42) și (3.43) pentru  $H_z = 0$  și  $E_z \neq 0$ .

$$\begin{cases} \beta E_y + \omega\mu H_x = j \frac{\partial E_z}{\partial y} \\ \omega\varepsilon E_y + \beta H_x = 0 \end{cases} \Rightarrow \begin{cases} E_y = \frac{j\beta}{\beta^2 - \omega^2\varepsilon\mu} \frac{\partial E_z}{\partial y} \\ H_x = -\frac{j\omega\varepsilon}{\beta^2 - \omega^2\varepsilon\mu} \frac{\partial E_z}{\partial y} \end{cases}$$

$$\begin{cases} \beta E_x - \omega\mu H_y = j \frac{\partial E_z}{\partial x} \\ \omega\varepsilon E_x - \beta H_y = 0 \end{cases} \Rightarrow \begin{cases} E_x = \frac{j\beta}{\beta^2 - \omega^2\varepsilon\mu} \frac{\partial E_z}{\partial x} \\ H_y = \frac{j\omega\varepsilon}{\beta^2 - \omega^2\varepsilon\mu} \frac{\partial E_z}{\partial x} \end{cases}$$

Deoarece  $k_t^2 = -\beta^2 + \omega^2\varepsilon\mu$  și

$$\underline{E}_z(x, y, z) = E_0 e^{j(\alpha z - \beta z)} \sin\left(\frac{m\pi}{a} x\right) \sin\left(\frac{n\pi}{b} y\right)$$

componentele câmpului electric și ale câmpului magnetic pentru modul TM sunt:

$$\begin{aligned} \underline{E}_x(x, y, z, t) &= -j \frac{\beta}{k_t^2} E_0 e^{j(\alpha z - \beta z)} \frac{m\pi}{a} \cos\left(\frac{m\pi}{a} x\right) \sin\left(\frac{n\pi}{b} y\right) \\ \underline{E}_y(x, y, z, t) &= -j \frac{\beta}{k_t^2} E_0 e^{j(\alpha z - \beta z)} \frac{n\pi}{b} \sin\left(\frac{m\pi}{a} x\right) \cos\left(\frac{n\pi}{b} y\right) \\ \underline{H}_x(x, y, z, t) &= -j \frac{\omega \varepsilon}{k_t^2} E_0 e^{j(\alpha z - \beta z)} \frac{n\pi}{b} \sin\left(\frac{m\pi}{a} x\right) \cos\left(\frac{n\pi}{b} y\right) \\ \underline{H}_y(x, y, z, t) &= -j \frac{\omega \varepsilon}{k_t^2} E_0 e^{j(\alpha z - \beta z)} \frac{m\pi}{a} \cos\left(\frac{m\pi}{a} x\right) \sin\left(\frac{n\pi}{b} y\right) \end{aligned} \quad (3.44)$$

Observație: dacă  $m = 0$  sau  $n = 0$  ar rezulta că  $E_z = 0$  și cum și  $H_z = 0$  am avea mod TEM, imposibil pentru ghidul acesta. Din acest motiv la modurile TM avem  $m > 0$  și  $n > 0$ .

#### Moduri de propagare transversal electric

Aceste moduri de propagare se obțin pentru  $E_z = 0$  și  $H_z \neq 0$ . Sistemele de ecuații (3.42) și (3.43) se rezolvă astfel:

$$\begin{cases} \beta E_y + \omega \mu H_x = 0 \\ \omega \varepsilon E_y + \beta H_x = j \frac{\partial H_z}{\partial x} \end{cases} \Rightarrow \begin{cases} E_y = \frac{j \omega \mu}{k_t^2} \frac{\partial H_z}{\partial x} \\ H_x = -\frac{j \beta}{k_t^2} \frac{\partial H_z}{\partial x} \end{cases}$$

$$\begin{cases} \beta E_x - \omega \mu H_y = 0 \\ \omega \varepsilon E_x - \beta H_y = -j \frac{\partial H_z}{\partial y} \end{cases} \Rightarrow \begin{cases} E_x = -\frac{j \omega \mu}{k_t^2} \frac{\partial H_z}{\partial y} \\ H_y = -\frac{j \beta}{k_t^2} \frac{\partial H_z}{\partial y} \end{cases}$$

Deoarece nu se poate specifica direct condiția de frontieră în termeni de  $H_z$ , aceasta se va exprima ținând seama de valorile de câmp electric. Așadar:

- pentru  $x=0$  și  $x=a \Rightarrow E_y=0$  și  $\frac{\partial H_z}{\partial x} = 0$
- pentru  $y=0$  și  $y=b \Rightarrow E_x=0$  și  $\frac{\partial H_z}{\partial y} = 0$

Ecuația satisfăcută de componenta  $H_z$  a câmpului magnetic se obține proiectând pe direcția Oz ecuația (3.27):

$$\frac{\partial^2 \underline{H}_z}{\partial x^2} + \frac{\partial^2 \underline{H}_z}{\partial x^2} + \frac{\partial^2 \underline{H}_z}{\partial x^2} = -\omega^2 \varepsilon \mu \underline{H}_z \quad (3.45)$$

Deoarece ecuația satisfăcută de componenta  $H_z$  este identică cu cea satisfăcută de componenta  $E_z$ , soluția este de aceeași formă:

$$\underline{H}_z(x, y, z, t) = [A \sin(jk_x x) + B \cos(jk_x x)] \cdot [C \sin(jk_y y) + D \cos(jk_y y)] \cdot e^{j(\omega t - \beta z)} \quad (3.46)$$

Constantele A, B, C, D sunt determinate din condițiile de frontieră:

$$\left. \frac{\partial \underline{H}_z}{\partial x} \right|_{x=0} = 0 \Rightarrow jk_x A \cos(0) - jk_x B \sin(0) = 0 \Rightarrow A = 0$$

$$\left. \frac{\partial \underline{H}_z}{\partial x} \right|_{x=a} = 0 \Rightarrow -jk_x B \sin(jk_x a) = 0 \Rightarrow k_x = -j \frac{m\pi}{a}$$

$$\left. \frac{\partial \underline{H}_z}{\partial y} \right|_{y=0} = 0 \Rightarrow jk_y C \cos(jk_y y) - jk_y D \sin(0) = 0 \Rightarrow C = 0$$

$$\left. \frac{\partial \underline{H}_z}{\partial y} \right|_{y=b} = 0 \Rightarrow -jk_y D \sin(jk_y b) = 0 \Rightarrow k_y = -j \frac{n\pi}{b}$$

Rezultă pentru componenta  $H_z$  soluția:

$$\underline{H}_z(x, y, z, t) = H_0 e^{j(\omega t - \beta z)} \cos\left(\frac{m\pi}{a} x\right) \cos\left(\frac{n\pi}{b} y\right) \quad (3.47)$$

Componentele transversale de câmp pentru modul TE sunt:

$$\underline{E}_x = j \frac{\omega \mu}{k_t^2} \frac{n\pi}{b} H_0 e^{j(\omega t - \beta z)} \cos\left(\frac{m\pi}{a} x\right) \sin\left(\frac{n\pi}{b} y\right)$$

$$\underline{E}_y = -j \frac{\omega \mu}{k_t^2} \frac{m\pi}{a} H_0 e^{j(\omega t - \beta z)} \sin\left(\frac{m\pi}{a} x\right) \cos\left(\frac{n\pi}{b} y\right)$$

$$\underline{H}_x = -j \frac{\beta}{k_t^2} \frac{m\pi}{a} H_0 e^{j(\omega t - \beta z)} \sin\left(\frac{m\pi}{a} x\right) \cos\left(\frac{n\pi}{b} y\right)$$

$$\underline{H}_y = j \frac{\beta}{k_t^2} \frac{n\pi}{b} H_0 e^{j(\omega t - \beta z)} \cos\left(\frac{m\pi}{a} x\right) \sin\left(\frac{n\pi}{b} y\right) \quad (3.48)$$

Se observă că, spre deosebire de modurile TM, modurile TE există chiar dacă  $m=0$  sau  $n=0$ , însă nu și pentru  $m=n=0$  deoarece în acest caz  $H_x=H_y=0$  ceea ce este imposibil, deci modul  $TE_{00}$  nu există.

Din condiția de dispersie (sau din expresia lui  $k_t$ ) rezultă că pentru fiecare mod (pereche  $m, n$ ) există o anumită frecvență de tăiere.

Dacă ghidul are  $a > b$ , atunci cea mai mică frecvență de tăiere este cea corespunzătoare modului  $TE_{10}$ . Acest mod se numește mod dominant.



Modul  $TE_{10}$ 

Ne propunem să determinăm componentele de câmp pentru modul  $TE_{10}$ , care corespunde următoarele valori:  $m = 1$ ;  $n = 0$ ;  $E_z = 0$ ;  $H_z \neq 0$ .

Pentru a obține componentele de câmp pentru modul  $TE_{10}$ , în relațiile (3.47) și (3.48) se pun condițiile:  $m = 1$ ,  $n = 0$ ,  $E_z = 0$ . Se obțin următoarele relații:

$$\begin{aligned} \underline{E}_x &= 0, \quad \underline{H}_y = 0 \\ \underline{E}_y &= -j \frac{\omega\mu}{k_t^2} \frac{m\pi}{a} H_0 e^{j(\omega t - \beta z)} \sin\left(\frac{\pi}{a} x\right) \\ \underline{H}_x &= -j \frac{\beta}{k_t^2} \frac{m\pi}{a} H_0 e^{j(\omega t - \beta z)} \sin\left(\frac{\pi}{a} x\right) \\ \underline{H}_z &= H_0 e^{j(\omega t - \beta z)} \cos\left(\frac{\pi}{a} x\right) \end{aligned} \quad (3.49)$$

Expresiile analitice ale componentelor arată că liniile de câmp electric sunt paralele cu axa  $y$  și variază sinusoidal pe direcția  $x$  (figura 3.10a). Liniile de câmp magnetic formează contururi închise în planul  $xOz$  (figura 3.10b).

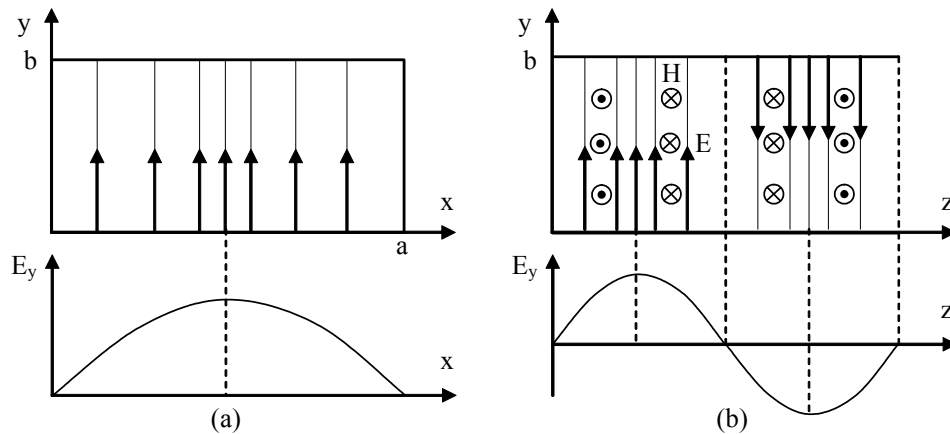


Fig. 3.10. a) Câmpul electric în ghidul de undă pentru o valoare  $z$  oarecare.  
b) Componenta transversală a câmpului magnetic de-a lungul axei  $z$ .

În figura 3.11 se prezintă dependența câmpului electric de coordonată  $z$ .

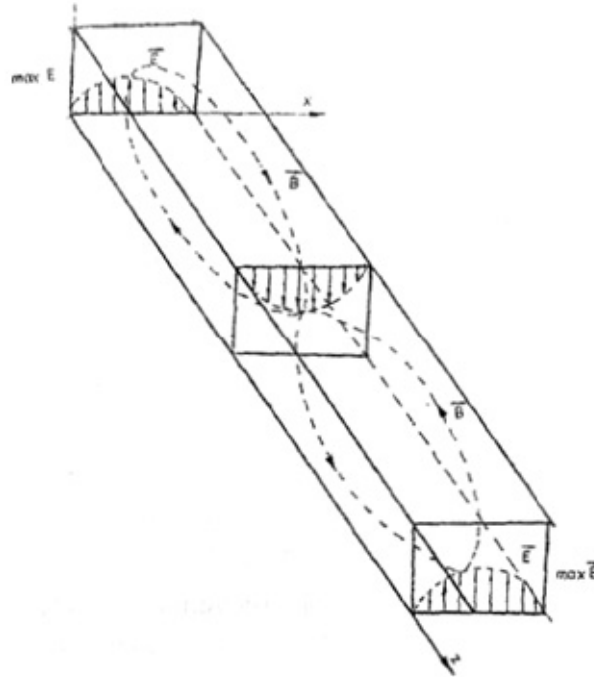


Fig. 3.11. Dependența câmpului electric de coordonata  $z$

În mod analog se pot obține nodurile:  $TE_{11}$  ( $m = 1$ ;  $n = 1$ ;  $E_z = 0$ );  $TM_{11}$  ( $m = 1$ ;  $n = 1$ ;  $H_z = 0$ ) și  $TM_{21}$  ( $m = 2$ ;  $n = 1$ ;  $H_z = 0$ ) - reprezentate în figura 3.12.

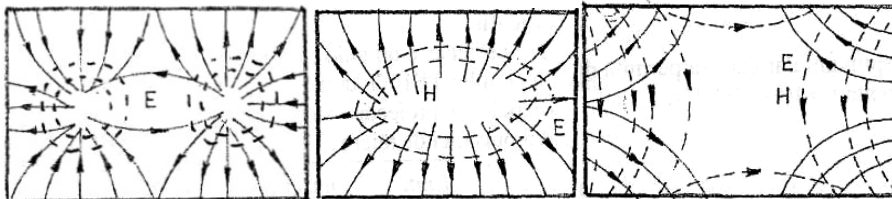


Fig. 3.12. Modurile  $TE_{11}$ ,  $TM_{11}$  și  $TM_{21}$

Observații:

1. Modul dominant dintr-un ghid dreptunghiular este modul cu cea mai joasă frecvență de tăiere ( $f_0$ );

2. Fiind dată frecvența  $f$  a undelor ce trebuie transmise printr-un ghid, se obișnuiește să se aleagă în practică ghidul ale cărui dimensiuni sunt astfel alese încât  $f$  să fie mai mare decât frecvența de tăiere  $f_0$  pentru modul dominant, dar mai mică decât frecvența de tăiere pentru celelalte moduri. În aceste condiții singurul mod ce se poate propaga este modul dominant.

3. Într-un ghid trebuie să se facă distincție între:

a) Viteza de fază  $v_f$ , care este viteza cu care se propagă configurația și

b) Viteza de grup  $v_g$ , care este viteza cu care energia electromagnetică sau "semnalul" ce transportă informație se propagă în lungul ghidului.

### 3.5. Pierderi în pereții conductori

Problema câmpului electromagnetic în medii conductoare este tratată în multe lucrări de specialitate [1], [2], [4], [5], [8], [12], unde s-au determinat și soluțiile câmpului pentru semispațiul conductor.

Dacă la suprafața semispațiului (figura 3.13) se precizează valoarea  $\vec{E}_p = \vec{i} E_p$  a câmpului electric, atunci

$$\vec{H}_p = \vec{k} \times \frac{\vec{E}_p}{\underline{\zeta}} \quad (3.50)$$

unde:

$$\underline{\zeta} = (1 + j) \sqrt{\frac{\omega \mu}{2\sigma}} \quad (3.51)$$

este impedanță de undă.

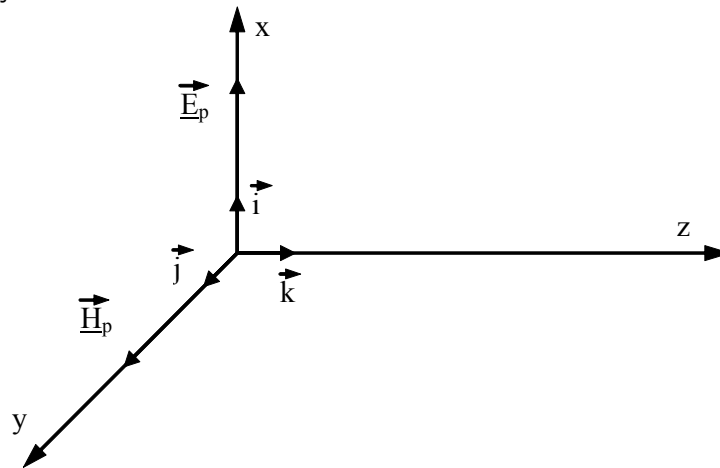


Fig. 3.13. Componentele câmpului în semispațiul conductor

Pierderile pe unitatea de suprafață sunt:

$$p = \text{Re} \left( \frac{E_p^2}{\underline{\zeta}} \right) \quad (3.52)$$

Relația (3.52) poate fi considerată condiție de frontieră pentru dispozitivele cu microunde cu pierderi în pereți. Aproximarea este cu atât mai bună cu cât adâncimea de pătrundere  $\delta$  este mai mică în raport cu razele de curbură ale peretelui în punctul considerat. Se admite că grosimea peretelui este mai mare

decât adâncimea de pătrundere  $\delta = \sqrt{\frac{2}{\sigma \omega \mu}}$ .

### 3.6. Cavități rezonante

Cavitățile rezonante sunt rezonatori electromagnetici cu pereți metalici. Rezonatorii electromagnetici au proprietăți similare cu circuitele electrice cu parametrii distribuiți.

Cavitățile rezonante se clasifică în două categorii:

- Cavități rezonante care provin dintr-un ghid neuniform;
- Cavități rezonante care provin dintr-un ghid uniform (figura 3.14).

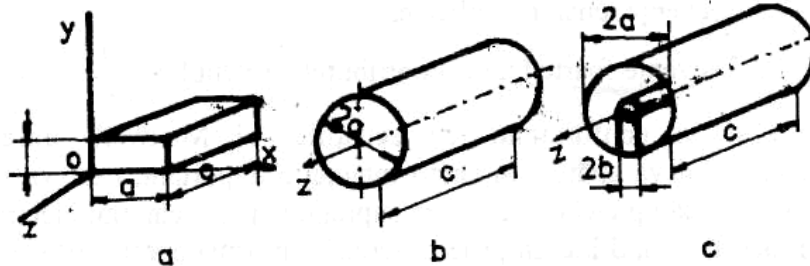


Fig. 3.14. Cavități rezonante care provin dintr-un ghid uniform

Pentru că se înțelege mai ușor fenomenele care determină comportarea cavităților metalice ca și circuitele oscilante, precum și generarea modurilor de oscilație, se va studia un exemplu simplu: comportarea unui condensator plan la frecvențe foarte înalte.

Fie un condensator plan, cu armăturile realizate din discuri de rază R (figura 3.15).

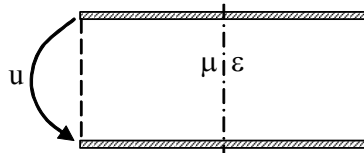


Fig 3.15. Condensator plan

La frecvențe joase, câmpul electric din interiorul condensatorului are o distribuție care poate fi considerată uniformă, cu liniile de câmp perpendiculare pe armături, orientarea acestora alternând în sus și în jos în funcție de frecvența tensiunii aplicate.

La frecvențe foarte înalte, contribuția termenului  $\frac{\partial D}{\partial t}$  nu mai poate fi neglijată și în conformitate cu ecuațiile lui Maxwell, între plăcile condensatorului va apărea un câmp magnetic important, care va genera la rândul său un câmp electric ce se va suprapune peste câmpul electric inițial, în felul acesta având loc un proces iterativ. În urma acestui proces iterativ, câmpul electric din interiorul condensatorului este de forma:

$$\underline{E} = E_0 e^{j\omega t} J_0(x)$$

unde  $J_0$  este seria Bessel (figura 3.16) și

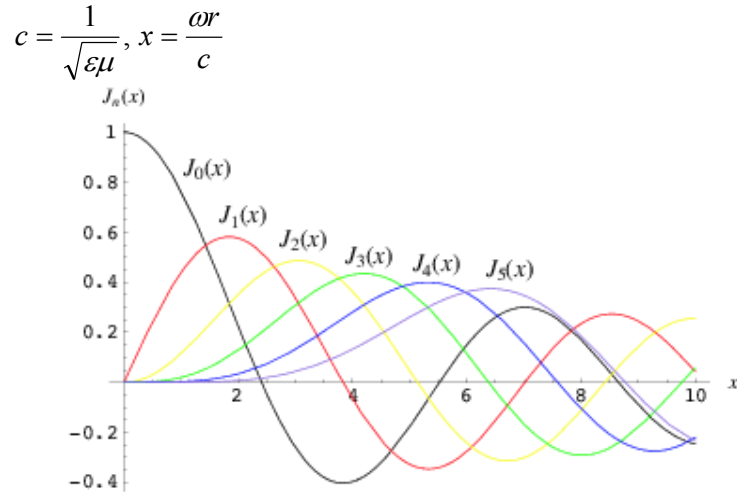


Fig. 3.16. Funcții Bessel

Dacă frecvența este foarte mare, astfel încât la marginea condensatorului ( $r = R$ ),  $x = \frac{\omega r}{c} = 4$  câmpul electric va avea o valoare destul de mare (figura 3.17), dar în sens opus față de ceea ce s-ar fi așteptat, în interiorul condensatorului va exista și un câmp magnetic. Se poate spune că la frecvențe foarte înalte, condensatorul se comportă și ca o inductanță.

Așadar se poate considera că s-a obținut un circuit oscilant. Dacă între plăcile condensatorului se introduce un cilindru metalic de rază  $a$  și înălțime  $b$  (figura 3.18), prin acesta nu va exista o scurgere de curent între armături, deoarece  $E(a) = 0$ .

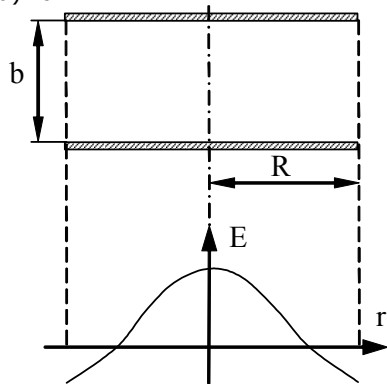


Fig 3.17. Distribuția câmpului electric între armăturile condensatorului

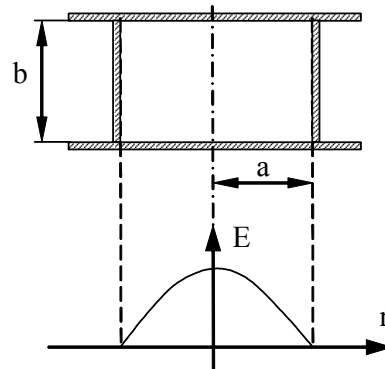


Fig 3.18. Cavitare cilindrică

Înlăturând surplusul de armături ( $r > a$ ), se obține o cavitate cilindrică fără legătură cu exteriorul, în care câmpul electric și câmpul magnetic se întrețin reciproc. Amplitudinile câmpurilor și liniile de câmp variază ca în figura 3.19.

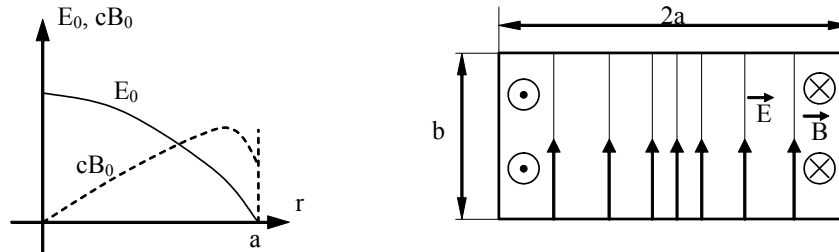


Fig. 3.19. Distribuția câmpului electromagnetic în cavitate

Observații:

- Fenomenele descrise au loc numai pentru frecvența  $\omega_0 = 2,405 \frac{c}{a}$

- Pentru o cutie reală, curenții induși în pereții cutiei determină pierderi de energie din cauza rezistenței electrice a pereților și oscilațiile vor scădea treptat până la anulare.

- Din graficul variației câmpului magnetic se observă că acesta scade brusc la marginile cutiei, ceea ce înseamnă că în peretele vertical al cutiei apare un curent. Acest curent a apărut după înlăturarea surplusului de armături ( $r > a$ ), ca urmare a efectelor marginale care apar, efecte ce nu influențau în situația când armăturile aveau raza  $R$ . Acest curent care apare în peretele vertical al cutiei este cel care generează sarcini electrice alternative pe armăturile de sus și de jos.

### 3.6.1. Moduri de oscilație într-o cavitate

Întreținerea oscilațiilor electromagnetice în cavitate se poate realiza prin practicarea unui orificiu prin care se introduce o buclă generatoare (figura 3.20), iar pentru a extrage semnalul și a se putea constata fenomenul de rezonanță diametral opus se practică un alt orificiu prin care se introduce o buclă similară.

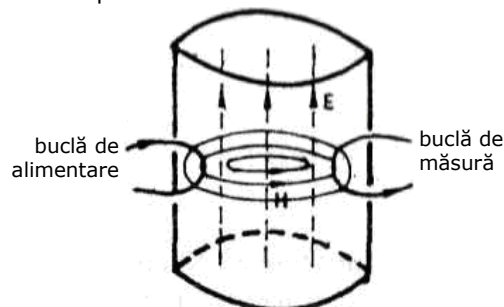


Fig. 3.20. Întreținerea oscilațiilor electromagnetice

Dacă frecvența generatorului de semnal este egală cu frecvența de rezonanță ( $f_0$ ) a cavității, atunci curentul prin bucla de măsură este maxim.

Dacă frecvența generatorului se mărește peste valoarea  $f_0$ , dar nu mai mare decât frecvența corespunzătoare celui de al doilea zero al funcției Bessel (figura 3.16), se constată că se mai obțin și alte valori maxime ale curentului prin bucla de măsură. Aceasta înseamnă că mai sunt și alte frecvențe de rezonanță.

Acest lucru se explică astfel: prima frecvență de rezonanță ( $f_0$ ) corespunde unui aranjament al câmpului electric orientat vertical și al câmpului magnetic orientat orizontal. Dar mai sunt posibile și alte configurații de câmpuri, care rezultă ca soluții ale ecuațiilor lui Maxwell cu condiția ca liniile câmpului electric să fie perpendiculare pe pereți. Astfel că în interiorul cavității sunt posibile și alte moduri de oscilații (figura 3.21).

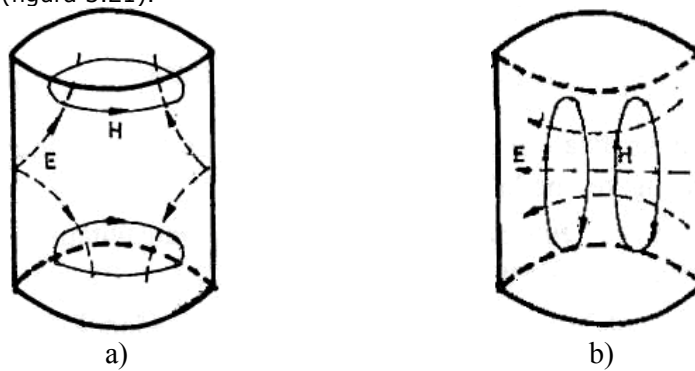


Fig. 3.21. Moduri de oscilație în cavitatea cilindrică

### 3.6.2. Cavitatea paralelipipedică. Metoda reflexiilor.

Pentru studiul cavităților provenind din ghid uniform se poate aplica metoda generală pornind de la ecuațiile lui Maxwell, dar se poate folosi o metodă mai simplă – metoda reflexiilor.

Cavitatea paralelipipedică (figura 3.22) se obține dintr-un ghid de undă dreptunghiular, la care în planele  $z = 0$  și  $z = c$  s-au introdus pereți plani perfect conductori, perpendiculari pe axa  $z$ .

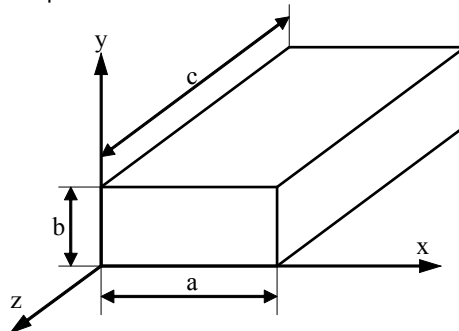


Fig. 3.22. Cavitatea paralelipipedică

Pentru analiza câmpului electromagnetic se va considera un caz simplu de propagare: modul  $TE_{10}$  (unda  $H_{10}$ ). Se pune problema determinării dimensiunii  $c$  a cavității la rezonanță în funcție de lungimea de undă în ghid,  $\lambda_g$ .

Componentele câmpului electromagnetic în planul  $z = c$  pentru unda incidentă sunt  $E_{xd}$ ,  $E_{yd}$ ,  $E_{zd}$ , iar pentru unda reflectată  $E_{xr}$ ,  $E_{yr}$ ,  $E_{zr}$ .

Deoarece peretele  $z = c$  este perfect conductor, el reprezintă pentru unda câmpului electric un scurtcircuit și coeficientul de reflexie  $-1$ ; componenta tangențială totală trebuie să fie nulă:

$$\vec{E}_{yd} + \vec{E}_{yr} = 0 \Rightarrow E_{yd} = -E_{yr}$$

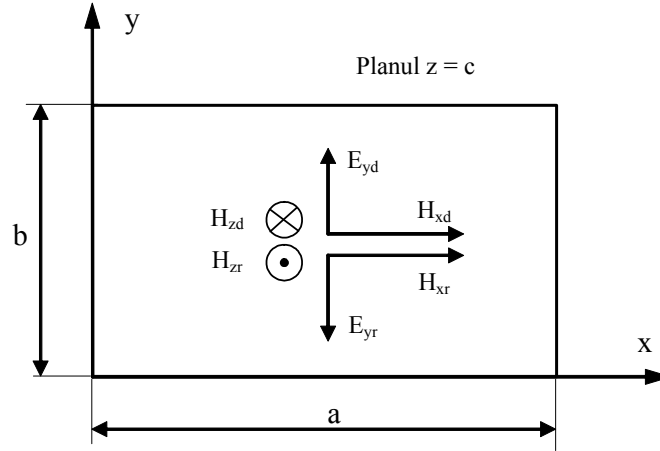


Fig. 3.23. Componentele câmpului electromagnetic în cavitatea paralelipipedică

Deoarece vectorul Poynting al undei directe  $\vec{S}_d = \vec{E}_{yd} \times \vec{H}_{xd}$  are sensul axei  $z$  pozitiv și vectorul Poynting al undei reflectate  $\vec{S}_r = \vec{E}_{yr} \times \vec{H}_{xr}$  trebuie să aibă sensul axei  $z$  negativ, rezultă că  $H_{xd}$  și  $H_{xr}$  au același sens.

Peretele din planul  $z = c$  fiind perfect conductor, rezultă că pe direcția normală componenta rezultantă a intensității câmpului magnetic este nulă:

$$\vec{H}_{zd} + \vec{H}_{zr} = 0 \Rightarrow H_{zd} = -H_{zr} \quad (3.53)$$

Ținând seama de expresiile componentelor câmpului electromagnetic pentru ghidul dreptunghiular, modul  $TE_{10}$  (3.49), prin însumarea valorilor acestora în planul  $z = c$  se obține:

$$E_{yr} = E_{yd} - E_{yr} = -jH_0 e^{j\omega t} \frac{\omega\mu}{k_t^2 a} (e^{j\beta z} - e^{-j\beta z}) \sin \frac{\pi x}{a} \quad (3.54)$$

$$H_{xr} = H_{xd} + H_{xr} = -jH_0 e^{j\omega t} \frac{\beta\pi}{k_t^2 a} (e^{j\beta z} + e^{-j\beta z}) \sin \frac{\pi x}{a} \quad (3.55)$$

$$H_{zr} = H_{zd} - H_{zr} = -H_0 e^{j\omega t} (e^{j\beta z} - e^{-j\beta z}) \cos \frac{\pi x}{a} \quad (3.56)$$



Așadar componentele câmpului electromagnetic în cavitate sunt:

$$\begin{aligned} E_y &= -2H_0 e^{j\omega t} \frac{\omega\mu}{k_t^2 a} \cdot \sin \frac{\pi x}{a} \cdot \sin \beta z \\ H_x &= -jH_0 e^{j\omega t} \frac{\beta\pi}{k_t^2 a} \cdot \sin \frac{\pi x}{a} \cdot \cos \beta z \end{aligned} \quad (3.57)$$

$$H_z = -2jH_0 e^{j\omega t} \cdot \cos \frac{\pi x}{a} \cdot \sin \beta z$$

Deoarece pe perețele perfect conductor componenta tangențială a câmpului electric este nulă:

$$E_y \Big|_{z=c} = 0 \Rightarrow \sin \beta c = 0 \Rightarrow \beta c = p\pi \quad (3.58)$$

și deoarece  $\beta = \frac{2\pi}{\lambda_g}$  rezultă pentru dimensiunea c:

$$c = p \frac{\lambda_g}{2} \quad (3.59)$$

Așadar, lungimea unei cavități la rezonanță este un multiplu întreg de jumătăți de lungimi de undă în ghid. Dacă în relația (3.58) se înlocuiește valoarea constante de defazare în ghid ( $\beta$ ) în funcție de constanta de defazare în aer ( $\beta_0$ ) și numărul de undă  $k_t$  se obține:

$$\omega^2 \varepsilon_0 \mu_0 - k_t^2 = \left( \frac{p\pi}{c} \right)^2 \quad (3.60)$$

Deoarece pentru ghidul de undă dreptunghiular:

$$k_t^2 = \left( \frac{m\pi}{a} \right)^2 + \left( \frac{n\pi}{b} \right)^2$$

rezultă pulsația la rezonanță

$$\omega = \frac{1}{\varepsilon_0 \mu_0} \sqrt{\left( \frac{m\pi}{a} \right)^2 + \left( \frac{n\pi}{b} \right)^2 + \left( \frac{p\pi}{c} \right)^2} \quad (3.61)$$

și lungimea de undă la rezonanță

$$\lambda_0 = \frac{2}{\sqrt{\left( \frac{m}{a} \right)^2 + \left( \frac{n}{b} \right)^2 + \left( \frac{p}{c} \right)^2}} \quad (3.62)$$

În cavitatea paralelipipedică, unda directă și unda reflectată păstrează aceeași distribuție transversală ca și în ghidul dreptunghiular.

Din analiza fenomenelor din cavitatea rezonantă și ghidul de undă uniform se deduc următoarele observații:

1. În ghidul uniform are loc fenomenul de propagare (se spune că în ghid este o undă progresivă), iar în cavitatea rezonantă unda este staționară, adică se produce un fenomen de oscilație.

2. Ghidul uniform lucrează într-o bandă de frecvențe  $[f_c, \infty)$  pe când spectrul de frecvențe într-o cavitate este discret, acestea corespunzând unei anumite combinații de valori întregi ale numerelor  $m, n, p$ .

3. Pe ghidul de undă uniform se transportă energie activă, iar în cavitate se înmagazinează energie reactivă;

4. În ghidul uniform toate componentele transversale ale câmpului electromagnetic sunt în fază și decalate cu  $\pi/2$  în raport cu componenta axială. În consecință planele transversale în care valorile componentelor transversale sunt maxime sunt decalate cu  $\lambda_g/4$  față de planele transversale în care componenta axială este maximă.

În cavitatea rezonantă componentele câmpului electric sunt în fază și defazate cu  $\pi/2$  în raport cu componentele câmpului magnetic care sunt de asemenea în fază. Din acest motiv în cavitate sunt momente în care există numai câmp magnetic și momente când există numai câmp electric. În figura 3.24 este reprezentat câmpul electromagnetic într-o cavitate paralelipipedică cu mod de oscilație  $TEM_1 (H_{101})$ .

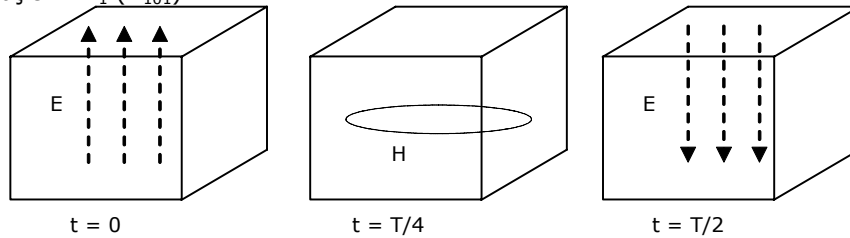


Fig. 3.24. Câmpul electromagnetic într-o cavitate paralelipipedică cu mod de oscilație  $TEM_1 (H_{101})$

### 3.6.3. Parametrii cavităților rezonante

Se știe că un circuit rezonant simplu poate fi caracterizat de parametrii săi  $R, L, C$  sau de:

- frecvența de rezonanță  $f_0$
- factorul de calitate  $Q$
- rezistența la rezonanță  $R_0$

Deoarece parametrii  $R, L, C$  sunt foarte mici în cazul unei cavități rezonante, semnificativi rămân parametrii  $f_0, Q$  și  $R_0$ .

#### Frecvența de rezonanță

Pentru cavitatea paralelipipedică, frecvența de rezonanță este:

$$f_0 = \frac{c_0}{2\pi\lambda_0} \quad (3.63)$$

și ținând seama de relația (3.62) se obține:

$$f_0 = \frac{c_0}{2} \sqrt{\left(\frac{m\pi}{a}\right)^2 + \left(\frac{n\pi}{b}\right)^2 + \left(\frac{p\pi}{c}\right)^2} \quad (3.64)$$

*Factorul de calitate*

Factorul de calitate al unei cavități rezonante se definește prin relația:

$$Q = 2\pi \frac{W_{m0}}{W_p} = 2\pi \frac{W_{e0}}{W_p} = 2\pi \frac{W_0}{W_p} \quad (3.65)$$

unde:

- $W_{m0}$  este energia înmagazinată în câmpul magnetic la rezonanță;
- $W_{e0}$  este energia înmagazinată în câmpul electric la rezonanță;
- $W_p$  reprezintă energia activă pierdută în cavitate (de obicei în pereții conductorilor).

Energia activă pierdută într-o perioadă este:

$$W_p = P_p T \quad (3.66)$$

Puterea activă pierdută se poate calcula cu relația (3.67):

$$P_p = \frac{1}{2} R_p \int_{\Sigma} H_t^2 dA \quad (3.67)$$

iar energia înmagazinată în câmpul magnetic la rezonanță este:

$$W_0 = \frac{\mu_0}{2} \int_{v_{\Sigma}} H^2 dV \quad (3.68)$$

Se poate obține astfel pentru factorul de calitate expresia:

$$Q = \frac{\omega_0 \mu_0}{R_p} \cdot \frac{\int_{v_{\Sigma}} H^2 dV}{\int_{\Sigma} H_t^2 dA} \quad (3.69)$$

Deoarece  $\omega_0 \mu_0 = 2\pi f_0 \mu_0 = 2\pi \frac{c_0}{\lambda_0} \mu_0 = \frac{2\pi}{\lambda_0} \sqrt{\mu_0 \epsilon_0} = 2\pi \frac{Z_0}{\lambda_0}$

și  $R_p = \frac{1}{\sigma \delta}$  unde  $\delta^2 = \frac{2}{\omega_0 \mu_0 \sigma} = \frac{2}{2\pi \frac{Z_0}{\lambda_0} \sigma} = \frac{\lambda_0}{\pi Z_0 \sigma} \Rightarrow \sigma = \frac{\lambda_0}{\pi Z_0}$  rezultă:

$$R_p = \frac{\pi Z_0}{\lambda_0 \delta} \quad (3.70)$$

Introducând relația (4.19) în relația (4.18) se obține:

$$Q = \frac{2}{\delta} \cdot \frac{\int_{v_{\Sigma}} H^2 dV}{\int_{\Sigma} H_t^2 dA} \quad (3.71)$$

**3.6.4. Perturbațiile cavității rezonante**

Există două moduri de perturbație a frecvenței de rezonanță a unei cavități:

- perturbație prin modificarea volumului cavității;
- perturbație prin modificarea parametrilor electrici și magnetici ai mediului din interiorul cavității.

*Perturbații prin variația volumului*

Fie o cavitate rezonantă ideală delimitată de suprafața  $\Sigma$  și cu volumul  $V$  (cu pereții și dielectricul din interior fără pierderi) pentru care frecvența de rezonanță este  $f_0$ , și cu valorile câmpului electromagnetic  $\vec{E}_0, \vec{H}_0$  (figura 3.25).

Dacă cavitatea rezonantă suferă o deformare astfel încât suprafața sa devine  $\Sigma'$ , volumul interior  $V'$  și cu valorile câmpului electromagnetic  $\vec{E}, \vec{H}$ , frecvența de rezonanță devine  $f$  (figura 3.25).

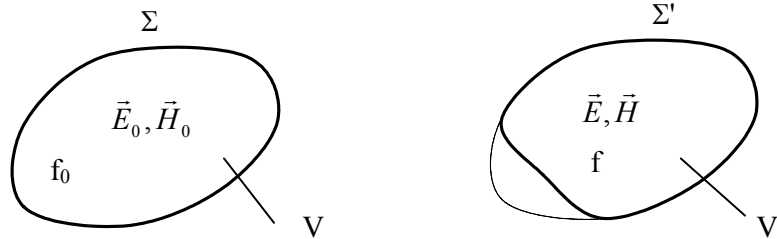


Fig. 3.25. Cavitate rezonantă inițială și deformată

Se pune problema determinării variației relative a frecvenței:

$$\frac{\Delta f}{f_0} = \frac{f - f_0}{f_0}$$

Deoarece frecvența de rezonanță este legată de egalitatea energiilor înmagazinate în câmpul electric și câmpul magnetic la rezonanță, pentru calculul variației frecvenței de rezonanță se calculează variația energiilor înmagazinate în câmp, ca urmare a variației volumului cavității cu respectarea condițiilor de frontieră pentru componentele de câmp.

Soluționând problema în condițiile expuse mai sus se obține pentru variația relativă a frecvenței expresia:

$$\frac{\Delta f}{f_0} = \frac{\Delta W_m - \Delta W_e}{W_0} = \frac{w_m - w_e}{w_0} \frac{\Delta V}{V} \quad (3.72)$$

unde:

$$\begin{aligned} \Delta W_m &= \frac{1}{2} \int_{\Delta V} \mu_0 \vec{H}_0^* \vec{H} dv = \frac{1}{2} \int_{\Delta V} \mu_0 H^2 dv = w_m \Delta V \\ \Delta W_e &= \frac{1}{2} \int_{\Delta V} \epsilon_0 \vec{E}^* \vec{H} dv = \frac{1}{2} \int_{\Delta V} \epsilon_0 E^2 dv = w_e \Delta V \\ W_0 &= \frac{1}{2} \int_V \mu_0 \vec{H}_0^* \vec{H}_0 dv = \frac{1}{2} \int_V \mu_0 H_0^2 dv = w_0 V \end{aligned} \quad (3.73)$$

sau

$$W_0 = \frac{1}{2} \int_V \varepsilon_0 \vec{E}_0^* \vec{E}_0 dv = \frac{1}{2} \int_V \varepsilon_0 E^2 dv = w_0 V \quad (3.74)$$

*Perturbații prin variația parametrilor mediului din cavitate*

Fie o cavitate rezonantă de volum  $V$  și suprafață  $\Sigma$ , în interiorul căreia mediul are parametrii  $\varepsilon$ ,  $\mu$  iar câmpul electromagnetic are valorile  $\vec{E}_0$ ,  $\vec{H}_0$  și frecvența de rezonanță este  $f_0$ . Dacă în interiorul cavității care își conservă dimensiunile geometrice, parametrii mediului devin  $\varepsilon + \Delta\varepsilon$ ,  $\mu + \Delta\mu$ , rezultă că valorile câmpului se modifică devenind  $\vec{E}$ ,  $\vec{H}$  și frecvența de rezonanță  $f$ , (figura 3.26).

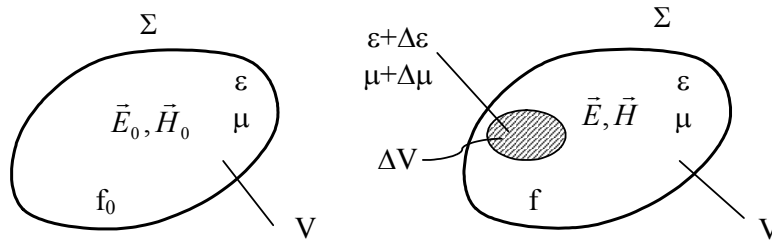


Fig. 3.26. Cavitate rezonantă inițială și perturbată

Pentru determinarea variației relative a frecvenței de rezonanță procedând în mod analog ca în paragraful precedent și se obține:

$$\frac{\Delta f}{f_0} = \frac{w_e}{2w_0} \frac{d\varepsilon}{\varepsilon} + \frac{w_m}{2w_0} \frac{d\mu}{\mu} \frac{\Delta V}{V} \quad (3.75)$$

unde  $w_e$ ,  $w_m$ ,  $w_0$  au semnificația din paragraful precedent și  $\Delta V$  este volumul mediului perturbator introdus în cavitate.

$$\begin{aligned} d\varepsilon &= (\varepsilon_r - 1)\varepsilon_0 \\ d\mu &= (\mu_r - 1)\mu_0 \end{aligned} \quad (3.76)$$

### 3.7. Aplicatoare electromagnetice

Unul din principalele avantaje ale folosirii microundelor constă în pătrunderea instantanee a radiației cu microunde care dezvoltă căldură în toată masa, ceea ce determină o reducere considerabilă a duratei tratamentului termic în raport cu procedeul clasic de transfer de căldură prin conducție termică.

Adaptată procedeele industriale, automatizate, încălzirea cu microunde permite o mare flexibilitatea în utilizare, spațiul redus pe care îl ocupă sistemele de încălzire asigură o asociere mai flexibilă și cu alte procedee tehnologice.

Sistemele de încălzire cu microunde se pot amplasa la capătul benzilor de fabricație sau se pot intercala între alte diferite dispozitive de tratament.

Aparatele cu microunde au în componență trei elemente: generatorul de microunde (magnetron sau klystron), dispozitivul de ghidare a energiei de microunde (ghid de unde) și aplicator (componentele în care se desfășoară procesul de încălzire propriu zis). Forma aplicatoarelor este diversă în funcție de aplicația dorită.

Pe lângă elementele de bază ale aparatelor cu microunde, acestea mai sunt prevăzute cu:

- capcane în jurul orificiilor în scopul diminuării riscurilor de pierderi de microunde;
- dispozitive de absorbție a energiei (sarcini de apă) în cazul funcționării fără sarcină sau în cazul în care produsele care urmează a fi tratate prezintă discontinuități;
- detectori de arc și circulatori (permit trecerea undelor doar într-un singur sens) utilizați pentru protecția generatorului de microunde.

O clasificare a aplicatoarelor poate fi făcută în funcție de utilizarea în instalațiile industriale astfel:

- aplicatoare cu undă mobilă;
- aplicatoare monomod;
- aplicatoare multimod;
- aplicatoare cu structuri speciale.

#### 3.7.1. Aplicatoare cu undă mobilă

Aplicatoarele cu undă mobilă permit deplasarea undelor electromagnetice în lungul acestora. Componentele câmpului electromagnetic  $\vec{E}$  și  $\vec{H}$  sunt perpendiculare între ele, conținute în același plan, variază sinusoidal în timp și spațiu și se deplasează liber în direcție perpendiculară pe planul determinat de  $\vec{E}$  și  $\vec{H}$ .

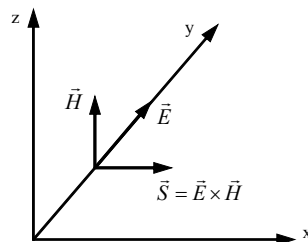


Fig. 3.27. Componentele câmpului electromagnetic și vectorul Poynting

Într-un aplicator paralelipedic cu dimensiunile secțiunii transversale  $a, b$  se pot propaga o multitudine de moduri de oscilație,  $TE_{mn}$  sau  $TH_{mn}$  unde  $m$  și  $n$  indică numărul de semiperioade ale lui  $E$  respectiv  $H$  în lungul coordonatelor  $y$  și  $z$ .

Pentru protejarea sursei de microunde, capătul liber al aplicatorului se conectează pe o sarcină reziduală care poate fi reglată, astfel ca în permanență să fie îndeplinite condițiile de rezonanță.

Aplicatoarele cu undă mobilă prezintă la intrare un VSWR (*voltage standing wave ratio*) bun și se utilizează pentru încălzirea materialelor în flux continuu. Nu sunt eficiente pentru încălzirea materialelor cu pierderi mici, deoarece dimensiunile axiale ar fi prea mari.

Din categoria aplicatoarelor cu undă mobilă cele mai utilizate sunt: aplicatorul axial și aplicatorul serpentină.

#### Aplicatorul axial

Aplicatorul axial este cel mai simplu aplicator cu undă mobilă. În principiu este un ghid de undă prin care se propagă modul  $TE_{10}$  cu componenta câmpului electric  $E$  în plan orizontal, în interiorul căruia sarcina se deplasează axial în același sens sau în sens contrar cu fluxul de microunde.

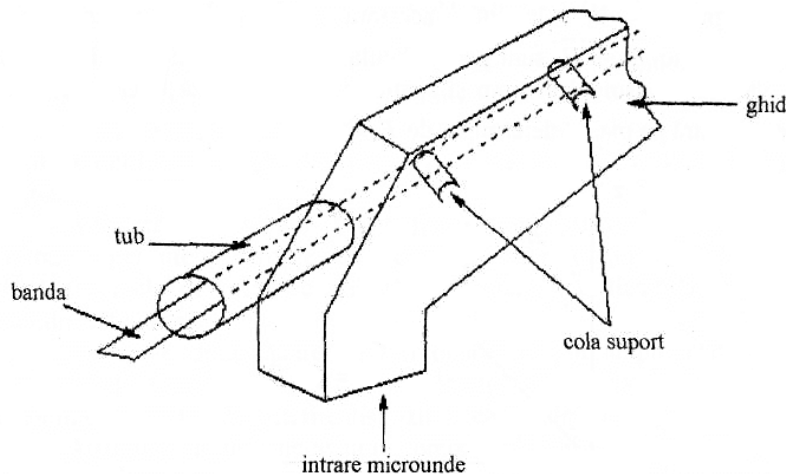


Fig. 3.28. Aplicator axial cu undă mobilă

Aplicatoarele de acest tip sunt utilizate pentru încălzirea materialelor sub formă de benzi, cu lățimi de aproximativ  $\frac{3}{8} \lambda$ .

#### Aplicatorul serpentină

Aplicatorul serpentină (figura 3.29) este realizat din mai multe ghiduri de undă dreptunghiulare înseriate electric și mecanic. În fiecare ghid se practică câte o fantă dreptunghiulară în direcție longitudinală, prin care se deplasează materialul de încălzit.

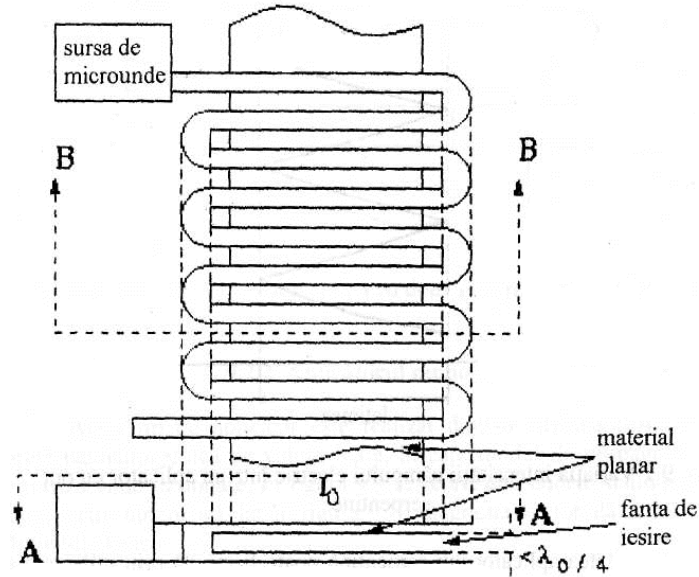


Fig. 3.29. Aplicator în formă de serpentină

În fiecare ghid component al aplicatorului, sarcina absoarbe aproximativ  $10 \div 40\%$  din energia de microunde, iar atenuarea corespunzătoare este cuprinsă între  $0,4 \div 1,5$  dB.

Intensitatea câmpului electric scade în mod constant de la sursă către capătul aplicatorului, așa cum reiese din diagrama prezentată în figura 3.30.

Pentru a nu perturba modul de propagare al undelor în aplicator este necesar ca înălțimea fantelor dreptunghiulare să nu depășească  $\lambda/4$ .

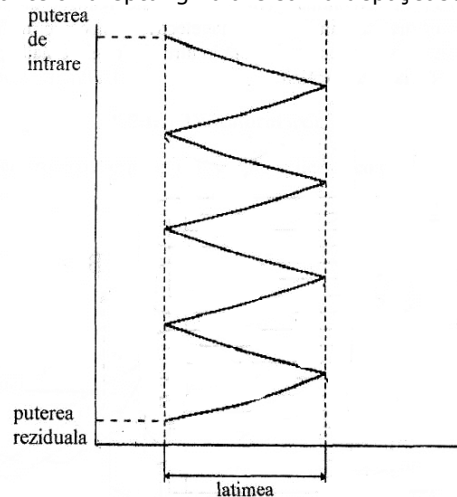


Fig. 3.30. Variația intensității câmpului electric într-un aplicator cu opt serpentine



Eficacitatea aplicatorului serpentină poate fi mărită prin utilizarea a două surse identice de microunde care emit energie în ghiduri paralele și dispuse astfel încât oscilațiile generate de acestea să fie decalate între ele cu  $\lambda/4$  (figura 3.31).

Un astfel de aplicator realizează o distribuție uniformă a temperaturii pe suprafața materialului (sarcină).

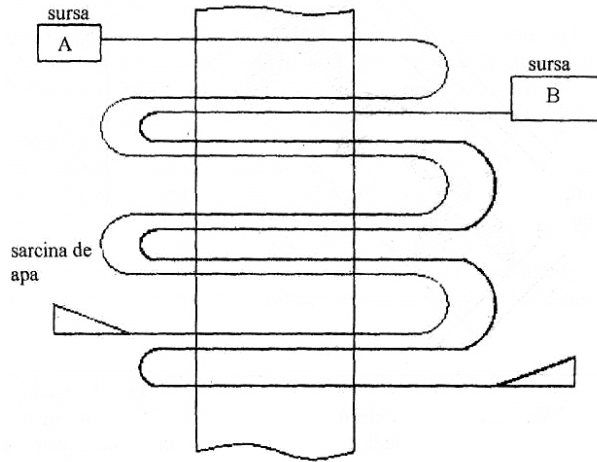


Fig. 3.31. Aplicator de tip serpentină cu două generatoare de microunde

### 3.7.2. Aplicatorul monomod

Acest tip de aplicator este realizat dintr-o cavitate rezonantă de formă paralelipipedică de volum mare, în care modul de propagare  $TE_{mnp}$  formează unde staționare. În figura 3.32 se reprezintă undele staționare într-un aplicator monomod.

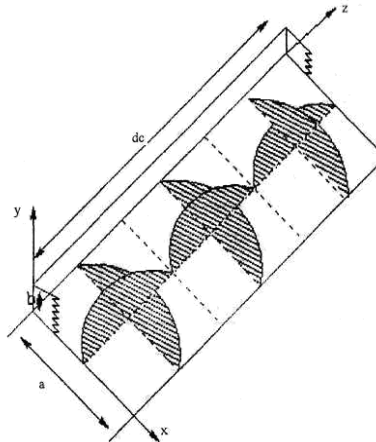


Fig. 3.32. Variația câmpului electric în cavitatea paralelipipedică

### 3.7.3. Aplicator cu două cavități

Acest tip de aplicator asigură o distribuție uniformă a câmpului electric pe înălțimile produselor plane. În figura 3.33 se prezintă un aplicator realizat cu două cavități monomod  $TE_{mnp}$ .

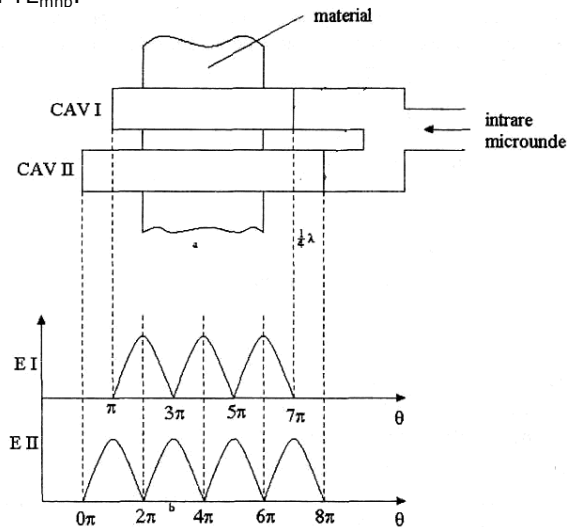


Fig. 3.33. Aplicator cu două cavități

Distribuțiile câmpului electric în aplicator sunt:

$$E_1 = \sqrt{2}E_f \sqrt{1 - \cos \theta_1}$$

$$E_2 = \sqrt{2}E_f \sqrt{1 - \cos \theta_2}$$

Efectul de încălzire este proporțional cu  $(E_1^2 + E_2^2)$ . Pentru ca acest efect să fie maxim în practică  $\theta_1 = \theta_2 + \varphi$ . În acest caz efectul termic obținut este proporțional cu  $4E_f^2$ .

Pentru cavitățile cu modul  $TE_{mnp}$  de oscilație, intensitatea câmpului electric pe înălțimea produsului se poate aprecia cu relația:

$$E_y = \frac{8P}{a\lambda \cdot abm} \sqrt{\frac{\mu_0}{\epsilon_0}}$$

### 3.7.4. Aplicatorul multimod

Aplicatorul multimod este de departe cel mai des folosit în practică. Din punct de vedere mecanic un astfel de aplicator este foarte simplu, constând dintr-o cutie metalică închisă și accesorii, deci sunt ușor de fabricat. Popularitatea aplicatoarelor multimod se datorează nu numai simplității constructive, ci și abilității de a procesa o gamă diversă de sarcini, atât ca dimensiuni cât și ca proprietăți electrice.

Deși este constructiv simplu, aplicatorul multimod este dificil de analizat din punct de vedere electromagnetic [2], [13]. În principiu, cuptorul multimod suportă un număr mare de moduri rezonante de ordin mare, care se adună vectorial în spațiu și timp. Aplicatorul multimod paralelipipedic poate fi considerat un ghid de undă [4], al cărui secțiune este mare comparativ cu lungimea de undă a excitației și scurtcircuitat la ambele capete cu pereți metalici. Ghidul de undă suportă multe moduri  $TE_{mn}$  și  $TM_{mn}$ , cu lungimi de undă independente. Fiecare rezonează atunci când lungimea cuptorului este  $p\lambda_g/2$  pentru modul dat, unde  $p$  este un număr întreg. Numerele  $m$ ,  $n$ ,  $p$  reprezintă numărul de jumătăți de lungime de undă ale variației sinusoidale a câmpului electric de-a lungul axelor principale ale cuptorului.

Există în prezent trei abordări ale proiectării și analizei cuptoarelor multimod:

1. Metoda empirică, bazată pe experimente de laborator, înțelegerea principiilor microundelor și experiență în domeniu. Predicțiile cantitative obținute astfel sunt de o acuratețe îndoielnică, iar „mărirea” unui model la scară prezintă dificultăți.
2. O abordare de tip circuit echivalent electric, prin care structura modurilor este modelată și performanța generală este dată de suma modurilor individuale. Această abordare oferă câțiva parametri importanți, dar nu poate fi aplicată ca procedură de proiectare decât dacă sarcina determină un mod de lucru aperiodic al cuptorului.
3. Metode numerice, bazate de exemplu pe metoda elementului finit în domeniu timp. Aceasta este direcția principală a cercetărilor contemporane, deși la momentul actual ele nu sunt suficient de dezvoltate pentru a oferi o procedură de proiectare „prietenosă” și de încredere. Există posibilitatea de a oferi – cu limitări în ce privește complexitatea configurației – simulări în ce privește uniformitatea încălzirii și eficiența unei construcții propuse.

Există două condiții extreme în care poate funcționa un cuptor multimod. Prima este atunci când sarcina are dimensiuni comparabile cu adâncimea de penetrare și reflexie minimă la suprafață. O proporție mare a energiei microundelor direcționată către sarcină este absorbită. În aceste condiții rămâne puțină energie stocată, ceea ce înseamnă ca factorii de calitate ai modurilor sunt foarte mici, rezonanța este practic suprimată și cuptorul operează aperiodic. A doua apare atunci când sarcina are pierderi scăzute, deci și adâncimea de penetrare este mare comparativ cu dimensiunile fizice ale sarcinii. Aceasta este o situație complicată, când numai o mică parte din energia microundelor direcționată către sarcină este absorbită la prima trecere, restul fiind reflectat de pereții cuptorului după care trece a 2-a oară etc. Câmpul de microunde se amplifică, stocând energie în câmpurile electric și magnetic. În acest caz, cuptorul operează în rezonanță, cel mai adesea cu câteva moduri rezonante apropiate de frecvența generatorului.

În cea mai simplă formă, cuptorul este o cutie metalică rectangulară cu dimensiunile ( $a$ ,  $b$ ,  $c$ ) în care una sau mai multe din aceste dimensiuni este un multiplu întreg al jumătății lungimii de undă a excitației  $\lambda_0/2$ .

O metodă de analiză este de a considera cutia un ghid de undă cu scurtcircuit la capete, însă de fapt sunt trei astfel de ghiduri scurtcircuitate paralele cu axele principale ale incintei. Fiecare din aceste ghiduri pot suporta atât moduri TE cât și TM.

Cum această construcție este o cavități rezonantă paralelipipedică (§3.6.2), modurile de rezonanță pot fi calculate astfel (din rel. 3.62):

$$\left(\frac{2}{\lambda_0}\right)^2 = \left(\frac{m}{a}\right)^2 + \left(\frac{n}{b}\right)^2 + \left(\frac{p}{c}\right)^2$$

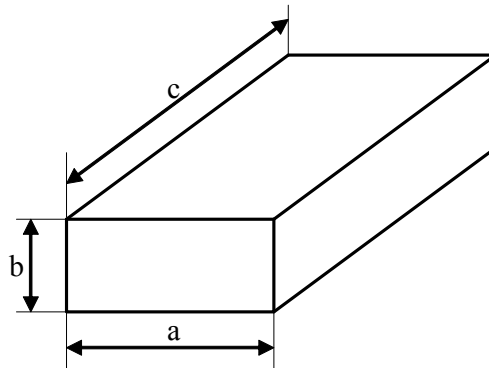


Fig. 3.34. Aplicator multimod rectangular

Este important de observat că  $m$ ,  $n$ ,  $p$  nu pot fi oricât de mari; ecuația poate avea loc numai dacă  $m < 2a/\lambda_0$ ,  $n < 2b/\lambda_0$  și  $p < 2c/\lambda_0$ .

Valorile  $m$ ,  $n$ ,  $p$  sunt uneori numite *valori proprii*, și împreună  $(m, n, p)$  *vectori proprii*. Se observă că modurile TE și TM care corespund aceluiași vector propriu au aceeași frecvență de rezonanță. În practică, prezența sarcinii și a altor perturbații în incintă cauzează modurile TE și TM corespunzătoare aceluiași vector propriu să aibă frecvențe de rezonanță diferite.

De remarcat că, în practică, aplicatoarele multimod nu se construiesc sub forma unui paralelipiped exact. Aceasta deoarece – pentru a obține un câmp cât mai uniform – se dorește un număr cât mai mare de moduri de rezonanță.

### 3.8. Elemente specifice circuitelor de transmisie a energiei de microunde

#### 3.8.1. Ghiduri de undă rectangulare și curbe

Transmisia energiei de microunde de la generator la aplicator se realizează în cele multe cazuri cu ghiduri de undă cu secțiune dreptunghiulară, având dimensiunile standardizate. Dacă lungimile sunt mari, se folosesc tronsoane de ghiduri dreptunghiulare drepte sau curbate, care sunt cuplate mecanic prin flanșe și conectate electric.

Gradul de rugozitate al suprafețelor ghidurilor și calitatea îmbinărilor influențează într-o mare măsură randamentul transmisiei de la generator la aplicator. În tabelul de mai jos se prezintă dimensiunile standardizate ale ghidurilor de undă pentru frecvența de 2,45GHz (dimensiunile interioare).

Tab. 3.1. Dimensiuni standardizate pentru ghiduri de undă la 2,45GHz

Lățimea a [mm]	Înălțimea b [mm]	Grosimea peretelui [mm]
109,22	54,61	2,03
110 ±0,3	55 ±0,25	2,5 ±0,25

Pentru schimbarea direcției traseului de microunde se recomandă utilizarea coturilor curbe și coturilor unghiulare cu deschideri mai mari de 90°. Coturile și ramificațiile sunt elemente care introduc pierderi suplimentare.

### 3.8.2. Circulatoare

Circulatorul este un element de circuit de microunde destinul protejării generatorului de unde reflectate de sarcină. În principiu, circulatorul este un ghid de undă cu ferită, cu trei sau mai multe intrări care se intercalează pe traseul dintre generator și aplicator. În figura 3.35 se prezintă un circulator cu patru intrări.

Funcționarea circulatorului cu patru intrări este următoarea: semnalul aplicat la intrarea ghidului trece prin ferită și este defazat cu  $\pi/2$ , intrând apoi în ghidul 2 va fi rotit cu  $\pi/4$  și în felul acesta propagarea este normală. Semnalul aplicat la ghidul 2 nu poate trece la ghidul 1, deoarece se produce o defazare cu  $\pi/2$ . orientarea undelor corespunzând trecerii prin ghidul 3. Dacă se aplică semnal în ghidul 3 ieșirea se va face prin ghidul 4, iar dacă se aplică un semnal în ghidul 4 ieșirea se va face în ghidul 1.

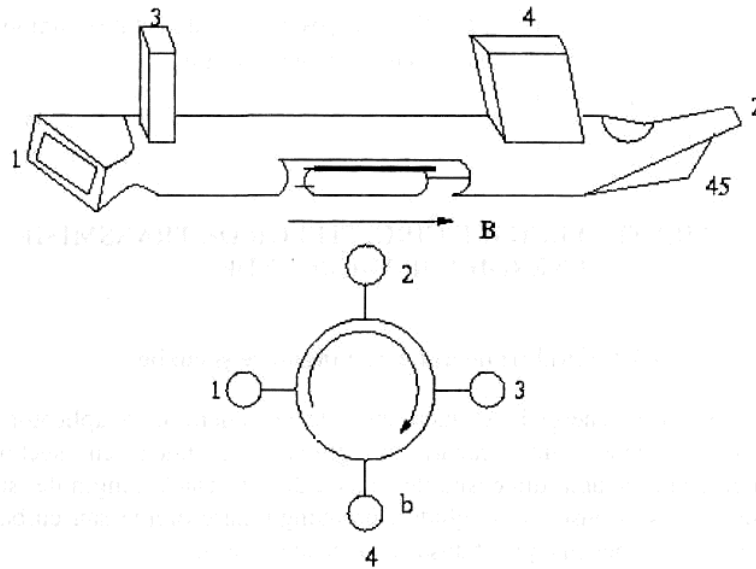


Fig. 3.35 – circulator cu patru intrări

Conexiunea între ghidul de undă și cavitatea rezonantă se realizează prin practicarea în pereții cavității rezonante a unor fante de cuplare. Fantele de cuplare au rolul de adaptare a impedanței cavității cu sarcina în interior cu cea a ghidului cu care este conectat.

Calculul impedanței de adaptare este o problemă dificilă și de regulă aceasta este determinată experimental. În figura 3.36 se prezintă modul de transmisie al energiei de microunde de la generator la aplicator.

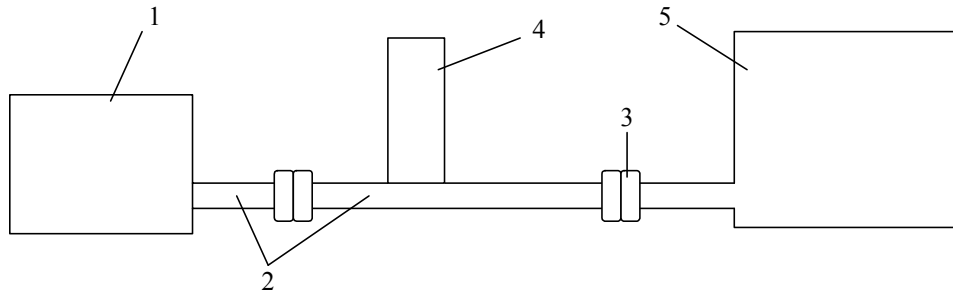


Fig. 3.36 – prezentarea schematică a modului de transmisie a energiei  
1 - sursa de putere în microunde; 2 - ghid de undă; 3 - flanșă;  
4 - circulator; 5 - cavitatea rezonantă

Fantele practicate în ghidurile de undă au o influență deosebită asupra transferului de energie, deoarece fantele devin surse de câmpuri electromagnetice perturbatoare.

## 4. Modelarea și simularea proceselor electrotermice într-un cuptor multimod

### 4.1. Generalități

Utilizarea metodelor analitice pentru rezolvarea problemelor de electromagnetism devine aproape imposibilă dacă: ecuațiile cu derivate parțiale sunt neliniare și nu se pot liniariza fără a afecta în mod deosebit rezultatul, regiunea analizată este complexă și condițiile pe frontieră sunt de tip mixt sau dependente de câmp, în situația în care mediul este neomogen sau anizotrop. În aceste situații sunt preferate metodele numerice. Dintre aceste metode cea mai frecvent folosită este metoda diferențelor finite, ca urmare a ușurinței în înțelegere și a modului de aplicare [2][11][13].

Din punct de vedere istoric, metoda a fost aplicată pentru prima dată în anul 1920 de A. Thorn pentru rezolvarea unor ecuații neliniare din hidrodinamică. În esență, metoda constă în înlocuirea ecuațiilor diferențiale cu ecuații cu diferențe finite. Aproximările cu diferențe finite sunt forme algebrice în care valoarea unei variabile dependente de poziția unui punct în spațiu se înlocuiește cu valorile acesteia în punctele învecinate.

Metoda diferențelor finite presupune parcurgerea următoarelor etape:

- discretizarea regiunii spațiale într-o rețea de noduri;
- aproximarea ecuațiilor diferențiale cu ecuații cu diferențe finite, în care se pune în evidență dependența valorii unei variabile într-un punct din spațiu de valorile din zona apropiată;
- rezolvarea ecuațiilor algebrice în condițiile impunerii anumitor valori pe frontieră și/sau inițiale.

### 4.2. Discretizarea spațială

În general, metodele numerice utilizate pentru rezolvarea ecuațiilor cu derivate parțiale pot fi divizate în două categorii: metode bazate pe aproximarea directă a derivatelor în ecuațiile cu derivate parțiale și metode care aproximează soluția ecuațiilor diferențiale printr-o combinație de funcții de testare. Metoda diferențelor finite (MDF) se încadrează în prima categorie. Cele două categorii de metode diferă în ceea ce privește modul de realizare a discretizării spațiale. La MDF nodurile rețelei se află de-a lungul direcțiilor de coordonate constante, astfel că aproximarea derivatelor se poate realiza ușor (fig. 4.1 a).

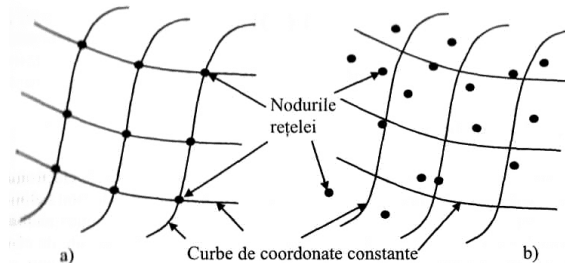


Fig. 4.1. Dispunerea nodurilor rețelei de discretizare spațială la intersecția curbelor de coordonate constante a) sau în poziții oarecare b)

La metodele în care se aproximează soluția prin funcții de încercare nu se impun asemenea restricții (fig. 4.1 b) deoarece derivatele approximate sunt obținute după substituția soluției approximate. Această observație conduce la concluzia că MDF nu este suficient de flexibilă pentru a se putea aplica unor domenii cu variații puternice ale scărilor caracteristice. Pentru a se remedia deficiența se pot căuta sisteme de coordonate care să se adapteze cât mai bine frontierelor sau să se utilizeze o tehnică evoluată de rețele adaptive. În cele mai multe aplicații regiunea din spațiu se împarte cu ajutorul unei rețele rectangulare echidistante. În cazul discretizării unor forme particulare de corpuri se poate adopta un alt tip de rețea spațială. Pentru cazul domeniilor bidimensionale, ilustrat în figura 4.2, sunt prezentate câteva cazuri particulare în care se poate discretiza domeniul analizat.

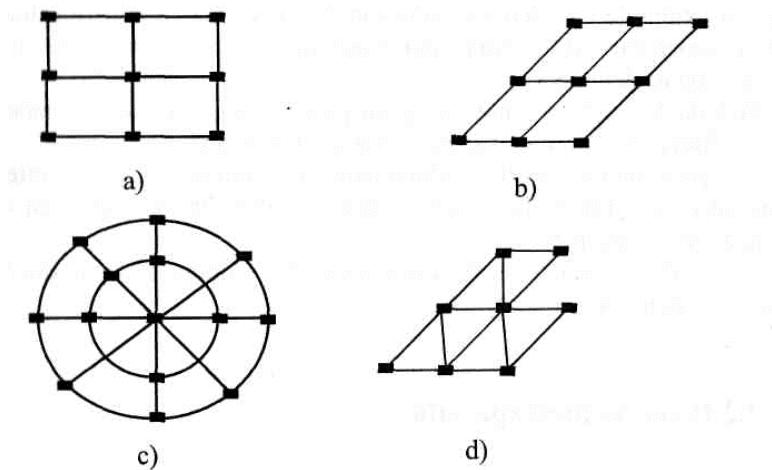


Fig. 4.2. Rețea de elemente dreptunghiulare a), înclinate b), circulare c) și triunghiulare d)

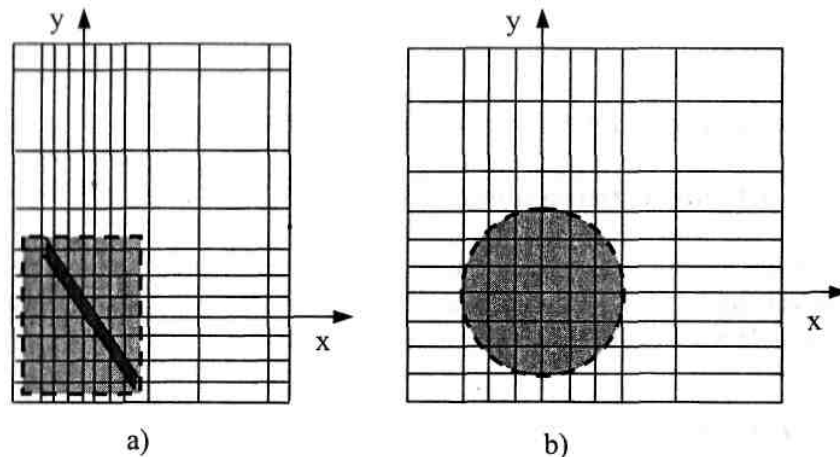


Fig. 4.3. Exemple de discretizare spațială cu pas variabil



De asemenea, discretizarea se poate face cu pas constant sau pas variabil (vezi fig. 4.3 a sau b). Un exemplu de utilizare a discretizării, în cazul unei linii de transmisiuni realizată din două conductoare de formă poligonală în secțiune transversală, este ilustrat în fig. 4.4. Zona hașurată corespunde regiunii dielectrice în care se vor evalua componentele câmpului electromagnetic.

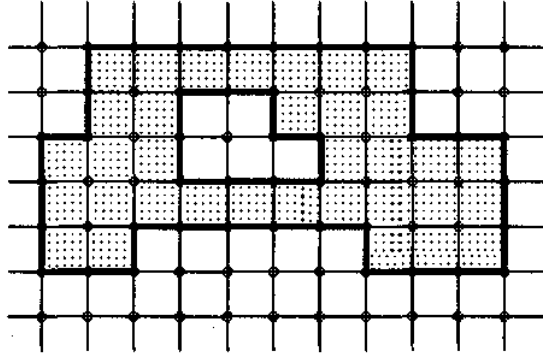


Fig. 4.4. Domeniu poligonal specific liniilor cu două conductoare

### 4.3. Diferențierea numerică

Dacă se cunoaște valoarea unei funcții în punctul  $x$ , atunci se poate calcula noua valoare într-un punct apropiat  $x + h$  ( $h$  fiind o deplasare foarte mică față de  $x$ ) folosind dezvoltarea în serie Taylor:

$$f(x+h) = f(x) + hf'_x + \frac{1}{2}h^2 f''_x + \frac{1}{6}h^3 f'''_x + \dots \quad (4.1)$$

Dacă se scoate  $f'_x$  din relația anterioară se va obține:

$$\begin{aligned} f'_x &= \frac{f(x+h) - f(x)}{h} - \frac{1}{2}hf''_x + \frac{1}{6}h^2 f'''_x + \dots = \\ &= \frac{f(x+h) - f(x)}{h} + 0(h) \end{aligned} \quad (4.2)$$

Relația (4.2) reprezintă o aproximare a derivatei funcției  $f$  printr-o diferență înainte și un termen de eroare de ordinul  $h$ . În mod similar, pentru punctul  $x-h$  se va obține:

$$f(x-h) = f(x) - hf'_x + \frac{1}{2}h^2 f''_x - \frac{1}{6}h^3 f'''_x + \dots \quad (4.3)$$

și

$$\begin{aligned} f'_x &= \frac{f(x) - f(x-h)}{h} + \frac{1}{2}hf''_x - \frac{1}{6}h^2 f'''_x - \dots = \\ &= \frac{f(x) - f(x-h)}{h} + 0(h) \end{aligned} \quad (4.4)$$

Relația (4.4) reprezintă o aproximare a derivatei funcției  $f$  printr-o diferență înapoi și un termen de eroare de ordinul  $h$ . Scăzând (4.3) din (4.1) va rezulta:

$$f'_x = \frac{f(x+h) - f(x-h)}{2h} + O(h^2) \quad (4.5)$$

Relația (4.5) reprezintă o aproximare a derivatei funcției  $f$  printr-o diferență centrată și un termen de eroare de ordinul  $h^2$ .

Ca urmare, pentru evaluarea derivatei de ordinul unu în punctul curent  $x$  este necesară specificarea valorilor funcție în două puncte simetrice, aflate la o distanță  $h$  (fig. 4.5). Se observă că scăderea intervalului de discretizare va conduce la îmbunătățirea acurateții evaluării derivatei. În plus, scăderea erorii are o variație pătratică la diferențele centrate și liniară la diferențele înainte sau înapoi.

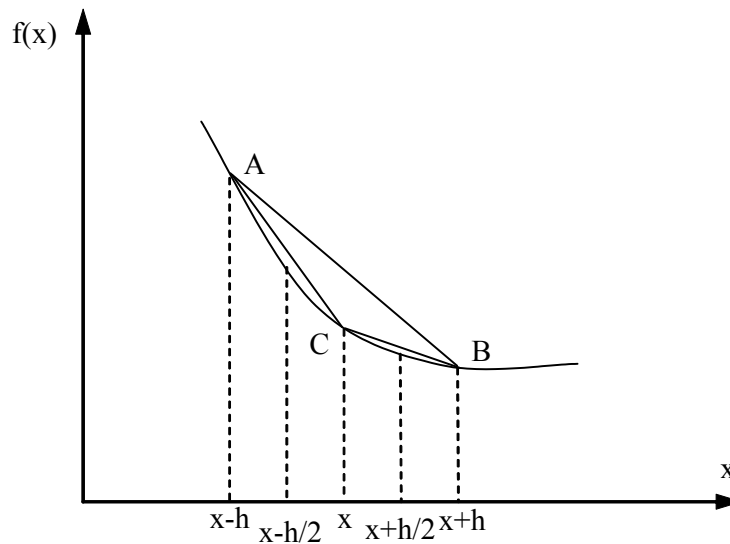


Fig. 4.5. Moduri de aproximare a derivatei unei funcții  $f(x)$

Dacă se evaluează derivata în punctele  $x+0,5h$  și  $x-0,5h$ , folosind formula diferențelor centrate, se obține:

$$f'(x+0,5h) = \frac{f(x+h) - f(x)}{h}, \quad (4.6)$$

$$f'(x-0,5h) = \frac{f(x) - f(x-h)}{h}$$

Din relațiile anterioare se obține expresia derivatei de ordinul doi:

$$f''(x) = \frac{f'(x+0,5h) - f'(x-0,5h)}{h} = \frac{f(x+h) + f(x-h) - 2f(x)}{h^2} \quad (4.7)$$

Eroarea cu care se face aprecierea diferențialei de ordinul doi prin operatorul în trei puncte, folosind relația anterioară, este de ordinul  $h^2$ . Dacă se dorește o precizie mai bună (de ordinul  $h^4$ ), atunci se poate utiliza relația operatorului diferențial în cinci puncte:

$$f''(x) = \frac{-f(x-2h) + 16f(x-h) - 30f(x) - 16f(x+h) - f(x+2h)}{12h^2} \quad (4.8)$$

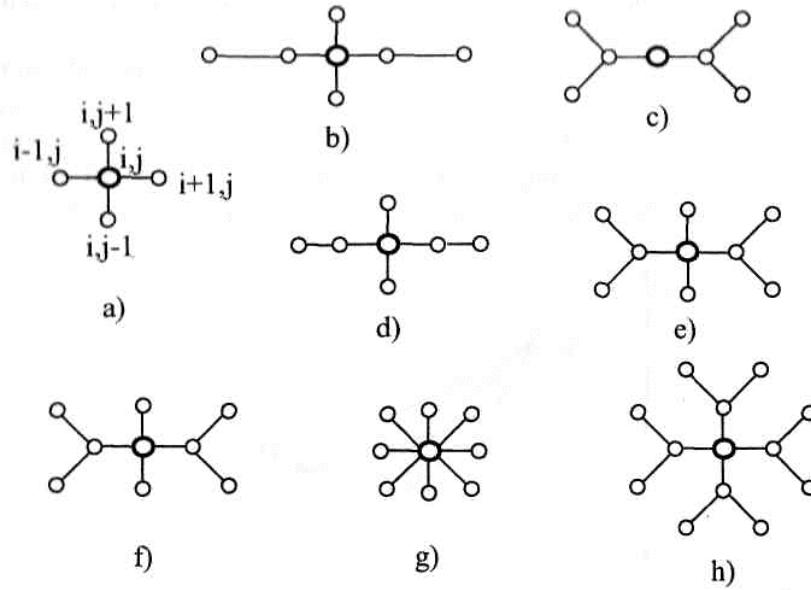


Fig. 4.6. Selecții de puncte posibile la operatori cu diferențe finite

În unele aplicații se impune un pas variabil. De exemplu, dacă se cunosc valorile în trei puncte  $x - h$ ,  $x$  și  $x + ah$ , atunci derivata de ordinul doi se aproximează cu relația:

$$f''(x) = \frac{af(x-h) + f(x+h) - (1+a)f(x)}{a(1+a)h^2} \quad (4.9)$$

Cel mai des folosit operator în aplicațiile de microunde este laplacian-ul ( $\nabla^2$ ). În plan, laplacian-ul are forma:

$$\nabla^2 \Phi = \frac{\partial^2 \Phi}{\partial x^2} + \frac{\partial^2 \Phi}{\partial y^2} = \frac{\Phi_{i-1,j} + \Phi_{i+1,j} + \Phi_{i,j-1} + \Phi_{i,j+1} - 4\Phi_{i,j}}{h^2} \quad (4.10)$$

Se observă că pentru a se putea evalua operatorul trebuie cunoscute valorile funcției în patru puncte aflate la distanța  $h$  față de centru (fig. 4.6a). Convergența acestui tip de operator este  $O(h)$ . Pentru o mai bună acuratețe se vor utiliza mai multe puncte. De exemplu, în fig., 4.6 imaginile c, d, f și h conduc la o convergență pătratică.

#### 4.4. Discretizarea spațio-temporală a ecuațiilor lui Maxwell

Termenii din membrul stâng al ecuațiilor de evoluție al câmpului electromagnetic conțin derivatele parțiale de ordinul doi. Abordarea numerică presupune transformarea succesivă a acestora în diferențe centrate (diferențe finite). Termenii din membrul drept al ecuațiilor conțin derivatele câmpului în raport cu timpul. În vederea procesării numerice se pot aborda două direcții: transformarea diferențialei de ordinul unu în diferență centrată (metoda diferențelor finite în domeniul timp – MDFDT) sau se consideră componentele câmpului electromagnetic scrise în complex, astfel încât derivata se transformă în produsul funcției cu termenul  $j\omega$  (metoda diferențelor finite în domeniul frecvență – MDFDF). Fiecare tehnică de modelare are anumite avantaje și dezavantaje. La unele tipuri de modele tehnica utilizată poate procesa date rapid și cu acuratețe, iar la alte modele fenomenul ar putea fi mai puțin precis.

MDFDT aparține clasei generale a metodelor de modelare numerică în domeniul timp a ecuațiilor diferențiale. Tehnica de diferențiere în domeniul timp este cea mai utilizată în domeniul electromagnetismului deoarece: este ușor de înțeles, ușor de implementat în software și explorează o bandă largă de frecvențe la o singură rulare a programului. Rezolvarea prin MDFDT presupune abordarea formei diferențiale a ecuațiilor lui Maxwell în două etape (de tipul „saltul broaștei”). În prima etapă se determină componenta electrică a câmpului electromagnetic pentru un anumit moment de timp, apoi componenta magnetică ș.a.m.d. Examinând ecuațiile lui Maxwell se observă că derivata câmpului electric în raport cu timpul este dependentă de rotorul câmpului magnetic. Aceasta conduce la a afirma că variația câmpului electric (derivata temporală) depinde de variația spațială a componentei magnetice (rotorul). Dacă se ține seama de expresia derivatei, atunci noua valoare a câmpului electric este dependentă de vechea valoare a câmpului electric și de variația spațială a vechii valori a câmpului  $H$  în jurul componentei electrice (în descrierea simplificată anterioară s-au omis constantele). Componenta magnetică se va descrie într-o manieră asemănătoare. Noua valoare a câmpului magnetic va depinde de vechea valoare a câmpului magnetic (derivata temporală) și de variația spațială a componentei electrice în jurul componentei magnetice.

După discretizarea domeniului, trebuie specificat materialul fiecărei celule. Uzual, materialul poate fi spațiul liber (aer), metal (conductor electric perfect) sau un material oarecare cu parametrii de material specificați. Condițiile de absorbție simulează efectul spațiului liber aflat în afara frontierei specificate. Prin această metodă se pot caracteriza bine structurile neomogene unde metodele analitice nu se pot aplica. Calculul este acompaniat de aplicarea unei excitații pe un obiect sau un grup de obiecte în spațiul tridimensional și apoi calcularea evoluției în timp a câmpului.

În continuare se stabilește tipul sursei. Ea poate fi o undă continuă, un curent printr-un fir, un câmp electric între plăci paralele (uzual tensiunea între plăci), depinzând de tipul situației modelate. Deoarece câmpurile  $E$  și  $H$  sunt determinate direct, mărimile de ieșire ale procesului simulat sunt câmpurile  $E$  și  $H$  într-un punct sau într-o serie de puncte din domeniul procesat.

Analiza se poate face în spații mono-, bi- sau tridimensionale. În anul 1966 Kane S. Yee a propus aproximarea în 3D prin diferențe centrate pentru ecuațiile diferențiale ale lui Maxwell, atât în spațiu cât și în timp.

MDFDT este o tehnică intuitivă, astfel că utilizatorul poate înțelege ușor cum lucrează și la ce se poate aștepta de la modelul dat. De asemenea, fiind o tehnică în domeniul timp, când sursa este un impuls în domeniul timp (de exemplu, impulsul gaussian), atunci se determină răspunsul într-o bandă largă de frecvențe. Situația este utilă în aplicațiile la care nu se cunosc cu exactitate frecvențele de rezonanță sau se dorește analiza răspunsului într-o bandă largă de frecvențe. Prin această tehnică se determină câmpurile E și H din interiorul domeniului, ceea ce permite o afișare animată a deplasării câmpului prin model. Acest tip de afișare este util pentru a înțelege exact ce se întâmplă în model și a se asigura că funcționează corect.

Domeniul trebuie să fie discretizat, iar grila să fie foarte mică în comparație cu lungimea de undă (distanța mai mică de  $0,1\lambda$ ) și mai mică decât cele mai mici detalii geometrice ale modelului. Ca urmare, modul de calcul devine greoi și solicită timp de lucru mare. Modelele de tipul firelor lungi și subțiri vor fi mai dificil de utilizat. Metoda permite utilizatorului să specifice direct structura materialului (magnetic sau dielectric) în toate punctele, fără a fi nevoie a se recurge la diferite „presupuneri”. MDFDT determină direct componentele E și H, fără a fi nevoie de conversie. Se pot investiga efectul aperturilor, efectul de umbră etc. Condiția de absorbție totală (adaptare) pe frontieră simulează spațiul liber de după frontieră.

Analizând dezavantajele metodei se constată că deoarece pe întreg domeniul trebuie realizată rețeaua de discretizare, iar pasul trebuie să fie mai mic în comparație cu lungimea de undă și mai mic decât cea mai mică denivelare din model, se obține un domeniu de calcul foarte mare. În consecință, apare un timp de lucru mai mare. Modelele subțiri și lungi (de tipul firelor) sunt mai dificil de modelat prin MDFDT. În cadrul metodei se determină câmpurile E și H în tot domeniul. Dacă este necesar a se evalua la o distanță oarecare (de exemplu, 10 m depărtare), atunci se impune un timp de calcul și mai mare. Extensia câmpurilor la distanță este posibilă prin MDFDT, dar este necesară o anumită postprocesare.

Metoda oferă următoarele avantaje:

- pot fi modelate structuri arbitrare din materiale complexe (cu sau fără pierderi, perfect conductoare sau dielectrice, materiale magnetice cu sau fără pierderi materiale anizotrope - de exemplu plasma);
- răspunsul în bandă largă este disponibil după o singură execuție pe calculator;
- se evaluează direct câmpurile E și H, iar în aplicații nu mai este nevoie de efectuarea diferitelor conversii după rularea programului;
- se pot modela cu destulă acuratețe: linii de transmisiuni de tip microstrip, linii coplanare, linii coaxiale etc.;
- în analiză se poate include interacțiunea cu dispozitive active (diode și/sau elemente cu constante concentrate);
- se pot calcula parametrii de repartiție la structuri de antene;
- se poate calcula caracteristica de radiație în câmp îndepărtat a antenelor, plecând de la câmpurile din zona apropiată;
- permite determinarea directă a efectelor aperturilor, a efectelor de umbră. Câmpurile se pot determina direct în interiorul sau în afara structurii.

De îndată ce obiectul a fost definit, din punct de vedere geometric și electric, simularea poate începe prin introducerea excitației (radiație incidentă, tensiune sau curent). Analiza în timp se face până se ajunge la starea stabilă pentru excitația sinusoidală sau converge către zero la o excitație în impuls. Datele eșantionate pentru o eventuală postprocesare se referă la tensiuni și curenți (pentru parametrii

de repartiție - S) sau impedanțe și curenți de suprafață (pentru a determina caracteristica de radiație).

#### 4.4.1. Algoritmul lui Yee

În domeniul tridimensional, spațiul aferent unui anumit obiect se poate descompune într-o sumă de paralelipede:

$$G = \{(x_i, y_j, z_k), i = 1 \dots I, j = 1 \dots J, k = 1 \dots K\} \quad (4.11)$$

Numărul total de elemente este  $N = I \times J \times K$ . De-a lungul fiecărei muchii a cubului se presupune că acționează o anumită diferență de potențial, iar fiecare față a acestuia este străbătută de un flux magnetic (fig. 2.18). Fiecare celulă Yee [2][13] va conține șase componente de câmp  $E_x, E_y, E_z, H_x, H_y$  și  $H_z$ .

Rezolvarea ecuației integrale a câmpului electromagnetic ar conduce la scrierea, de exemplu după componenta x, a ecuației:

$$\begin{aligned} E_z(i, j-1, k) - E_z(i, j+1, k) + E_z(i, j, k+1) - E_z(i, j, k-1) = \\ = \frac{\partial}{\partial t} B_x(i, j, k) \end{aligned} \quad (4.12)$$

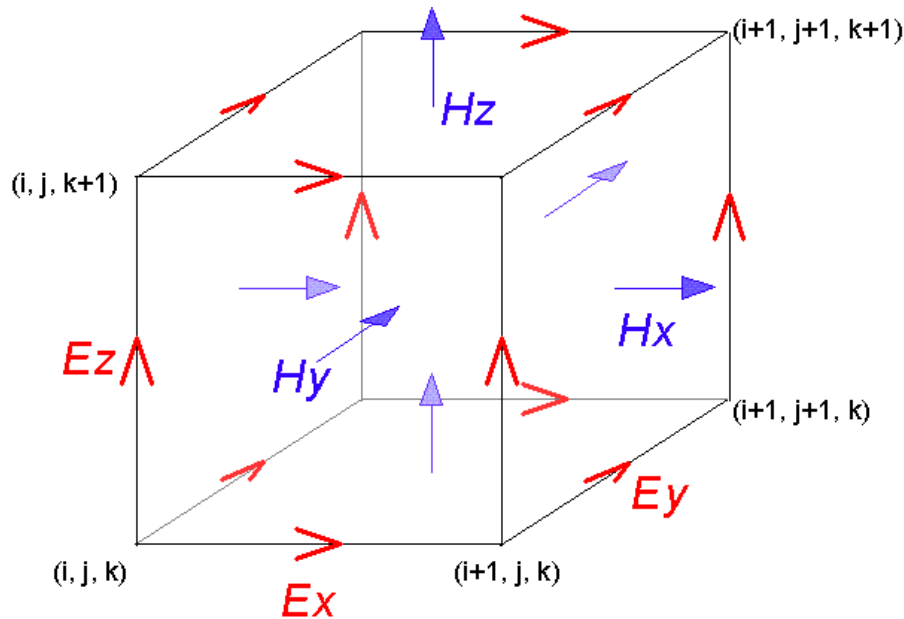


Fig. 4.7. Celula Yee

Celula unitară are dimensiunile  $\Delta x, \Delta y, \Delta z$ . Pe această imagine „rotorul” poate fi interpretat relativ ușor: circulația câmpului electric determină câmpul magnetic – cele patru componente ale câmpului electric care înconjoară câmpul  $B_x$  plasat în punctul  $M(i, j, k)$ . Derivata parțială în raport cu timpul se poate înlocui prin diferențe finite. Ca urmare, sistemul format din cele șase ecuații care descriu evoluția câmpului electromagnetic (componentele scalare) va fi:

$$H_{x(i,j,k)}^{n+1/2} = H_{x(i,j,k)}^{n-1/2} + \frac{\Delta t}{\mu \Delta z} (E_{y(i,j,k)}^n - E_{y(i,j,k-1)}^n) - \frac{\Delta t}{\mu \Delta y} (E_{z(i,j,k)}^n - E_{z(i,j-1,k)}^n) \quad (4.13)$$

$$H_{y(i,j,k)}^{n+1/2} = H_{y(i,j,k)}^{n-1/2} + \frac{\Delta t}{\mu \Delta x} (E_{z(i,j,k)}^n - E_{z(i-1,j,k)}^n) - \frac{\Delta t}{\mu \Delta z} (E_{x(i,j,k)}^n - E_{x(i,j,k-1)}^n) \quad (4.14)$$

$$H_{z(i,j,k)}^{n+1/2} = H_{z(i,j,k)}^{n-1/2} + \frac{\Delta t}{\mu \Delta y} (E_{x(i,j,k)}^n - E_{x(i,j-1,k)}^n) - \frac{\Delta t}{\mu \Delta x} (E_{y(i,j,k)}^n - E_{y(i-1,j,k)}^n) \quad (4.15)$$

$$E_{x(i,j,k)}^{n+1} = E_{x(i,j,k)}^n \left( 1 - \frac{\sigma \Delta t}{\varepsilon} \right) + \frac{\Delta t}{\varepsilon \Delta y} (H_{z(i,j+1,k)}^{n+1/2} - H_{z(i,j,k)}^{n+1/2}) - \frac{\Delta t}{\varepsilon \Delta z} (H_{y(i,j,k+1)}^{n+1/2} - H_{y(i,j,k)}^{n+1/2}) \quad (4.16)$$

$$E_{y(i,j,k)}^{n+1} = E_{y(i,j,k)}^n \left( 1 - \frac{\sigma \Delta t}{\varepsilon} \right) + \frac{\Delta t}{\varepsilon \Delta z} (H_{x(i,j,k+1)}^{n+1/2} - H_{x(i,j,k)}^{n+1/2}) - \frac{\Delta t}{\varepsilon \Delta x} (H_{z(i+1,j,k)}^{n+1/2} - H_{z(i,j,k)}^{n+1/2}) \quad (4.17)$$

$$E_{z(i,j,k)}^{n+1} = E_{z(i,j,k)}^n \left( 1 - \frac{\sigma \Delta t}{\varepsilon} \right) + \frac{\Delta t}{\varepsilon \Delta x} (H_{y(i+1,j,k)}^{n+1/2} - H_{y(i,j,k)}^{n+1/2}) - \frac{\Delta t}{\varepsilon \Delta y} (H_{x(i,j+1,k)}^{n+1/2} - H_{x(i,j,k)}^{n+1/2}) \quad (4.18)$$

Notația  $\mu$  din formulele anterioare este permeabilitatea magnetică absolută,  $\mu = \mu_0 \mu'$ . Cu  $\varepsilon$  s-a notat permitivitatea electrică absolută reală,  $\varepsilon = \varepsilon_0 \varepsilon'$ . Conductivitatea  $\sigma$  este specifică metalelor, în cazul dielectricilor cu pierderi se va considera  $\sigma = \omega \varepsilon_0 \varepsilon''$ .

Exponenții celor șase componente de câmp se referă la momentele de timp la care se face evaluarea ( $t=n\Delta t$ ). Valorile intensității câmpului electric sunt considerate la momentele de timp  $t=n\Delta t$ , iar cele ale câmpului magnetic la  $t = (n+1/2)\Delta t$ . Deoarece toate sarcinile se conservă în fiecare moment, există o treaptă de timp limită (criteriul lui Courant) care conferă stabilitate. În sistemul de coordonate cartezian:

$$\Delta t \leq \frac{1}{\frac{c}{\sqrt{\epsilon'}} \sqrt{\frac{1}{\Delta x^2} + \frac{1}{\Delta y^2} + \frac{1}{\Delta z^2}}} \quad (4.19)$$

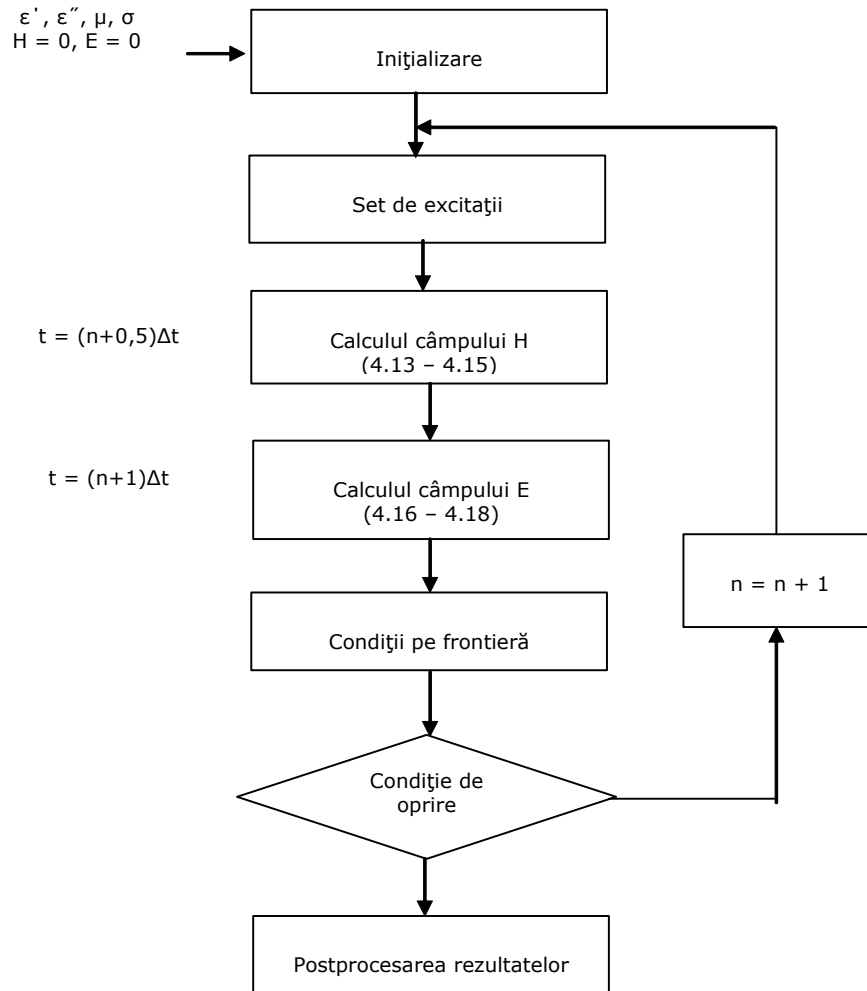


Fig. 4.8. Succesiunea prelucrării datelor prin MDFDT

În cazul în care se cunoaște cea mai mare frecvență,  $f_{\max}$ , la care răspunde sistemul, atunci se impune și:

$$\Delta t \leq \frac{2}{f_{\max}} \quad (4.20)$$



Se observă că toate operațiile care apar în setul de ecuații sunt ușor de efectuat: adunări, scăderi sau multiplicări. Componentele câmpului din fiecare celulă Yee, caracterizată prin parametrii de material  $\mu$  și  $\epsilon$  sunt calculate iterativ, cât timp răspunsul prezintă interes. Apoi urmează etapa de postprocesare. Schema logică care permite alcătuirea programului de evaluare a câmpului electromagnetic prin MDFDT este ilustrată în fig. 4.8.

Excitația poate fi o undă plană, o „pânză” de curent pe un perete metalic sau un curent printr-un fir – aceasta din urmă fiind situația dacă se consideră antena unui magnetron. Condițiile de frontieră pot fi considerate separat, ca în figură, sau în cadrul calculelor pentru câmpurile  $E$  și  $H$ . Condiția de oprire poate fi o limită de timp (sau număr de iterații), sau se poate considera un criteriu de convergență, cum ar fi stabilizarea valorii medii a  $E^2$  pe întregul domeniu.

#### 4.5. Modelarea proceselor termodinamice

Fenomenele termodinamice care apar la procesele de încălzire cu microunde constau în transferuri termice în interiorul sarcinii (în principal prin conducție) și pierderi de căldură dinspre sarcină spre mediu. În interiorul sarcinii pot să apară conducția termică și transferul de entalpie prin difuzia unui fluid, de exemplu difuzia apei înspre suprafața mai uscată într-un material poros. Și desigur, aportul de energie datorat câmpului de microunde.

Transferul termic dinspre sarcină spre mediu poate avea loc prin:

- conducție termică la contactul cu o suprafață de suport
- convecție
- radiație
- transfer de masă

În majoritatea aplicațiilor se lucrează cu temperaturi relativ scăzute, deci fenomenul de transfer termic prin radiație, care depinde de puterea a 4-a a temperaturii absolute poate fi neglijat. Convecția – liberă sau forțată – este un fenomen complex care depinde de foarte multe mărimi și este dat în general prin formule empirice. În anumite situații – de exemplu la procesele de uscare – se produce un transfer de entalpie spre exterior odată cu o parte din sarcină (apa care se evaporă). Această lucrare nu tratează procese în care are loc transfer de masă.

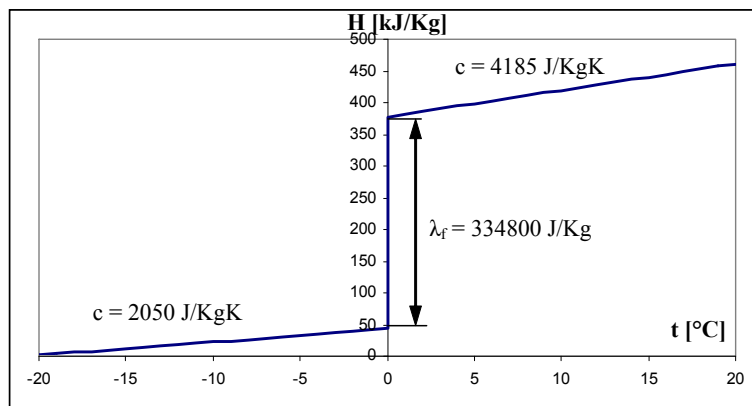


Fig. 4.9. Dependența  $H(t)$  pentru apa pură în jurul punctului de topire

În mod uzual sarcina constă dintr-un amestec de mai multe substanțe. Unele mărimi, cum ar fi densitatea și căldura specifică, se pot calcula direct din parametrii componentelor. Altele, inclusiv permeabilitatea electrică și factorul de pierderi cum s-a arătat în §2.2.5, trebuie măsurate sau preluate din literatură.

Dacă există transformări de fază izoterme sau reacții chimice atunci este de preferat să se folosească entalpia în locul temperaturii ca mărime de stare. De exemplu, în figura 4.9 este dată entalpia în funcție de temperatură pentru apa distilată în jurul temperaturii de 0°C. Se observă că la dezgheț apa absoarbe o energie considerabilă fără să-și modifice temperatura. Funcția H(t) nu este continuă, iar inversa ei nu există.

#### 4.5.1. Modelarea prin metoda diferențelor finite

Această metodă se bazează pe transformarea ecuației diferențiale a transmiterii căldurii în ecuații cu diferențe finite [36][37][38].

Ecuația diferențială a transmiterii căldurii după cele trei axe are forma:

$$\frac{\partial t}{\partial \tau} = a \cdot \left( \frac{\partial^2 t}{\partial x^2} + \frac{\partial^2 t}{\partial y^2} + \frac{\partial^2 t}{\partial z^2} \right) \quad (4.21)$$

unde:

- t este temperatura [°C] (sau [K], nu are importanță)
- τ - timpul [s]
- a - difuzivitatea termică [m<sup>2</sup>/s]
- x, y, z - coordonate spațiale

Dacă avem în vedere dependența conductibilității termice λ de temperatură vom introduce o temperatură redusă care să includă această variație:

$$\Phi = \int_{t_0}^t \frac{\lambda}{\lambda_0} dt \quad (4.22)$$

unde λ și λ<sub>0</sub> sunt conductibilitățile termice la temperatura t și la o temperatură arbitrară t<sub>0</sub>. Astfel:

$$\frac{\partial \Phi}{\partial \tau} = a(\Phi) \cdot \left( \frac{\partial^2 \Phi}{\partial x^2} + \frac{\partial^2 \Phi}{\partial y^2} + \frac{\partial^2 \Phi}{\partial z^2} \right) \quad (4.23)$$

$$\frac{\partial \Phi}{\partial t} \cdot \frac{\partial t}{\partial \tau} \cdot \frac{\rho \cdot c}{\lambda} = \frac{\partial^2 \Phi}{\partial x^2} + \frac{\partial^2 \Phi}{\partial y^2} + \frac{\partial^2 \Phi}{\partial z^2} \quad (4.24)$$

$$\frac{\lambda}{\lambda_0} \cdot \frac{\partial t}{\partial \tau} \cdot \frac{\partial H}{\partial t} \cdot \frac{\rho}{\lambda} = \frac{\partial^2 \Phi}{\partial x^2} + \frac{\partial^2 \Phi}{\partial y^2} + \frac{\partial^2 \Phi}{\partial z^2} \quad (4.25)$$

$$\frac{\partial H}{\partial \tau} = \frac{\lambda_0}{\rho} \cdot \left( \frac{\partial^2 \Phi}{\partial x^2} + \frac{\partial^2 \Phi}{\partial y^2} + \frac{\partial^2 \Phi}{\partial z^2} \right) \quad (4.26)$$

Ultima relație este avantajoasă pentru că face posibil calculul direct al conținutului de căldură (entalpia H), care include în faza lichidă și căldura latentă.

S-au folosit relațiile pentru difuzivitatea termică  $a = \frac{\lambda}{\rho \cdot c}$  și căldura specifică

$$c = \frac{\partial H}{\partial \tau}.$$

Pentru a transforma relația (4.26) într-o ecuație cu diferențe finite se exprimă temperatura unui punct (i, j, k) în funcție de temperatura punctelor vecine. Se consideră pentru început cazul unui punct din interior.

Valorile i-1, i, i+1 se referă la axa X; j-1, j, j+1 la axa Y; k-1, k, k+1 la axa Z, iar n și n+1 la succesiunea în timp. În toate relațiile următoare  $\Phi$  este la momentul de timp "n", chiar dacă acest lucru nu este precizat explicit (pentru a simplifica relațiile). Dacă se dezvoltă funcția  $\Phi = f(x, y, z)$  în serie Taylor față de x și se neglijează termenii superiori, începând cu ordinul trei, se obține:

$$\Phi_{i-1,j,k} = \Phi_{i,j,k} - \frac{x_1}{1!} \cdot \frac{\partial \Phi_{i,j,k}}{\partial x} + \frac{x_1^2}{2!} \cdot \frac{\partial^2 \Phi_{i,j,k}}{\partial x^2} \quad (4.27)$$

și

$$\Phi_{i+1,j,k} = \Phi_{i,j,k} + \frac{x_2}{1!} \cdot \frac{\partial \Phi_{i,j,k}}{\partial x} + \frac{x_2^2}{2!} \cdot \frac{\partial^2 \Phi_{i,j,k}}{\partial x^2} \quad (4.28)$$

de unde rezultă:

$$\frac{\partial^2 \Phi_{i,j,k}}{\partial x^2} = \frac{2}{x_1 x_2 (x_1 + x_2)} \cdot [x_2 \Phi_{i-1,j,k} + x_1 \Phi_{i+1,j,k} - (x_1 + x_2) \Phi_{i,j,k}] \quad (4.29)$$

Pentru axele y și z se procedează identic.

Variația de entalpie se exprimă sub formă de diferență finită:

$$\frac{\partial H}{\partial \tau} \cong \frac{H_{i,j,k,n+1} - H_{i,j,k,n}}{\tau_{n+1} - \tau_n} = \frac{\Delta H_{i,j,k}}{\Delta \tau} \quad (4.30)$$

$$\begin{aligned} \frac{\Delta H_{i,j,k}}{\Delta \tau} = & \frac{2\lambda_0}{\rho \cdot x_1 x_2 (x_1 + x_2)} \cdot [x_2 \Phi_{i-1,j,k} + x_1 \Phi_{i+1,j,k} - (x_1 + x_2) \Phi_{i,j,k}] + \\ & \frac{2\lambda_0}{\rho \cdot y_1 y_2 (y_1 + y_2)} \cdot [y_2 \Phi_{i,j-1,k} + y_1 \Phi_{i,j+1,k} - (y_1 + y_2) \Phi_{i,j,k}] + \\ & \frac{2\lambda_0}{\rho \cdot z_1 z_2 (z_1 + z_2)} \cdot [z_2 \Phi_{i,j,k-1} + z_1 \Phi_{i,j,k+1} - (z_1 + z_2) \Phi_{i,j,k}] \end{aligned} \quad (4.31)$$

În cazul în care distribuția punctelor de discretizare este omogenă de-a lungul celor două axe (caz frecvent utilizat) și notând  $x_1 = x_2 = x$ ,  $y_1 = y_2 = y$ ,  $z_1 = z_2 = z$  se obține:

$$\begin{aligned} \frac{\Delta H_{i,j,k}}{\Delta \tau} = & \frac{\lambda_0}{\rho \cdot x^2} \cdot [\Phi_{i-1,j,k} + \Phi_{i+1,j,k} - 2\Phi_{i,j,k}] + \\ & \frac{\lambda_0}{\rho \cdot y^2} \cdot [\Phi_{i,j-1,k} + \Phi_{i,j+1,k} - 2\Phi_{i,j,k}] + \\ & \frac{\lambda_0}{\rho \cdot z^2} \cdot [\Phi_{i,j,k-1} + \Phi_{i,j,k+1} - 2\Phi_{i,j,k}] \end{aligned} \quad (4.32)$$

Ecuția cu diferențe finite face posibilă determinarea variației de entalpie într-un interval de timp  $\tau_{n+1} - \tau_n$ , în funcție de temperatura punctelor vecine. Dacă se cunoaște distribuția inițială de temperaturi  $\Phi_{i,j,k,0}$  (sau entalpii  $H_{i,j,k,0}$ ) se poate determina pe baza relației (4.31) sau (4.32) distribuția de temperaturi după un interval dat, rezultând  $\Phi_{i,j,k,1}$ . Pe baza acestui rezultat se poate determina distribuția de temperaturi  $\Phi_{i,j,k,2}$  etc. Deci printr-o metodă iterativă se poate determina evoluția distribuției de temperaturi.

Ecuția (4.31) este valabilă pentru un punct din interior. Pentru un punct situat pe o suprafață limită, ecuația se modifică. Pentru punctele de pe suprafața de separație se scrie ecuația fluxului de căldură la suprafață:

$$W = -\lambda \cdot \frac{\partial \Phi_{i,j,k}}{\partial x} \quad (4.33)$$

unde  $\Phi_{i,j,k}$  este temperatura la suprafață (limita considerată paralelă cu axa Y).

Expresia  $\lambda \cdot \frac{\partial \Phi_{i,j,k}}{\partial x}$  se poate scrie sub formă de diferență finită în funcție de o temperatură  $\Phi_{i+1,j,k}$  a unui punct imaginar situat la distanța  $x = x_1$  (pentru simplificare) de suprafață. Fluxul de căldură prin suprafață trebuie să fie:

$$W = \frac{\lambda_0}{2x} \cdot (\Phi_{i-1,j,k} - \Phi_{i+1,j,k}) \quad (4.34)$$

de unde:

$$\Phi_{i+1,j,k} = \Phi_{i-1,j,k} - \frac{2x}{\lambda_0} \cdot W \quad (4.35)$$

Relația (4.29) devine:

$$\frac{\partial^2 \Phi_{i,j,k}}{\partial x^2} = \frac{2}{x^2} \cdot \left[ \Phi_{i-1,j,k} - \frac{2x}{\lambda_0} W - \Phi_{i,j,k} \right] \quad (4.36)$$

Pentru celelalte suprafețe, ca și pentru punctele din muchii și colțuri, se procedează similar.

În cazul încălzirii cu microunde avem și o distribuție în volum a puterii disipate. Împărțind această valoare la densitatea materialului se obține puterea specifică pe unitatea de masă, care conduce direct la creșterea entalpiei. Ecuția (4.26) devine:

$$\frac{\partial H}{\partial \tau} = \frac{p}{\rho} + \frac{\lambda_0}{\rho} \cdot \left( \frac{\partial^2 \Phi}{\partial x^2} + \frac{\partial^2 \Phi}{\partial y^2} + \frac{\partial^2 \Phi}{\partial z^2} \right) \quad (4.37)$$

unde  $p$  este densitatea de putere obținută în urma calculului electromagnetic.

#### 4.5.2. Stabilitatea modelului cu diferențe finite

Una din problemele critice ale aplicării prin iterație a ecuației cu diferențe finite este asigurarea stabilității și acurateții soluției în cursul integrării. Pentru a asigura stabilitatea soluției, adică pentru a împiedica oscilația soluției în cursul integrării, intervalul de timp între iterații și dimensiunile rețelei trebuie alese în conformitate cu criteriile de stabilitate deduse. Acuratețea soluției, adică concordanța cât mai bună cu soluția analitică este de asemenea de dorit. Aceasta depinde de forma ecuației cu diferențe finite și de desimea rețelei.

În concluzie, desimea rețelei se stabilește pornind de la necesitatea găsirii unei rezolvări a următoarei contradicții: pe de o parte folosirea unei rețele mai dese mărește precizia modelului (eroarea introdusă prin ipoteza că suprafața adiacentă fiecărui nod are aceeași temperatură cu a nodului scade odată cu aria nodului rețelei); pe de altă parte o rețea deasă mărește durata de efectuare a calculelor atât datorită creșterii numărului de noduri, cât și reducerii intervalelor de timp între iterații dictate de condițiile de stabilitate a soluției.

Din analiza stabilității ecuației cu diferențe finite se deduc următoarele criterii:

în interior

$$\Delta \tau \leq \frac{1}{2a \cdot \left[ \frac{1}{x_1 x_2} + \frac{1}{y_1 y_2} + \frac{1}{z_1 z_2} \right]} \quad (4.38)$$

pe suprafață

$$\Delta \tau \leq \frac{1}{2a \cdot \left[ \frac{1}{x_1 x_2} + \frac{1}{y_1 y_2} + \frac{1}{z^2} + \frac{W}{\lambda \cdot z} \right]} \quad (4.39)$$

pe colț

$$\Delta \tau \leq \frac{1}{2a \cdot \left[ \frac{1}{x^2} + \frac{1}{y^2} + \frac{1}{z^2} + \frac{W}{\lambda \cdot x} + \frac{W}{\lambda \cdot y} + \frac{W}{\lambda \cdot z} \right]} \quad (4.40)$$

Intervalul de timp ales reprezintă de fapt timpul în care procesul nestaționar al transmiterii căldurii este aproximat cu un proces staționar. Din această cauză, cu cât caracteristicile procesului real se abat mai puternic de la cele ale unui proces staționar, cu atât trebuie să fie mai mică durata iterației.

În relațiile de calcul efectiv se observă că membrul drept depinde numai de mărimi cunoscute la momentul iterației  $k$ . Dacă notăm aceste expresii cu  $G_{i,j,k}$  se obține:

$$\frac{H_{i,j,k,n+1} - H_{i,j,k,n}}{\tau_{n+1} - \tau_n} = G_{i,j,k,n} \quad (4.41)$$

Mărimea  $G_{i,j,k,n}$  reprezintă de fapt viteza de variație a entalpiei punctului  $(i, j, k)$  în procesul considerat staționar care începe la momentul  $\tau_n$ . Cu cât această mărime este mai mare în valoare absolută, cu atât procesul este mai nestaționar, iar intervalul de timp trebuie ales mai mic.

Soluția optimă constă în folosirea unui interval de timp variabil și limitarea variației entalpiei la o valoare fixată  $\Delta H_{\max}$ . Astfel se obține:

$$\Delta \tau_n = \tau_{n+1} - \tau_n = \frac{\Delta H_{\max}}{\max_{(i,j,k) \in D} |G_{i,j,k,n}|} \quad (4.42)$$

unde  $D$  este domeniul valorilor  $(i, j, k)$ .

Astfel se obține un interval de timp mic atunci când variația entalpiei este mare și un interval mare atunci când aproximarea cu un proces staționar este mai bună.

#### 4.6. Câmpul electromagnetic cuplat cu cel termic într-un cuptor multimod

Pentru a determina distribuția câmpului electromagnetic într-un cuptor multimod uzual s-a realizat un program de simulare bazat pe metoda diferențelor finite în domeniu timp [38]. Din punct de vedere informatic, trebuie avut în vedere faptul că discretizarea spațială trebuie să îndeplinească o limită de finețe (cea mai mare dimensiune trebuie să fie cel mult 1/10 din lungimea de undă în mediul respectiv), ceea ce limitează inferior numărul de celule din discretizare. Valori de ordinul sutelor de mii pentru numărul de celule sunt uzuale, iar discretizarea temporală are și ea o limită inferioară de finețe (rel. 4.19). Numărul de operații în virgulă flotantă poate ajunge de ordinul  $10^{10} \div 10^{12}$  pentru a ajunge la regimul staționar, ceea ce înseamnă că timpul de calcul va fi destul de lung.

Într-un sistem de operare modern, interfața unui program cu utilizatorul se realizează astfel: o acțiune a utilizatorului (de exemplu apăsarea unui buton) rezultă în apelarea de către sistemul de operare a unei subrutine speciale din cadrul programului cu parametri care să identifice controlul și natura acțiunii. În timpul procesării acestei subrutine, interfața nu mai primește nici o interacțiune din partea utilizatorului (e „înghețată”). Durata procesării trebuie deci să fie scurtă, de ordinul fracțiunilor de secundă. În cazul unui program de simulare prin MDFDT durata calculului este lungă, deci pornirea lor nu poate fi directă.

Programele care fac calcule intensive [40] sau cele care tratează evenimente nedeterministe (de exemplu transferuri în rețea) trebuie să conțină mai mult de un singur fir de execuție (*thread*-uri). Thread-ul original cu care este pornit programul se va ocupa de interfață, dar trebuie să existe cel puțin un alt thread care să efectueze calculele. Într-un calculator uniprocessor, sistemul de operare comută în mod transparent între thread-uri suficient de rapid ca ele să pară că se execută simultan și mecanism numit partajare a timpului (*time sharing*). Sistemele multiprocessor execută simultan în mod real mai multe thread-uri, însă deoarece procesoarele sunt în număr fix și limitat se folosește și partajarea timpului.

În cazul în care se dispune de un sistem multiprocessor, este recomandat să se împartă problema inițială într-un număr de probleme care pot fi tratate în paralel și să se folosească mai multe thread-uri de lucru, însă nu mai multe decât numărul de procesoare pentru că în acest caz performanța va fi afectată negativ. Este posibil să avem și situații în care există mai multe tipuri de calcule intensive, de exemplu mai trebuie să și generăm imagini care să arate evoluția simulării, în acest caz se poate rezerva un procesor/thread pentru aceste calcule.

Un exemplu de cum se poate împărți problema pentru calcul paralel este, dacă celulele Yee sunt numerotate  $c_0, c_1, \dots, c_{n-1}$  și avem 3 procesoare disponibile atunci primul să efectueze calcule pentru  $c_0, c_3, c_5, \dots$ , al doilea pentru  $c_1, c_4, c_6, \dots$  iar

al 3-lea pentru  $c_2, c_5, c_7...$  Trebuie acordată o atenție specială sincronizării thread-urilor, de exemplu nu trebuie să se înceapă calculul E la o iterație până nu s-a încheiat calculul H (fig. 4.8).

#### 4.6.1. Discretizarea spațială

Tratarea problemei de simulare începe cu descrierea geometriei sistemului de simulat. În această etapă dimensiunile exacte nu sunt relevante, doar forma și dimensiunile aproximative.

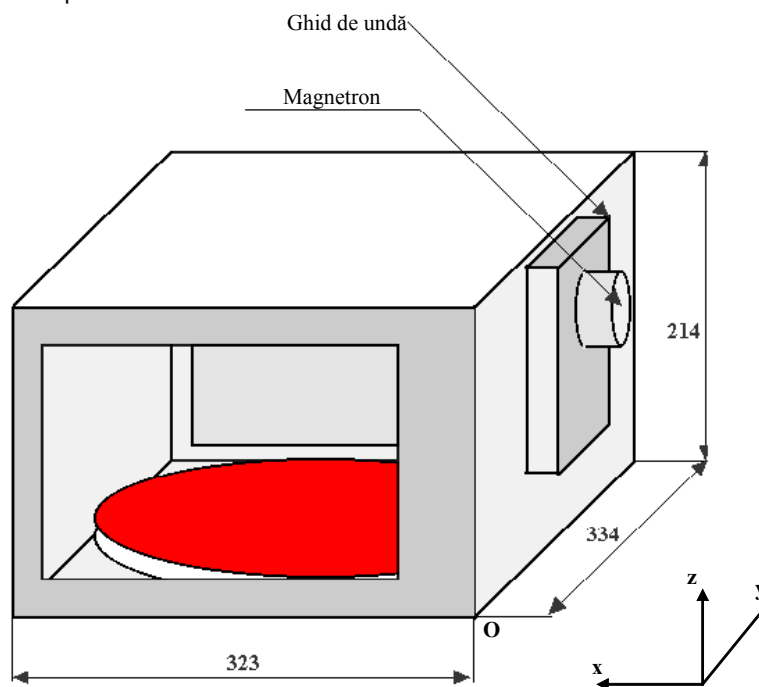


Fig. 4.10. Geometria cuptorului simulat

Geometria cuptorului este prezentată în fig. 4.10. Se observă că, dată fiind originea sistemului de coordonate în punctul O, ghidul de undă este situat la coordonate x negative. Aceasta este o simplă problemă de alegere.

Discretizarea cea mai simplă este omogenă pe axele de coordonate, adică  $\Delta x, \Delta y$  și  $\Delta z$  sunt constante pentru toate celulele. Este de dorit să se realizeze discretizarea astfel încât celulele să cuprindă exact diversele elemente ale modelului, ceea ce în cazul discretizării omogene se poate face fie alegând valori foarte mici pentru  $\Delta x, \Delta y$  și  $\Delta z$  fie alegând coordonatele elementelor ca multipli de  $\Delta x, \Delta y$  și  $\Delta z$ . Cum aceste soluții sunt ineficiente sau prea aproximative, s-a preferat o discretizare neomogenă, adică  $\Delta x, \Delta y$  și  $\Delta z$  nu sunt constante. Aceasta însă prezintă și un dezavantaj: pentru a determina cărei celule îi aparține un punct arbitrar  $(x, y, z)$  – adică pentru a determina numerele întregi  $(i, j, k)$  de exemplu în vederea realizării unei interpolări – sunt necesare trei operații de căutare binară.

Deși căutarea binară este eficientă, nu se compară cu simpla împărțire care ar fi fost necesară în cazul discretizării omogene.

Realizarea discretizării neomogene se face pe baza următorului algoritm pentru fiecare axă: un vector redimensionabil de valori în virgulă flotantă este încărcat inițial cu valorile corespunzătoare ghidului de undă, antenei magnetronului, sarcinii și cavității de rezonanță, după care este sortat și se intercalează valori astfel încât să se obțină o valorile maxime dorite pentru  $x_{i+1}-x_i$ ,  $y_{j+1}-y_j$  și  $z_{k+1}-z_k$ .

#### 4.6.2. Funcționarea simulării

Programul a fost realizat cu o interfață minimală [38], fără posibilitatea de a modifica parametrii simulării prin interfață. Acești parametri pot fi modificați în sursa programului, care se poate recompila după aceea.

Limbajul de programare ales a fost C++, în mediul Microsoft Visual Studio. Alegerea a ținut cont în primul rând de cunoștințele de programare ale autorului, existând posibilitatea de a alege Java în loc de C++. Însă Java este mai puțin eficient în ce privește alocarea de tablouri mari de obiecte, consumând mult mai multă memorie. Avantajele Java, cum ar fi portabilitatea, au contat mai puțin în cazul de față.

Definiția unei celule cu toate componentele câmpului electromagnetic și proprietățile de material este conținută în clasa `Cell`. Proprietățile de material sunt date sub forma unor indecși întregi, factorul de pierderi, permitivitatea reală și conductivitatea urmând a fi determinate prin apelul unor funcții folosind indecșii respectivi. Metoda `val()` a clasei `Cell` are ca parametru un index, care determină natura valorii returnate: 0-2 sunt componentele câmpului electric, 3-5 componentele câmpului magnetic, 6 temperatura (nu este încă implementată), 7 modulul câmpului electric, 8 modulul câmpului magnetic, 9 modulul vectorului Poynting. Această metodă simplifică obținerea prin interpolări a valorilor într-un punct arbitrar: dacă s-ar fi folosit 10 variabile sau funcții distincte ar fi fost nevoie de 10 funcții de interpolare, așa se poate folosi una singură care pasează valoarea indexului funcției `val()`.

Clasa `Plane` este un container pentru toate celulele cu aceeași coordonată  $x$ . S-a folosit o clasă specială în acest sens deoarece nu toate secțiunile paralele cu  $yOz$  au aceleași dimensiuni, și se poate alocă mai puțină memorie pentru valorile negative ale axei  $x$  (ghidul de undă), ceea ce duce la economie de memorie.

Clasa `Discret` conține toate coordonatele discretizării și un tablou unidimensional de clase `Plane`, deci toate valorile câmpului în domeniul studiat la un moment dat. Metoda `init()` realizează și inițializează discretizarea așa cum s-a descris în paragraful 4.1. Metoda `defaults()` inițializează geometria sistemului. Membrul static `__workerThreadLauncher()` și metoda privată `workerThread()` pornesc un fir de execuție de calcul. Numărul acestora în cazul sistemelor multiprocesor va fi numărul procesoarelor minus unu, un procesor fiind rezervat pentru trasarea și actualizarea graficelor. Fiecare thread de calcul va procesa o parte din celule, dacă este cazul oprindu-se înainte de calculul  $E$  pentru a le aștepta pe celelalte, aceasta se realizează prin metoda privată `waitForMidThreads()` și tabloul de evenimente de sincronizare `calcMidEvents`. În cazul în care un thread extern trebuie să aștepte pentru terminarea tuturor calculelor, de exemplu pentru a porni un grafic, aceasta se face prin metoda publică `waitForThreads()` și tabloul de evenimente de sincronizare `calcStopEvents`.



Comparând timpul de execuție pe același sistem quad-core (4 procesoare), față de varianta uniprosesor (făcând programul să considere că are un singur procesor) calculul multiprosesor a durat cu 60% mai puțin. De precizat că un calcul paralel implicând  $n$  procesoare nu este de exact  $n$  ori mai rapid, ceva mai puțin.

#### 4.6.3. Rezultate și interpretare

Toate simulările prezentate au fost făcute pentru frecvența de 2,45 GHz, la care corespunde o perioadă de aproximativ  $T = 0,41$  ns și o lungime de undă în vid de 122,4 mm. Pasul de timp a fost ales uniform de  $T/100$ . S-a constatat că după aproximativ 5000 de iterații (50 de perioade) câmpul nu se mai modifică semnificativ între perioade, deci se poate considera că s-a atins regimul staționar. Sarcina folosită are în toate cazurile  $\varepsilon' = 4$  și  $\varepsilon'' = 1$ .

Imaginile reprezintă intensitatea câmpului electric în modul folosind un gradient de culoare prezentat în partea dreaptă. Culoarea pentru zero este albastru, care evoluează în verde și roșu pentru maxim. Pentru a evidenția detaliile, valoarea corespunzătoare verdelui nu este 0,5 din maxim, ci mai puțin. De fapt programul scalează intervalul  $0 \div E_{\max}$  în  $0 \div 1$ , ridică această valoare la puterea 0,25 după care calculează culoarea. Efectul este de concentrare a culorilor distincte spre valori mici, asemănător cu o scară logaritmică.

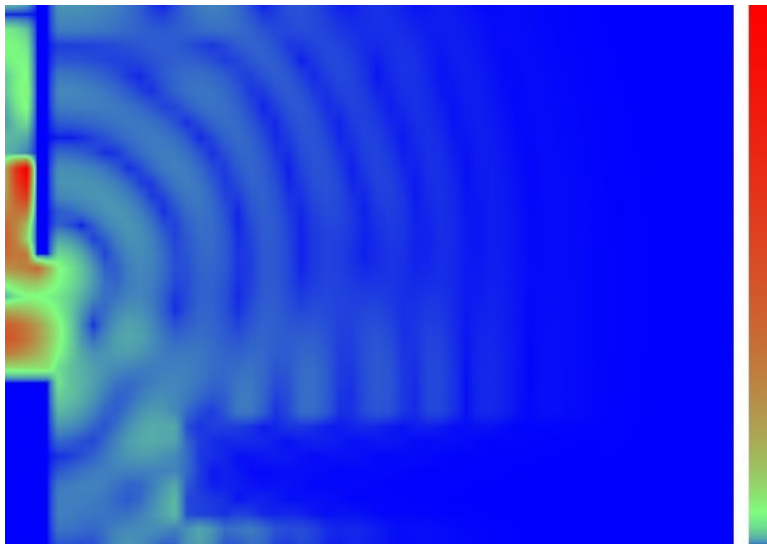
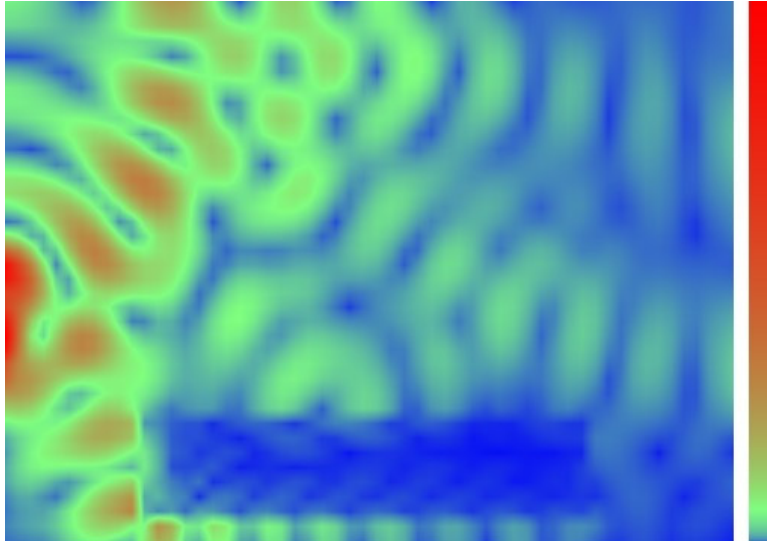
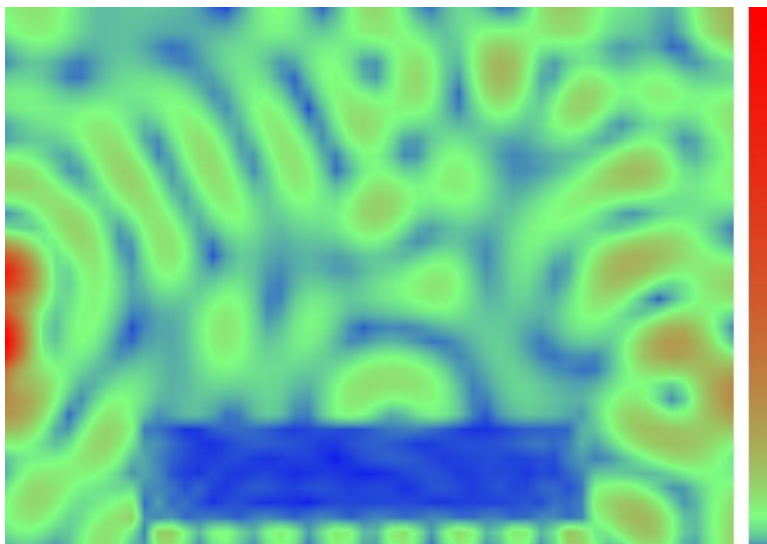


Fig. 4.11. Regim tranzitoriu,  $n = 500$

În figura 4.11 se arată un regim tranzitoriu. De remarcat faptul că intensitatea relativ mare a câmpului electric din ghidul de undă produce chiar și în acest caz un efect de "orbire", de aceea vom omite ghidul de undă în cele ce urmează. Sarcina este aparentă, caracterizată prin valori foarte mici ale câmpului în acest caz. Secțiunea prezentată este la mijlocul valorilor  $y$ , paralelă cu planul  $xOz$ . Dimensiunile sarcinii, aceleași și în continuare, sunt  $200 \times 100 \times 40$  mm.

Fig. 4.12. Regim tranzitoriu,  $n = 1000$ 

În fig. 4.12. este tot un regim tranzitoriu dar mai avansat și fără ghidul de undă. Se remarcă formarea undelor staționare și refracția în sarcină.

Fig. 4.13. Regim staționar,  $n = 5000$

Figurile 4.14 și 4.15 prezintă un regim tranzitoriu și regimul staționar într-o secțiune paralelă cu planul xOy care taie sarcina la mijloc.

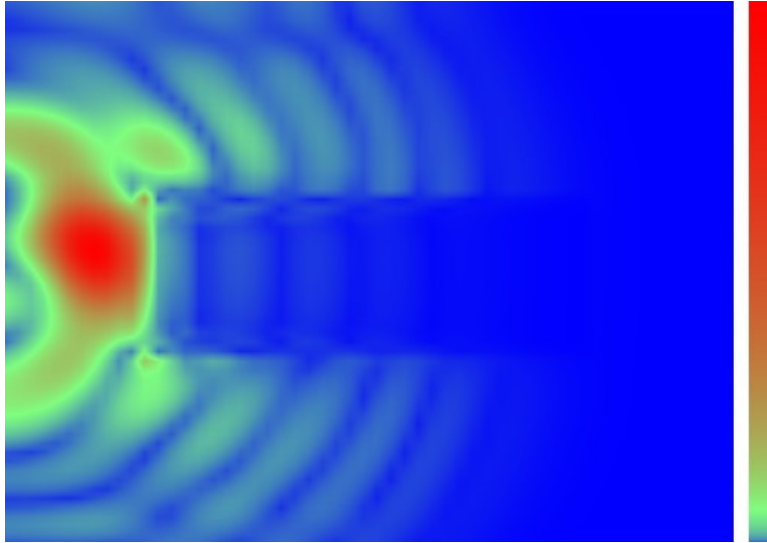


Fig. 4.14. Regim tranzitoriu,  $n = 500$

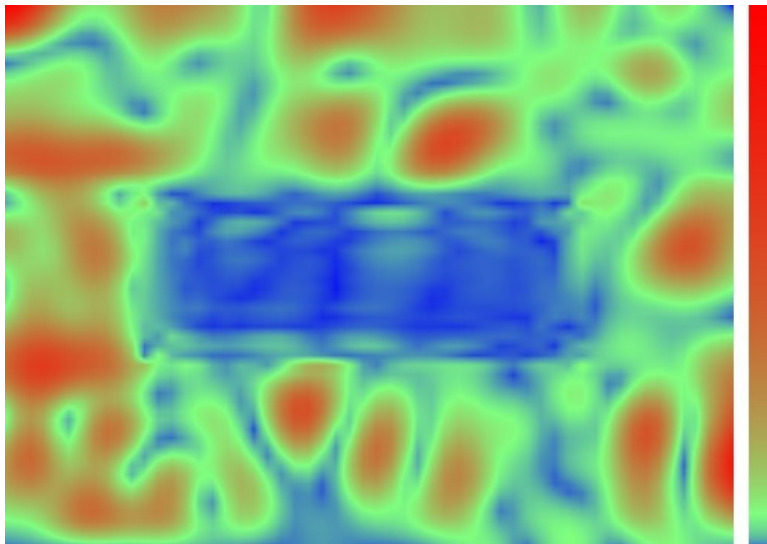


Fig. 4.15. Regim staționar,  $n = 5000$

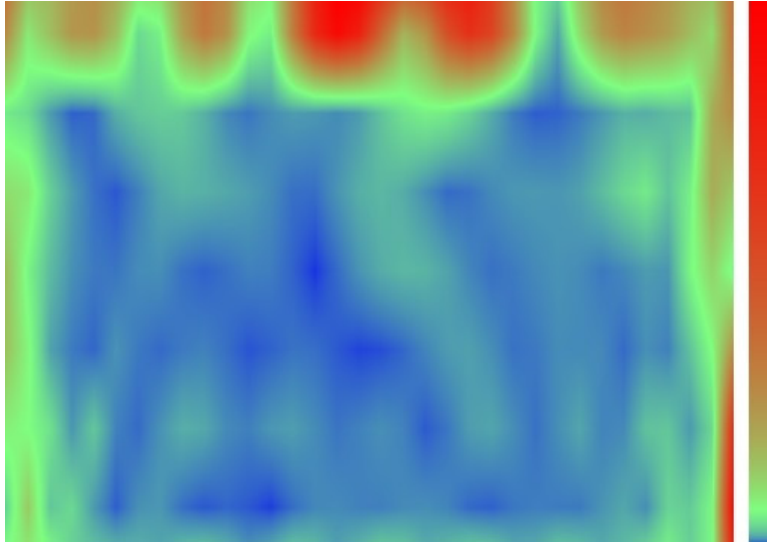


Fig. 4.16. Regim staționar în sarcină

În fig. 4.16 se prezintă regimul staționar obținut în sarcină, planul xOz cu y la mijlocul sarcinii.

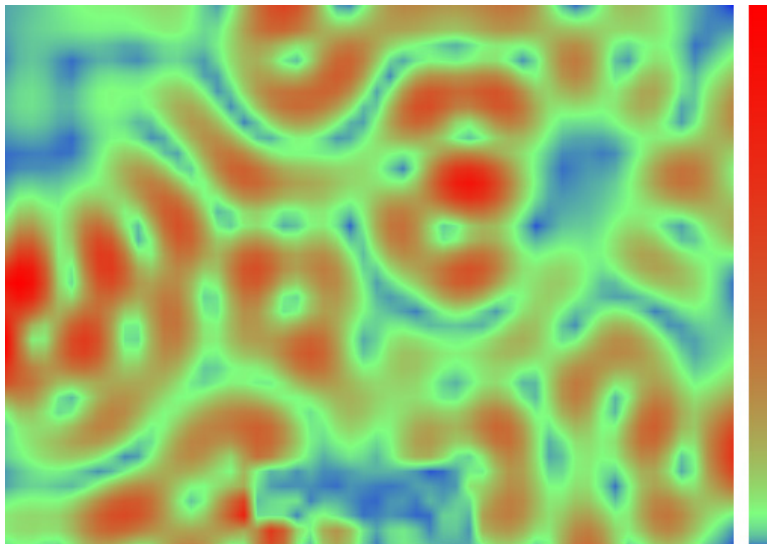


Fig. 4.17. Regim staționar cu sarcină mică

Figura 4.17 arată un regim staționar cu sarcină de dimensiuni înjumătățite (volum 1/8). În comparație cu figura 4.13 – identică dar cu sarcina mare – se remarcă faptul că valorile mari ale câmpului sunt acum distribuite în cavitate. Aceasta deoarece sarcina mai mică duce la un factor de calitate mai mare al sistemului cavitate-sarcină iar undele se reflectă mai mult în pereți.

Graficele următoare sunt realizate pentru o sarcină de 200×100×40 mm, cu  $\epsilon' = 4$  și  $\epsilon'' = 1$  la 0°C, densitate  $\rho = 830 \text{ Kg/m}^3$ , căldură specifică 1670 J/KgK,

conductivitate termică  $1,7 \text{ W/mK}$  constantă. Dimensiunile geometrice sunt scalate în intervalul  $[0, 1]$ , punctul  $(0, 0, 1)$  fiind cel mai apropiat de alimentarea cavității. Temperatura maximă în sarcina imobilă rezultată în urma simulării a fost de  $265^\circ\text{C}$  după 120 secunde la puterea de  $900\text{W}$ .

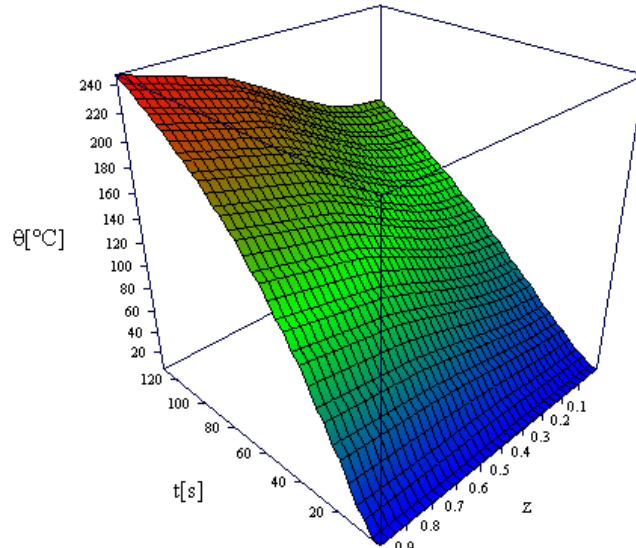


Fig. 4.18. Temperatura în funcție de timp și coordonata  $z$  pentru  $x=y=0$

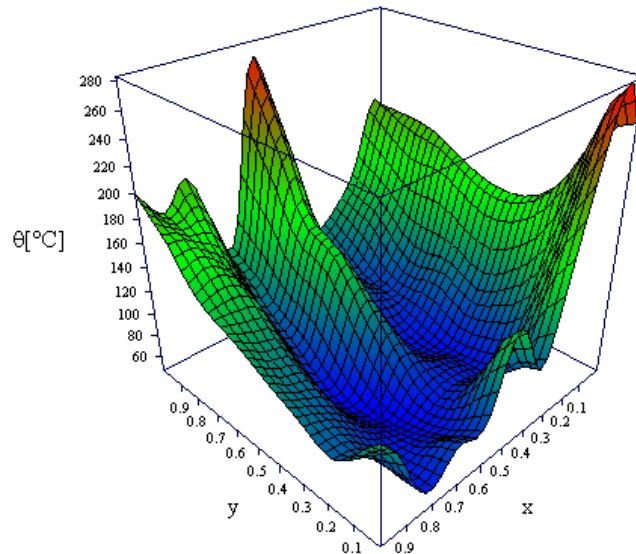
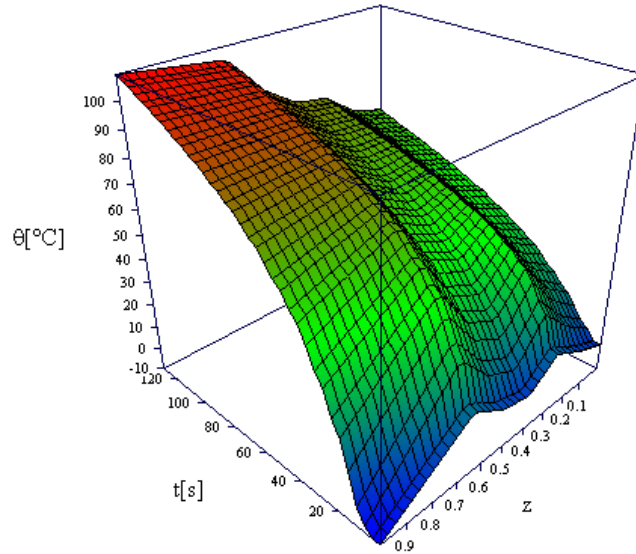
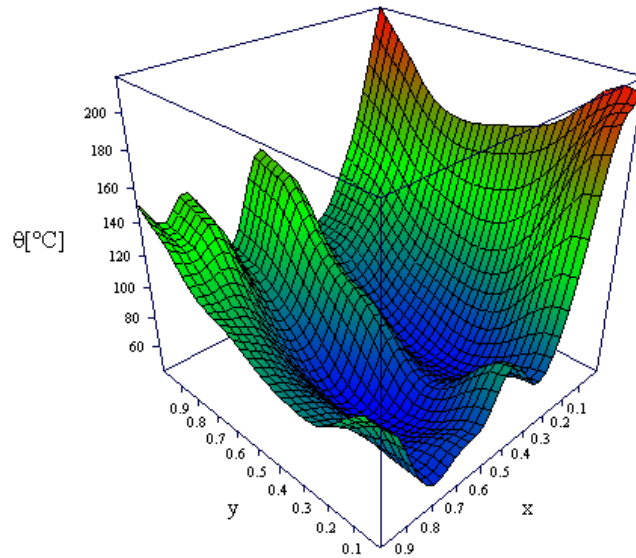
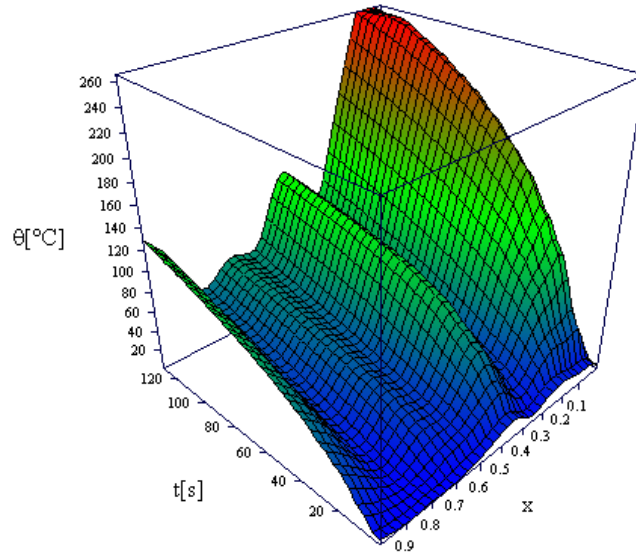
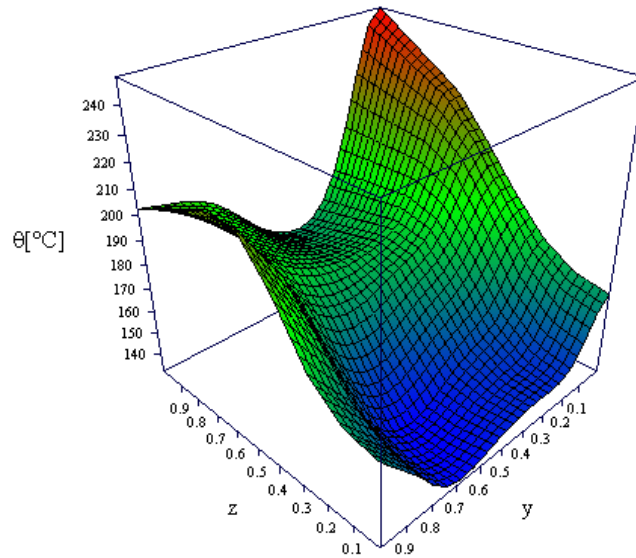


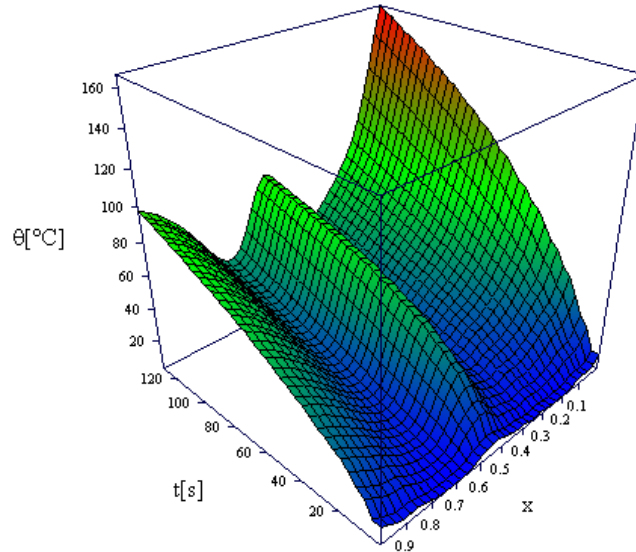
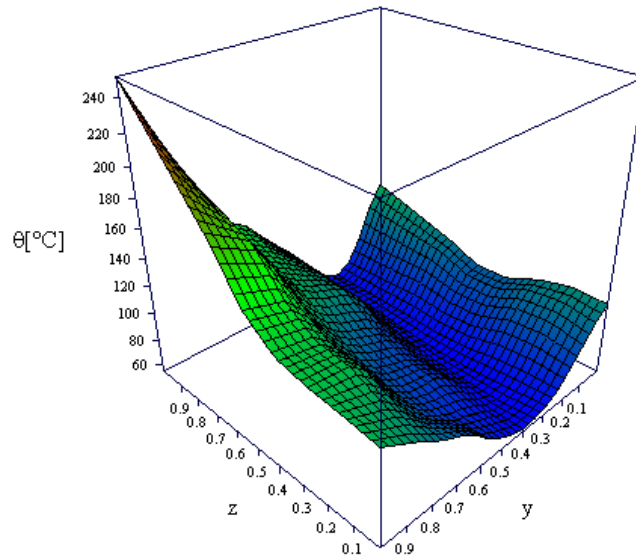
Fig. 4.19. Temperatura în funcție de coordonatele  $x$  și  $y$  pentru  $z=1$  la momentul final

Temperatura mare obținută se datorează materialului considerat, ce are pierderi neobișnuit de mari.

Fig. 4.20. Temperatura în funcție de timp și coordonata  $z$  pentru  $x=y=0,5$ Fig. 4.21. Temperatura în funcție de coordonatele  $x$  și  $y$  pentru  $z=0,5$  la momentul final

Fig. 4.22. Temperatura în funcție de timp și coordonata x pentru  $y=0$  și  $z=1$ Fig. 4.23. Temperatura în funcție de coordonatele z și y pentru  $x=0$  la momentul final



Fig. 4.24. Temperatura în funcție de timp și coordonata x pentru  $z=y=0,5$ Fig. 4.25. Temperatura în funcție de coordonatele z și y pentru  $x=0,5$  la momentul final



#### 4.7. Validarea experimentală a modelului

Măsurarea câmpului electromagnetic într-o cavitate rezonantă se face de obicei indirect, prin măsurarea încălzirii unui material cu caracteristici cunoscute. Pentru a valida modelul descris în acest capitol este nevoie de o sarcină cu caracteristici electrice și termice cunoscute, expusă la microunde pe un timp determinat și de măsurarea temperaturii cel puțin pe o suprafață. Distribuția de temperaturi obținută va fi comparată cu rezultatele unor simulări care respectă aceleași condiții.

Cuptorul folosit în experimente este de tip Vortex MG8021TP-AP, un cuptor electrocasnic cu o putere de ieșire de 800W. Ca sarcini s-au folosit plăci de scândură de lemn de brad uscat cu grosimea de 20 mm și următoarele caracteristici [7]:

- permitivitatea dielectrică  $\epsilon' = 2$
- tangenta unghiului de pierderi  $\text{tg } \delta = 0,1$
- densitatea  $\rho = 380 \text{ kg/m}^3$
- căldura specifică  $c = 2200 \text{ J/kgK}$
- conductivitatea termică  $\lambda = 0,16 \text{ W/mK}$

În cazul lemnului uscat aceste caracteristici variază suficient de puțin în funcție de temperatură pentru ca aceste variații să fie ignorate în simulare.

Pentru a măsura temperaturile s-a folosit o cameră de termoviziune (FLIR) de tip Fluke Ti-25 și pachetul software asociat acesteia, SmartView 3.1. Măsurarea s-a făcut prin instantanee direct în cuptor cu ușa deschisă când a fost posibil sau extrăgând sarcina din cuptor și măsurând imediat temperaturile.

Camera Fluke Ti-25 generează imagini mixte, cu componentă în infraroșu suprapusă peste o imagine în spectru vizibil pentru a facilita identificarea elementelor calde. Imaginile pot fi transferate pe un calculator sub forma unor fișiere binare cu extensia is2 care conțin toate informațiile. Pachetul SmartView permite extragerea și exportarea imaginilor în spectru vizibil, infraroșu sau suprapuse precum și exportarea temperaturilor din imaginile în infraroșu sub forma unei matrice de 160x120 puncte sau mai puține dacă s-a selectat o porțiune din imagine.

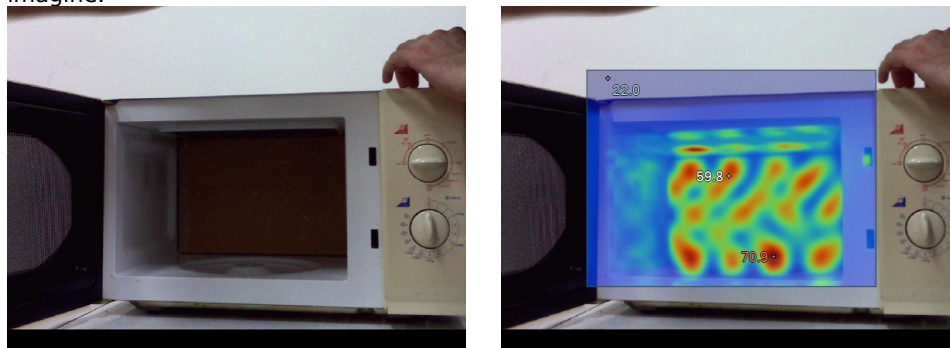


Fig. 4.26. Imagini în spectru vizibil și infraroșu suprapus peste vizibil obținute cu camera Fluke Ti-25

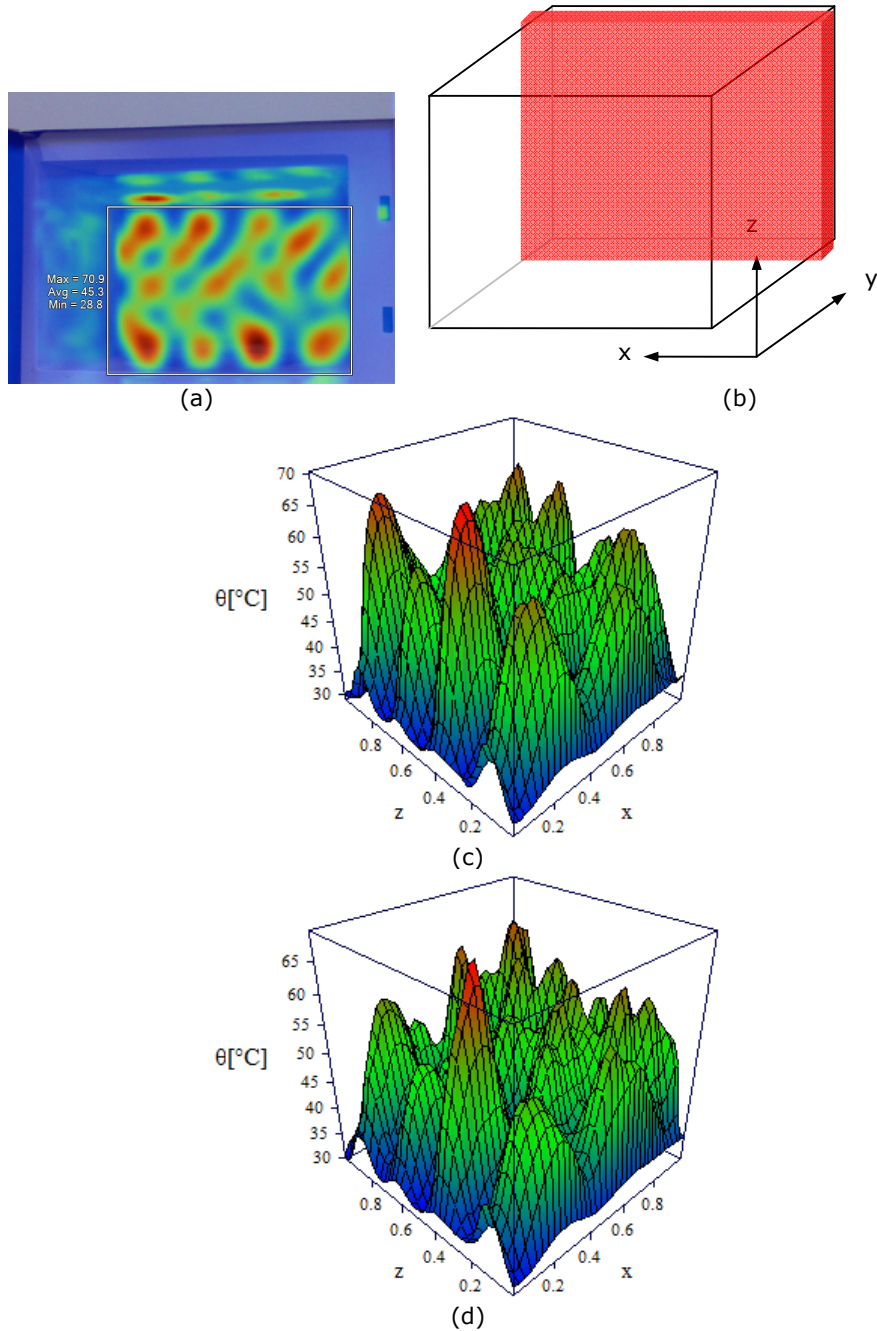


Fig. 4.27. Imagine detaliu termic cu selecție (a), poziția sarcinii în cuptor (b), distribuția de temperaturi obținută experimental la 60 secunde (c) și prin simulare (d)

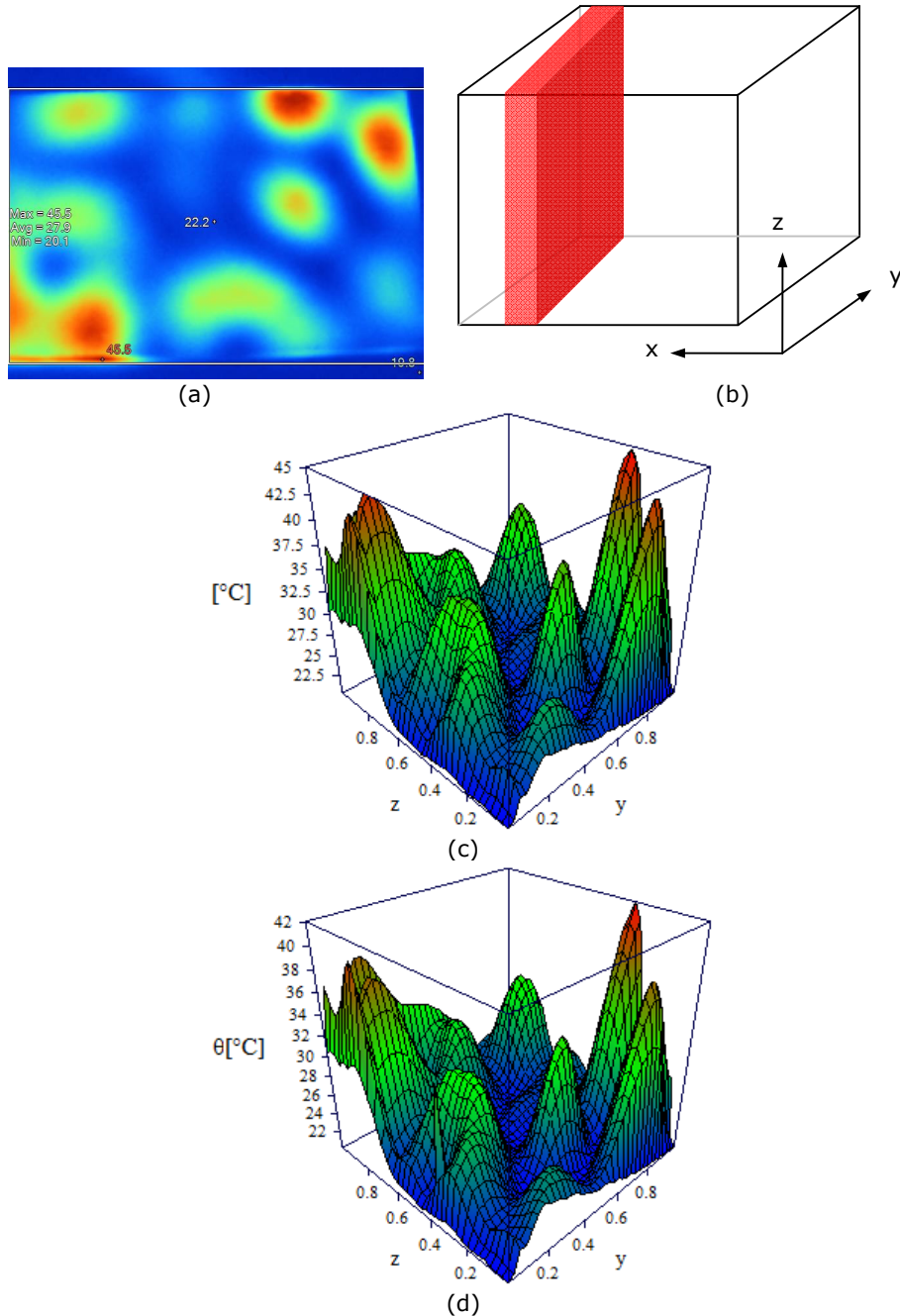


Fig. 4.28. Imagine detaliu termic cu selecție (a), poziția sarcinii în cuptor (b), distribuția de temperaturi obținută experimental la 30 secunde (c) și prin simulare (d)

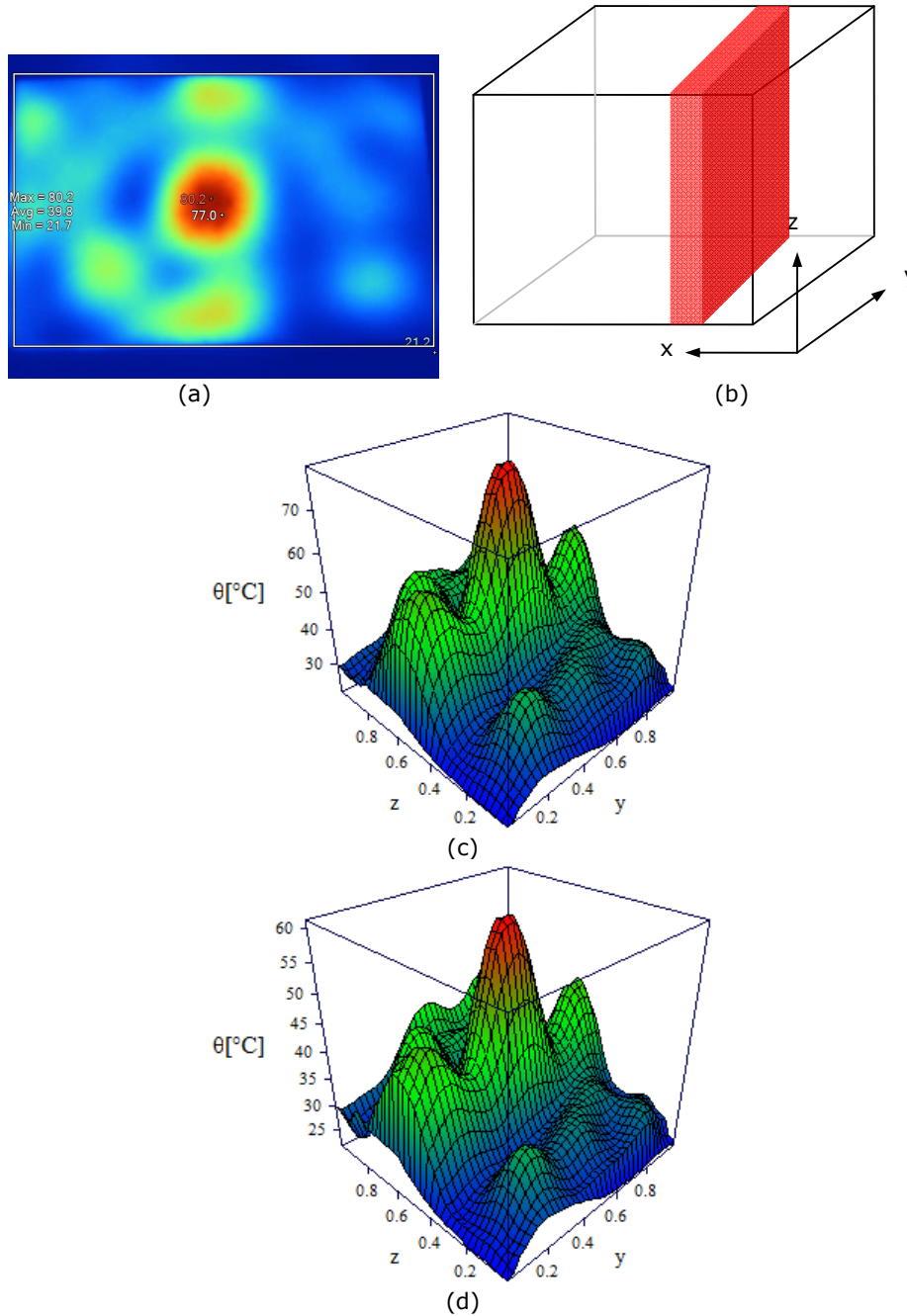


Fig. 4.29. Imagine detaliu termic cu selecție (a), poziția sarcinii în cuptor (b), distribuția de temperaturi obținută experimental la 60 secunde (c) și prin simulare (d)

#### 4.8. Concluzii

Metodele de simulare prezentate în acest capitol sunt relativ simple din punct de vedere matematic, mai puțin sofisticate decât cele în domeniu frecvență și/sau pe bază de element finit însă mai ușor de implementat. Tehnici de programare avansate au asigurat timpi de execuție rezonabili pentru simulări, de ordinul minutelor. Simularea câmpului electromagnetic în domeniu timp permite în plus determinarea regimurilor tranzitorii.

După cum s-a văzut în capitolul 2.3 există trei condiții care impun limitarea puterii aplicate sarcinii: limitarea gradientilor de temperatură, străpungerea dielectrică și ambalarea termică. Un aparat de încălzire cu microunde trebuie deci să fie capabil să-și ajusteze puterea. Pentru a realiza acest lucru se folosesc patru metode [41]:

- a) alimentarea în impulsuri modulate al magnetronului
- b) modificarea curentului anodic al magnetronului
- c) modificarea câmpului magnetic intern al magnetronului
- d) redirectionarea unei părți din energia microundelor în altă parte

Cea mai folosită metodă este de departe prima. Celelalte au un impact negativ asupra randamentului instalației, iar (b) și (c) impun folosirea de magneetroane de construcție specială.

Cu ocazia simulărilor s-a constatat că sistemul cavitare rezonantă – sarcină ajunge la regim staționar după câteva mii de alternanțe ale câmpului de excitație. În cazul sarcinilor normale acest lucru se întâmplă după cel mult 5000 alternanțe, ceea ce înseamnă aproximativ 2  $\mu$ s. Pentru sarcini foarte mici timpul de stabilire va fi mai lung, dar rămâne în domeniul microsecundelor. Cum timpul de răspuns al magnetronului este și el foarte scurt, se poate considera că aplicarea tensiunii anodice pe magnetronul cu filament cald duce practic instantaneu la regim staționar.

Metoda (a) de ajustare a puterii nu poate fi folosită pentru a reduce intensitatea câmpului electric. Pentru aceasta ar fi nevoie de o frecvență a impulsurilor în domeniul megaherților, ceea ce este dificil din punct de vedere tehnic și ar pune probleme serioase de compatibilitate electromagnetică.

## 5. Soluții constructive pentru partea electrică a unui cuptor multimod

### 5.1. Caracteristici ale regimului periodic nesinusoidal

Tensiunea și curentul care apar în regim periodic nesinusoidal pot fi descompuse în serii Fourier de forma:

$$u(t) = U_0 + \sqrt{2} \sum_{k \neq 0}^{\infty} U_k \sin(k\omega t + \alpha_k) \quad (5.1)$$

$$i(t) = I_0 + \sqrt{2} \sum_{k \neq 0}^{\infty} I_k \sin(k\omega t + \beta_k) \quad (5.2)$$

unde  $U_0, I_0$  reprezintă componentele continue ale tensiunii, respectiv curentului,  $U_k, I_k$  reprezintă valorile efective ale armonicii de ordin  $k$  din tensiune și curent,  $\alpha_k$  este faza inițială a armonicii  $k$  din tensiune, iar  $\beta_k$  este faza inițială a armonicii  $k$  din curent.

Valorile efective ale tensiunii și curentului sunt date de relațiile [42]:

$$U = \sqrt{U_0^2 + \sum_{k=1}^{\infty} U_k^2} \quad (5.3)$$

$$I = \sqrt{I_0^2 + \sum_{k=1}^{\infty} I_k^2} \quad (5.4)$$

Separând componenta fundamentală de celelalte componente armonice, se obține:

$$U^2 = U_1^2 + U_d^2 \quad (5.5)$$

$$I^2 = I_1^2 + I_d^2 \quad (5.6)$$

unde  $U_d$  este reziduul deformant al tensiunii, iar  $I_d$  este reziduul deformant al curentului:

$$U_d^2 = \sum_{k \neq 1} U_k^2 \quad (5.7)$$

$$I_d^2 = \sum_{k \neq 1} I_k^2 \quad (5.8)$$

Pentru a evalua deformarea unui semnal sunt utilizate următoarele mărimi:

- conținutul de armonică de rang  $k$ :

$$s_k = \frac{C_k}{C_1} \cdot 100 \text{ [%]} \quad (5.9)$$

exprimat în raport cu componenta fundamentală  $C_1$  (valoare efectivă),  $C_k$  fiind componenta de rang  $k$  (valoare efectivă).

- distorsiunea armonică totală:

$$THD = \frac{\sqrt{\sum_{k=2}^{40} C_k^2}}{C_1} \quad (5.10)$$

un coeficient global, definit pentru primele 40 de armonici.

- distorsiunea armonică parțial ponderată:

$$THD_p = \frac{\sqrt{\sum_{k=2}^{40} k \cdot C_k^2}}{C_1} \quad (5.11)$$

introdus pentru a se asigura că odată cu creșterea rangului  $k$ , armonicile descresc.

În regim periodic nesinusoidal se pot defini următoarele puteri corespunzătoare unui receptor monofazat [42]:

- puterea activă  $P$  :

$$P = U_0 \cdot I_0 + \sum_{k=1}^{\infty} U_k \cdot I_k \cdot \cos \varphi_k \quad (5.12)$$

unde  $\varphi_k$  reprezintă defazajul dintre armonica  $k$  a tensiunii și armonica  $k$  a curentului:

$$\varphi_k = \alpha_k - \beta_k \quad (5.13)$$

- puterea reactivă  $Q$  :

$$Q = \sum_{k=1}^{\infty} U_k \cdot I_k \cdot \sin \varphi_k \quad (5.14)$$

- puterea aparentă  $S$  :

$$S = U \cdot I \quad (5.15)$$

$U$  și  $I$  fiind valorile efective ale tensiunii și curentului, date de relațiile (5.3) și (5.4).

Ținând cont de relațiile (5.5) și (5.6), puterea aparentă se poate exprima astfel:

$$S^2 = S_1^2 + D^2 \quad (5.16)$$

unde  $S_1^2 = P_1^2 + Q_1^2$  este puterea aparentă fundamentală, cu componentele sale:

$$P_1 = U_1 \cdot I_1 \cdot \cos \varphi_1 \quad (5.17)$$

$$Q_1 = U_1 \cdot I_1 \cdot \sin \varphi_1 \quad (5.18)$$

$U_1, I_1$  fiind valorile efective ale fundamentalei tensiunii, respectiv curentului electric, iar  $\varphi_1$ , defazajul dintre aceste mărimi (exprimate în funcție de timp).

$D$  reprezintă puterea deformantă care se poate exprima cu ajutorul a trei componente:

$$D^2 = S^2 - S_1^2 = (U_1 \cdot I_d)^2 + (U_d \cdot I_1)^2 + (U_d \cdot I_d)^2 = D_I^2 + D_U^2 + D_{UI}^2 \quad (5.19)$$

$U_d, I_d$  fiind date de relațiile (5.7) și (5.8).

$D_I$  este puterea deformantă datorată curentului (de obicei reprezintă termenul dominant),  $D_U$  este puterea deformantă datorată tensiunii, iar  $D_{UI}$  este puterea aparentă armonică.

Se poate scrie:

$$D_{UI}^2 = (U_d \cdot I_d)^2 = P_H^2 + Q_H^2 \quad (5.20)$$

unde  $P_H$  reprezintă puterea activă armonică totală, iar  $Q_H$  reprezintă puterea reactivă armonică totală.

$$P_H = \sum_{k=2}^{\infty} U_k \cdot I_k \cdot \cos \varphi_k \quad (5.21)$$

$$Q_H = \sum_{k=2}^{\infty} U_k \cdot I_k \cdot \sin \varphi_k \quad (5.22)$$

$U_k$  și  $I_k$  fiind valorile efective ale armonicilor de ordin  $k$  din tensiune și curent, iar  $\varphi_k$ , defazajul dintre aceste armonici.

În cazul unui consumator monofazat neliniar, factorul de putere în regim deformant se definește astfel:

$$k_p = \frac{P}{S_1} = \frac{P_1 + \sum_{k \neq 1} U_k \cdot I_k \cdot \cos \varphi_k}{U_1 \cdot I_1} = \cos \varphi_1 + \sum_{k \neq 1} s_{kU} \cdot s_{kI} \cdot \cos \varphi_k \quad (5.23)$$

unde  $s_{kU} = \frac{U_k}{U_1}$  și  $s_{kI} = \frac{I_k}{I_1}$  reprezintă ponderile armonicilor nefundamentale de tensiune și curent față de armonicile lor fundamentale.

În aceste condiții, se poate scrie:

$$k_p = k_p^1 + k_p^d \quad (5.24)$$

$k_p^1$  fiind factorul de putere fundamental, iar  $k_p^d$  factorul de putere deformant.

Puterea aparentă armonică normalizată se definește ca:

$$k_{pdh} = \frac{D_{UI}}{S_1} = \frac{U_d \cdot I_d}{U_1 \cdot I_1} = UTHD \cdot ITHD \quad (5.25)$$

unde UTHD și ITHD reprezintă distorsiunea armonică totală a tensiunii și curentului.

Se poate defini și puterea deformantă normalizată:

$$\begin{aligned} k_{pd}^2 &= \left( \frac{D}{S_1} \right)^2 = \left( \frac{I_d}{I_1} \right)^2 + \left( \frac{U_d}{U_1} \right)^2 + \left( \frac{U_d \cdot I_d}{U_1 \cdot I_1} \right)^2 \\ &= ITHD^2 + UTHD^2 + (ITHD \cdot UTHD)^2 \end{aligned} \quad (5.26)$$

### 5.1.1. Integrarea numerică

Pentru a obține seriile Fourier (5.1) și (5.2) în cazul unor semnale obținute ca serii de eșantioane este nevoie de integrare numerică. Coeficienții Fourier pentru o funcție  $y(t)$  pot fi calculați astfel:

$$A_0 = \frac{1}{T} \int_0^T y(t) dt \quad (5.27)$$



$$A_k = \frac{2}{T} \int_0^T y(t) \cos(k\omega t) dt, \quad k > 0 \quad (5.28)$$

$$B_k = \frac{2}{T} \int_0^T y(t) \sin(k\omega t) dt, \quad k > 0 \quad (5.29)$$

unde  $T$  este durata fundamentalei sau un multiplu al acesteia, iar  $\omega$  este pulsația fundamentalei.

Funcția originală poate fi recompusă astfel:

$$y(t) = A_0 + \sum_{k \geq 1} (A_k \cos(k\omega t) + B_k \sin(k\omega t)) \quad (5.30)$$

În cazul nostru este preferabil să exprimăm componentele armonice ca amplitudine și fază:

$$A_0 = C_0, \quad A_k = C_k \sin \varphi_k, \quad B_k = C_k \cos \varphi_k \quad (5.31)$$

deci:

$$y(t) = C_0 + \sum_{k \geq 1} C_k (\sin \varphi_k \cos(k\omega t) + \cos \varphi_k \sin(k\omega t)) \quad (5.32)$$

$$y(t) = C_0 + \sum_{k \geq 1} C_k \sin(k\omega t + \varphi_k) \quad (5.33)$$

unde:

$$C_k = \sqrt{A_k^2 + B_k^2}, \quad \varphi_k = \arctg \frac{A_k}{B_k} \quad (5.34)$$

Este de remarcat cazul particular  $B_k=0$  în calculul  $\varphi_k$ . Multe limbaje de programare pun la dispoziție o funcție specială, numită de obicei "atan2", pentru a calcula arctangenta dintr-un raport inclusiv în cazul în care numitorul este zero pentru a evita erorile. Coeficienții  $C_k$  din relațiile de mai sus reprezintă amplitudini, nu valori efective.

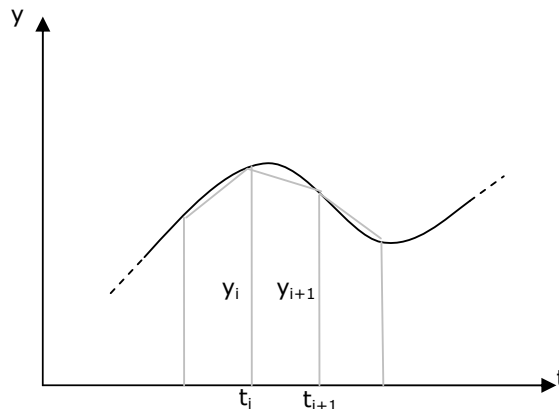


Fig. 5.1. Integrarea prin metoda trapezelor

În cazul în care funcția  $y(t)$  este dată printr-o serie de valori distincte uniform distribuite în timp, ceea ce este cazul pentru semnale eșantionate, se poate folosi metoda trapezelor pentru integrare numerică cu condiția – esențială oricum

pentru semnale eșantionate – ca frecvența de eșantionare să fie mult mai mare decât frecvența fundamentalei. Presupunem un număr  $n$  de eșantioane, notate  $y_0 \dots y_{n-1}$ , frecvența de eșantionare fiind  $f_s$ .

Aria trapezului din figura 5.1 este:

$$s_i = \frac{y_i + y_{i+1}}{2} (t_{i+1} - t_i) = \frac{y_i + y_{i+1}}{2 \cdot f_s} \quad (5.35)$$

Suma ariilor trapezelor, deci aria subgraficului adică valoarea integralei este:

$$S = \sum_{i=0}^{n-2} \frac{y_i + y_{i+1}}{2 \cdot f_s} = \frac{1}{f_s} \left( \frac{y_0 + y_{n-1}}{2} + \sum_{i=1}^{n-2} y_i \right) \quad (5.36)$$

### 5.1.2. Limitări impuse prin reglementări europene

Standardul european care reglementează valorile maxime ale armonicilor de curent, aplicabil în cazul receptoarelor la tensiunea rețelei (220V) și curent până la 16A, atât monofazate cât și trifazate, este **EN 61000-3-2:2006+A1+A2** [43]. Acest standard definește patru clase de consumatori, codificate de la A la D.

Clasa A include consumatorii trifazați precum și orice alt consumator care nu intră în altă clasă. Clasa B include uneltele electrice portabile și echipamentele de sudură cu arc electric neprofesionale. Clasa C se referă la instalații de iluminat, iar clasa D la echipamente electronice de cel mult 600W cum ar fi computere sau televizoare.

Pentru clasa A, unde intră cuptoarele cu microunde, limitele armonicilor de curent sunt date ca valori absolute maxime ale curenților efectivi, date în amperi până la armonica 40 inclusiv:

Tab. 5.1. Curenții armonici maximi conform EN 61000-3-2:2006+A1+A2

Arm.	I [A]	Arm.	I [A]	Arm.	I [A]	Arm.	I [A]
		11	0,33	21	0,10	31	0,07
2	1,08	12	0,15	22	0,08	32	0,05
3	2,30	13	0,21	23	0,09	33	0,06
4	0,43	14	0,13	24	0,07	34	0,05
5	1,14	15	0,15	25	0,09	35	0,06
6	0,30	16	0,11	26	0,07	36	0,05
7	0,77	17	0,13	27	0,08	37	0,06
8	0,23	18	0,10	28	0,06	38	0,04
9	0,40	19	0,11	29	0,07	39	0,05
10	0,18	20	0,09	30	0,06	40	0,04

## 5.2. Circuitul electric al cuptoarelor comune

Marea majoritate a cuptoarelor cu microunde, electrocasnice sau de laborator, utilizează magnetroane cu undă continuă fabricate în serii mari pe linii de producție complet automatizate [41]. Acestea au timp de viață destul de scurt (sute de ore) dar sunt ieftine și au puteri de până la 1kW.

Nu doar magnetroanele sunt standard și produse în serii mari, ci și componentele circuitelor de alimentare ale acestora. Cuptorul tipic conține un transformator alimentat la tensiunea rețelei în primar, cu două înfășurări în secundar: una de 3,3V la 10A pentru filamentul catodului magnetronului, cealaltă de înaltă tensiune (2200 V) pentru tensiunea catodică. Un condensator și o diodă de înaltă tensiune, împreună cu caracteristica de diodă a magnetronului, formează un redresor cu dublare de tensiune (fig. 5.2).

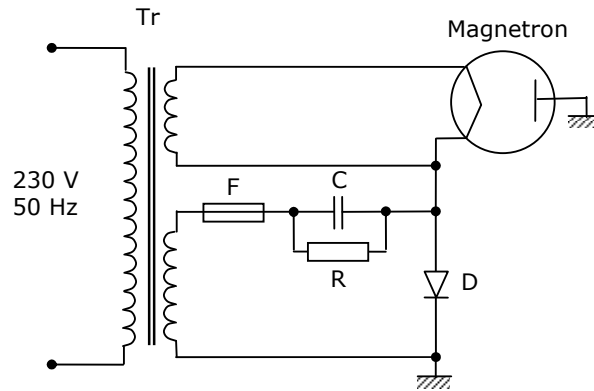


Fig. 5.2. Circuitul tipic de alimentare a magnetronului

Anodul magnetronului este cuplat la masă prin carcasa acestuia. Componenta F este o siguranță fuzibilă de înaltă tensiune. R și C nu sunt discrete; condensatorul este construit deliberat cu pierderi pentru a se descărca atunci când circuitul nu este alimentat. Valorile uzuale pentru C și R sunt 1  $\mu$ F și 10 M $\Omega$ , de unde rezultă o constantă de timp de 0,1 secunde. Dioda D este de înaltă tensiune, cu tensiune inversă maximă de 12 kV și tensiune directă în conducție în jur de 10V.

Puterea este ajustată prin alimentarea intermitentă a întregului circuit de către sistemul de comandă și control al cuptorului. Deoarece același circuit alimentează și filamentul magnetronului ciclul de funcționare trebuie să fie lung, de ordinul zecilor de secunde.

### 5.2.1. Caracteristici electrice

Circuitul de înaltă tensiune al magnetronului este de departe cel mai mare consumator de energie dintr-un cuptor. Filamentul, motoarele de antrenare pentru ventilatorul de răcire și (dacă e cazul) agitator de câmp, precum și circuitele de control au consumuri relativ neglijabile. Dacă alimentarea magnetronului este realizată similar la multe cuptoare, atunci caracteristicile curentului absorbit de acestea ar trebui să fie asemănătoare.

Pentru a verifica acest lucru s-au făcut o serie de măsurători folosind un clește ampermetric multifuncțional de tip **Wavetek Meterman AC68 AC/DC TRUERMS** pe mai multe cuptoare. Acest instrument este capabil să exporte caracteristicile măsurate pe un calculator sub formă de imagini. În următoarele imagini sunt: formele de undă, spectrul tensiunilor, puterile și spectrul curenților pentru patru cuptoare comerciale. Se observă caracteristicile asemănătoare, ceea ce susține ipoteza unor structuri similare.

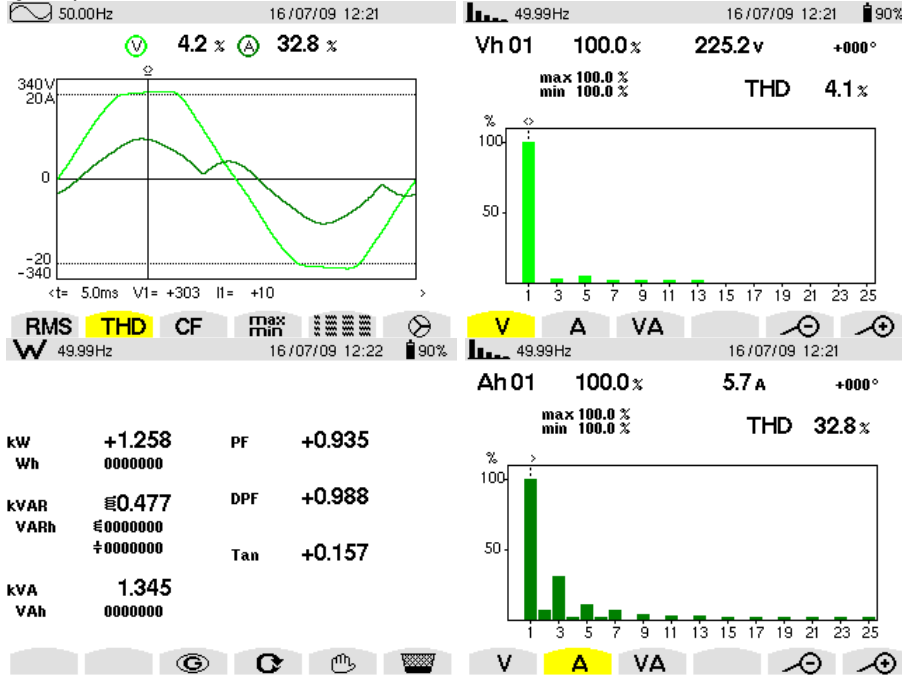
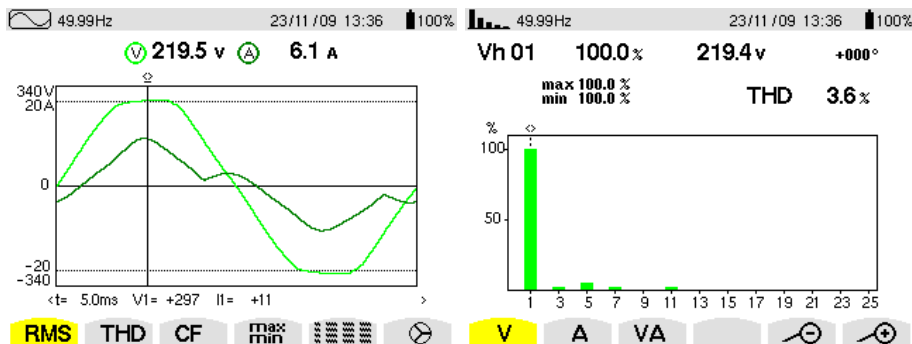


Fig. 5.3. Măsurători pentru cuptorul Vortex MG8021TP-AP



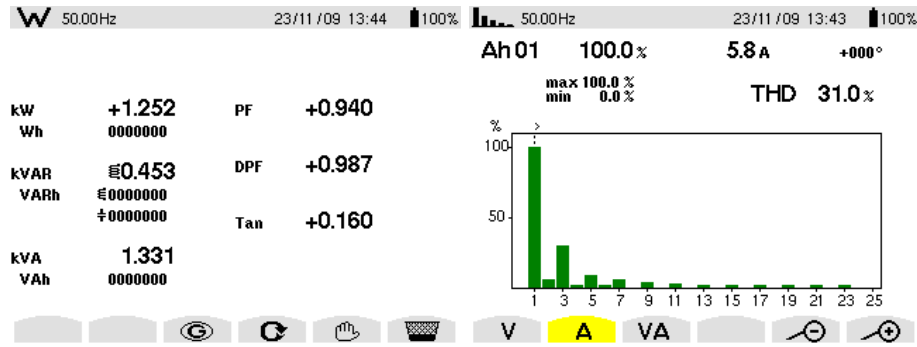


Fig. 5.4. Măsurători pentru cuptorul Samsung G2736N

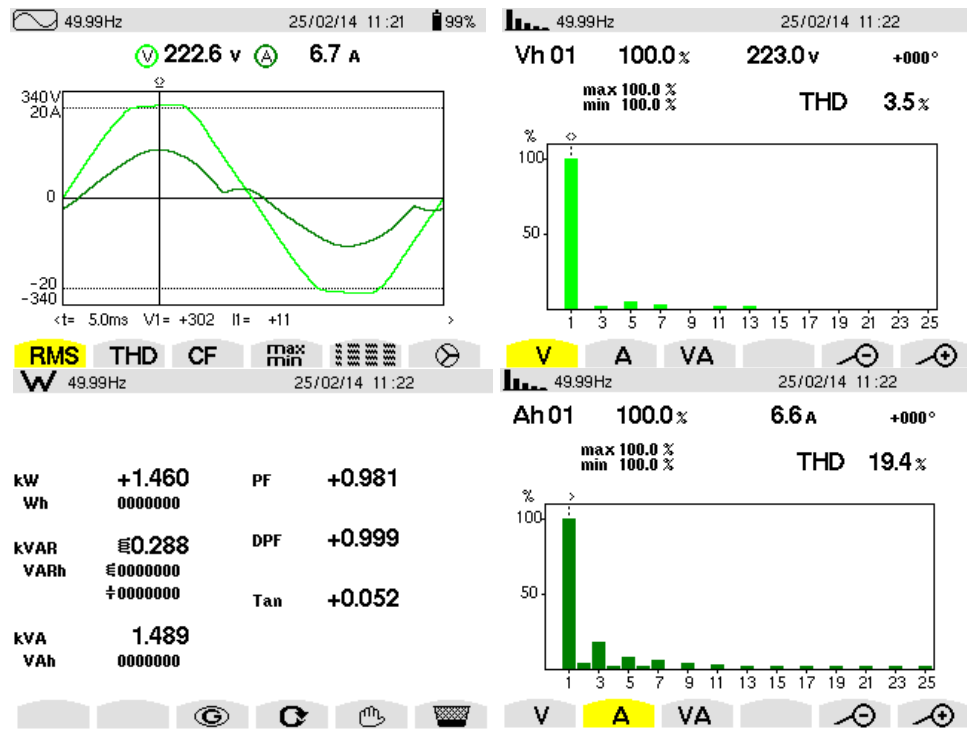


Fig. 5.5. Măsurători pentru cuptorul Candy CMG 2071 DS

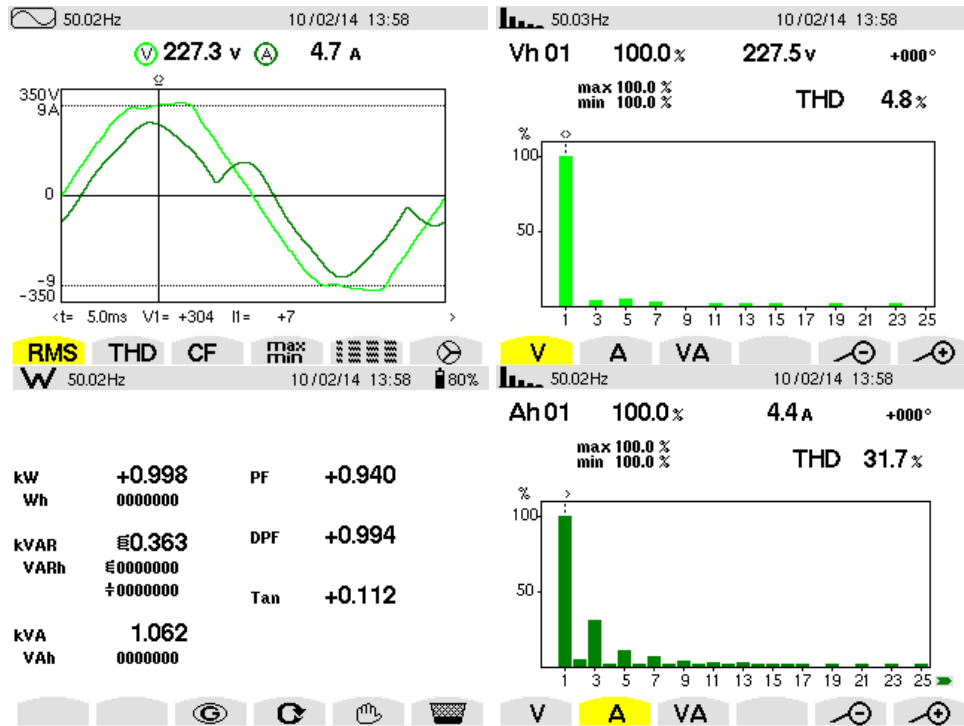
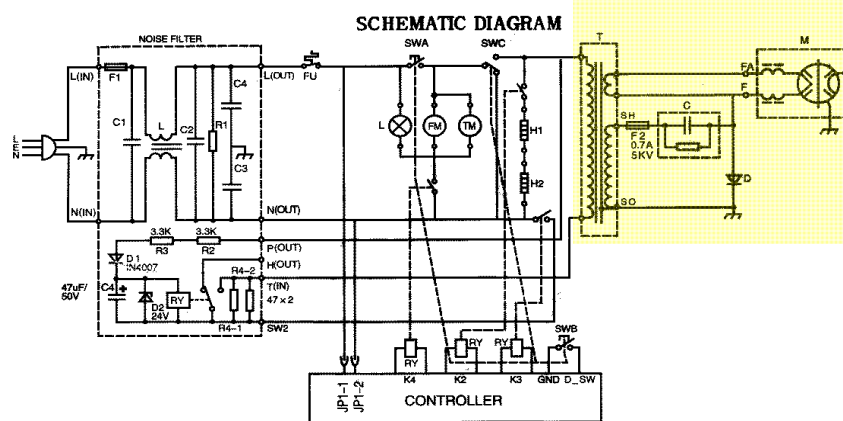


Fig. 5.6. Măsurători pentru cuptorul SMC E70 TF-A



SWA: PRIMARY INTERLOCK SWITCH  
 SWB: SECONDARY INTERLOCK SWITCH  
 SWC: THE MONITOR INTERLOCK SWITCH  
 L: LAMP  
 T: TIMER MOTOR  
 FM: FAN MOTOR  
 TM: TURNTABLE MOTOR  
 H1,H2:HEATER YUBE

NOTE:OVEN DOOR IN OPEN STATE

\*CIRCUIT SUBJECT TO CHANGE WITHOUT NOTICE

Fig. 5.7. Schema cuptorului Vortex MG8021TP-AP



Mărimile măsurate sunt: tensiunea și curentul în rețea, tensiunea în secundarul transformatorului, curentul prin diodă, tensiunea și curentul prin magnetron. Rolul principal al blocului de adaptare este de a proteja placa de achiziție prin izolare galvanică. Placa de achiziție poate eșantiona simultan opt canale diferențiale cu tensiuni maxime de  $\pm 10V$  la 25 kHz. Frecvența maximă de achiziție este 200 kHz, dar pe un singur canal.

S-au conceput și folosit două programe LabView: unul pentru monitorizare și afișare continuă și celălalt pentru achiziție timp de 20 secunde cu datele colectate în fișiere text pentru prelucrare ulterioară.

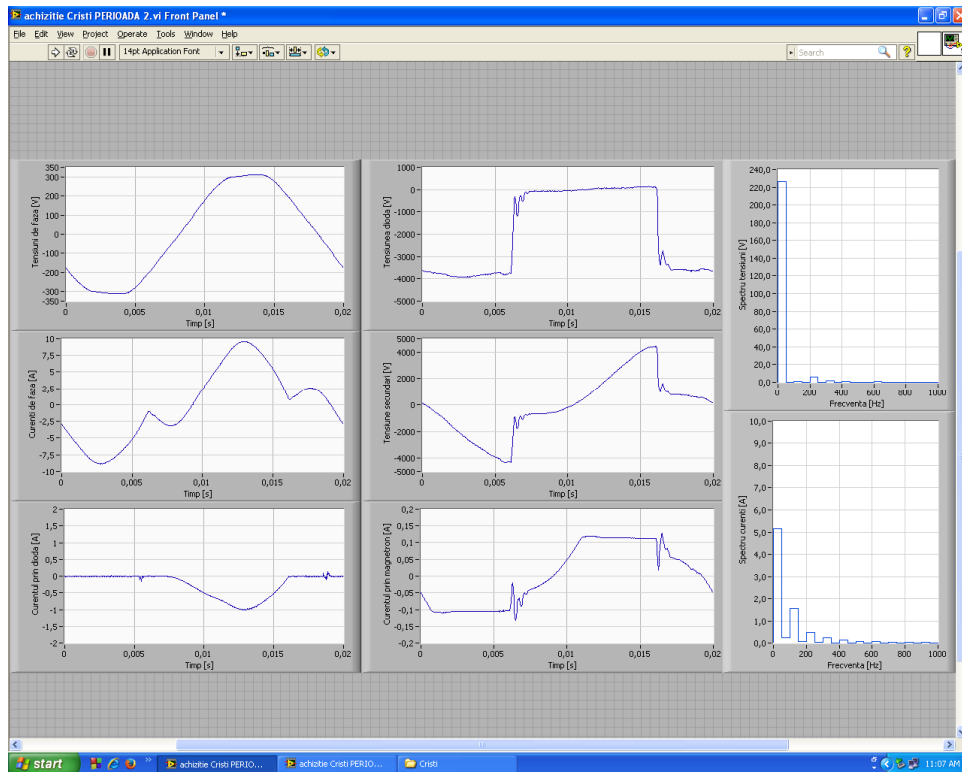


Fig. 5.10. Captură ecran pentru programul de monitorizare continuă

Pentru a determina rolul jucat de circuitul notat "noise filter" în figura 5.7 s-a conceput o altă schemă de măsură și program aferent:



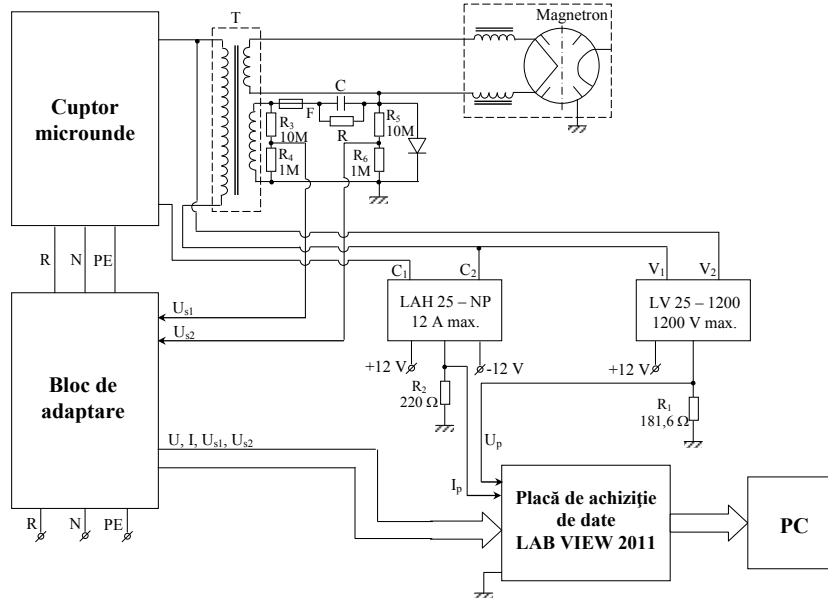


Fig. 5.11. Schemă de măsură pentru tensiunea și curentul în primarul transformatorului

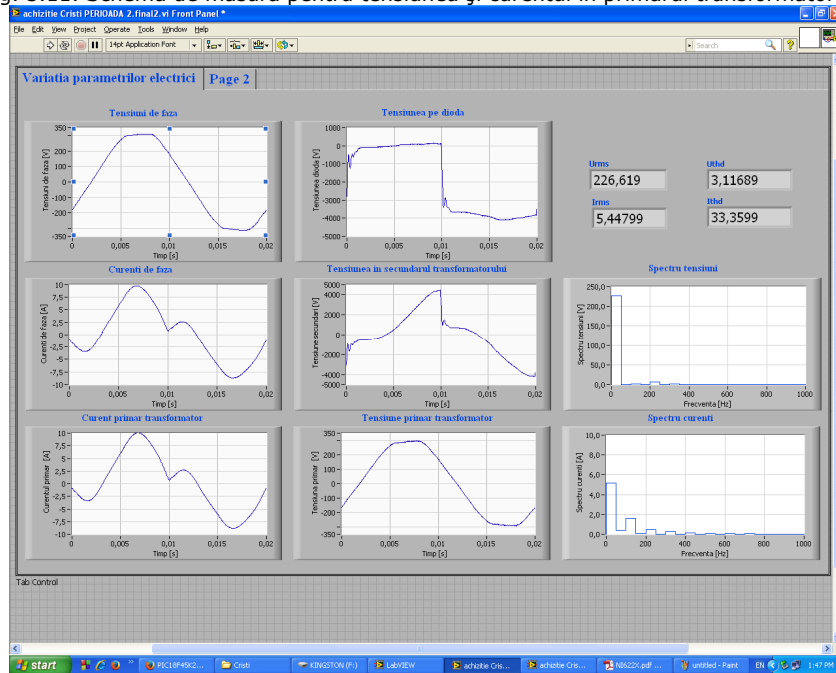


Fig. 5.12. Captură ecran pentru programul de monitorizare continuă

Se observă că nu există diferențe semnificative între curentul din rețea și cel din primarul transformatorului. Filtrul din schema 5.7 acționează cel mai probabil pe frecvențe înalte.

Pentru a prelucra datele salvate în fișiere text, care conțin valori reduse la  $\pm 10V$  achiziționate la 25 kHz timp de 20 secunde, a fost scris un program în limbajul Java numit **mwel** (numele vine de la *microwave* și *electrical*). Limbajul Java a fost preferat față de C++ în acest caz, fiindcă spre deosebire de programele din capitoul 4 aici nu avem de a face cu masive de memorie sub forma unor matrice tridimensionale imense care ar pune probleme mașinii virtuale Java. În schimb Java oferă biblioteci de funcții și facilități superioare.

Programul **mwel** are o interfață grafică care permite selectarea fișierului de intrare, afișează date și grafice. La prima deschidere a unui fișier text de intrare cu extensia `txt`, acesta este interpretat și salvat în format binar cu extensia `float`. De asemenea, se calculează frecvența exactă a fundamentalei și se descompun în serii Fourier pe domenii scurte (100 ms) toate cele 6 semnale, aceste date fiind salvate în format binar în fișiere cu extensia `spec` (de la spectru). Aceste fișiere auxiliare vor fi folosite în cazul unor încărcări ulterioare, deoarece calculele făcute pentru generarea lor sunt intensive și astfel se evită repetarea lor.

Frecvența exactă a fundamentalei este necesar să fie calculată pentru precizie, deoarece frecvența rețelei nu este exact 50 Hz. Acest lucru se face printr-un algoritm de tip *goal seeking* care caută să maximizeze coeficientul Fourier  $C_1$  (relațiile 5.28, 5.29, 5.34) modificând pulsația fundamentalei  $\omega$ . Practic se pleacă de la o frecvență a fundamentalei de  $f = 50$  Hz și un increment  $\Delta f = 1$  Hz, care se aplică peste  $f$  până se ajunge la un  $C_1$  mai nefavorabil (mai mic) decât precedentul. Atunci  $\Delta f$  este înmulțit cu  $-0,5$  și se repetă procedeul până  $\Delta f$  scade sub  $10^{-6}$  în valoare absolută.

Programul generează trei grafice. Primul arată puterile aparentă, activă, reactivă și deformantă pe același grafic în culorile negru, albastru, verde și roșu respectiv. Acest grafic este interactiv: un clic cu mouse-ul pe el va determina calcularea unui moment de timp și redesenarea celorlalte grafice în funcție de acesta. Pe abscisă este timpul în secunde, pe ordonată puterea în VA respectiv  $W$ , VAR, VAD (dimensional sunt aceleași).

Al doilea grafic arată tensiunea și curentul în rețea pe același grafic cu două ordonate. Pe abscisă este timpul în milisecunde (40 ms, două alternanțe), pe ordonata stângă tensiunea în volți și pe ordonata dreaptă curentul în amperi.

Al treilea grafic arată spectrul curentului cu bare albastre suprapuse peste limitele din standardul EN 61000-3-2:2006+A1+A2 (tabelul 5.1) colorate în verde, pentru armonicile între 2 și 40. Figura 5.13 arată rezultatele în regim de funcționare normal, cu magnetronul alimentat și filamentul catodului acestuia cald. Figura 5.14 reprezintă situația cu magnetronul nealimentat (în pauză), consumul fiind dat de motorul ventilatorului de răcire și cel al platanului. Figura 5.15 arată ce se întâmplă în cazul în care magnetronul este alimentat, dar filamentul catodului e încă rece.

Durata regimului tranzitoriu este de 3,2 secunde. Aceasta înseamnă că un ciclu pornit/oprit nu poate fi mai scurt, de fapt durata acestor cicluri este de ordinul zecilor de secunde.

S-au făcut mai multe măsurători, inclusiv la diverse sarcini (corpuri de încălzit). Așa cum era de așteptat, am constatat că nu există nici o influență a sarcinii asupra parametrilor electrici. Magnetronul și circuitul aferent nu sunt influențate deloc de ce se află în cavitatea rezonantă.

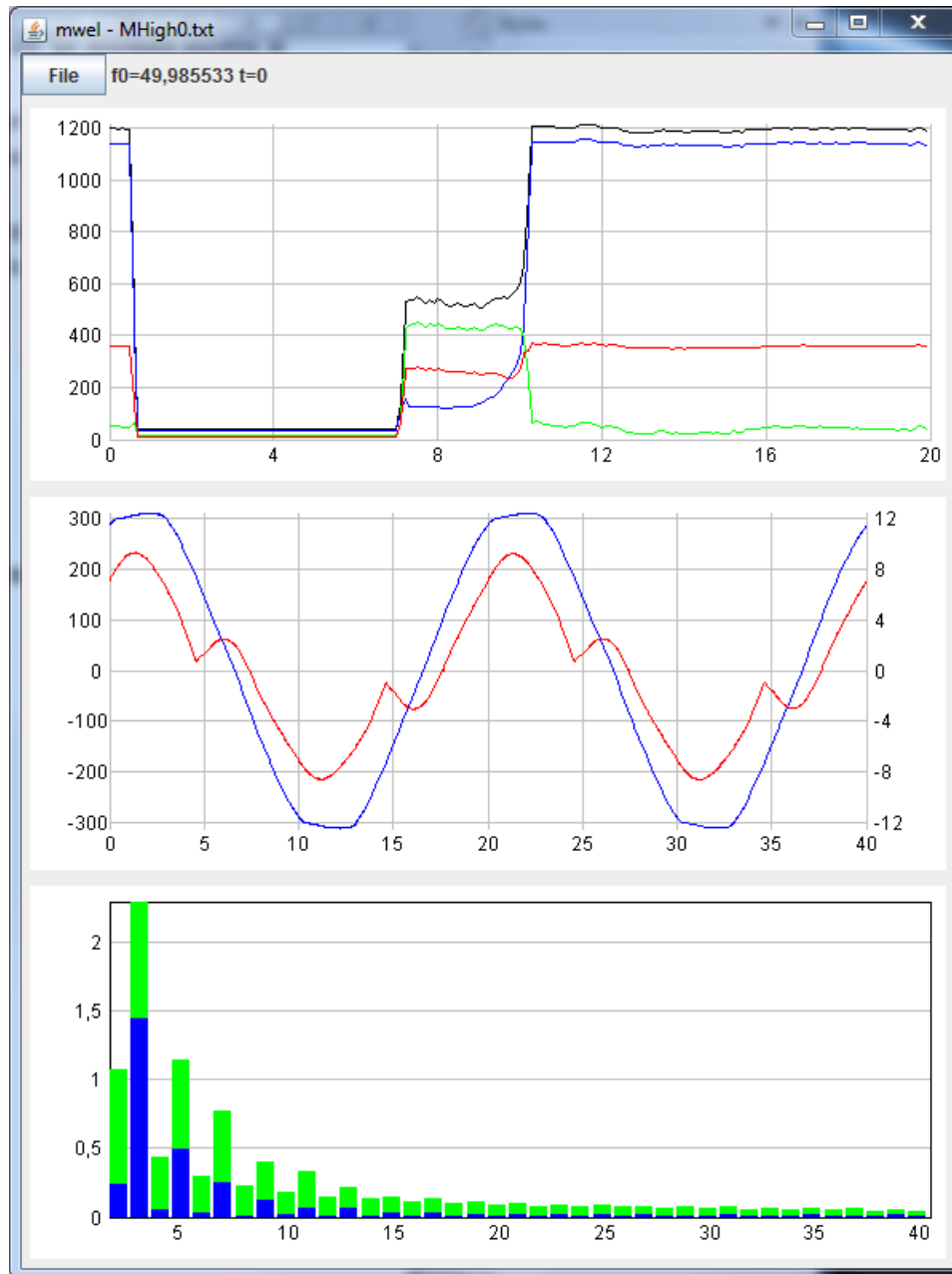


Fig. 5.13. Programul mwel, date la funcționare normală (magnetron cald)

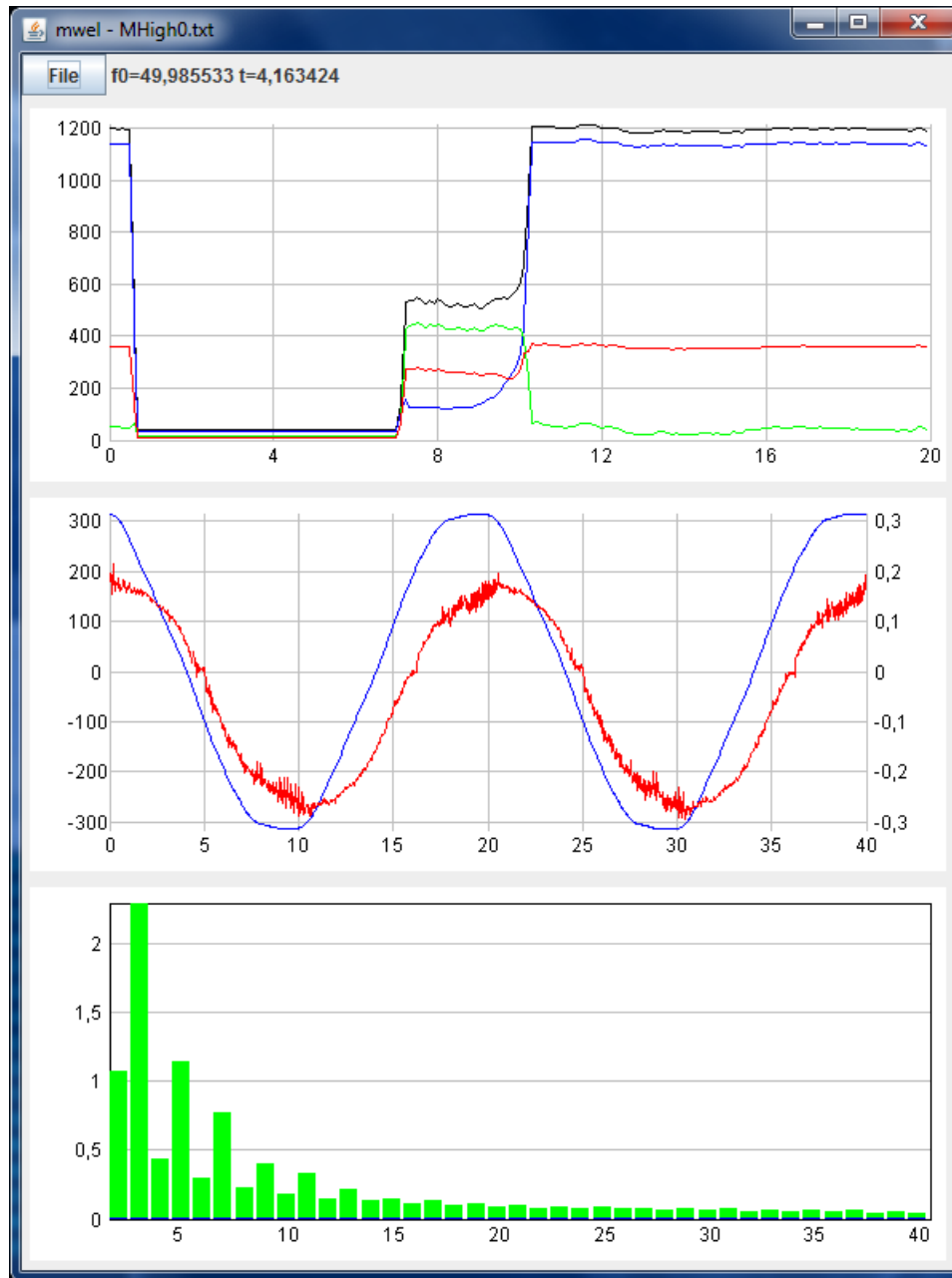


Fig. 5.14. Programul mwel, date la funcționare în gol (magnetron nealimentat)

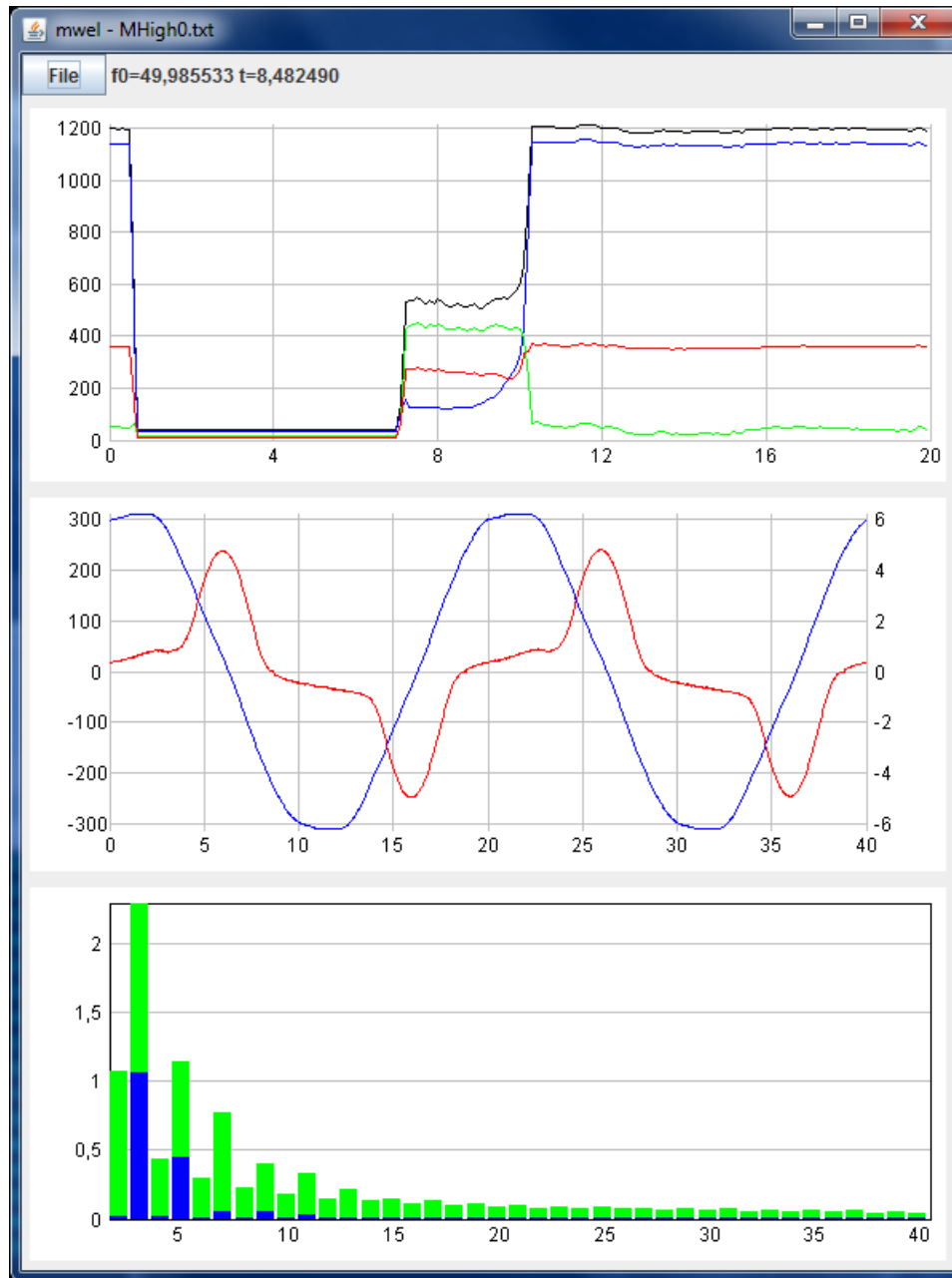


Fig. 5.15. Programul mwel, date la funcționare în regim tranzitoriu (magnetron rece)

### 5.2.2. Calculul parametrilor magnetronului

Magnetronul poate fi modelat [44] printr-o diodă perfectă înseriată cu o sursă de tensiune (tensiunea de deschidere) și un rezistor (rezistența dinamică). Acești parametri sunt dificil de măsurat direct, însă pot fi deduși din forme de undă achiziționate la funcționare normală. Pentru aceasta s-au făcut măsurători conectând direct un traductor Hall bine izolat în circuitul catodului magnetronului, tensiunea fiind măsurată în continuare conform schemei 5.9.

Formele de undă au fost introduse într-un alt program scris în Java, numit **mwelim**. Acesta caută cei doi parametri printr-un algoritm asemănător celui folosit la calculul frecvenței exacte a fundamentalei. Scopul urmărit de algoritm este să obțină o apropiere maximă între curentul măsurat (al 2-lea grafic din fig. 5.16) și cel dedus din model și tensiunea pe magnetron (primul grafic). Forma de undă a curentului rezultat din model este în al treilea grafic.

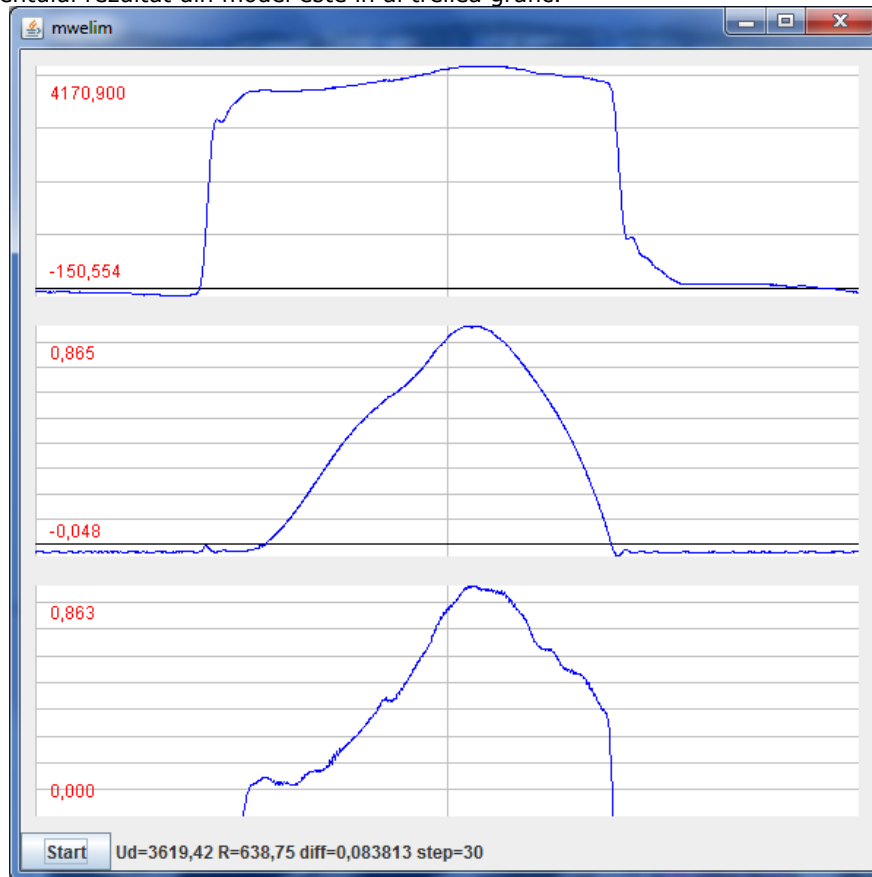


Fig. 5.16. Programul mwelim și rezultatele

### 5.3. Simularea funcționării cuptorului

Simularea funcționării cuptorului cu microunde s-a realizat utilizând schema din figura 5.17. Această schemă cuprinde un transformator cu caracteristici identice cu ale transformatorului cuptorului cu microunde la care s-au măsurat parametrii și un condensator de  $1\mu\text{F}$  care împreună cu dioda de înaltă tensiune realizează un dublor de tensiune. Simularea funcționării diodei de HV s-a făcut utilizând o diodă ideală și o sursă de tensiune contraelectromotoare de 9V. Magnetronul a fost simulat utilizând o diodă ideală, o sursă de tensiune contraelectromotoare de 3,62kV și o rezistență serie de 639 ohmi – parametri rezultați din cap. 5.2.2. Deoarece în practică reglarea puterii cuptorului cu microunde se face prin modificarea intervalului de timp în care este alimentat magnetronul, s-a pus problema dacă se poate face un reglaj utilizând o punte cu două tranzistoare IGBT la care se modifică unghiul de comandă. Simulările s-au făcut la diverse unghiuri de comandă:  $0^\circ$ ,  $30^\circ$ ,  $45^\circ$ ,  $60^\circ$ ,  $90^\circ$  și  $135^\circ$ .

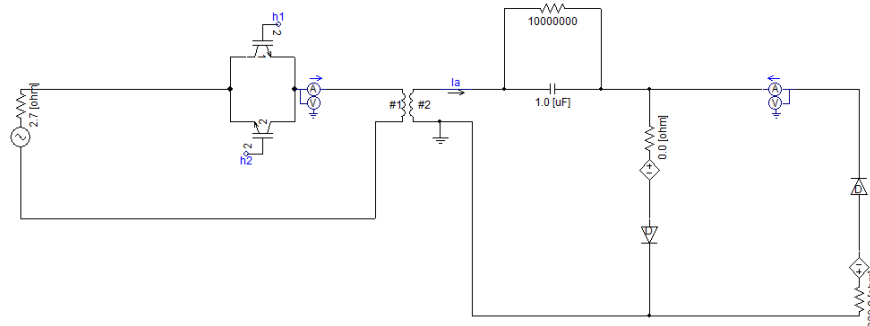


Fig. 5.17. Schemă simulare

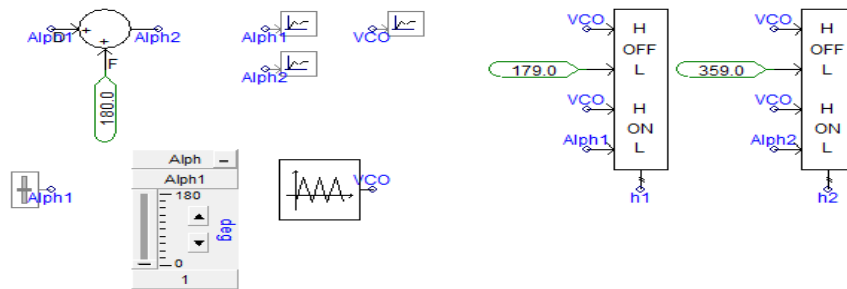


Fig. 5.18. Model comandă tranzistoare IGBT

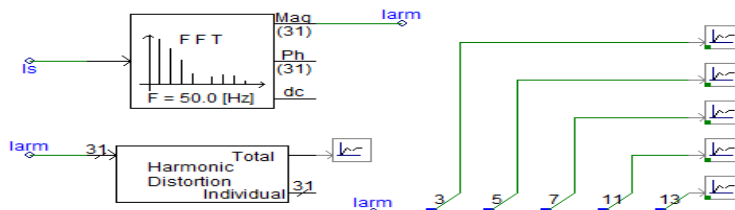
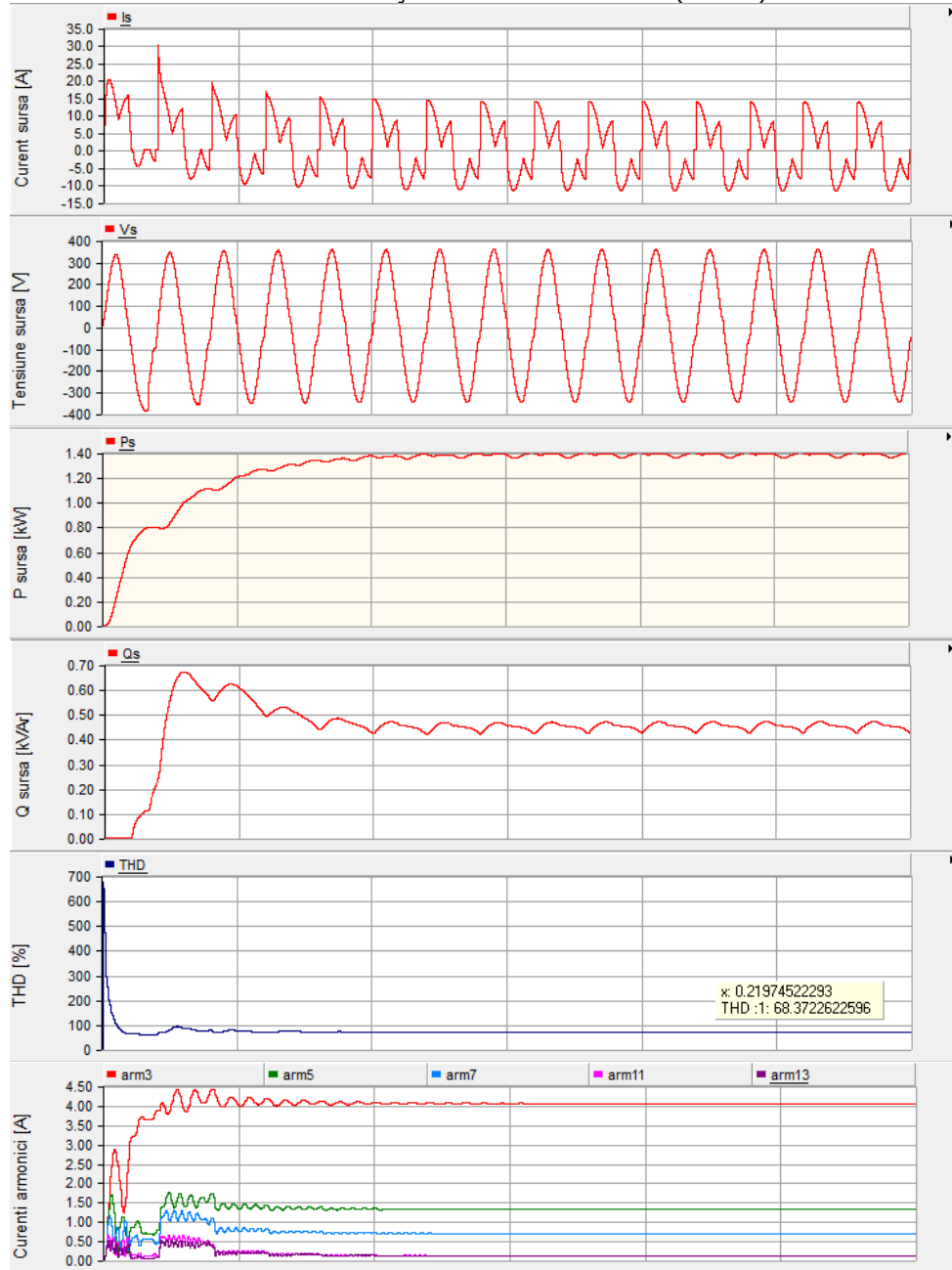
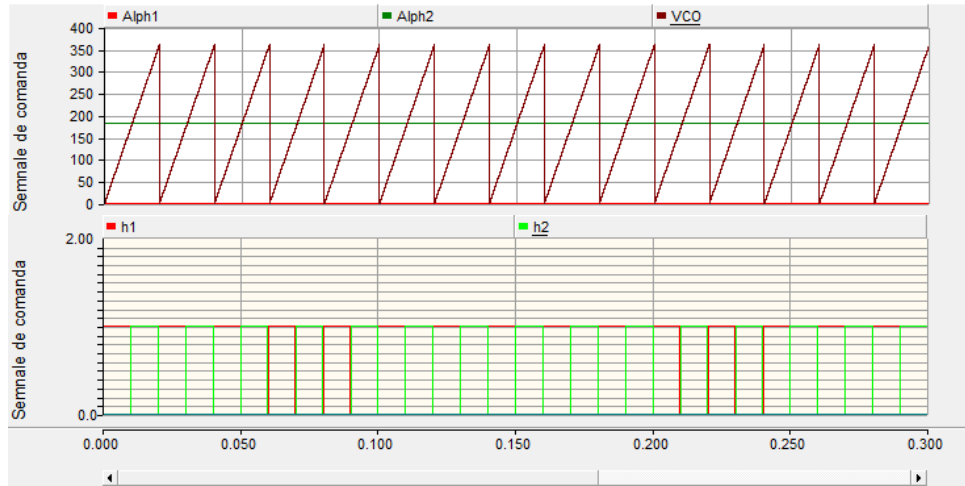


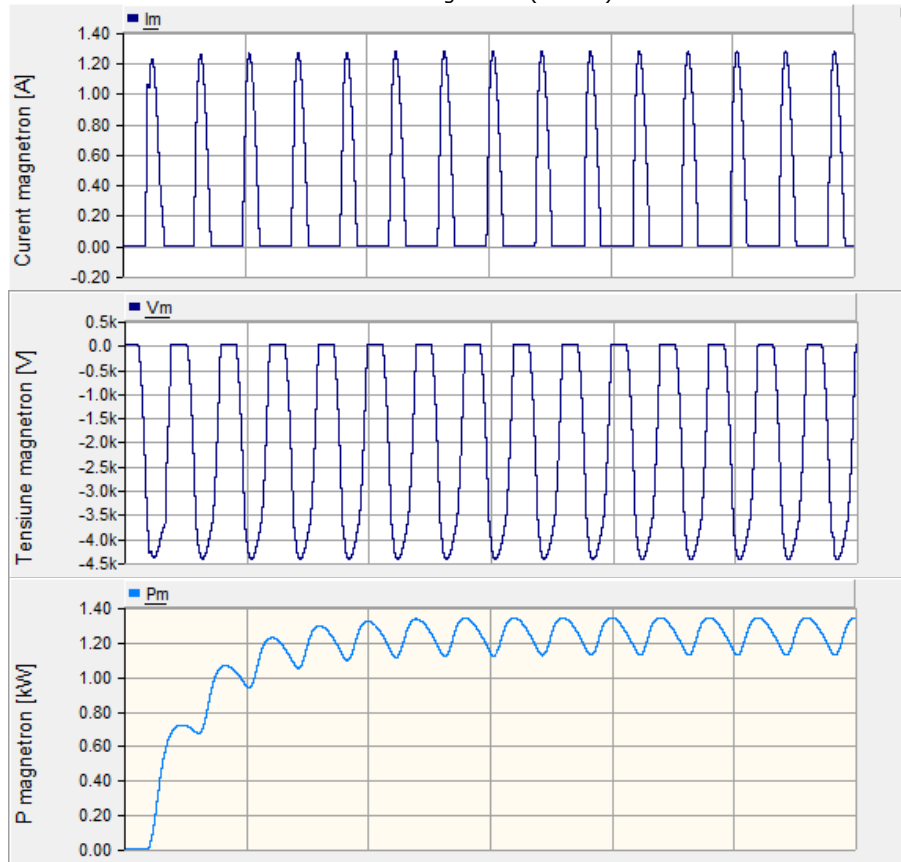
Fig. 5.19. Model de calcul curenți armonici

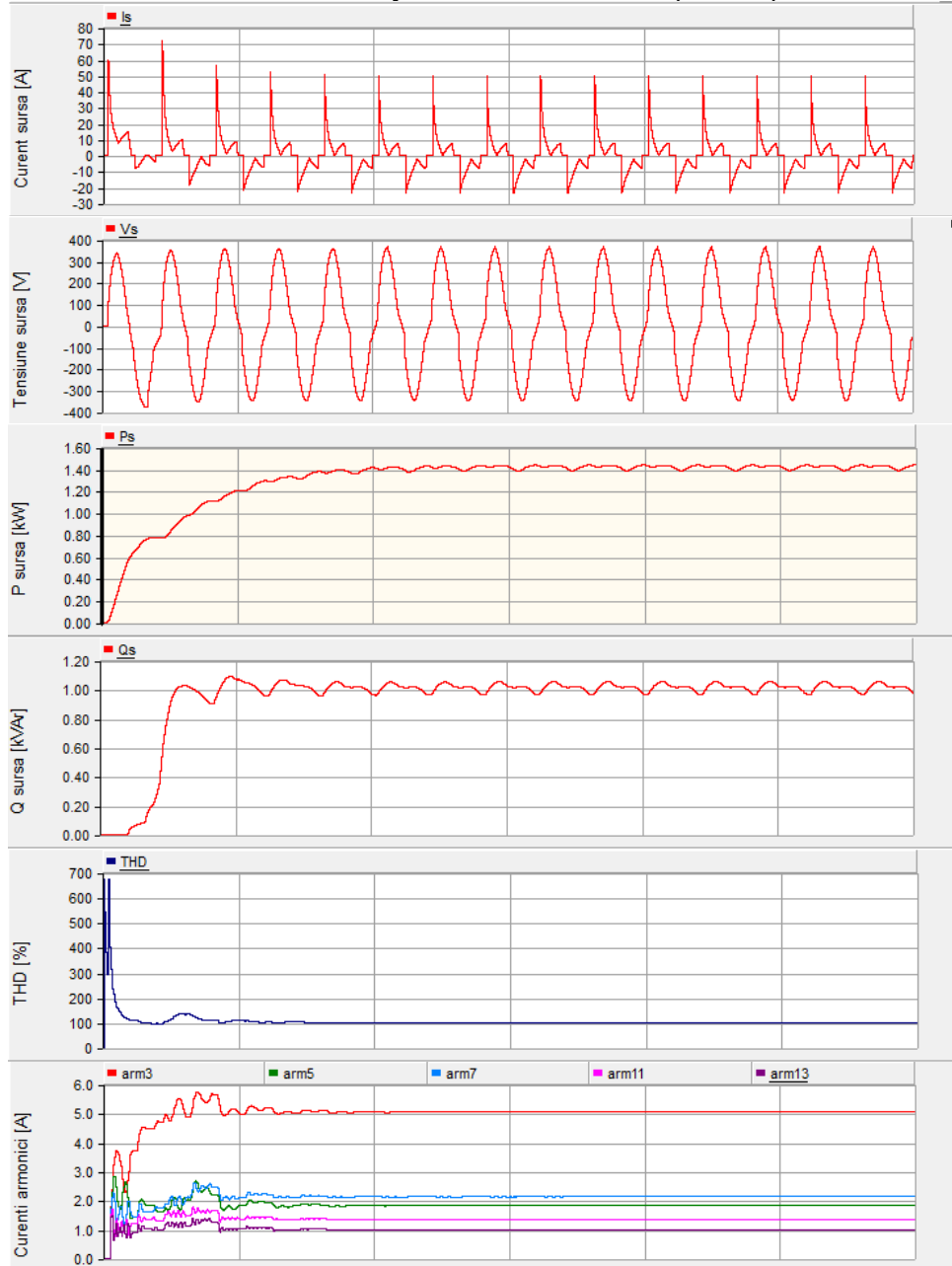
Parametri mășurați la sursa de alimentare ( $\alpha = 0^\circ$ )

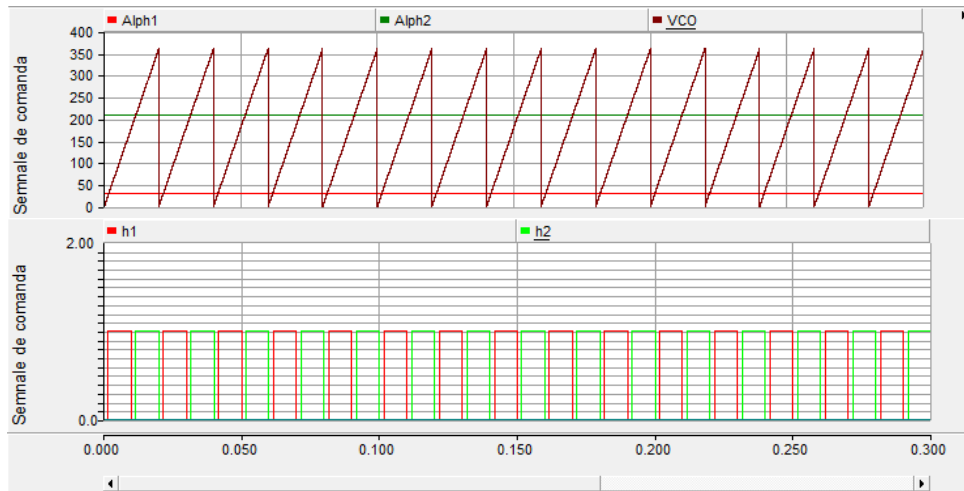




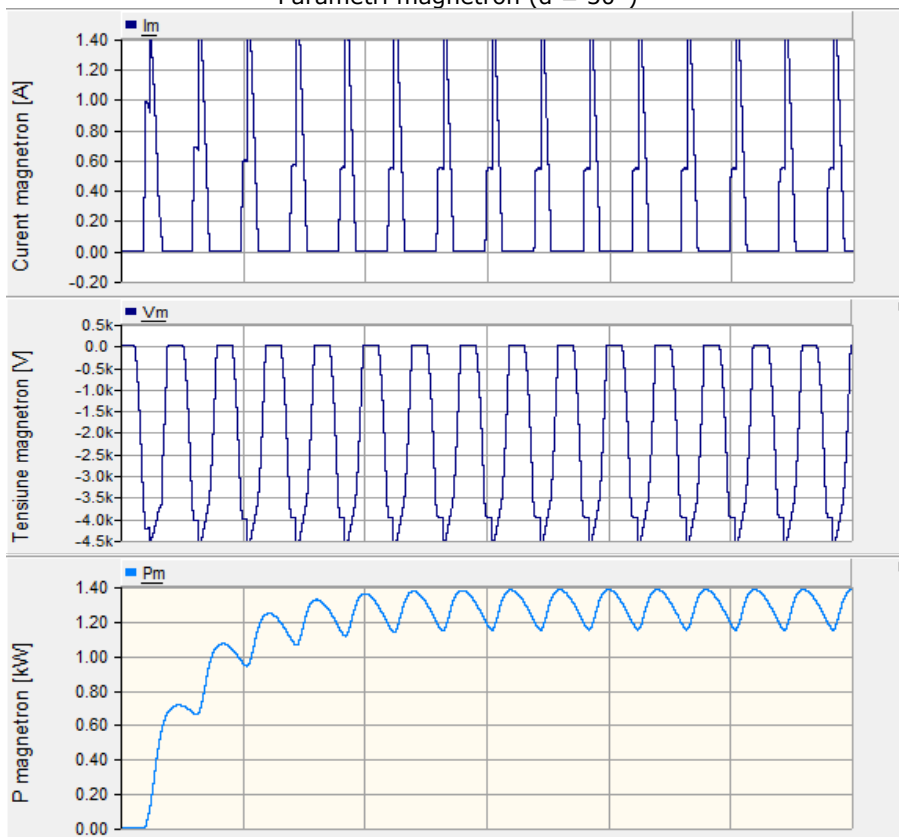
Parametri magnetron ( $\alpha = 0^\circ$ )

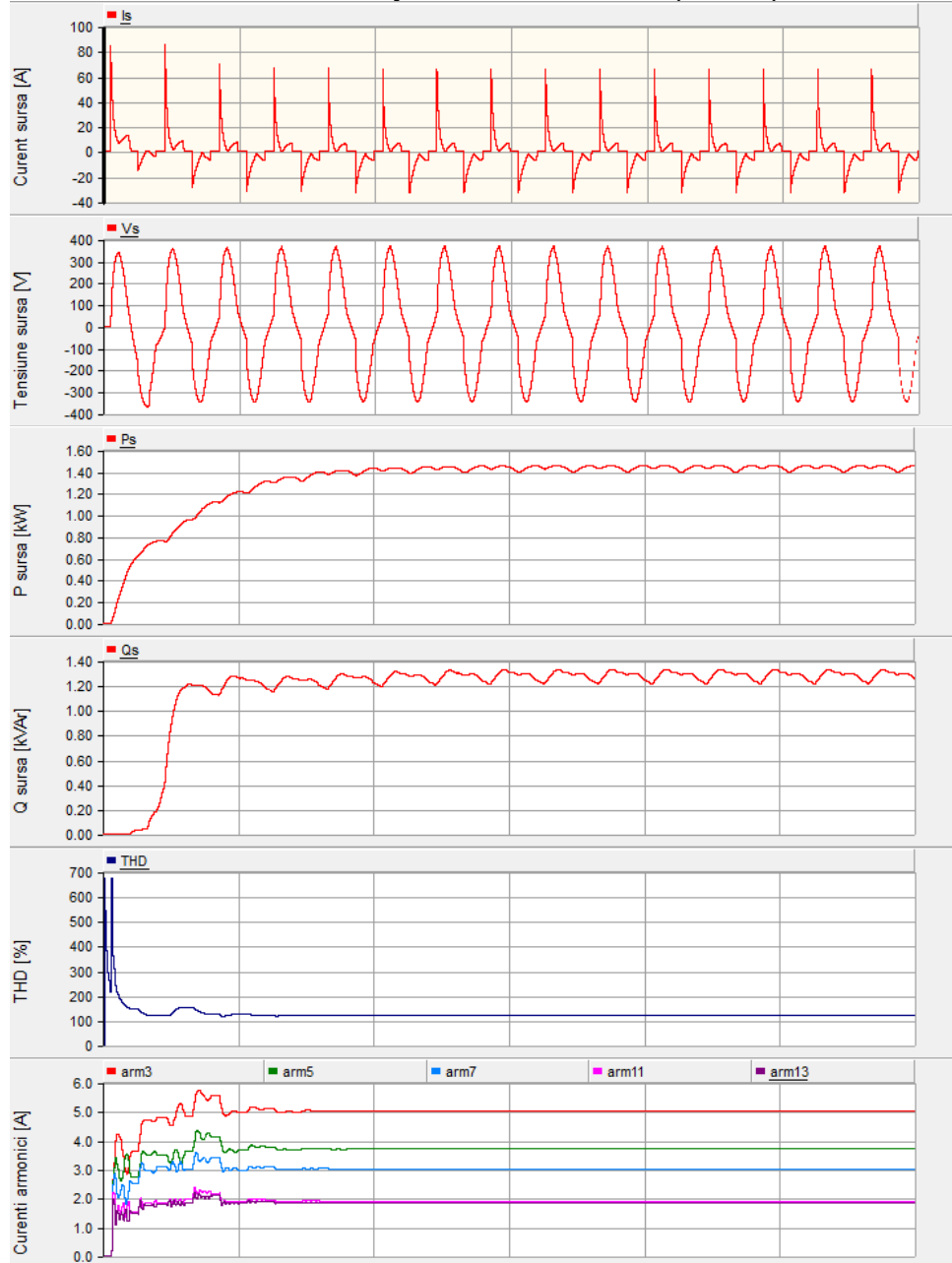


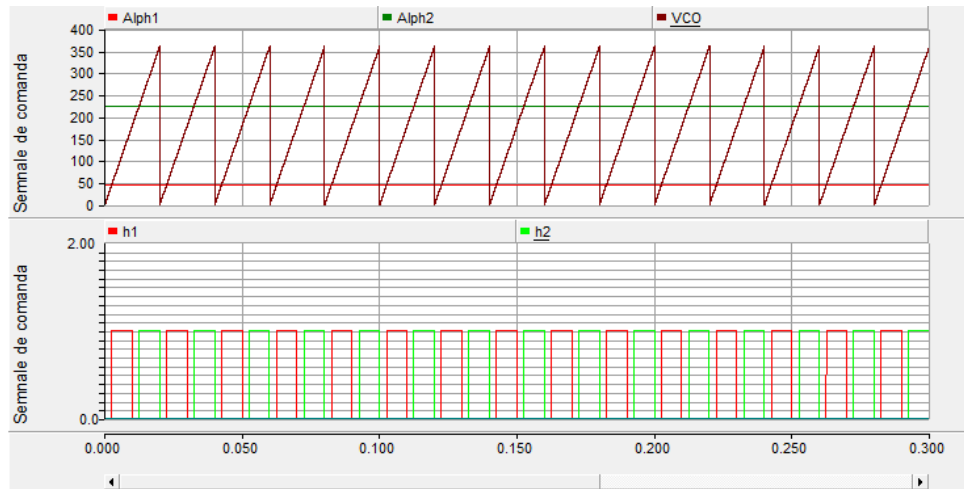
Parametri mășurați la sursa de alimentare ( $\alpha = 30^\circ$ )



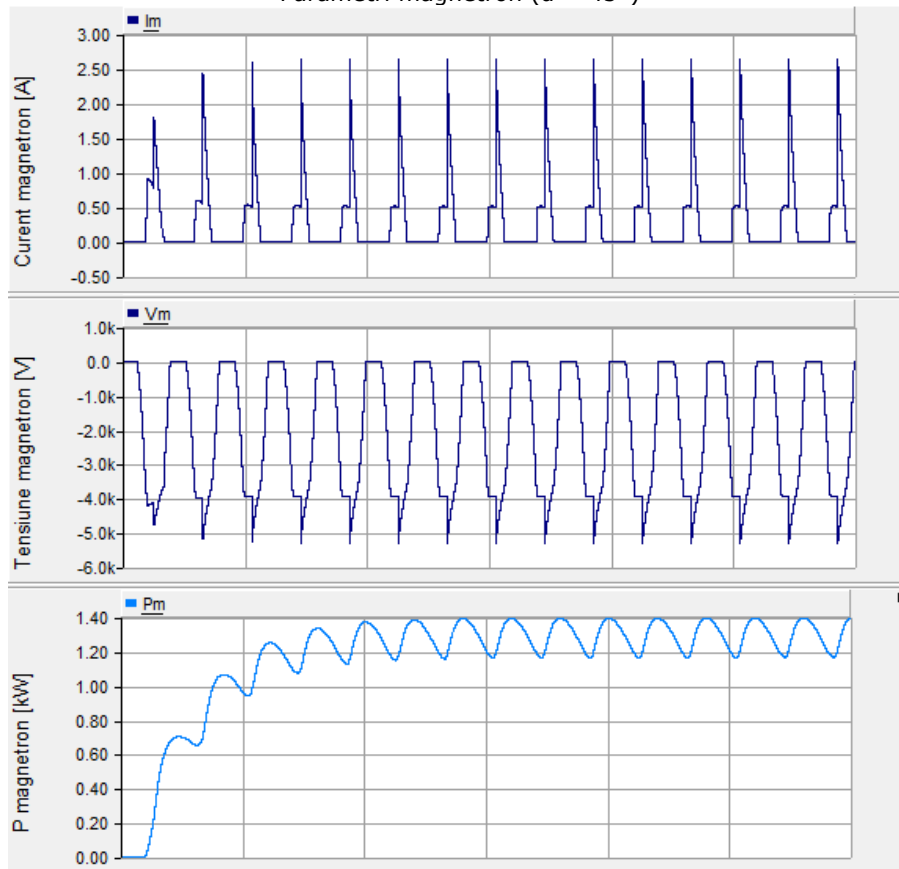
Parametri magnetron ( $\alpha = 30^\circ$ )

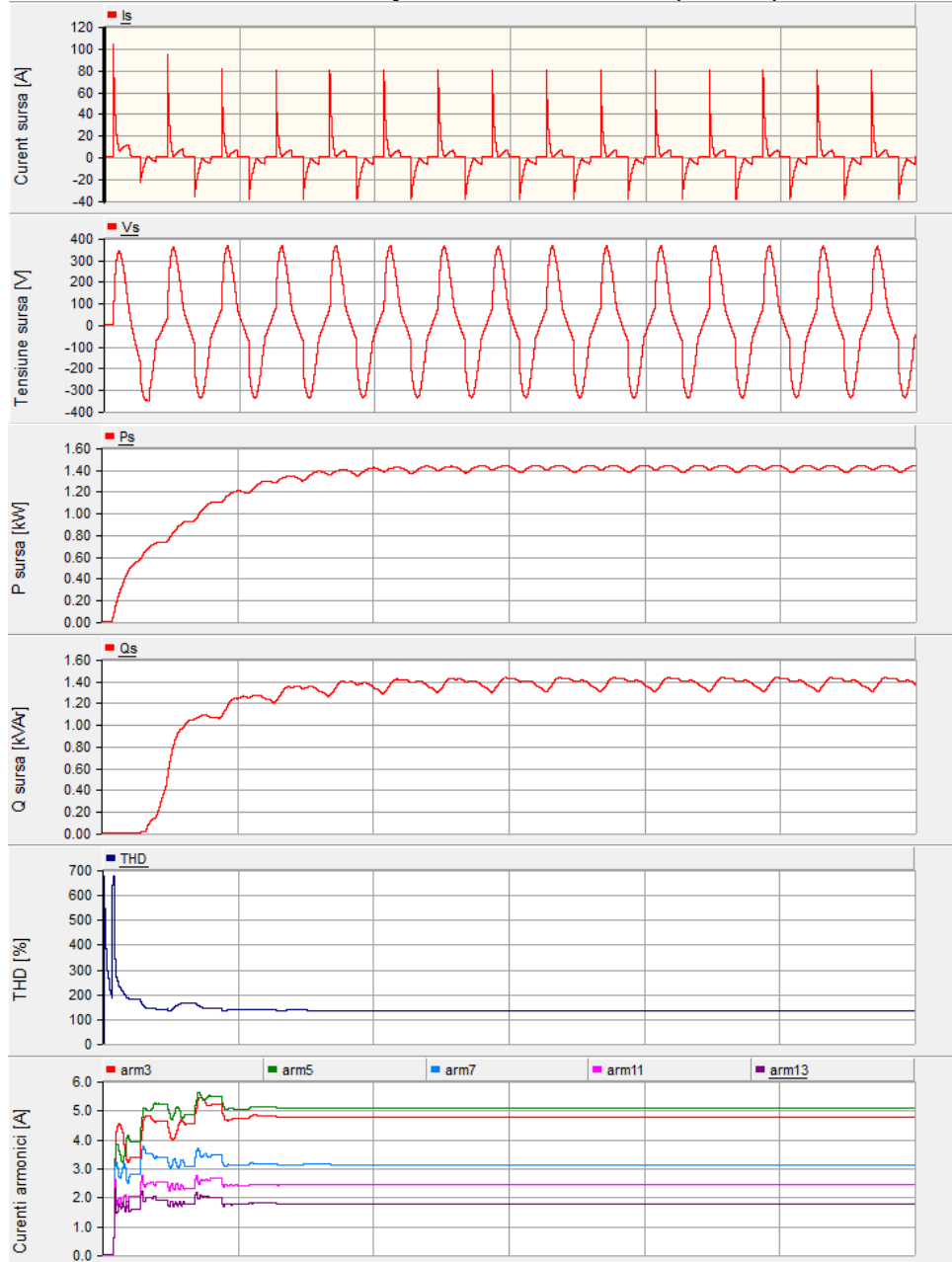


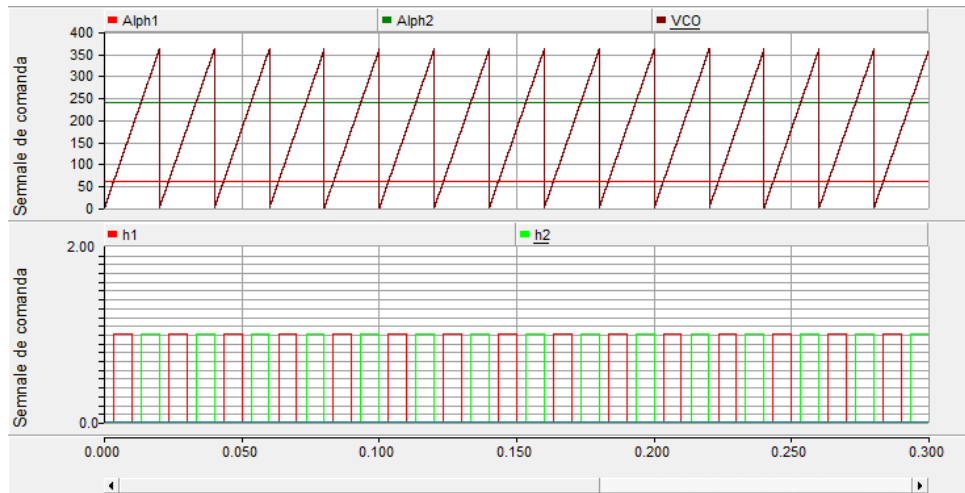
Parametri mășurați la sursa de alimentare ( $\alpha = 45^\circ$ )



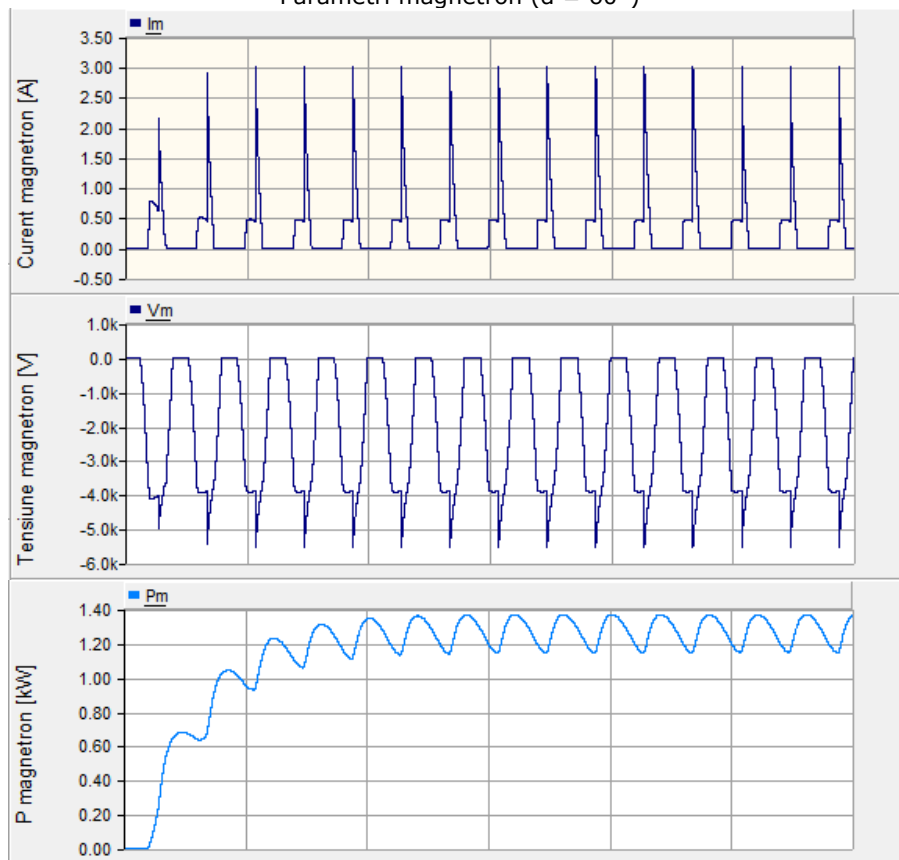
Parametri magnetron ( $\alpha = 45^\circ$ )

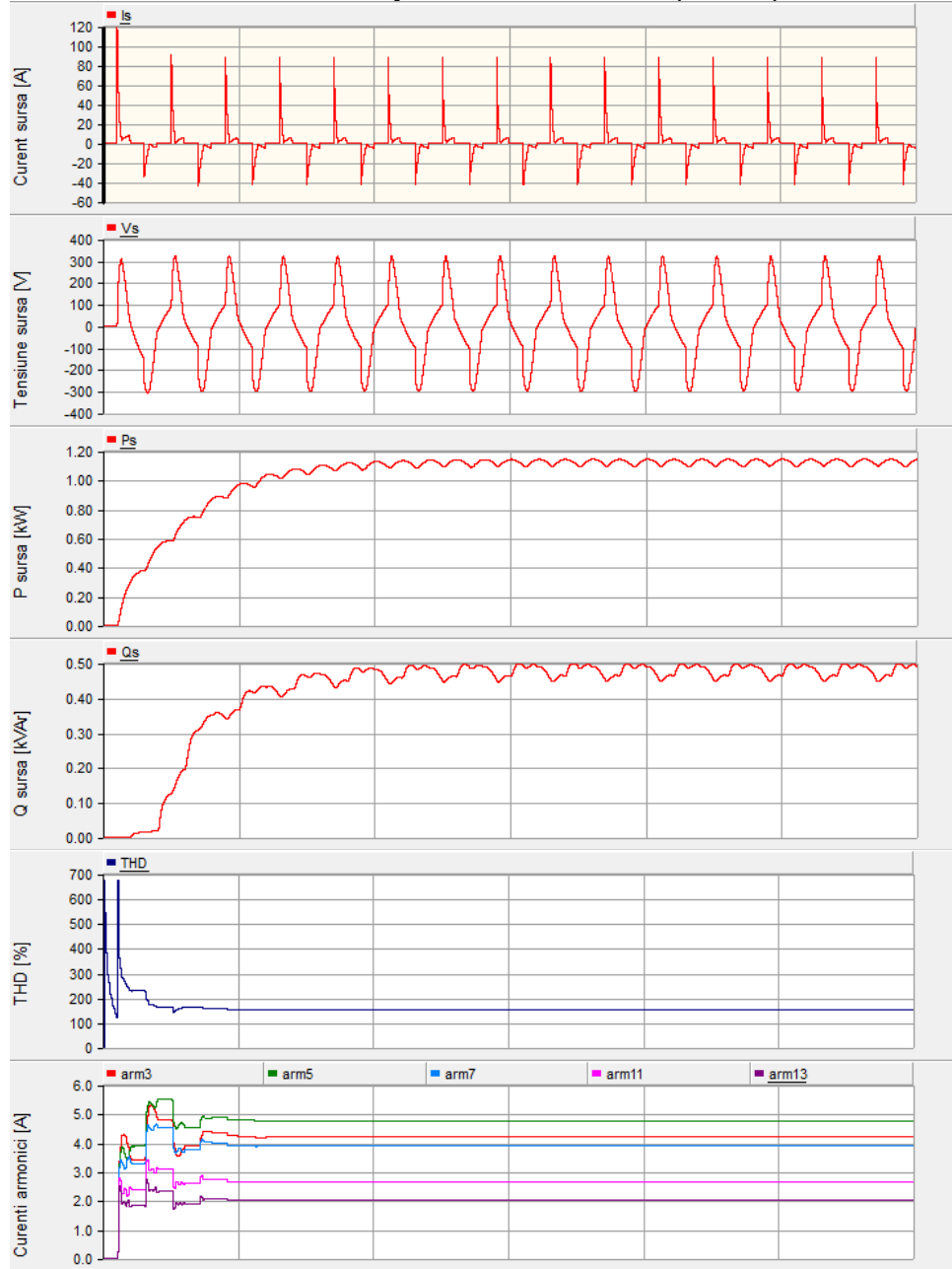


Parametri mășurați la sursa de alimentare ( $\alpha = 60^\circ$ )

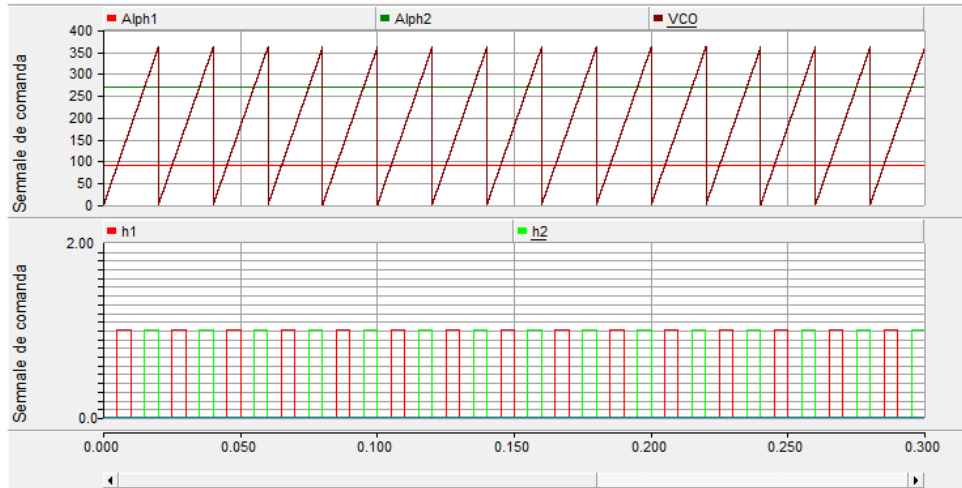


Parametri magnetron ( $\alpha = 60^\circ$ )

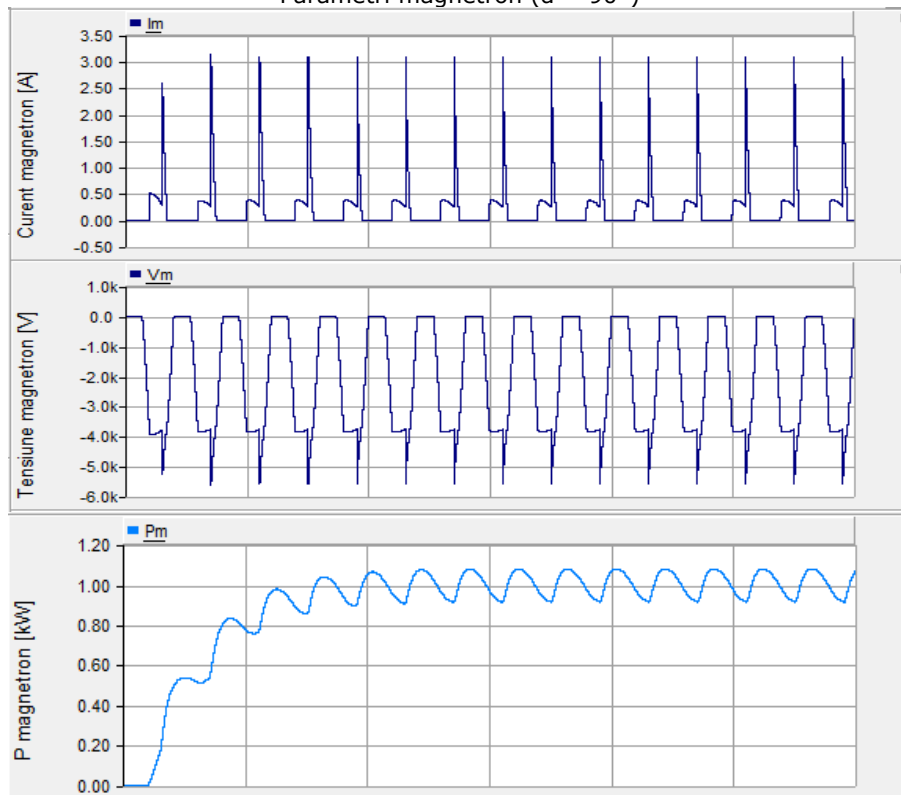


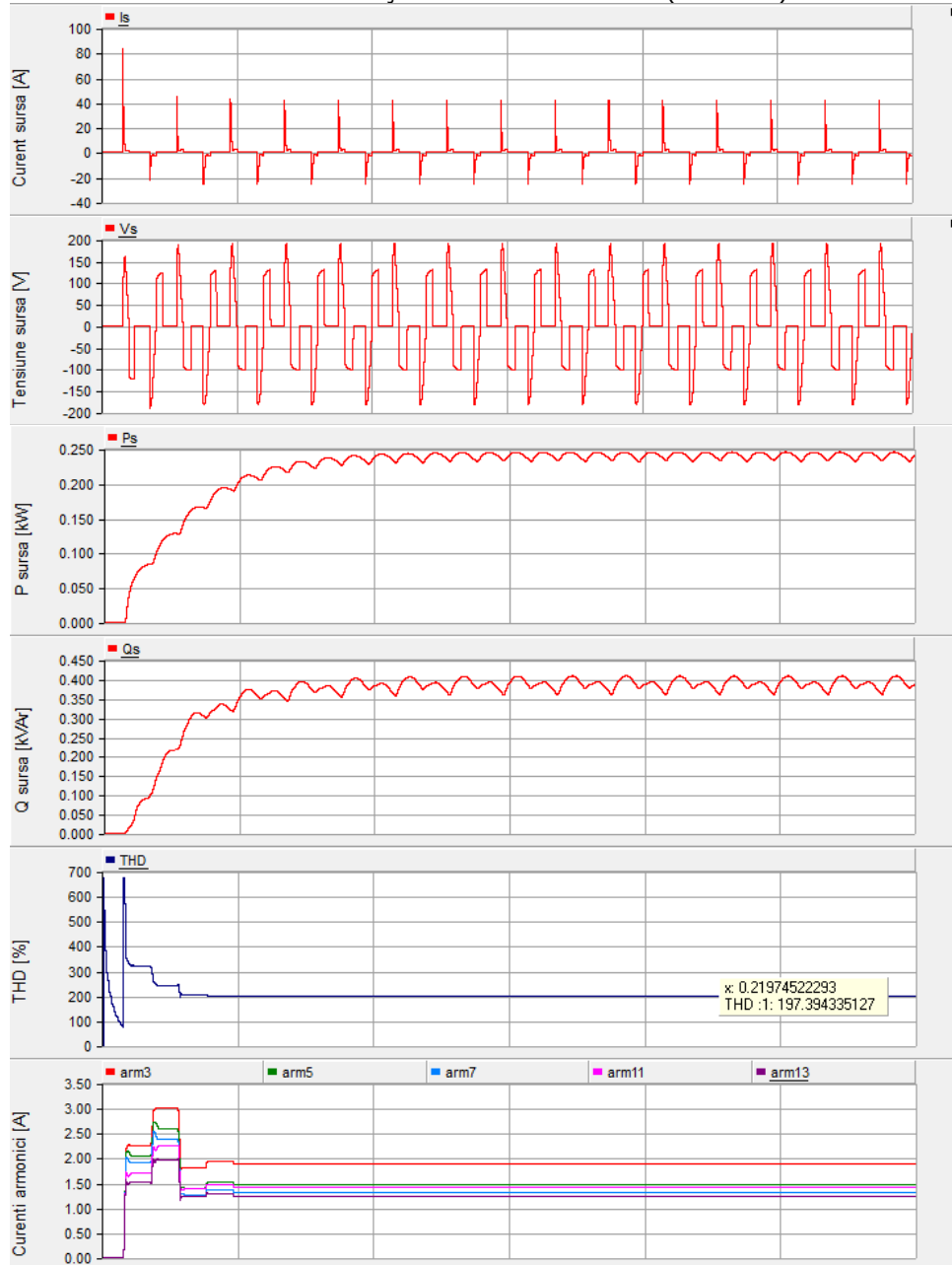
Parametri mășurați la sursa de alimentare ( $\alpha = 90^\circ$ )

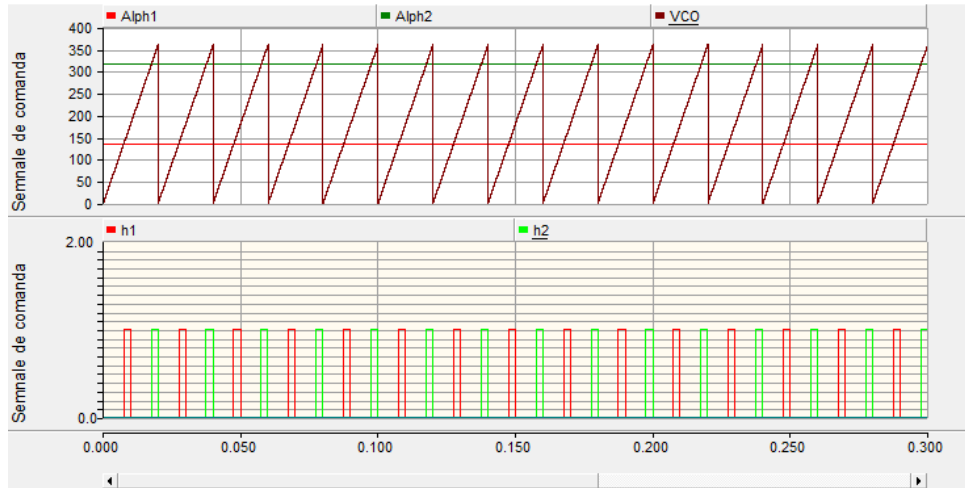




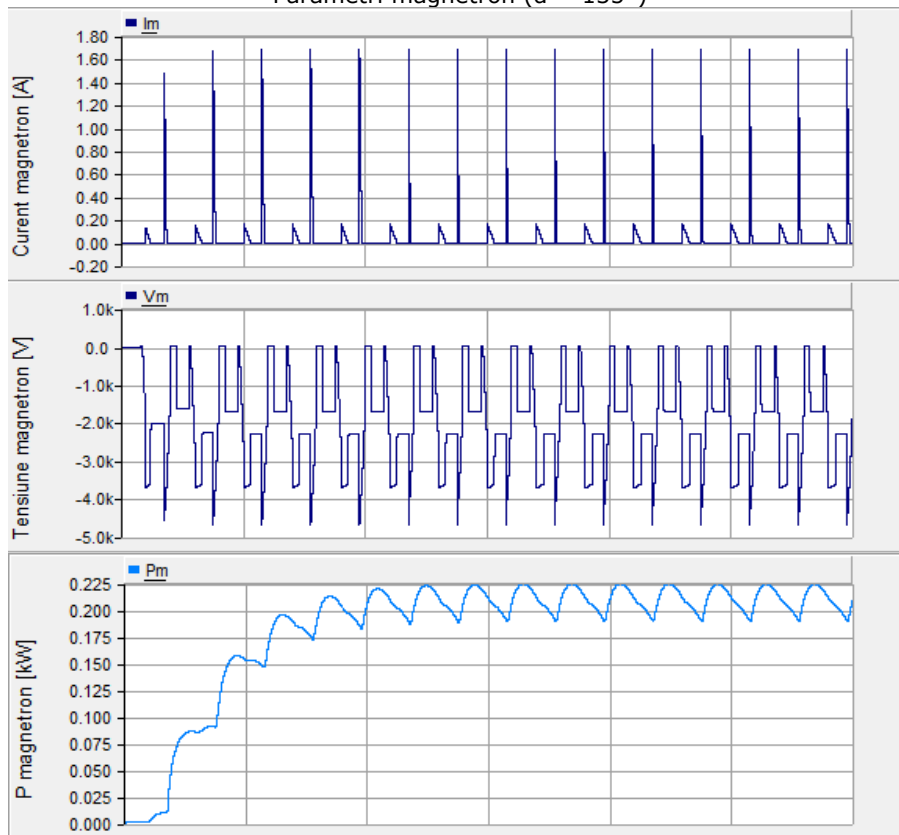
Parametri magnetron ( $\alpha = 90^\circ$ )



Parametri mășurați la sursa de alimentare ( $\alpha = 135^\circ$ )



Parametri magnetron ( $\alpha = 135^\circ$ )



În urma simulărilor s-a constatat că odată cu creșterea unghiului de comandă scade puterea activă absorbită de la sursă, dar crește distorsiunea armonică. Din această cauză la reglarea prin modificarea unghiului de comandă apar două efecte:

- crește complexitatea schemei de comandă, deci și prețul cuptorului cu microunde
- crește gradul de poluare armonică a celorlalți consumatori conectați la aceeași rețea de distribuție

Tab. 5.2. Variația parametrilor electrici la modificarea unghiului de comandă

Unghi comandă	THD [%]	Putere magnetron [kW]
0°	68	1,38
30°	99	1,31
45°	117	1,28
60°	133	1,26
90°	152	0,92
135°	197	0,23

## 6. Concluzii și contribuții personale

Această lucrare constituie un studiu privind echipamente și procese electrotermice în câmp de microunde. În urma studiului realizat asupra cuptoarelor multimod cu cavitate rezonantă au rezultat modele matematice și programe de simulare validate experimental, care au permis determinarea unor caracteristici extrem de dificil de obținut altfel. A fost analizată funcționarea cuptoarelor de serie din punct de vedere electric și a fost concepută o metodă de reglaj continuu a puterii bazată în cea mai mare parte pe componente ieftine, fabricate în serie mare. Această metodă a fost verificată prin simulări.

### Capitolul 1.

În primul capitol este făcută o introducere asupra problematicei încălzirii volumetrică prin mijloace electrice, este prezentată evoluția și stadiul actual al sistemelor de încălzire cu microunde.

### Capitolul 2.

Al doilea capitol conține considerații teoretice asupra încălzirii în câmp de microunde și a condițiilor și fenomenelor care limitează densitatea de putere disipată, și în consecință productivitatea și randamentul sistemelor de încălzire cu microunde.

### Capitolul 3.

Al treilea capitol conține considerații asupra câmpului electromagnetic în structurile de microunde: ghiduri de undă, cavități rezonante, aplicatoare.

### Capitolul 4.

Acest capitol tratează modelarea și simularea funcționării unui cuptor multimod în condițiile unei excitații constante cu frecvență fixă. Câmpul electromagnetic din aplicator și câmpul termic din sarcină sunt cuplate, simularea ținând cont de dependența caracteristicilor electrice care determină disipația termică de temperatură. Modelul electromagnetic este în domeniu timp, ceea ce îl face intensiv din punct de vedere al calculelor dar permite analizarea regimurilor tranzitorii. Modelul termodinamic al sarcinii permite simularea transformărilor de fază, chiar și a celor izoterme. Utilizând tehnici de programare avansate, autorul a reușit să obțină timpi de execuție rezonabili pentru simulări. Modelele sunt validate folosind măsurători realizate cu o cameră FLIR și sarcini speciale cu caracteristici cunoscute.

*Contribuțiile personale ale autorului sunt programe de simulare scrise în C++, măsurători experimentale, compararea rezultatelor și validarea modelelor. S-au dezvoltat două programe: primul face simulările propriu-zise și salvează rezultatele pe disc, al doilea este folosit la vizualizarea acestora și compararea cu ce s-a obținut din măsurători.*

### Capitolul 5.

În acest capitol sunt descrise și analizate soluțiile constructive pentru cuptoarele de mică putere pe partea electrică. Au fost concepute și realizate scheme de măsură și achiziție pentru curenți și tensiuni atât la rețea cât și pentru magnetron și celelalte componente. Au fost dezvoltate aplicații în mediul de

programare LabView care permit atât vizualizarea în timp real a formelor de undă achiziționate și analiza armonică a acestora, cât și salvarea pe disc a eșantioanelor pe durată de 20 secunde. A fost conceput un program scris în Java pentru analiza detaliată a semnalelor și un altul pentru a calcula parametri electrici ai magnetronului folosind formele de undă obținute. Utilizând acești parametri s-a realizat o simulare în mediul PSCAD-EMTDC pentru a obține un reglaj continuu al puterii.

*Contribuțiile personale ale autorului sunt: schemele de măsură, aplicațiile LabView, măsurătorile propriu-zise, programele Java și simularea în PSCAD.*

## Bibliografie

1. N. Golovanov, I. Şora ş.a., *Electrotermie si electrotehnologii*, Ed. Tehnică, Bucureşti, 1997
2. A. C. Metaxas, *Foundations of Electroheat*, Wiley, 1996
3. L. Assinder, *Microwave for food processing – industrial application of microwave energy*, Edited by R. Smith, IMPI Transactions 2, 92, 1974
4. A. C. Metaxas, R. J. Meredith, *Industrial Microwave Heating*, Peter Peregrinus Ltd., London, 1983
5. D. A. Copson, *Microwave heating*, A VI Publishing Co. Inc. New York 1975
6. N. Meisel, *Microwave energy application*, Newsletter XII, no. 6, pp.6-9, 1979
7. L. Bandici, *Modelarea numerică a câmpurilor electromagnetice și termice cuplate din instalațiile cu microunde*, teză de doctorat, Univ. Oradea, 2003
8. N. Voicu, *Sisteme cu microunde – elemente de teorie, construcție*, Matrix Rom Bucureşti, 2004
9. E. N. Bengtsson, T. Ohlsson, *Microwave heating in the food industry*, IEEE Proceedings 62, No. 1, pp. 44–45, 1974
10. R. E. Nistor, R. Chirilă, *Unde electromagnetice în medii anizotrope*, Editura Tehnică, Bucureşti, 1999
11. A. C. Metaxas, *The use of modeling in RF and microwave heating*, HIS-01, Heating by Internal Sources - Padua, September 12-14, 2001, pp. 319-328
12. R. J. Meredith, *Engineers' Handbook of Industrial Microwave Heating*, IEE Power Series 25, 1998
13. D. C. Dibben, A. C. Metaxas, *Time domain finite element analysis of multimode microwave applicators*, IEEE Transactions of Magnetics, 32, Number 3, pp.942-945, 1996
14. R. J. Cook, *Microwave cavity methods in high frequency dielectric measurements*, IPC Science And Technology Press Ltd., New York, 1973
15. P. W. McMillan, R. M. Clements, *A simple technique for measuring high microwave electric field strengths*, Microwave Power 15(1), 1980
16. S. Lefeuvre, M. Majdapadino, *Methode mixte pour calcul des champs dans un four charge*, Journees Europeenes sur des methodes numeriques en Electromagnetisme, Toulouse, 1993
17. T. Leuca, C. Molnar, L. Bandici, *The Electromagnetic Field Distribution Within Microwave Equipment*. ATEE - 27 November 2002, Bucureşti, România
18. H. S. Carslaw, J. C. Jaeger, *Conduction of heat in solids*, Oxford University Press, 1959
19. G. Rulea, *Tehnica Microundelor*, Editura Didactică și Pedagogică, Bucureşti, 1981.
20. G. Rulea, *Bazele teoretice și experimentale ale tehnicii microundelor*, Editura Științifică și Enciclopedică, Bucureşti, 1989.
21. S.T. Saad, *Microwave engineers' handbook*, vol I, Publishers Artech house, Dedham, Massachusetts, 1989.
22. D.D. Sandu, *Dispozitive electronice pentru microunde*. Editura Științifică și Enciclopedică, Bucureşti, 1982.
23. M.A. Silaghi, *Analiza câmpului electromagnetic în instalațiile de încălzire prin microunde*, teză de doctorat, Universitatea din Oradea, 1999.
24. M.A. Silaghi, H. Silaghi, *Tehnologii cu microunde. Tehnici informatice*. Editura Treira, Oradea, 2001.

25. C. Șora, *Bazele electrotehnicii*, Editura Didactică și Pedagogică, București, 1982.
26. A. Tomescu, F.M.G. Tomescu, *Sisteme cu microunde*. Editura Matrix Rom, București, 2001.
27. E. Nicolau, *Radiația și propagarea undelor electromagnetice*. Editura Academiei, 1989
28. C. Popescu, *Materiale electrotehnice. Proprietăți și utilizări*. Editura tehnică, București, 1976.
29. T.G. Mihran, *Microwave oven mode tuning by slab dielectric loads*. IEEE Transactions of Microwave Theory and Techniques MIT-26, no.6, pp. 380, 1978.
30. G. E. Lojevschi, *Linii de transmisie pentru frecvențe înalte*. Editura Tehnică, București, 1996.
31. T. A. Johnk, *Engineering Electromagnetic field and waves*, Wiley, New York, 1975.
32. P. F. Collins, *Field Theory of Guided Waves*. 2<sup>nd</sup> ed. IEEE Press, New York, 1991.
33. Șt. Cantaragiu, *Circuite de microunde. Metode de calcul*. Editura All Educațional, București, 2000.
34. I. Botez-Casian, *Teoria și proiectarea circuitelor de microunde*. Editura Matrix Rom, București, 1998.
35. A. Bossavit, *Solving Maxwell's Equations in a Closed Cavity, and the Question of Spurious Modes*. IEEE Trans. MAG-26, p.702-705, 1990.
36. Gh. Gavriiloaia, *Analiza numerică a câmpului de microunde*, Teora, București, 2001
37. I. Tripsa, M. Sălcudeanu, M. Costescu, *Optimizarea proceselor de turnare și solidificare a oțelului*, Editura Tehnică, București 1975
38. C. Abrudean, M. Pănoiu, C. Pănoiu, I. Șora, *Using Finite Difference Time Domain Method to Simulate the Electromagnetic Field in a Multimode Microwave Oven*, Proceedings of the 13th WSEAS International Conference on Computers, July 23 25, 2009, Rhodes, Greece, ISBN 978-960-474-099-4, ISSN 1790-5109
39. C. Abrudean, *Numerical Simulation of Phase Transitions in Heating or Refrigeration Processes*, 11th International Conference of Numerical Analysis and Applied Mathematics (ICNAAM), Greece, 2013, AIP Conference Proceedings vol. 1558 pages: 1329-1332, ISBN 978-0-7354-1185-2, ISSN 0094-243X
40. C. Abrudean, *Optimization of Iterative Calculus over Large Arrays in Multiprocessor Systems*, 11th International Conference of Numerical Analysis and Applied Mathematics (ICNAAM), Greece, 2013, AIP Conference Proceedings vol. 1558 pages: 1341-1344, ISBN 978-0-7354-1185-2, ISSN 0094-243X
41. T. Koryu Ishii (editor), *Handbook of Microwave Technology*, vol. 2, Academic Press Inc., ISBN 0-12-374697-3, San Diego, 1995
42. Rob Raluca, *Reducerea poluării electromagnetice la echipamente electrotermice de înaltă frecvență*, Ed. Politehnica, 2013, ISBN 978-606-554-705-6, ISSN 1842-7022
43. <http://www.rfemcdevelopment.eu/index.php/en/emc-emi-standards/en-61000-3-2-2006-a1-a2> - descărcat 09.06.2014



44. B. Bahani et. al, *Modeling of a New High Voltage Power Supply for Microwave Generators with Three Magnetrons*, International Journal of Electrical and Computer Engineering (IJECE), Vol. 3, No. 2, April 2013, ISSN 2088-8708
45. A. Iagăr, C. Abrudean, *Studiul câmpurilor electromagnetice și termice în cazul cuptoarelor de inducție cu creuzet pentru topirea oțelului feromagnetic*, Analele Facultății de Inginerie Hunedoara, tom I, Fasc.3, ISSN 1454 – 6531, 1999
46. A. Iagăr, C. Abrudean, *Optimizarea procesului de topire prin inducție a aluminiului*, Analele Facultății de Inginerie Hunedoara, tom II, Fasc.2, ISSN 1454 – 6531, 2000
47. C. Pănoiu, A. Iagăr, C. Abrudean, *The Functioning Simulation of an Electrical Installation Affluent to a Crucible Induction Furnace, By Using the PSCAD EMTDC Program*, VIIth International Symposium Interdisciplinary Regional Research – ISIRR 2003, pag. 462-467, 2003
48. A. Iagăr, C. Abrudean, *Numerical computation of the resistance furnaces masonry*, SIELMEN 2007, 6th International Conference on Electromechanical and Power Systems, Chișinău, Rep. Moldova, ISSN 1842-4805, pp. 408-411, 2007
49. A. Iagăr, C. Abrudean, C. Diniș, C. Pănoiu, *Research Upon Optimization of the Volume Induction Heating Process*, Metalurgia International, vol. XIII (2008), no. 9, pag. 27, 2008
50. A. Iagăr, I. Șora, D. Radu, C. Pănoiu, C. Abrudean, *Technological Practicability of the Numerical Modeling of Induction Heating Process in Steel Pieces*, Revista de metalurgia, ISSN 0034-8570, Vol. 45, No 1, 2009, pag. 20-31, 2009
51. C. Abrudean, I. Șora, M. Pănoiu, *Numerical Simulation of Electrothermal Processes With Phase Transitions in Materials With Nonlinear Thermal Characteristics*, 6th International Conference: Days of the Academy of Technical Science from Romania, Timișoara, 22-23 septembrie 2011, ISBN: 2066-6586, pag. 26-32, 2011

# ANEXE

## A1. Diagrame LabView

Diagrama LabView pentru aplicația de achiziție 20 secunde cu mărimi pe magnetron.

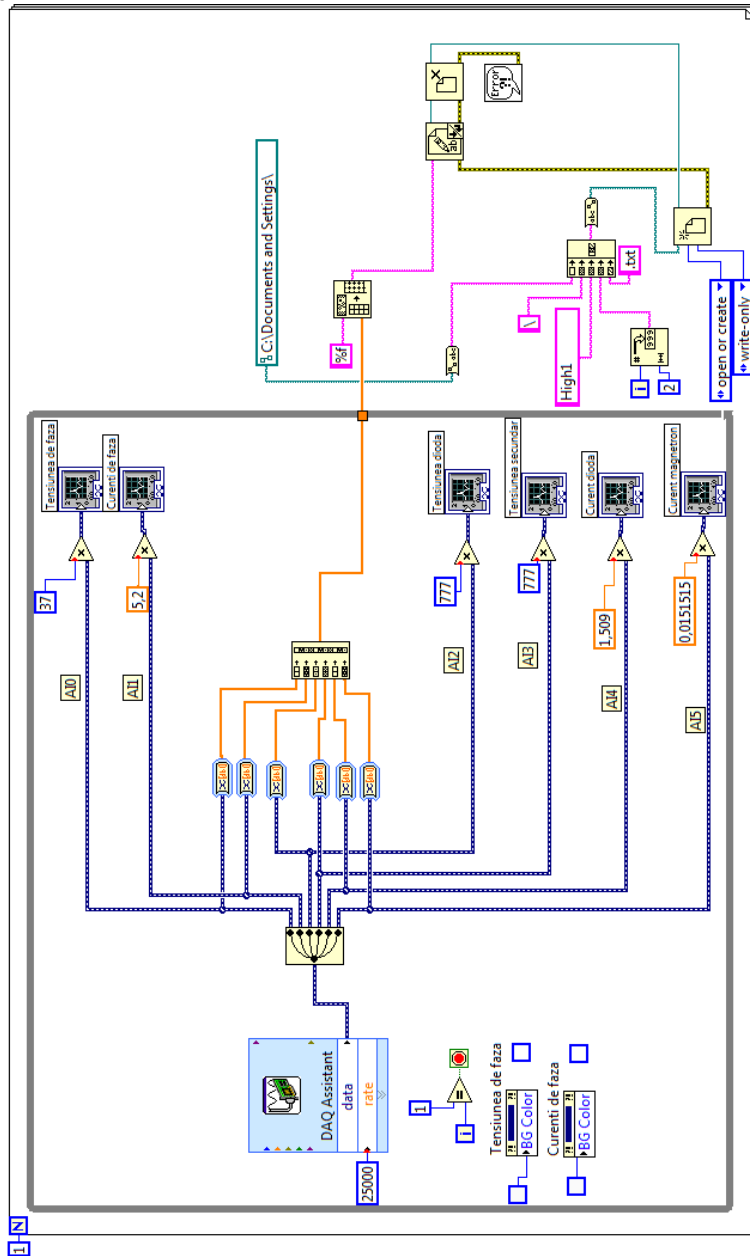


Diagrama LabView pentru aplicația de achiziție 20 secunde cu mărimi pe primarul transformatorului.

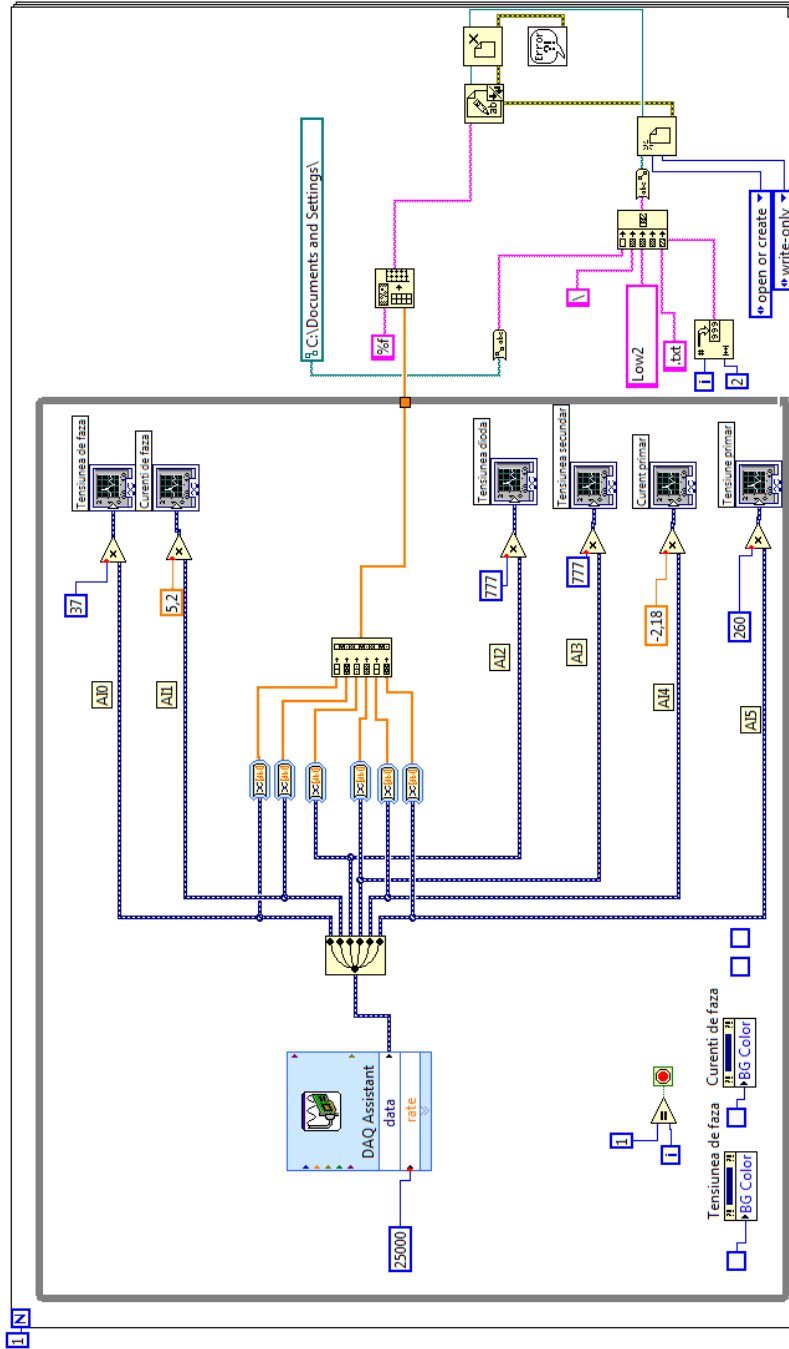
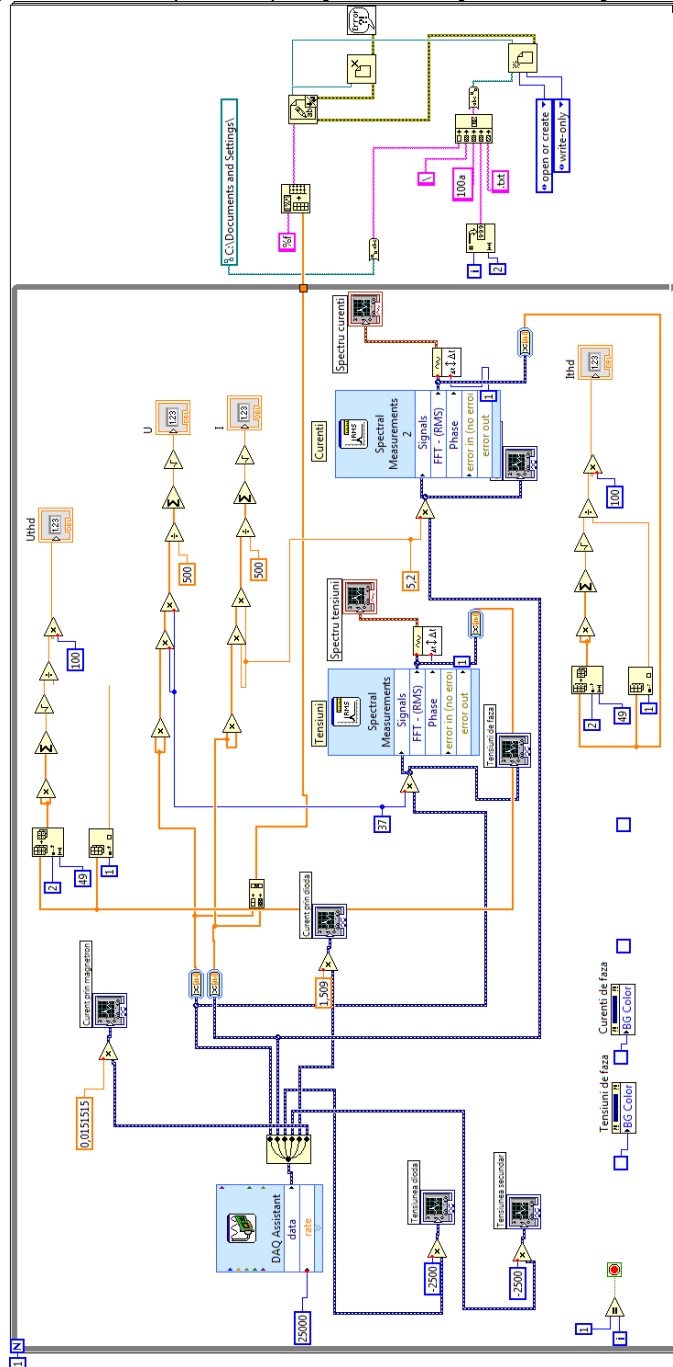


Diagrama LabView pentru aplicația de achiziție continuă și monitorizare.



## A2. Programul mwel (Java)

### Fişierul Main.java

```
package mwel;
import java.io.*;

public class Main {
    public static File INDIR
        = new File("d:\\Masuratori Cristi 10.02\\Alte 20 secunde");
    public static float[] FACTS = new float[] {
        37, 5.2f, 777, 777, 1.509f, 0.0151515f
    };
    public static void main(String[] args) throws Exception {
        //prepareFiles();
        new MainFrame();
    }
    private static void prepareFiles() throws Exception {
        if (!INDIR.isDirectory()) return;
        for (File f : INDIR.listFiles()) {
            if (!f.getName().toLowerCase().endsWith(".txt")) continue;
            if (f.getName().toLowerCase().startsWith("test")) continue;
            System.out.println("File: " + f);
            new DataFile(f, FACTS);
        }
    }
}
```

### Fişierul DataFile.java

```
package mwel;
import java.io.*;
import java.util.*;
import java.util.zip.*;

public class DataFile {
    public final static int VERSION = 3;
    public final static double SFREQ = 25000;
    public final static int NALTSPEC = 5;

    private File infile, floatfile = null, specfile = null;
    private int samples, channels, specs;
    private float[][] data;
    private float[] facts;
    private double f0;
    private Spectrum[][] spec;

    public int countChannels() {return channels;}
    public int countSamples() {return samples;}
    public int countSpectrums() {return specs;}
    public float getSample(int channel, int sample) {
        return data[channel][sample];
    }
    public double getF0() {return f0;}
    public Spectrum getSpectrum(int channel, int index) {
        return spec[channel][index];
    }
}
```

```

}

public DataFile(File file, float[] facts) throws IOException {
    this.infile = file;
    this.facts = facts;
    channels = facts.length;
    boolean flag = parseFloatFile();
    if (!flag) {
        System.out.println("parseFloatFile failed");
        parseInputFile();
        writeFloatFile();
    }
    if (flag) {
        flag = parseSpecFile();
        if (!flag) System.out.println("parseSpecFile failed");
    }
    if (!flag) {
        calculateSpectrums();
        writeSpecFile();
    }
}

private void writeSpecFile() throws IOException {
    DataOutputStream os = null;
    try {
        os = new DataOutputStream(new BufferedOutputStream(
            new FileOutputStream(getSpecFile())));
        os.writeInt(VERSION);
        os.writeDouble(SFREQ);
        os.writeLong(infile.lastModified());
        os.writeLong(infile.length());
        os.writeInt(channels);
        os.writeInt(specs);
        os.writeDouble(f0);
        for (float x : facts) os.writeFloat(x);
        for (Spectrum[] sa : spec) {
            for (Spectrum s : sa) sToFile(os);
        }
    } finally {
        try {os.close();} catch (Exception e) {}
    }
}

private boolean parseSpecFile() {
    if (!getSpecFile().isFile()) return false;
    DataInputStream is = null;
    try {
        is = new DataInputStream(new BufferedInputStream(
            new FileInputStream(getSpecFile())));
        if (is.readInt() != VERSION) return false;
        if (is.readDouble() != SFREQ) return false;
        if (is.readLong() != infile.lastModified()) return false;
        if (is.readLong() != infile.length()) return false;
        if (is.readInt() != channels) return false;
        specs = is.readInt();
        f0 = is.readDouble();
        int i, j;
        for (i = 0; i < channels; i++) {
            if (facts[i] != is.readFloat()) return false;
        }
        spec = new Spectrum[channels][specs];
        for (i = 0; i < channels; i++) {
            for (j = 0; j < specs; j++) {

```

```

        spec[i][j] = Spectrum.fromFile(is);
    }
    }
    return true;
} catch (Exception e) {
    return false;
} finally {
    try {is.close();} catch (Exception e) {}
}
}
private void calculateSpectrums() {
    f0 = calculateRealFrequency(0, 50);
    int nsp = (int)(NALTSPEC * SFREQ / 50); // esantioane pe spectru
    specs = samples / nsp;
    System.out.printf("samples=%d, specs=%d, nsp=%d\n", samples, specs,
nsp);
    spec = new Spectrum[channels][specs];
    int i, j;
    for (i = 0; i < channels; i++) {
        for (j = 0; j < specs; j++) {
            spec[i][j] = Spectrum.fromData((j * nsp) / SFREQ, data[i],
                j * nsp, nsp, SFREQ, f0);
        }
    }
}
private File getSpecFile() {
    if (specfile != null) return specfile;
    String fn = infile.getName();
    int k = fn.indexOf('.');
    if (k != -1) fn = fn.substring(0, k);
    fn += ".spec";
    File file = infile.getParentFile();
    if (file == null) specfile = new File(fn);
    else specfile = new File(file, fn);
    return specfile;
}
private void parseInputFile() throws IOException {
    InputStream is = null;
    try {
        is = new FileInputStream(infile);
        if (infile.getName().toLowerCase().endsWith(".txt.gz")) {
            is = new GZIPInputStream(is);
        }
        is = new BufferedInputStream(is);
        ArrayList<Float> list = new ArrayList<>();
        ByteArrayOutputStream buf = new ByteArrayOutputStream();
        int k; float x;
        while ((k = is.read()) != -1) {
            if (Character.isWhitespace((char)k)) {
                if (buf.size() == 0) continue;
                list.add(Float.parseFloat(buf.toString().replace(',', '
'.')));
                buf.reset();
            } else buf.write(k);
        }
        if (buf.size() != 0) {
            list.add(Float.parseFloat(buf.toString().replace(',', '
'.')));
        }
        samples = list.size() / channels;
        int kmax = channels * samples;
        data = new float[channels][samples];
    }
}

```

```

        Iterator<Float> it = list.iterator();
        for (k = 0; k < kmax; k++) {
            int chn = k % channels;
            x = facts[chn] * it.next();
            data[chn][k / channels] = x;
        }
    } finally {
        try {is.close();} catch (Exception e) {}
    }
}

private File getFloatFile() {
    if (floatfile != null) return floatfile;
    String fn = infile.getName();
    int k = fn.indexOf('.');
    if (k != -1) fn = fn.substring(0, k);
    fn += ".float";
    File file = infile.getParentFile();
    if (file == null) floatfile = new File(fn);
    else floatfile = new File(file, fn);
    return floatfile;
}

private void writeFloatFile() throws IOException {
    DataOutputStream os = null;
    try {
        os = new DataOutputStream(new BufferedOutputStream(
            new FileOutputStream(getFloatFile())));
        os.writeInt(VERSION);
        os.writeDouble(SFREQ);
        os.writeLong(infile.lastModified());
        os.writeLong(infile.length());
        os.writeInt(channels);
        os.writeInt(samples);
        for (float x : facts) os.writeFloat(x);
        for (float[] xa : data) {
            for (float x : xa) os.writeFloat(x);
        }
    } finally {
        try {os.close();} catch (Exception e) {}
    }
}

private boolean parseFloatFile() {
    if (!getFloatFile().isFile()) return false;
    DataInputStream is = null;
    try {
        is = new DataInputStream(new BufferedInputStream(
            new FileInputStream(getFloatFile())));
        if (is.readInt() != VERSION) return false;
        if (is.readDouble() != SFREQ) return false;
        if (is.readLong() != infile.lastModified()) return false;
        if (is.readLong() != infile.length()) return false;
        if (is.readInt() != channels) return false;
        samples = is.readInt();
        int i, j;
        for (i = 0; i < channels; i++) {
            if (facts[i] != is.readFloat()) return false;
        }
        data = new float[channels][samples];
        for (i = 0; i < channels; i++) {
            for (j = 0; j < samples; j++) {
                data[i][j] = is.readFloat();
            }
        }
    }
}

```



```

    }
    return true;
} catch (Exception e) {
    return false;
} finally {
    try {is.close();} catch (Exception e) {}
}
}
private double calculateRealFrequency(int ch, double startf) {
    double df = 0.1;
    double f = startf, c, oldc;
    oldc = c = calculateHarmAmpl(ch, f);
    while (Math.abs(df) > 1.0e-6) {
        do {
            oldc = c; f += df;
            c = calculateHarmAmpl(ch, f);
        } while (c >= oldc);
        df = - df / 2;
    }
    return f;
}
private double calculateHarmAmpl(int ch, double f) {
    double omi = 2 * Math.PI * f / SFREQ;
    double a, b, s, a1, b1;
    int i, nmax = data[ch].length, pnmax = nmax - 1;
    double T = nmax / SFREQ;
    a1 = data[ch][0] / 2; b1 = 0;
    for (i = 1; i < pnmax; i++) {
        s = data[ch][i];
        a = s * Math.cos(omi * i);
        b = s * Math.sin(omi * i);
        a1 += a; b1 += b;
    }
    s = data[ch][i];
    a = s * Math.cos(omi * i);
    b = s * Math.sin(omi * i);
    a1 += a / 2; b1 += b / 2;
    a1 /= SFREQ; b1 /= SFREQ;
    return (2 / T) * Math.sqrt(a1 * a1 + b1 * b1);
}
}
}

```

### Fişierul Spectrum.java

```

package mwel;
import java.io.*;

public class Spectrum {
    public final static int NH = 41;
    public final static double SQRT2 = Math.sqrt(2);
    private double time;
    private double[] c, phi;
    private double THD, THDp;

    protected Spectrum(double time) {
        this.time = time;
        c = new double[NH];
        phi = new double[NH];
    }
    public static Spectrum fromData(double time, float[] data,

```

```

int start, int length, double sfreq, double f0) {
    Spectrum s = new Spectrum(time);
    s.calculateHarmonic0(data, start, length, sfreq);
    int h;
    for (h = 1; h < NH; h++) {
        s.calculateHarmonic(h, data, start, length, sfreq, f0);
    }
    double thds = 0, thdps = 0;
    for (h = 2; h < NH; h++) {
        thds += s.c[h] * s.c[h];
        thdps += s.c[h] * s.c[h] * h;
    }
    s.THD = Math.sqrt(thds) / s.c[1];
    s.THDP = Math.sqrt(thdps) / s.c[1];
    return s;
}

public static Spectrum fromFile(DataInputStream is) throws IOException {
    Spectrum s = new Spectrum(is.readDouble());
    int k; s.phi[0] = 0;
    for (k = 0; k < NH; k++) s.c[k] = is.readDouble();
    for (k = 1; k < NH; k++) s.phi[k] = is.readDouble();
    s.THD = is.readDouble(); s.THDP = is.readDouble();
    return s;
}

public void toFile(DataOutputStream os) throws IOException {
    int k;
    os.writeDouble(time);
    for (k = 0; k < NH; k++) os.writeDouble(c[k]);
    for (k = 1; k < NH; k++) os.writeDouble(phi[k]);
    os.writeDouble(THD); os.writeDouble(THDP);
}

public double getTime() {return time;}
public double getC(int h) {return c[h];}
public double getCeff(int h) {return c[h] / SQRT2;}
public double getPhi(int h) {return phi[h];}
public double getTHD() {return THD;}
public double getTHDP() {return THDP;}
public int getNH() {return NH;}
private void calculateHarmonic(int h, float[] data, int start, int length,
double sfreq, double f0) {
    if (h <= 0 || h >= NH) throw new AssertionError();
    double omi = 2 * Math.PI * f0 * h / sfreq;
    double a, b, s, ai, bi;
    int i, nmax = start + length, pnmax = nmax - 1;
    double T = length / sfreq;
    ai = data[start] / 2; bi = 0;
    for (i = start + 1; i < pnmax; i++) {
        s = data[i];
        a = s * Math.cos(omi * i);
        b = s * Math.sin(omi * i);
        ai += a; bi += b;
    }
    s = data[i];
    a = s * Math.cos(omi * i);
    b = s * Math.sin(omi * i);
    ai += a / 2; bi += b / 2;
    ai *= (2 / T) / sfreq; bi *= (2 / T) / sfreq;
    c[h] = Math.sqrt(ai * ai + bi * bi);
    phi[h] = Math.atan2(ai, bi);
}

private void calculateHarmonic0(float[] data, int start, int length,

```

```

    double sfreq) {
        int i, nmax = start + length, pnmax = nmax - 1;
        double T = length / sfreq;
        double a = data[start] / 2;
        for (i = start + 1; i < pnmax; i++) a += data[i];
        a += data[i] / 2;
        a *= (1 / T) / sfreq;
        c[0] = a; phi[0] = 0;
    }
}

```

### Fişierul MainFrame.java

```

package mwel;
import java.io.*;
import java.awt.*;
import java.awt.event.*;
import javax.swing.*;
import javax.swing.filechooser.*;
import mwel.graph.*;

public class MainFrame extends JFrame {
    JFileChooser fileChooser;
    File file = null;
    PowerGraph powerGraph;
    HarmonicGraph harmonicGraph;
    UIGraph uiGraph;
    JLabel statusLabel;
    DataFile dataFile = null;

    public MainFrame() {
        setTitle("mwel");
        addWindowListener(new WindowAdapter() {
            public void windowClosing(WindowEvent e) {
                System.exit(0);
            }
        });
        if (Main.INDIR.isDirectory())
            fileChooser = new JFileChooser(Main.INDIR);
        else fileChooser = new JFileChooser();
        fileChooser.setFileFilter(
            new FileNameExtensionFilter("Text files", "txt"));
        setLayout(new BorderLayout(0, 3));
        JPanel upPanel = new JPanel(new BorderLayout(3, 3));
        JButton fileButton = new JButton("File");
        fileButton.addActionListener(new ActionListener() {
            public void actionPerformed(ActionEvent evt) {
                if (fileChooser.showOpenDialog(MainFrame.this)
                    != JFileChooser.APPROVE_OPTION) return;
                file = fileChooser.getSelectedFile();
                try {
                    statusLabel.setText("wait ...");
                    dataFile = new DataFile(file, Main.FACTS);
                    powerGraph.setDataFile(dataFile);
                    harmonicGraph.setDataFile(dataFile, 1, 0, true);
                    uiGraph.setDataFile(dataFile, 0, 1, 0);
                    MainFrame.this.setTitle("mwel - " + file.getName());
                    if (harmonicGraph.isOverEN())
                        statusLabel.setText("Over EN!");
                    else statusLabel.setText(String.format(
                        "f0=%f t=0", dataFile.getF0()));
                }
            }
        });
    }
}

```

```

        } catch (Exception e) {
            e.printStackTrace();
            statusLabel.setText("Error!");
        }
    }
});
statusLabel = new JLabel("open a file ...");
upPanel.add(fileButton, BorderLayout.WEST);
upPanel.add(statusLabel, BorderLayout.CENTER);
add(upPanel, BorderLayout.NORTH);
JPanel centerPanel = new JPanel(new GridLayout(3, 1));

powerGraph = new PowerGraph();
uiGraph = new UIGraph();
harmonicGraph = new HarmonicGraph();
centerPanel.add(powerGraph);
centerPanel.add(uiGraph);
centerPanel.add(harmonicGraph);

add(centerPanel, BorderLayout.CENTER);
powerGraph.addMouseListener(new MouseAdapter() {
    public void mouseClicked(MouseEvent evt) {
        Point p = evt.getPoint();
        harmonicGraph.setDataFile(dataFile, 1, powerGraph.getX(p.x),
true);

        uiGraph.setDataFile(dataFile, 0, 1, powerGraph.getX(p.x));
        if (harmonicGraph.isOverEN()) statusLabel.setText("Over EN!");
        else statusLabel.setText(String.format("f0=%f t=%f",
            dataFile.getF0(), powerGraph.getX(p.x)));
    }
});

Dimension scs = Toolkit.getDefaultToolkit().getScreenSize();
int winw = Math.min(600, scs.width);
int winh = Math.min(800, scs.height - 60);
setSize(winw, winh);
setLocation((scs.width - winw) / 2, (scs.height - winh - 30) / 2);
setVisible(true);
}
}

```

### Fişierul graph/AbstractGraph.java

```

package mwel.graph;
import java.awt.*;
import javax.swing.*;

public abstract class AbstractGraph extends JPanel {
    public final static int BORDER = 5;
    protected final static int HIN = 50;

    protected Rectangle rtot, rtin;
    protected double xmin, xmax, ymin, ymax;
    protected double px, py;
    protected int hin, vin;

    protected AbstractGraph() {
        super();
        setDoubleBuffered(true);
        rtot = rtin = null;
    }
}

```

```

        xmin = xmax = ymin = ymax = 0;
        px = py = 0; hin = vin = 0;
    }
    public void paintComponent(Graphics g) {
        super.paintComponent(g);
        g.setColor(Color.white);
        rtot = new Rectangle(BORDER, BORDER,
            getWidth() - 2 * BORDER, getHeight() - 2 * BORDER);
        g.fillRect(rtot.x, rtot.y, rtot.width, rtot.height);
        g.setClip(rtot.x, rtot.y, rtot.width, rtot.height);
        g.setColor(Color.lightGray);
    }
    protected abstract void calculateLimits();
    protected int transx(double x) {
        return (int)(rtin.x + rtin.width * x / (xmax - xmin));
    }
    protected int transy(double y) {
        return (int)((rtin.y + rtin.height) - rtin.height *
            (y - ymin) / (ymax - ymin));
    }
    protected static String d2s(double x) {
        if (x == 0) return "0";
        if (Math.abs(x - Math.round(x)) < 1e-3) x = Math.round(x);
        if (x - (int)x == 0) return String.valueOf((int)x);
        String s = String.format("%s", x).replace('.', ',');
        return s.replaceFirst("0{4,}\\d$", "");
    }
    protected double autoScaleY(double ymin, double ymax) {
        double ym = ymax - ymin;
        if (ym == 0) return 0;
        double yl = Math.pow(10, Math.floor(Math.log10(ym)));
        double ylm = ym / yl;
        if (ylm < 2) return yl / 5;
        else if (ylm < 4) return yl / 2;
        else return yl;
    }
}

```

### Fişierul graph/PowerGraph.java

```

package mwel.graph;

import java.awt.*;
import mwel.DataFile;

public class PowerGraph extends AbstractGraph {
    private double[] S, P, Q, D;
    private double dt;

    public PowerGraph() {
        super();
        S = P = Q = D = null;
    }

    public void setDataFile(DataFile df) {
        dt = DataFile.NALTSPEC * 0.02;
        int specs = df.countSpectrums();
        S = new double[specs]; P = new double[specs];
        Q = new double[specs]; D = new double[specs];
        int s, h;
        for (s = 0; s < specs; s++) {

```

```

mwel.Spectrum us = df.getSpectrum(0, s);
mwel.Spectrum is = df.getSpectrum(1, s);
double S1 = Math.abs(us.getC(1) * is.getC(1)) / 2;
P[s] = us.getC(0) * is.getC(0); Q[s] = 0;
double U = us.getC(0) * us.getC(0), I = is.getC(0) * is.getC(0);
for (h = 1; h < us.getNH(); h++) {
    U += us.getC(h) * us.getC(h);
    I += is.getC(h) * is.getC(h);
    P[s] += 0.5 * us.getC(h) * is.getC(h)
        * Math.cos(us.getPhi(h) - is.getPhi(h));
    Q[s] += 0.5 * us.getC(h) * is.getC(h)
        * Math.sin(us.getPhi(h) - is.getPhi(h));
}
U = Math.sqrt(U / 2); I = Math.sqrt(I / 2);
S[s] = U * I;
D[s] = Math.sqrt(S[s] * S[s] - S1 * S1);
}
repaint();
}
protected void calculateLimits() {
    if (S == null) return;
    xmin = 0; xmax = dt * S.length;
    int i;
    ymin = 0; ymax = S[0];
    for (i = 0; i < S.length; i++) {
        if (ymin > S[i]) ymin = S[i];
        if (ymin > P[i]) ymin = P[i];
        if (ymin > Q[i]) ymin = Q[i];
        if (ymin > D[i]) ymin = D[i];
        if (ymax < S[i]) ymax = S[i];
        if (ymax < P[i]) ymax = P[i];
        if (ymax < Q[i]) ymax = Q[i];
        if (ymax < D[i]) ymax = D[i];
    }
}
public double getX(int h) {
    if (rtin == null) return 0;
    double x = (h - hin) * (xmax - xmin) / rtin.width;
    if (x < xmin) return xmin;
    if (x > xmax) return xmax;
    return x;
}
public void paintComponent(Graphics g) {
    super.paintComponent(g);
    if (S == null) return;
    calculateLimits();
    double[][] ya = new double[][] {S, P, Q, D};
    Color[] ca = new Color[] {Color.black, Color.blue, Color.green,
Color.red};
    int k, i; double x1, x2, x, y;
    rtin = rtot;
    hin = HIN; vin = 15;
    FontMetrics fm = g.getFontMetrics();
    px = 4;
    rtin.height -= fm.getHeight() + 5 + vin;
    rtin.y = vin;
    py = autoScaleY(ymin, ymax);
    rtin.x = rtot.x + hin;
    rtin.width -= hin + 10;
    for (x = 0; x <= xmax; x += px) {
        g.setColor(Color.lightGray);

```

```

        g.drawLine(transx(x), transy(ymin), transx(x), transy(ymax));
        g.setColor(Color.black);
        String s = d2s(x);
        g.drawString(s, transx(x)
            - ((int)fm.getStringBounds(s, g).getWidth()) / 2,
            transy(ymin) + 14);
    }
    for (y = 0; y <= ymax; y += py) {
        g.setColor(Color.lightGray);
        g.drawLine(transx(xmin), transy(y), transx(xmax), transy(y));
        g.setColor(Color.black);
        String s = d2s(y);
        g.drawString(s, rtin.x
            - ((int)fm.getStringBounds(s, g).getWidth()) - 5,
            transy(y) + 5);
    }

    for (k = 0; k < 4; k++) {
        g.setColor(ca[k]);
        for (i = 1; i < S.length; i++) {
            x1 = (i - 1) * dt; x2 = i * dt;
            g.drawLine(transx(x1), transy(ya[k][i-1]),
                transx(x2), transy(ya[k][i]));
        }
    }
}
}
}

```

#### Fişierul graph/UIGraph.java

```

package mwel.graph;

import java.awt.*;
import mwel.DataFile;

public class UIGraph extends AbstractGraph {
    private final static int NS = 1000;
    private double[] ua, ia;
    private double y2max;
    public UIGraph() {
        super();
        ua = ia = null; y2max = 0;
    }
    public void setDataFile(DataFile df, int chu, int chi, double time) {
        int i, n = (int)(time * DataFile.SFREQ);
        if (n < 0) n = 0;
        if (n > df.countSamples() - NS) n = df.countSamples() - NS;
        ua = new double[NS]; ia = new double[NS];
        for (i = 0; i < NS; i++) {
            ua[i] = df.getSample(chu, i + n);
            ia[i] = df.getSample(chi, i + n);
        }
        repaint();
    }
    protected void calculateLimits() {
        if (ua == null) return;
        xmin = 0; xmax = NS / DataFile.SFREQ;
        int i; double v;
        ymax = Math.abs(ua[0]);
        y2max = Math.abs(ia[0]);
    }
}

```

```

    for (i = 1; i < NS; i++) {
        v = Math.abs(ua[i]);
        if (ymax < v) ymax = v;
        v = Math.abs(ia[i]);
        if (y2max < v) y2max = v;
    }
    ymin = -ymax;
}
public void paintComponent(Graphics g) {
    super.paintComponent(g);
    if (ua == null) return;
    calculateLimits();
    rtin = rtot;
    hin = HIN; vin = 15;
    FontMetrics fm = g.getFontMetrics();
    px = xmax / 8;
    rtin.height -= fm.getHeight() + 5 + vin;
    rtin.y = vin;
    py = autoScaleY(ymin, ymax);
    rtin.x = rtot.x + hin;
    rtin.width -= 2 * hin;
    double py2 = autoScaleY(-y2max, y2max);
    if (Math.floor(ymax / py) * py2 < y2max) py2 *= 2;
    y2max = py2 * ymax / py;
    double x, y;
    for (x = 0; x <= xmax; x += px) {
        g.setColor(Color.lightGray);
        g.drawLine(transx(x), rtin.y, transx(x), rtin.y + rtin.height);
        g.setColor(Color.black);
        String s = d2s(x * 1000);
        g.drawString(s, transx(x)
            - ((int)fm.getStringBounds(s, g).getWidth()) / 2,
            rtin.y + rtin.height + 14);
    }
    for (y = 0; y <= ymax; y += py) {
        g.setColor(Color.lightGray);
        g.drawLine(rtin.x, transy(y), rtin.x + rtin.width, transy(y));
        g.drawLine(rtin.x, transy(-y), rtin.x + rtin.width, transy(-y));
        g.setColor(Color.black);
        String s = d2s(y);
        g.drawString(s, rtin.x
            - ((int)fm.getStringBounds(s, g).getWidth()) - 5,
            transy(y) + 5);
        if (y != 0) g.drawString("-", s, rtin.x
            - ((int)fm.getStringBounds(s, g).getWidth()) - 5,
            transy(-y) + 5);
        s = d2s(y2max * y / ymax);
        g.drawString(s, rtin.x + rtin.width + 5, transy(y) + 5);
        if (y != 0) g.drawString("-", s,
            rtin.x + rtin.width + 5, transy(-y) + 5);
    }
    for (int i = 0; i < NS - 1; i++) {
        x = xmax * i / NS;
        g.setColor(Color.blue);
        g.drawLine(transx(x), transy(ua[i]),
            transx(xmax * (i + 1) / NS), transy(ua[i + 1]));
        g.setColor(Color.red);
        g.drawLine(transx(x), transy2(ia[i]),
            transx(xmax * (i + 1) / NS), transy2(ia[i + 1]));
    }
}
}

```



```

protected int transy2(double y) {
    return (int)((rtin.y + rtin.height) - rtin.height *
                (y + y2max) / (2 * y2max));
}
}

```

### Fişierul graph/HarmonicGraph.java

```

package mwel.graph;

import java.awt.*;
import mwel.DataFile;
import mwel.Spectrum;

public class HarmonicGraph extends AbstractGraph {
    private final double[] EN = new double[] {
        0, 0, 1.08, 2.3, 0.43, 1.14, 0.3, 0.77, 0.23, 0.4, 0.18, 0.33, 0.15,
        0.21, 0.13, 0.15, 0.11, 0.13, 0.1, 0.11, 0.09, 0.1, 0.08, 0.09, 0.07,
        0.09, 0.07, 0.08, 0.06, 0.07, 0.06, 0.07, 0.05, 0.06, 0.05, 0.06, 0.05,
        0.06, 0.04, 0.05, 0.04
    };
    Spectrum sp;
    boolean useEN;

    public HarmonicGraph() {
        super();
        sp = null; useEN = false;
    }

    public void setDataFile(DataFile df, int channel, double time, boolean
useEN) {
        this.useEN = useEN;
        int i, specs = df.countSpectrums();
        for (i = 0; i < specs; i++) {
            sp = df.getSpectrum(channel, i);
            if (sp.getTime() >= time) break;
        }
        repaint();
    }

    protected void calculateLimits() {
        if (sp == null) return;
        xmin = 0; xmax = sp.getNH();
        int i;
        ymin = 0; ymax = sp.getCeff(2);
        if (useEN) ymax = Math.max(ymax, 2.3);
        for (i = 2; i < sp.getNH(); i++) {
            if (ymax < sp.getCeff(i)) ymax = sp.getCeff(i);
        }
    }

    public void paintComponent(Graphics g) {
        super.paintComponent(g);
        if (sp == null) return;
        calculateLimits();
        rtin = rtot;
        hin = HIN; vin = 15;
        FontMetrics fm = g.getFontMetrics();
        px = 5;
        rtin.height -= fm.getHeight() + 5 + vin;
        rtin.y = vin;
        py = autoScaleY(ymin, ymax);
        rtin.x = rtot.x + hin;
    }
}

```

```

rtin.width -= hin + 10;

double y;
for (y = 0; y <= ymax; y += py) {
    g.setColor(Color.lightGray);
    g.drawLine(rtin.x, transy(y), rtin.x + rtin.width, transy(y));
    g.setColor(Color.black);
    String s = d2s(y);
    g.drawString(s, rtin.x
        - ((int)fm.getStringBounds(s, g).getWidth()) - 5,
        transy(y) + 5);
}
g.setColor(Color.black);
g.drawRect(rtin.x, rtin.y, rtin.width, rtin.height);
int v, i, bwidth = rtin.width / (sp.getNH() - 3) - 2;
for (i = 2; i < sp.getNH(); i++) {
    int hl = rtin.x + (i - 2) * rtin.width / (sp.getNH() - 2);
    if (i % 5 == 0) {
        String s = String.valueOf(i);
        g.setColor(Color.black);
        g.drawString(s, hl, rtin.y + rtin.height + 14);
    }
    if (useEN) {
        g.setColor(Color.green);
        v = transy(EN[i]);
        g.fillRect(hl, v, bwidth, vin + rtin.height - v);
    }
    g.setColor(Color.blue);
    v = transy(sp.getCeff(i));
    g.fillRect(hl, v, bwidth, vin + rtin.height - v);
}
}
public boolean isOverEN() {
    for (int i = 2; i < sp.getNH(); i++) {
        if (sp.getCeff(i) > EN[i]) return true;
    }
    return false;
}
}

```

### A3. Programul mwelim (Java)

Fişierul Main.java

```

package mwelim;
import java.io.*;

public class Main {
    private final static int SKIP_SAMPLES = 125000 + 0;

    private static double readDouble(InputStream is) throws IOException {
        ByteArrayOutputStream buf = new ByteArrayOutputStream(16);
        int ch;
        while ((ch = is.read()) != 9) {
            if (ch == -1) throw new IllegalStateException();
            buf.write(ch);
        }
    }
}

```

```

    }
    if (buf.size() < 3) throw new IllegalStateException();
    return Double.parseDouble(buf.toString().replace(',', '.'));
}
public static void main(String[] args) throws Exception {
    ByteArrayOutputStream buf = new ByteArrayOutputStream();
    InputStream is = new BufferedInputStream(new FileInputStream(
        "d:\\Masuratori Cristi 10.02\\imag-bun.txt"));
    int i, ch;
    for (i = 6 * SKIP_SAMPLES; i > 0; ) {
        ch = is.read();
        if (ch == -1) throw new IllegalStateException();
        if (ch == 9) i--;
    }
    double pm = 0, pa = 0, pax = 0;
    Alt au = new Alt(500), ai = new Alt(500);
    for (i = 0; i < 6 * 500; i++) {
        double x = readDouble(is);
        switch (i % 6) {
            default: break;
            case 0: pax = x * 37; break;
            case 1: pax *= x * 5.2; pa += pax; break;
            case 2:
                x *= 2500;
                au.set(i / 6, x);
                break;
            case 4:
                x *= -0.181;
                ai.set(i / 6, x);
                break;
        }
    }
    is.close();

    for (i = 0; i < 500; i++) {
        pm += au.get(i) * ai.get(i);
    }
    pa /= 500; pm /= 500;
    System.out.println("Pa = " + pa + " W");
    System.out.println("Pm = " + pm + " W");

    new MainFrame(au, ai);
}
}

```

### Fisierul Alt.java

```

package mwelim;
import java.util.*;

public class Alt {
    private double[] v;
    private double[] limits = null;
    public Alt(int size) {
        v = new double[size];
    }
    public int getCount() {return v.length;}
    public double get(int index) {return v[index];}
    public void set(int index, double x) {v[index] = x;}
    public double interpolate(double t) {

```

```

    t -= 0.02 * Math.floor(t / 0.02);
    int vl = v.length;
    int i = (int)(vl * t / 0.02);
    double t1 = (0.02 * i) / vl;
    double t2 = (0.02 * ((i + 1) % vl)) / vl;
    double v1 = v[i], v2 = v[(i + 1) % vl];
    return ((t2 - t) * v1 + (t - t1) * v2) / (t2 - t1);
}
public double[] getLimits() {
    if (limits != null) return limits;
    limits = new double[2];
    limits[0] = limits[1] = v[0];
    for (int i = 1; i < v.length; i++) {
        if (limits[0] > v[i]) limits[0] = v[i];
        if (limits[1] < v[i]) limits[1] = v[i];
    }
    return limits;
}
public void dump(java.io.PrintStream out) {
    for (int i = 0; i < v.length; i++) {
        out.printf("%f\t%f\n", (0.02 * i) / v.length, v[i]);
    }
}
private void level1() {
    double[] nv = new double[v.length];
    for (int k = 0; k < v.length; k++) {
        int km = (k == 0) ? (v.length - 1) : (k - 1);
        int kp = (k + 1) % v.length;
        nv[k] = (v[km] + v[kp]) / 2;
    }
    v = nv;
}
public void level(int steps) {
    for (int k = 0; k < steps; k++) level1();
}
public void clearNoise(int maxharm) {
    double[] A = new double[1 + maxharm];
    double[] B = new double[1 + maxharm];
    Arrays.fill(A, 0); Arrays.fill(B, 0);
    int k, h; double omegat;
    for (k = 0; k < v.length; k++) A[0] += v[k];
    A[0] /= v.length;
    for (h = 1; h <= maxharm; h++) {
        for (k = 0; k < v.length; k++) {
            omegat = k * Math.PI / 250.0;
            A[h] += v[k] * Math.cos(h * omegat);
            B[h] += v[k] * Math.sin(h * omegat);
        }
        A[h] *= 2.0 / v.length;
        B[h] *= 2.0 / v.length;
    }
    double[] nv = new double[v.length];
    for (k = 0; k < v.length; k++) {
        omegat = k * Math.PI / 250.0;
        nv[k] = A[0];
        for (h = 1; h <= maxharm; h++) {
            nv[k] += A[h] * Math.cos(h * omegat);
            nv[k] += B[h] * Math.sin(h * omegat);
        }
    }
    v = nv;
}

```

```
    }  
}
```

### Fişierul Magnetron.java

```
package mwelim;  
  
public class Magnetron {  
    private final Alt au, ai;  
    private Alt ax;  
    private final double R, Ud;  
    private boolean calculated;  
    private final int count;  
  
    public Magnetron(Alt au, Alt ai, double R, double Ud) {  
        if (au.getCount() != ai.getCount()) throw new AssertionError();  
        this.au = au; this.ai = ai;  
        count = ai.getCount();  
        this.R = R; this.Ud = Ud;  
        ax = new Alt(au.getCount());  
        calculated = false;  
    }  
    private void calculate() {  
        if (calculated) return;  
        for (int k = 0; k < count; k++) {  
            ax.set(k, au.get(k) > Ud ? (au.get(k) - Ud) / R : 0);  
        }  
        calculated = true;  
    }  
    public Alt getAlt() {  
        calculate();  
        return ax;  
    }  
    public double getDiff() {  
        calculate();  
        double s = 0, x;  
        for (int k = 0; k < count; k++) {  
            x = ai.get(k) - ax.get(k);  
            s += x * x;  
        }  
        return Math.sqrt(s / count);  
    }  
    public double getR() {return R;}  
    public double getUd() {return Ud;}  
}
```

### Fişierul MainFrame.java

```
package mwelim;  
import java.awt.*;  
import java.awt.event.*;  
import javax.swing.*;  
  
public class MainFrame extends JFrame {  
    private final static int BORDER = 10;  
    private final static double TMAX = 0.02;  
    private class GraphPanel extends JPanel {  
        private Rectangle rt = null;  
    }  
}
```

```

private Alt alt = null;
private GraphPanel(Alt alt) {
    super();
    this.alt = alt;
    setDoubleBuffered(true);
}
private int transx(double t) {
    return (int)(rt.x + rt.width * t / TMAX);
}
private int transy(double v) {
    return (int)((rt.y + rt.height) - rt.height *
        (v - alt.getLimits()[0]) / (alt.getLimits()[1] -
alt.getLimits()[0]));
}
private void setAlt(Alt alt) {
    this.alt = alt;
    repaint();
}
public void paintComponent(Graphics g) {
    super.paintComponent(g);
    double t, oldt, v, oldv;
    int x, y; String str;
    g.setColor(Color.white);
    rt = new Rectangle(BORDER, BORDER,
        getWidth() - 2 * BORDER, getHeight() - 2 * BORDER);
    g.fillRect(rt.x, rt.y, rt.width, rt.height);
    g.setClip(rt.x, rt.y, rt.width, rt.height);
    g.setColor(Color.lightGray);
    for (t = 0; t < TMAX; t += 0.01) {
        x = transx(t);
        g.drawLine(x, rt.y, x, rt.y + rt.height);
    }
    v = Math.max(Math.abs(alt.getLimits()[0]),
Math.abs(alt.getLimits()[1]));
    if (v > 0) {
        oldv = Math.pow(10, Math.floor(Math.log10(v)));
        for (v = oldv; ; v += oldv) {
            boolean flag = false;
            if (v < alt.getLimits()[1]) {
                flag = true; y = transy(v);
                g.drawLine(rt.x, y, rt.x + rt.width, y);
            }
            if (-v > alt.getLimits()[0]) {
                flag = true; y = transy(-v);
                g.drawLine(rt.x, y, rt.x + rt.width, y);
            }
            if (!flag) break;
        }
    }
    g.setColor(Color.black);
    y = transy(0);
    if (y >= rt.y && y <= rt.y + rt.height) {
        g.drawLine(rt.x, y, rt.x + rt.width, y);
    }
    g.setColor(Color.red);
    FontMetrics fm = g.getFontMetrics();
    str = String.format("%.3f", alt.getLimits()[1]);
    g.drawString(str, rt.x + 10, rt.y + fm.getAscent() + 10);
    str = String.format("%.3f", alt.getLimits()[0]);
    g.drawString(str, rt.x + 10, rt.y + rt.height - fm.getDescent() -
10);

```

```

        g.setColor(Color.blue);
        oldt = 0; oldv = alt.interpolate(0);
        for (int i = 1; i <= 2000; i++) {
            t = i * TMAX / 2000;
            v = alt.interpolate(t);
            g.drawLine(transx(olddt), transy(oldv), transx(t), transy(v));
            oldt = t; oldv = v;
        }
    }
}

private class Worker extends Thread {
    private Worker() {
        setDaemon(true);
    }
    public void run() {
        double oldd, dR, dUd;
        int step = 0;
        while (worker != null) {
            Magnetron oldm = mag;
            dR = mag.getR() / 100;
            while (Math.abs(dR) > 1e-6) {
                do {
                    oldd = mag.getDiff();
                    mag = new Magnetron(au, ai, mag.getR() + dR,
mag.getUd());
                } while (mag.getDiff() < oldd);
                dR = -dR / 2;
            }
            dUd = mag.getUd() / 100;
            while (Math.abs(dUd) > 1e-6) {
                do {
                    oldd = mag.getDiff();
                    mag = new Magnetron(au, ai, mag.getR(), mag.getUd() +
dUd);
                } while (mag.getDiff() < oldd);
                dUd = -dUd / 2;
            }
            String text = String.format("Ud=%.2f R=%.2f diff=%f step=%d",
                mag.getUd(), mag.getR(), mag.getDiff(), step++);
            statusLabel.setText(text);
            magPanel.setAlt(mag.getAlt());
            Thread.yield();
            if (Math.abs(oldm.getDiff() - mag.getDiff()) < 1e-9) worker =
null;
        }
        startButton.setText("Start");
    }
}

private Alt au = null, ai = null;
private GraphPanel magPanel = null;
private Magnetron mag;
private Worker worker;
private JLabel statusLabel;
private JButton startButton;

public MainFrame(Alt au, Alt ai) {
    worker = null;
    this.au = au; this.ai = ai;
    addWindowListener(new WindowAdapter() {
        public void windowClosing(WindowEvent e) {

```

```

        System.exit(0);
    }
});
setTitle("mwelim");
setLayout(new BorderLayout());
GraphPanel uPanel = new GraphPanel(au);
GraphPanel iPanel = new GraphPanel(ai);
JPanel centerPanel = new JPanel(new GridLayout(3, 1));
centerPanel.add(uPanel);
centerPanel.add(iPanel);
mag = new Magnetron(au, ai, 560, 3700);
magPanel = new GraphPanel(mag.getAlt());
centerPanel.add(magPanel);
add(centerPanel, BorderLayout.CENTER);

JPanel lowPanel = new JPanel(new BorderLayout(3, 1));
statusLabel = new JLabel("ready");
lowPanel.add(statusLabel, BorderLayout.CENTER);
startButton = new JButton("Start");
lowPanel.add(startButton, BorderLayout.WEST);
add(lowPanel, BorderLayout.SOUTH);

startButton.addActionListener(new ActionListener() {
    public void actionPerformed(ActionEvent ae) {
        if (worker == null) {
            startButton.setText("Stop");
            worker = new Worker(); worker.start();
        } else {
            worker = null;
        }
    }
});
Dimension scs = Toolkit.getDefaultToolkit().getScreenSize();
int winw = Math.min(600, scs.width);
int winh = Math.min(600, scs.height - 60);
setSize(winw, winh);
setLocation((scs.width - winw) / 2, (scs.height - winh - 30) / 2);
setVisible(true);
}
}

```

#### A4. Programul de simulare a încălzirii în cuptor (C++)

##### Fișierul StdAfx.h

```

// stdafx.h : include file for standard system include files,
// or project specific include files that are used frequently, but
// are changed infrequently
//

#ifdef _AFXDLL
#include <afxres.h>
#endif

#ifndef _AFX_NO_STDAFX_SUPPORT
#include <afxtempl.h>
#endif

#if !defined(AFX_STDAFX_H_D7E99CBD_0C33_425C_B11C_63D82DD9704B_INCLUDED_)
#define AFX_STDAFX_H_D7E99CBD_0C33_425C_B11C_63D82DD9704B_INCLUDED_
#define WINVER 0x0501

#if _MSC_VER > 1000
#pragma once
#endif // _MSC_VER > 1000

#define VC_EXTRALEAN // Exclude rarely-used stuff from Windows headers

```



```
#include <afxwin.h>           // MFC core and standard components
#include <afxext.h>           // MFC extensions
#include <afxdtctl.h>        // MFC support for Internet Explorer 4 Common
Controls
#ifdef _AFX_NO_AFXCMN_SUPPORT
#include <afxcmn.h>          // MFC support for Windows Common Controls
#endif // _AFX_NO_AFXCMN_SUPPORT

#pragma warning (disable: 4244 4305)
#include <stdio.h>
#include <io.h>
#include <math.h>
#include <float.h>
#include <direct.h>
#include <afxmt.h>

#define PAYLOAD 3

#if (PAYLOAD == 1)
    #define MAXTIME 60
#elif (PAYLOAD == 2)
    #define MAXTIME 30
#elif (PAYLOAD == 3)
    #define MAXTIME 60
#endif

#define EXCIT 800
#define DIVFACT 20
#define TDIV 100
#define INIT_STEPS 5000
#define STEPS 200
#define MAXTEMP 5000
#define MAXSTEPS 2000000

//Constante matematice
#define NAN (sqrt(-1.0)) //Not a Number
#define M_PI 3.141592653589793238
#define M_PI_2 1.570796326794896619
#define M_2_PI 6.283185307179586477
#define M_PI_180 0.017453292519943296
#define M_180_PI 57.29577951308232088
#define M_E 2.718281828459045235
#define M_1_E 0.367879441171442322

//Constante fizice
#define MIU0 1.2566370614359173e-6 //permeabilitatea magnetica a vidului
#define EPS0 8.8541878176e-12 //permitivitatea dielectrica a vidului
#define LIGHT 2.99792458e8 //viteza luminii in vid
#define J_KCAL 4185.5 //transformarea kcal -> J
#define STEFAN_BOLTZMANN 5.66961E-8 //constanta Stefan-Boltzmann
#define KELVIN 273.16

#define DEL(x) if (x) {delete x; x = NULL;}
#define MIN(x, y) ((x < y) ? (x) : (y))
#define MAX(x, y) ((x > y) ? (x) : (y))
#define ABS(x) ((x < 0) ? (-x) : (x))

#define THREAD_PRIORITY THREAD_PRIORITY_BELOW_NORMAL
CString getWorkDir();
```

```

//{{AFX_INSERT_LOCATION}}
// Microsoft Visual C++ will insert additional declarations immediately before
the previous line.

#endif //
!defined(AFX_STDAFX_H__D7E99CBD_0C33_425C_B11C_63D82DD9704B__INCLUDED_)

```

### Fişierul Bitmap.h

```

#ifndef __BITMAP_H
#define __BITMAP_H

BOOL Save256ColorBitmap(HDC hdc,RECT& r,LPCTSTR filename);
BOOL SaveMonochromeBitmap(HDC hdc, RECT& r,
    LPCTSTR filename, COLORREF bkcolor);
BOOL SaveTrueColorBitmap(HDC hdc, RECT& r, LPCTSTR filename);
BOOL SaveTrueColorBitmap(HDC hdc, RECT& r, HBITMAP bmp, LPCTSTR filename);

#endif// __BITMAP_H

```

### Fişierul Bitmap.cpp

```

#include "stdafx.h"
#include "buffers.h"

#include "utils.h"

BOOL BuildHistogram(HDC hdc, RECT& rect,
    COLORREF *buffer, int *ncolor) {
    int j,k,x,y,ncol=0;
    COLORREF c;
    BOOL changed;
    int *nhits=new int[256];
    if (!nhits) return FALSE;
    for (k = 0;k < 256;k++) {
        buffer[k] = CLR_INVALID; nhits[k] = 0;
    }
    for (x = rect.left; x < rect.right; x++) {
        for (y = rect.top; y < rect.bottom; y++) {
            c = GetPixel(hdc, x, y);
            for (k = 0;(k < ncol) && (buffer[k] != CLR_INVALID); k++)
                if (c == buffer[k]) {nhits[k]++; break;}
            if (c != buffer[k]) {ncol++; buffer[k] = c;}
        }
    }
    do { //sort...
        changed=FALSE;
        for (k=0;k<ncol-1;k++) {
            if (nhits[k]<nhits[k+1]) {
                changed=TRUE;
                j=nhits[k];nhits[k]=nhits[k+1];nhits[k+1]=j;
                c=buffer[k];buffer[k]=buffer[k+1];buffer[k+1]=c;
            }
        }
        for (k=ncol-1;k>0;k--) {
            if (nhits[k-1]<nhits[k]) {
                changed=TRUE;
                j=nhits[k];nhits[k]=nhits[k-1];nhits[k-1]=j;
                c=buffer[k];buffer[k]=buffer[k-1];buffer[k-1]=c;
            }
        }
    } while (changed);
}

```



```

LPCTSTR filename, COLORREF bkcolor) {
    int x, y, dmx;
    int dimx = r.right - r.left, dimy = r.bottom - r.top;
    int val;
    COLORREF cp;
    FILE * file=fopen(filename,"wb");
    BITMAPFILEHEADER bf;
    BITMAPINFOHEADER bi;
    RGBQUAD rgbBlack={0,0,0,0}, rgbWhite={255, 255, 255, 0};
    memset(&bf, 0, sizeof(BITMAPFILEHEADER));
    memset(&bi, 0, sizeof(BITMAPINFOHEADER));
    dmx = ((dimx & 0x03) ? (1 + (dimx >> 2)) : (dimx >> 2)) << 2;
    DWORD datasize=dmx * dimy / 8;
    DWORD rgbqsize = 2*sizeof(RGBQUAD);
    bf.bfType = *(WORD *)("BM");
    bf.bfSize = sizeof(BITMAPFILEHEADER) +
        sizeof(BITMAPINFOHEADER) + rgbqsize + datasize;
    bf.bfOffBits = sizeof(BITMAPFILEHEADER)+
        sizeof(BITMAPINFOHEADER)+rgbqsize;
    bi.biSize = sizeof(BITMAPINFOHEADER);
    bi.biWidth = dimx;
    bi.biHeight = dimy;
    bi.biPlanes = 1;
    bi.biBitCount = 1;
    bi.biCompression = BI_RGB;
    bi.biClrUsed = 2;
    fwrite(&bf, sizeof(BITMAPFILEHEADER), 1, file);
    fwrite(&bi, sizeof(BITMAPINFOHEADER), 1, file);
    fwrite(&rgbWhite, sizeof(RGBQUAD), 1, file);
    fwrite(&rgbBlack, sizeof(RGBQUAD), 1, file);
    int count, bytes;
    for (y = dimy-1; y >= 0; y--) {
        val = count = bytes = 0;
        for (x = 0; x < dimx; x++) {
            cp = GetPixel(hdc, r.left + x, r.top + y);
            if ((cp != bkcolor) && (x < dimx))
                val |= (0x80 >> count);
            if (count == 7) {
                fputc(val, file); bytes++;
                count = 0; val = 0;
            } else count++;
        }
        if (count) {fputc(val, file); bytes++;}
        while (bytes % 4) {fputc(0, file); bytes++;}
    }
    fclose(file); return TRUE;
}

BOOL SaveTrueColorBitmap(HDC hdc, RECT& r, LPCTSTR filename) {
    FILE * file=fopen(filename,"wb");
    if (!file) return FALSE;
    int x, y, dmx;
    int dimx = r.right - r.left, dimy = r.bottom - r.top;
    COLORREF cp;
    BITMAPFILEHEADER bf;
    BITMAPINFOHEADER bi;
    RGBQUAD rgbBlack={0,0,0,0}, rgbWhite={255, 255, 255, 0};
    memset(&bf, 0, sizeof(BITMAPFILEHEADER));
    memset(&bi, 0, sizeof(BITMAPINFOHEADER));

    dmx = dimx*3;
    dmx = ((dmx & 0x03) ? (1 + (dmx >> 2)) : (dmx >> 2)) << 2;

```

```

    DWORD datasize = dimx * dimy * 3;
    bf.bfType = *(WORD *)("BM");
    bf.bfSize = sizeof(BITMAPFILEHEADER) +
        sizeof(BITMAPINFOHEADER) + datasize;
    bf.bfOffBits = sizeof(BITMAPFILEHEADER) +
        sizeof(BITMAPINFOHEADER);
    bi.biSize = sizeof(BITMAPINFOHEADER);
    bi.biWidth = dimx;
    bi.biHeight = dimy;
    bi.biPlanes = 1;
    bi.biBitCount = 24;
    bi.biCompression = BI_RGB;
    bi.biClrUsed = 0;
    fwrite(&bf, sizeof(BITMAPFILEHEADER), 1, file);
    fwrite(&bi, sizeof(BITMAPINFOHEADER), 1, file);
    int bytes;
    for (y = dimy-1; y >= 0; y--) {
        for (x = 0; x < dimx; x++) {
            cp = GetPixel(hdc, r.left + x, r.top + y);
            fputc(GetBValue(cp), file);
            fputc(GetGValue(cp), file);
            fputc(GetRValue(cp), file);
        }
        for (bytes = 3 * dimx; bytes % 4; bytes++) fputc(0, file);
    }
    fclose(file); return TRUE;
}
BOOL SaveTrueColorBitmap(HDC hdc, RECT& r, HBITMAP bmp, LPCTSTR filename) {
    FILE * file=fopen(filename,"wb");
    if (!file) return FALSE;
    int dimx, dimy = r.right - r.left, dimy = r.bottom - r.top;
    BITMAPFILEHEADER bf;
    BITMAPINFOHEADER bi;
    memset(&bf, 0, sizeof(BITMAPFILEHEADER));
    memset(&bi, 0, sizeof(BITMAPINFOHEADER));

    dimx = dimx*3;
    dimx = ((dimx & 0x03) ? (1 + (dimx >> 2)) : (dimx >> 2)) << 2;
    DWORD datasize = dimx * dimy;
    bf.bfType = *(WORD *)("BM");
    bf.bfSize = sizeof(BITMAPFILEHEADER) +
        sizeof(BITMAPINFOHEADER) + datasize;
    bf.bfOffBits = sizeof(BITMAPFILEHEADER) +
        sizeof(BITMAPINFOHEADER);
    bi.biSize = sizeof(BITMAPINFOHEADER);
    bi.biWidth = dimx;
    bi.biHeight = dimy;
    bi.biPlanes = 1;
    bi.biBitCount = 24;
    bi.biCompression = BI_RGB;
    bi.biClrUsed = 0;
    fwrite(&bf, sizeof(BITMAPFILEHEADER), 1, file);
    fwrite(&bi, sizeof(BITMAPINFOHEADER), 1, file);

    char *buffer = new char[datasize];
    int res = GetDIBits(hdc, bmp, 0, dimy, buffer, (BITMAPINFO*)&bi,
DIB_RGB_COLORS);
    fwrite(buffer, 1, datasize, file);

    delete buffer;
    fclose(file); return TRUE;
}

```

```

}

```

### Fişierul buffers.h

```

/////////////////////////////////////////////////////////////////
// buffers.h - header file
/////////////////////////////////////////////////////////////////

#include "DataFile.h"

#ifndef __BUFFERS_H
#define __BUFFERS_H

/////////////////////////////////////////////////////////////////
//class DoubleBuffer
class DoubleBuffer {
    double *buf;
    int n;
public:
    DoubleBuffer();
    DoubleBuffer(DoubleBuffer& fb);
    DoubleBuffer(double *fb, int count);
    ~DoubleBuffer();
    void empty() {setSize(0);}
    bool isEmpty() {return (n == 0);}
    void setSize(int size);
    int size() {return n;}
    void add(double x);
    void insert(double x, int pos);
    void remove(int pos);
    void sort();
    void multiply(double x);
    int binarySearch(double x);
    int binarySearch2(double x);
    CString toString();
    void fromString(LPCTSTR s);
    void fromRealBuffer(DoubleBuffer& fb);
    void fromArray(double *fb, int count);
    void writeToFile(DataFile *df);
    void readFromFile(DataFile *df);
    double& operator[] (UINT index) {return buf[index];}
    double interpolate(double x);
};

#endif// __BUFFERS_H

```

### Fişierul buffers.cpp

```

#include "stdafx.h"
#include "buffers.h"

bool isRealPart(char ch) {
    return isdigit(ch) || (ch == '.') || (tolower(ch) == 'e');
}

/////////////////////////////////////////////////////////////////
//class DoubleBuffer
DoubleBuffer::DoubleBuffer() {

```

```

    n = 0; buf = NULL;
}
DoubleBuffer::DoubleBuffer(DoubleBuffer& rb) {
    n = 0; buf = NULL;
    fromRealBuffer(rb);
}
DoubleBuffer::DoubleBuffer(double *rb, int count) {
    n = 0; buf = NULL;
    fromArray(rb, count);
}
DoubleBuffer::~DoubleBuffer() {
    if (buf) delete buf;
}
void DoubleBuffer::setSize(int size) {
    if (size <= 0) {
        if (buf) delete buf; n = 0; buf = NULL;
        return;
    }
    if (buf == NULL) {
        buf = new double[size]; n = size;
        memset(buf, 0, sizeof(double)*size);
        return;
    }
    int nx = (size < n) ? size : n;
    double *nwbuf = new double[size];
    memset(nwbuf, 0, sizeof(double)*size);
    memcpy(nwbuf, buf, sizeof(double)*nx);
    delete buf; buf = nwbuf;
    n = size; return;
}
void DoubleBuffer::add(double x) {
    setSize(n+1);
    buf[n-1] = x;
}
void DoubleBuffer::insert(double x, int pos) {
    setSize(n+1);
    memmove(buf+pos+1, buf+pos, sizeof(double)*(n-pos-1));
    buf[pos] = x;
}
void DoubleBuffer::remove(int pos) {
    if (n <= 1) {setSize(0); return;}
    memmove(buf+pos, buf+pos+1, sizeof(double)*(n-pos-1));
    setSize(n-1);
}
void DoubleBuffer::sort() {
    if (n <= 1) return;
    bool done;
    int k; double aux;
    do {
        done = true;
        for (k = 0; k < n-1; k++) {
            if (buf[k] > buf[k+1]) {
                done = false;
                aux = buf[k];
                buf[k] = buf[k+1];
                buf[k+1] = aux;
            }
        }
    } while(!done);
}
void DoubleBuffer::multiply(double x) {

```

```

    if (!buf) return;
    for (int k = 0; k < n; k++) buf[k] *= x;
}
int DoubleBuffer::binarySearch(double x) {
    if (!buf) return 0;
    int a = 0, b = n - 1, c = (a + b) >> 1;
    if (x >= buf[b]) return b - 1;
    while (c != a) {
        if (x >= buf[c]) a = c;
        else b = c;
        c = (a + b) >> 1;
    }
    return c;
}
int DoubleBuffer::binarySearch2(double x) {
    if (!buf) return -1;
    if (x < buf[0] || x > buf[n - 1]) return -1;
    int a = 0, b = n - 2, c = (a + b) >> 1;
    if (x >= buf[b]) return b - 1;
    while (c != a) {
        if (x >= buf[c]) a = c;
        else b = c;
        c = (a + b) >> 1;
    }
    return c;
}
CString DoubleBuffer::toString() {
    int k; CString res, cs;
    for (k = 0; k < n; k++) {
        cs.Format("%g", buf[k]);
        res += cs;
        if (k < n-1) res+=' ';
    }
    return res;
}
void DoubleBuffer::fromString(LPCTSTR s) {
    double x;
    DEL(buf); n = 0;
    if (s == NULL) return;
    int j = 0, len = (int)strlen(s);
    do {
        for (; j < len; j++) if (isRealPart(s[j])) break;
        if (j < len) if (sscanf(s+j, "%lg", &x) add((double)x);
        for (; j < len; j++) if (!isRealPart(s[j])) break;
    } while(j < len);
}
void DoubleBuffer::fromRealBuffer(DoubleBuffer& rb) {
    empty();
    if (rb.buf == NULL) return;
    buf = new double[rb.n]; n = rb.n;
    memcpy(buf, rb.buf, sizeof(double)*n);
}
void DoubleBuffer::fromArray(double *rb, int count) {
    empty();
    if (count <= 0) return;
    buf = new double[count]; n = count;
    memcpy(buf, rb, sizeof(double)*count);
}
void DoubleBuffer::writeToFile(DataFile *df) {
    df->writeInt(n);
    df->write(buf, n*sizeof(double));
}

```



```

}
void DoubleBuffer::readFromFile(DataFile *df) {
    empty();
    n = df->readInt();
    setSize(n);
    df->read(buf, n*sizeof(double));
}
double DoubleBuffer::interpolate(double x) {
    int k = (int)(x * n);
    if (k < 0) k = 0;
    if (k > n - 2) k = n - 2;
    double kx = x * n;
    return buf[k + 1] * (kx - k) + buf[k] * (k + 1 - kx);
}

```

### Fişierul DataFile.h

```

#ifndef __DATA_FILE_H
#define __DATA_FILE_H

class DataFile {
    FILE *file;
    CString filename;
    BOOL bWrite, bRead;
    void tempName();
public:
    DataFile();
    ~DataFile();
    void assign(LPCTSTR filename);
    CString getName() {return filename;}
    void openRead();
    void openWrite();
    void openExisting();
    void openCreate();
    void close();
    void remove();
    BOOL rename(LPCTSTR name);
    BOOL copy(LPCTSTR name);
    BOOL isOpen() {return (file != NULL);}
    FILE *getFile() {return file;}
    void flush();
    void seek(long pos);
    long tell();
    long size();
    BOOL canRead() {return bRead;}
    BOOL canWrite() {return bWrite;}

    void writeChar(char x);
    void writeByte(BYTE x);
    void writeShort(short x);
    void writeWord(WORD x);
    void writeInt(int x);
    void writeDword(DWORD x);
    void writeFloat(float x);
    void writeDouble(double x);
    void writeString(LPCTSTR x);
    void write(LPVOID x, size_t length);

    char readChar();
    BYTE readByte();

```

```

    short readShort();
    WORD readWord();
    int readInt();
    DWORD readDword();
    float readFloat();
    double readDouble();
    CString readString();
    void read(LPVOID buf, size_t length);
};
#endif//__DATA_FILE_H

```

### Fişierul DataFile.cpp

```

#include "stdafx.h"
#include "DataFile.h"

/////////////////////////////////////////////////////////////////
//class DataFile
DataFile::DataFile() {
    file = NULL; bRead = bWrite = FALSE;
}
DataFile::~DataFile() {
    close();
}
void DataFile::close() {
    if (file) {fclose(file); file = NULL;}
    bRead = bWrite = FALSE;
}
void DataFile::remove() {
    close();
    DeleteFile(filename);
    filename.Empty();
}
BOOL DataFile::rename(LPCTSTR name) {
    close();
    BOOL res = MoveFileEx(filename, name,
        MOVEFILE_COPY_ALLOWED | MOVEFILE_REPLACE_EXISTING);
    if (res) filename = name;
    return res;
}
BOOL DataFile::copy(LPCTSTR name) {
    close();
    return CopyFile(filename, name, FALSE);
}
void DataFile::assign(LPCTSTR filename) {
    close();
    DataFile::filename = filename;
}
void DataFile::openRead() {
    close(); if (filename.IsEmpty()) tempName();
    file = fopen(filename, "rb");
    if (file) bRead = TRUE;
}
void DataFile::openWrite() {
    close(); if (filename.IsEmpty()) tempName();
    file = fopen(filename, "wb");
    if (file) bWrite = TRUE;
}
void DataFile::openExisting() {
    close(); if (filename.IsEmpty()) tempName();
    file = fopen(filename, "r+b");
}

```

```
    if (file) bRead = bWrite = TRUE;
}
void DataFile::openCreate() {
    close(); if (filename.IsEmpty()) tempName();
    file = fopen(filename, "w+b");
    if (file) bRead = bWrite = TRUE;
}
void DataFile::flush() {
    ASSERT(file); fflush(file);
}
void DataFile::seek(long pos) {
    ASSERT(file); fseek(file, pos, SEEK_SET);
}
long DataFile::tell() {
    ASSERT(file); return ftell(file);
}
long DataFile::size() {
    ASSERT(file);
    return _filelength(_fileno(file));
}
void DataFile::tempName() {
    char temppath[MAX_PATH], fn[MAX_PATH];
    GetTempPath(MAX_PATH, temppath);
    GetTempFileName(temppath, "ing", 0, fn);
    filename = fn;
}

//writing
void DataFile::writeChar(char x) {
    ASSERT(file); fwrite(&x, sizeof(char), 1, file);
}
void DataFile::writeByte(BYTE x) {
    ASSERT(file); fwrite(&x, sizeof(BYTE), 1, file);
}
void DataFile::writeShort(short x) {
    ASSERT(file); fwrite(&x, sizeof(short), 1, file);
}
void DataFile::writeWord(WORD x) {
    ASSERT(file); fwrite(&x, sizeof(WORD), 1, file);
}
void DataFile::writeInt(int x) {
    ASSERT(file); fwrite(&x, sizeof(int), 1, file);
}
void DataFile::writeDword(DWORD x) {
    ASSERT(file); fwrite(&x, sizeof(DWORD), 1, file);
}
void DataFile::writeFloat(float x) {
    ASSERT(file); fwrite(&x, sizeof(float), 1, file);
}
void DataFile::writeDouble(double x) {
    ASSERT(file); fwrite(&x, sizeof(double), 1, file);
}
void DataFile::writeString(LPCTSTR x) {
    ASSERT(file);
    size_t len = strlen(x);
    fwrite(x, 1+len, 1, file);
}
void DataFile::write(LPVOID x, size_t length) {
    ASSERT(file); fwrite(x, length, 1, file);
}
```

```

//reading
char DataFile::readChar() {
    ASSERT(file);
    char x; fread(&x, sizeof(char), 1, file); return x;
}
BYTE DataFile::readByte() {
    ASSERT(file);
    BYTE x; fread(&x, sizeof(BYTE), 1, file); return x;
}
short DataFile::readShort() {
    ASSERT(file);
    short x; fread(&x, sizeof(short), 1, file); return x;
}
WORD DataFile::readWord() {
    ASSERT(file);
    WORD x; fread(&x, sizeof(WORD), 1, file); return x;
}
int DataFile::readInt() {
    ASSERT(file);
    int x; fread(&x, sizeof(int), 1, file); return x;
}
DWORD DataFile::readDword() {
    ASSERT(file);
    DWORD x; fread(&x, sizeof(DWORD), 1, file); return x;
}
float DataFile::readFloat() {
    ASSERT(file);
    float x; fread(&x, sizeof(float), 1, file); return x;
}
double DataFile::readDouble() {
    ASSERT(file);
    double x; fread(&x, sizeof(double), 1, file); return x;
}
CString DataFile::readString() {
    ASSERT(file);
    CString cs; char ch;
    for (ch = fgetc(file); ch && (!feof(file)); ch = fgetc(file))
        cs += ch;
    return cs;
}
void DataFile::read(LPVOID buf, size_t length) {
    ASSERT(file); fread(buf, length, 1, file);
}

```

### Fişierul discret.h

```

////////////////////////////////////
// discret.h - header file
////////////////////////////////////

#include "buffers.h"
#include "Material.h"

#ifdef __DISCRET_H
#define __DISCRET_H

#pragma pack (push)
#pragma pack (1)
class Cell {
private:

```

```

    // Ex. Ey, Ez, Hx, Hy, Hz, p, th
    double fv[8];
    int esize, eid;
    double *ebuf;
public:
    int matidx;
public:
    Cell();
    ~Cell();
    double& Ex() {return fv[0];}
    double& Ey() {return fv[1];}
    double& Ez() {return fv[2];}
    double& Hx() {return fv[3];}
    double& Hy() {return fv[4];}
    double& Hz() {return fv[5];}
    double& p() {return fv[6];}
    double& th() {return fv[7];}
    double val(int idx);
    double E() {return val(17);}
    double H() {return val(18);}
    double S() {return val(19);}
    double sigma() {return mat_sigma(matidx, th());}
    double eps() {return mat_eps(matidx, th());}
    double miu() {return mat_miu(matidx, th());}
    void initEBuf(int size);
    BOOL hasEBuf() {return ebuf != NULL;}
    void pushEBuf(double x);
    double avgEBuf();
    void calcAvgEBuf();
    void copyEBuf(Cell *c);
    void logEBuf();
};
#pragma pack (pop)

class Plane {
    Cell *cells;
    int jmax, kmax;
public:
    Plane();
    ~Plane();
    void init(int jmax, int kmax);
    Cell& operator ()(int j, int k);
    BOOL isValid() {return cells != NULL;}
    int size() {return jmax * kmax;}
    int getJMax() {return jmax;}
    int getKMax() {return kmax;}
};

class Discret {
private:
    int if0, if1, jf1, jf2, kf1, kf2, kf3, kfex;
    int is1, is2, js1, js2, ks1, ks2;
    Plane *planes;
    struct WORKER_THREAD_INFO {
        Discret *_this, *prev;
        int iinit, istep;
        double thtime;
    };
    int running_threads, thread_count;
    CEvent **calcStopEvents, **calcMidEvents;
    struct WORKER_THREAD_INFO *wtis;
};

```

```

    int sequence, references;
public:
    double ttime;
    double lambda0, freq, dt;
    DoubleBuffer xcd, ycd, zcd;
    double xoven, xf1, xf2, xs1, xs2;
    double yoven, yf1, yf2, ys1, ys2;
    double zoven, zs1, zs2, zf1, zf2, zf3, zfex;
private:
    void sortAndDivideScalar(DoubleBuffer& rb, double dmin);
    Cell *getCell(int i, int j, int k);
    Cell *getCellX(int i, int j, int k);
    void calch(Discret *pd, int i, int j, int k);
    void calce(Discret *pd, int i, int j, int k, double thtime);
    void calcth(Discret *pd, int i, int j, int k, double thtime);
    static UINT __workerThreadLauncher(LPVOID param);
    UINT workerThread(struct WORKER_THREAD_INFO *wti);
    void waitForMidThreads(int iinit);
    void clearEvents();
public:
    Discret();
    ~Discret();
    void defaults();
    void init(int divfact, int tdiv, BOOL uselog = FALSE);
    void init(Discret *pd);
    BOOL isRunning() {return running_threads > 0;}
    void startCalculate(Discret *pd, double thtime = 0);
    void waitForThreads();
    double value(int idx, double x, double y, double z);
    void excit(double ex);
    int getSequence() {return sequence;}
    void refer() {references++;}
    void discard() {if (--references <= 0) delete this;}
    double avgPwr();
    double maxth();
    void initThFile();
    void updateThFile();
};

#endif//__DISCRET_H

```

### Fişierul discret.cpp

```

#include "stdafx.h"
#include "discret.h"
#include "Utils.h"

DataFile thfile;

////////////////////////////////////
//class Cell
Cell::Cell() {
    memset(this, 0, sizeof(Cell));
}
Cell::~Cell() {
    if (ebuf) delete ebuf;
}
double Cell::val(int idx) {
    switch(idx) {
        default: return fv[idx];
    }
}

```

```

        case 17: return sqrt(sq(fv[0]) + sq(fv[1]) + sq(fv[2]));
        case 18: return sqrt(sq(fv[3]) + sq(fv[4]) + sq(fv[5]));
        case 19: return sqrt(sq(fv[1]*fv[5] - fv[2]*fv[4]) +
            sq(fv[2]*fv[3] - fv[0]*fv[5]) +
            sq(fv[0]*fv[4] - fv[1]*fv[3]));
        case 20: return sq(fv[0]) + sq(fv[1]) + sq(fv[2]);
        case 21: return avgEBuf();
        case 22: return sigma() * avgEBuf();
    }
}

void Cell::initEBuf(int size) {
    if (ebuf) delete ebuf;
    ebuf = new double[size];
    memset(ebuf, 0, size * sizeof(double));
    esize = size; eidx = 0;
}

void Cell::copyEBuf(Cell *c) {
    if (ebuf) {delete ebuf; ebuf = NULL;}
    esize = c->esize;
    if (!esize) return;
    eidx = c->eidx; ebuf = new double[esize];
    memcpy(ebuf, c->ebuf, esize * sizeof(double));
}

void Cell::pushEBuf(double x) {
    ebuf[eidx++] = x;
    if (eidx >= esize) eidx = 0;
}

double Cell::avgEBuf() {
    return fv[6];
}

void Cell::calcAvgEBuf() {
    if (!ebuf) return;
    int k; double s = 0;
    for (k = 0; k < esize; k++) s += ebuf[k];
    fv[6] = s / esize;
}

void Cell::logEBuf() {
    CString cs;
    cs.Format("ebuf: %d/%d avg=%lg", eidx, esize, avgEBuf());
    for (int k = 0; k < esize; k++) cs += Format(" %lg", ebuf[k]);
    log(cs);
}

Cell NullCell;

////////////////////////////////////////////////////////////////////////////////////////////////////////////////////////////////
//class Plane
Plane::Plane() {
    jmax = kmax = 0;
    cells = NULL;
}

Plane::~Plane() {
    if (cells) delete [] cells;
}

void Plane::init(int jmax, int kmax) {
    ASSERT(jmax > 0 && kmax > 0);
    this->jmax = jmax; this->kmax = kmax;
    cells = NULL; cells = new Cell[jmax * kmax];
}

Cell& Plane::operator () (int j, int k) {
    ASSERT((j >= 0) && (j < jmax));
    ASSERT((k >= 0) && (k < kmax));
}

```

```

    return cells[j * kmax + k];
}

/////////////////////////////////////////////////////////////////
//class Discret
Discret::Discret() {
    planes = NULL; dt = 0;
    running_threads = thread_count = 0;
    calcStopEvents = calcMidEvents = NULL;
    SYSTEM_INFO si;
    GetSystemInfo(&si);
    thread_count = si.dwNumberOfProcessors;
    if (thread_count < 1) thread_count = 1;
    sequence = 0; references = 1; ttime = 0;
    defaults();
}
Discret::~Discret() {
    if (planes) delete [] planes;
    clearEvents();
}
void Discret::defaults() {
    freq = 2.45e9; lambda0 = LIGHT / freq;
    xoven = 306; xf1 = -10; xf2 = -25;
    yoven = 306; yf1 = 105; yf2 = 230;
    zoven = 184; zf1 = 70; zf2 = 115; zf3 = 210;

    #if (PAYLOAD == 1)
        xs1 = 3; xs2 = xoven - 3;
        ys1 = 287 - 3; ys2 = ys1 + 20;
        zs1 = 3; zs2 = zoven - 3;
    #elif (PAYLOAD == 2)
        xs1 = xoven - 23; xs2 = xs1 + 20;
        ys1 = 3; ys2 = yoven - 3;
        zs1 = 3; zs2 = zoven - 3;
    #elif (PAYLOAD == 3)
        xs1 = xoven - 207; xs2 = xs1 + 20;
        ys1 = 3; ys2 = yoven - 3;
        zs1 = 3; zs2 = zoven - 3;
    #endif

    //xs1 = 61.5; xs2 = 261.5;
    //ys1 = 117; ys2 = 217;
    //zs1 = 15; zs2 = 55;
    //xs1 = 111.5; xs2 = 211.5;
    //ys1 = 142; ys2 = 192;
    //zs1 = 15; zs2 = 35;

    xoven /= 1000; xf1 /= 1000; xf2 /= 1000;
    yoven /= 1000; yf1 /= 1000; yf2 /= 1000;
    zoven /= 1000; zf1 /= 1000; zf2 /= 1000; zf3 /= 1000;
    xs1 /= 1000; ys1 /= 1000; zs1 /= 1000;
    xs2 /= 1000; ys2 /= 1000; zs2 /= 1000;
}
void Discret::init(Discret *pd) {
    defaults();
    zfex = pd->zfex;
    if0 = pd->if0; if1 = pd->if1; jf1 = pd->jf1; jf2 = pd->jf2;
    kf1 = pd->kf1; kf2 = pd->kf2; kf3 = pd->kf3; kfex = pd->kfex;
    is1 = pd->is1; is2 = pd->is2;
    js1 = pd->js1; js2 = pd->js2;
}

```



```

ks1 = pd->ks1; ks2 = pd->ks2;
xcd.fromRealBuffer(pd->xcd);
ycd.fromRealBuffer(pd->ycd);
zcd.fromRealBuffer(pd->zcd);
planes = new Plane[xcd.size() - 1];
int i, j, k;
for (i = 0; i < xcd.size() - 1; i++) {
    planes[i].init(pd->planes[i].getJMax(), pd->planes[i].getKMax());
}
for (i = is1; i <= is2; i++) {
    for (j = js1; j <= js2; j++) {
        for (k = ks1; k <= ks2; k++) {
            getCell(i, j, k)->matidx = pd->getCell(i, j, k)->matidx;
            getCell(i, j, k)->th() = pd->getCell(i, j, k)->th();
        }
    }
}
ttime = pd->ttime;
}
void Discret::init(int divfact, int tdiv, BOOL uselog) { // divfact >= 10
    zfex = zf3 - lambda0 / 2;
    xcd.empty(); ycd.empty(); zcd.empty();
    xcd.add(0); xcd.add(xoven); xcd.add(xf1); xcd.add(xf2);
    ycd.add(0); ycd.add(yoven); ycd.add(yf1); ycd.add(yf2);
    zcd.add(0); zcd.add(zoven);
    zcd.add(zf1); zcd.add(zf2); zcd.add(zf3);
    zcd.add(zfex);
    xcd.add(xs1); xcd.add(xs2);
    ycd.add(ys1); ycd.add(ys2);
    ycd.add(zs1); ycd.add(zs2);
    double dmax = lambda0 / divfact;
    sortAndDivideScalar(xcd, dmax);
    sortAndDivideScalar(ycd, dmax);
    sortAndDivideScalar(zcd, dmax);
    if0 = xcd.binarySearch(0);
    if1 = xcd.binarySearch(xf1);
    jf1 = ycd.binarySearch(yf1);
    jf2 = ycd.binarySearch(yf2);
    kf1 = zcd.binarySearch(zf1);
    kf2 = zcd.binarySearch(zf2);
    kf3 = zcd.binarySearch(zf3);
    kfex = zcd.binarySearch(zfex);
    if (uselog) {
        logf("imax = %d, jmax = %d, kmax = %d",
            xcd.size() - 1, ycd.size() - 1, zcd.size() - 1);
        logf("if0 = %d, if1 = %d, jf1 = %d, jf2 = %d, kf1 = %d, kf2 = %d, kf3 =
%d",
            if0, if1, jf1, jf2, kf1, kf2, kf3);
    }
    int i, j, k, sz = 0;
    planes = new Plane[xcd.size() - 1];
    for (i = 0; i < if1; i++) {
        planes[i].init(jf2 - jf1, kf3 - kf1);
        sz += planes[i].size();
    }
    for (; i < if0; i++) {
        planes[i].init(jf2 - jf1, kf2 - kf1);
        sz += planes[i].size();
    }
    for (; i < xcd.size() - 1; i++) {
        planes[i].init(ycd.size() - 1, zcd.size() - 1);

```

```

    sz += planes[i].size();
}
if (uselog) {
    logf("number of cells: %d", sz);
    logf("total memory per discretization: %d KB", sz * sizeof(Cell) / 1024);
}

is1 = xcd.binarySearch(xs1); is2 = xcd.binarySearch(xs2);
js1 = ycd.binarySearch(ys1); js2 = ycd.binarySearch(ys2);
ks1 = zcd.binarySearch(zs1); ks2 = zcd.binarySearch(zs2);
for (i = is1; i <= is2; i++) {
    for (j = js1; j <= js2; j++) {
        for (k = ks1; k <= ks2; k++) {
            getCell(i, j, k)->matidx = 1;
            getCell(i, j, k)->initEBuf(tdiv);
        }
    }
}
}
}

void Discret::sortAndDivideScalar(DoubleBuffer& rb, double dmax) {
    int i, j, k; rb.sort();
    double r1, r2;
    for (k = rb.size() - 2; k >= 0; k--) {
        r1 = rb[k]; r2 = rb[k + 1];
        i = (int)ceil((r2 - r1) / dmax);
        if (i <= 1) continue;
        for (j = i - 1; j > 0; j--) {
            rb.insert(r1 + (r2 - r1) * j / i, k + 1);
        }
    }
    for (k = rb.size() - 2; k >= 0; k--) {
        if (rb[k] == rb[k + 1]) rb.remove(k + 1);
    }
    ASSERT(rb.size() > 2);
}

Cell *Discret::getCell(int i, int j, int k) {
    if (i < 0) {
        return NULL;
    } else if (i < if1) {
        if (j < jf1 || k < kf1 || j >= jf2 || k >= kf3) return NULL;
        return &planes[i](j - jf1, k - kf1);
    } else if (i < if0) {
        if (j < jf1 || k < kf1 || j >= jf2 || k >= kf2) return NULL;
        return &planes[i](j - jf1, k - kf1);
    } else if (i < xcd.size() - 1) {
        if (j < 0 || k < 0 ||
            j >= ycd.size() - 1 || k >= zcd.size() - 1) return NULL;
        return &planes[i](j, k);
    } else return NULL;
}

Cell *Discret::getCellX(int i, int j, int k) {
    Cell *c = getCell(i, j, k);
    return c ? c : &NullCell;
}

void Discret::calch(Discret *pd, int i, int j, int k) {
    Cell *c = getCell(i, j, k); if (!c) return;
    Cell *pc = pd->getCell(i, j, k); ASSERT(pc);
    double dx = xcd[i+1] - xcd[i];
    double dy = ycd[j+1] - ycd[j];
    double dz = zcd[k+1] - zcd[k];
    double u, v, dt = this->dt / 2;
}

```

```

Cell *pci, *pcj, *pck;
pci = pd->getCellX(i-1, j, k);
pcj = pd->getCellX(i, j-1, k);
pck = pd->getCellX(i, j, k-1);

u = (pc->Ey() - pck->Ey()) / dz;
v = (pc->Ez() - pcj->Ez()) / dy;
c->Hx() = pc->Hx() + (u - v) * dt / c->miu();
ASSERT(!_isnan(c->Hx()));
u = (pc->Ez() - pci->Ez()) / dx;
v = (pc->Ex() - pck->Ex()) / dz;
c->Hy() = pc->Hy() + (u - v) * dt / c->miu();
ASSERT(!_isnan(c->Hy()));
u = (pc->Ex() - pcj->Ex()) / dy;
v = (pc->Ey() - pci->Ey()) / dx;
c->Hz() = pc->Hz() + (u - v) * dt / c->miu();
ASSERT(!_isnan(c->Hz()));
}
void Discret::calce(Discret *pd, int i, int j, int k, double thtime) {
Cell *c = getCell(i, j, k); if (!c) return;
Cell *pc = pd->getCell(i, j, k); ASSERT(pc);
double dx = xcd[i+1] - xcd[i];
double dy = ycd[j+1] - ycd[j];
double dz = zcd[k+1] - zcd[k];
double u, v, dt = this->dt / 2;
double w = dt / c->eps(), ww = 1 - w * c->sigma();
Cell *ci, *cj, *ck;
ci = getCellX(i+1, j, k);
cj = getCellX(i, j+1, k);
ck = getCellX(i, j, k+1);

u = (cj->Hz() - c->Hz()) / dy;
v = (ck->Hy() - c->Hy()) / dz;
c->Ex() = pc->Ex() * ww + (u - v) * w;
ASSERT(!_isnan(c->Ex()));
u = (ck->Hx() - c->Hx()) / dz;
v = (ci->Hz() - c->Hz()) / dx;
c->Ey() = pc->Ey() * ww + (u - v) * w;
ASSERT(!_isnan(c->Ey()));
u = (ci->Hy() - c->Hy()) / dx;
v = (cj->Hx() - c->Hx()) / dy;
c->Ez() = pc->Ez() * ww + (u - v) * w;
ASSERT(!_isnan(c->Ez()));

if (pc->hasEBuf()) {
c->copyEBuf(pc);
c->pushEBuf(c->val(20));
c->calcAvgEBuf();
calcth(pd, i, j, k, thtime);
}
}
void Discret::calcth(Discret *pd, int i, int j, int k, double thtime) {
if (thtime == 0) return;
Cell *c = getCell(i, j, k); if (!c) return;
Cell *pc = pd->getCell(i, j, k); ASSERT(pc);
double dx = xcd[i+1] - xcd[i];
double dy = ycd[j+1] - ycd[j];
double dz = zcd[k+1] - zcd[k];
double a = mat_a(c->matidx, c->th());
double lambda = mat_lambda(c->matidx, c->th());

```

```

Cell *cip, *cjp, *ckp, *cim, *cjm, *ckm;
cip = getCellX(i+1, j, k); cim = getCellX(i-1, j, k);
cjp = getCellX(i, j+1, k); cjm = getCellX(i, j-1, k);
ckp = getCellX(i, j, k+1); ckm = getCellX(i, j, k-1);
double tx, ty, tz;
if (i == is1) tx = 2 * (cip->th() - c->th());
else if (i == is2 - 1) tx = 2 * (cim->th() - c->th());
else tx = cip->th() + cim->th() - 2 * c->th();
if (j == js1) ty = 2 * (cjp->th() - c->th());
else if (j == js2 - 1) ty = 2 * (cjm->th() - c->th());
else ty = cjp->th() + cjm->th() - 2 * c->th();
if (k == ks1) tz = 2 * (ckp->th() - c->th());
else if (k == ks2 - 1) tz = 2 * (ckm->th() - c->th());
else tz = ckp->th() + ckm->th() - 2 * c->th();

c->th() += a * (c->p() / lambda + tx / sq(dx) + ty / sq(dy) + tz / sq(dz));
}
UINT Discret::_workerThreadLauncher(LPVOID param) {
    struct WORKER_THREAD_INFO *wti = (struct WORKER_THREAD_INFO *)param;
    UINT res = wti->_this->workerThread(wti);
    return res;
}
UINT Discret::workerThread(struct WORKER_THREAD_INFO *wti) {
    running_threads++;
    int i, j, k; BOOL first;
    int jmin, jmax, kmin, kmax, imax = xcd.size() - 1;
    for (first = TRUE, i = wti->iinit; i < imax; i += wti->istep) {
        if (first) {
            if (i < if0) {
                if (i < if0) {
                    jmin = jf1; jmax = jf2;
                    kmin = kf1; kmax = (i < if1) ? kf3 : kf2;
                } else {
                    jmin = 0; jmax = ycd.size() - 1;
                    kmin = 0; kmax = zcd.size() - 1;
                    first = FALSE;
                }
            }
            for (j = jmin; j < jmax; j++) for (k = kmin; k < kmax; k++) {
                calch(wti->prev, i, j, k);
            }
        }
        waitForMidThreads(wti->iinit);
        for (first = TRUE, i = wti->iinit; i < imax; i += wti->istep) {
            if (first) {
                if (i < if0) {
                    if (i < if0) {
                        jmin = jf1; jmax = jf2;
                        kmin = kf1; kmax = (i < if1) ? kf3 : kf2;
                    } else {
                        jmin = 0; jmax = ycd.size() - 1;
                        kmin = 0; kmax = zcd.size() - 1;
                        first = FALSE;
                    }
                }
            }
            for (j = jmin; j < jmax; j++) for (k = kmin; k < kmax; k++) {
                calce(wti->prev, i, j, k, wti->thtime);
            }
        }
        running_threads--;
        calcStopEvents[wti->iinit]->SetEvent();
        return 0;
    }
}

```

```

void Discret::startCalculate(Discret *pd, double thtime) {
    clearEvents();
    sequence = 1 + pd->sequence;
    wtis = new struct WORKER_THREAD_INFO[thread_count];
    calcStopEvents = new CEvent *[thread_count];
    calcMidEvents = new CEvent *[thread_count];
    int k;
    for (k = 0; k < thread_count; k++) {
        wtis[k]._this = this;
        wtis[k].istep = thread_count;
        wtis[k].prev = pd;
        wtis[k].iinit = k;
        wtis[k].thtime = thtime;
        calcStopEvents[k] = new CEvent(FALSE, TRUE);
        calcMidEvents[k] = new CEvent(FALSE, TRUE);
    }
    for (k = 0; k < thread_count; k++) {
        CWinThread *t = AfxBeginThread(__workerThreadLauncher,
            &wtis[k], THREAD_PRIORITY, 0, CREATE_SUSPENDED);
        SetThreadAffinityMask(t->m_hThread, 1 << k);
        t->ResumeThread();
    }
}
void Discret::waitForThreads() {
    CMultiLock lock((CSyncObject **)calcStopEvents, thread_count);
    lock.Lock(INFINITE, TRUE);
}
void Discret::waitForMidThreads(int i) {
    if (thread_count <= 1) return;
    calcMidEvents[i]->SetEvent();
    CMultiLock lock((CSyncObject **)calcMidEvents, thread_count);
    lock.Lock(INFINITE, TRUE);
}
void Discret::clearEvents() {
    int k;
    for (k = 0; k < thread_count; k++) {
        if (calcStopEvents) delete calcStopEvents[k];
        if (calcMidEvents) delete calcMidEvents[k];
    }
    if (calcStopEvents) delete calcStopEvents;
    if (calcMidEvents) delete calcMidEvents;
    calcStopEvents = calcMidEvents = NULL;
}
double Discret::value(int idx, double x, double y, double z) {
    int i, j, k;
    i = xcd.binarySearch2(x);
    j = ycd.binarySearch2(y);
    k = zcd.binarySearch2(z);
    if (i < 0 || j < 0 || k < 0) return NAN;
    double qz = (z - zcd[k]) / (zcd[k+1] - zcd[k]);
    double vz00 = qz * getCellX(i, j, k+1)->val(idx) +
        (1 - qz) * getCellX(i, j, k)->val(idx);
    double vz01 = qz * getCellX(i, j+1, k+1)->val(idx) +
        (1 - qz) * getCellX(i, j+1, k)->val(idx);
    double vz10 = qz * getCellX(i+1, j, k+1)->val(idx) +
        (1 - qz) * getCellX(i+1, j, k)->val(idx);
    double vz11 = qz * getCellX(i+1, j+1, k+1)->val(idx) +
        (1 - qz) * getCellX(i+1, j+1, k)->val(idx);
    double qy = (y - ycd[j]) / (ycd[j+1] - ycd[j]);
    double vy0 = qy * vz01 + (1 - qy) * vz00;
    double vy1 = qy * vz11 + (1 - qy) * vz10;
}

```

```

    double qx = (x - xcd[i]) / (xcd[i+1] - xcd[i]);
    double res = qx * vy1 + (1 - qx) * vy0;
    return res;
}
void Discret::excit(double ex) {
    int i, j, k; Cell *c;
    k = kfex;
    for (i = 0; i < if1; i++) {
        for (j = jf1; j < jf2; j++) {
            c = getCell(i, j, k);
            c->Ex() = ex;
        }
    }
}
double Discret::avgPwr() {
    double res = 0;
    Cell *c; int i, j, k;
    for (i = is1; i <= is2; i++) {
        for (j = js1; j <= js2; j++) {
            for (k = ks1; k <= ks2; k++) {
                c = getCell(i, j, k);
                if (!c->hasEBuf()) continue;
                res += c->avgEBuf() * c->sigma() *
                    (xcd[i+1] - xcd[i]) *
                    (ycd[j+1] - ycd[j]) *
                    (zcd[k+1] - zcd[k]);
            }
        }
    }
    return res;
}
double Discret::maxth() {
    double res = -300;
    Cell *c; int i, j, k;
    for (i = is1; i <= is2; i++) {
        for (j = js1; j <= js2; j++) {
            for (k = ks1; k <= ks2; k++) {
                c = getCell(i, j, k);
                if (!c->hasEBuf()) continue;
                if (res < c->th()) res = c->th();
            }
        }
    }
    return res;
}
void Discret::initThFile() {
    thfile.assign(getWorkDir() + "\\thf.fdt");
    thfile.openWrite();
    thfile.writeString("FDTD2");
    thfile.writeFloat(xs2 - xs1);
    thfile.writeFloat(ys2 - ys1);
    thfile.writeFloat(zs2 - zs1);
    thfile.writeInt(is2 - is1 + 1);
    thfile.writeInt(js2 - js1 + 1);
    thfile.writeInt(ks2 - ks1 + 1);
}
void Discret::updateThFile() {
    if (!thfile.isOpen()) return;
    thfile.writeString("seq");
    thfile.writeInt(sequence);
    thfile.writeFloat(ttime);
}

```

```

Cell *c; int i, j, k;
for (i = is1; i <= is2; i++) {
    for (j = js1; j <= js2; j++) {
        for (k = ks1; k <= ks2; k++) {
            c = getCell(i, j, k);
            thfile.writeFloat(c->E());
            thfile.writeFloat(c->p());
            thfile.writeFloat(c->th());
        }
    }
}
}
}

```

### Fișierul ftdtd1Dlg.h

```

// ftdtd1Dlg.h : header file
//
#include "discret.h"

#ifdef !defined(AFX_FDTD1DLG_H__2ADE0C74_AB3C_4D0F_AE66_0B86324B2473__INCLUDED_)
#define AFX_FDTD1DLG_H__2ADE0C74_AB3C_4D0F_AE66_0B86324B2473__INCLUDED_

#if _MSC_VER > 1000
#pragma once
#endif // _MSC_VER > 1000

#define STATE_INIT 0
#define STATE_RUNNING 1
#define STATE_PAUSED 2

////////////////////////////////////
// CFtdtd1Dlg dialog

class CFtdtd1Dlg : public CDialog {
private:
    CDC *mdc;
    CBitmap *mBitmap, *oldBitmap;
    Discret *dis, *prevdis, *paintdis;
    volatile int state;
private:
    static UINT __threadLauncher(LPVOID _this);
    void thread();
    BOOL paintGraph(Discret *d, LPCTSTR imgFileName);
    static UINT __paintThreadLauncher(LPVOID _dis);
    void paintThread();
    void startPaintThread();

// Construction
public:
    CFtdtd1Dlg(CWnd* pParent = NULL); // standard constructor

// Dialog Data
//{{AFX_DATA(CFtdtd1Dlg)
enum { IDD = IDD_FDTD1_DIALOG };
// NOTE: the ClassWizard will add data members here
//}}AFX_DATA

// ClassWizard generated virtual function overrides
//{{AFX_VIRTUAL(CFtdtd1Dlg)
protected:

```

```

    //}}AFX_VIRTUAL

// Implementation
protected:
    HICON m_hIcon;

    // Generated message map functions
    //{{AFX_MSG(CFtd1Dlg)
    virtual BOOL OnInitDialog();
    afx_msg void OnSysCommand(UINT nID, LPARAM lParam);
    afx_msg void OnPaint();
    afx_msg HCURSOR OnQueryDragIcon();
    virtual void OnOK();
    afx_msg void OnDrawItem(int nIDCtl, LPDRAWITEMSTRUCT lpDrawItemStruct);
    //}}AFX_MSG
    DECLARE_MESSAGE_MAP()
};

//{{AFX_INSERT_LOCATION}}
// Microsoft Visual C++ will insert additional declarations immediately before
the previous line.

#endif //
!defined(AFX_FDTD1DLG_H__2ADE0C74_AB3C_4D0F_AE66_0B86324B2473__INCLUDED_)

```

#### Fişierul ftd1Dlg.cpp

```

#include "stdafx.h"
#include "ftd1.h"
#include "ftd1Dlg.h"
#include "Utils.h"
#include "Bitmap.h"
#include "discret.h"

#ifdef _DEBUG
#define new DEBUG_NEW
#undef THIS_FILE
static char THIS_FILE[] = __FILE__;
#endif

COLORREF colorv(double x) {
    if (_isnan(x)) return (COLORREF)0xFFFFFFFF;
    if (x < 0) return 0;
    x = pow(x, 0.25);
    int r, g, b;
    r = 255 * x; b = 255 * (1 - x);
    g = (x > 0.5) ? (510 * (1 - x)) : (510 * x);
    return RGB(r, g, b);
}

CString getWorkDir() {
    return CString(getenv("temp")) + "\\_ftd2_workdir";
}

////////////////////////////////////////////////////////////////////////////////////////////////////////////////////////////////
// CAboutDlg dialog used for App About
class CAboutDlg : public CDialog
{
public:
    CAboutDlg();

```



```

// Dialog Data
//{{AFX_DATA(CAboutDlg)
enum { IDD = IDD_ABOUTBOX };
//}}AFX_DATA

// ClassWizard generated virtual function overrides
//{{AFX_VIRTUAL(CAboutDlg)
protected:
//}}AFX_VIRTUAL

// Implementation
protected:
//{{AFX_MSG(CAboutDlg)
//}}AFX_MSG
DECLARE_MESSAGE_MAP()
};

CAboutDlg::CAboutDlg() : CDialog(CAboutDlg::IDD)
{
   //{{AFX_DATA_INIT(CAboutDlg)
   //}}AFX_DATA_INIT
}

BEGIN_MESSAGE_MAP(CAboutDlg, CDialog)
   //{{AFX_MSG_MAP(CAboutDlg)
    // No message handlers
   //}}AFX_MSG_MAP
END_MESSAGE_MAP()

/////////////////////////////////////////////////////////////////
// CFdtd1Dlg dialog

CFdtd1Dlg::CFdtd1Dlg(CWnd* pParent /*=NULL*/)
    : CDialog(CFdtd1Dlg::IDD, pParent)
{
   //{{AFX_DATA_INIT(CFdtd1Dlg)
    // NOTE: the ClassWizard will add member initialization here
   //}}AFX_DATA_INIT
    // Note that LoadIcon does not require a subsequent DestroyIcon in Win32
    m_hIcon = AfxGetApp()->LoadIcon(IDR_MAINFRAME);
}

BEGIN_MESSAGE_MAP(CFdtd1Dlg, CDialog)
   //{{AFX_MSG_MAP(CFdtd1Dlg)
    ON_WM_SYSCOMMAND()
    ON_WM_PAINT()
    ON_WM_QUERYDRAGICON()
    ON_WM_DRAWITEM()
   //}}AFX_MSG_MAP
END_MESSAGE_MAP()

/////////////////////////////////////////////////////////////////
// CFdtd1Dlg message handlers
BOOL CFdtd1Dlg::OnInitDialog() {
    CDialog::OnInitDialog();
    ASSERT((IDM_ABOUTBOX & 0xFFF0) == IDM_ABOUTBOX);
    ASSERT(IDM_ABOUTBOX < 0xF000);
    CMenu* pSysMenu = GetSystemMenu(FALSE);
    if (pSysMenu != NULL) {
        CString strAboutMenu;

```

```

    strAboutMenu.LoadString(IDS_ABOUTBOX);
    if (!strAboutMenu.IsEmpty()) {
        pSysMenu->AppendMenu(MF_SEPARATOR);
        pSysMenu->AppendMenu(MF_STRING, IDM_ABOUTBOX, strAboutMenu);
    }
}
SetIcon(m_hIcon, TRUE); SetIcon(m_hIcon, FALSE);
// TODO: Add extra initialization here
CreateDirectory(getWorkDir(), NULL);
CWnd *wnd; CRect rect; CDC *dc;

wnd = GetDlgItem(IDC_GRAPH);
SetOwnerDraw(wnd); wnd->GetClientRect(rect);
dc = wnd->GetDC();
mdc = new CDC; mBitmap = new CBitmap;
mdc->CreateCompatibleDC(dc);
mBitmap->CreateCompatibleBitmap(dc, rect.Width(), rect.Height());
oldBitmap = mdc->SelectObject(mBitmap);
dis = prevdis = paintdis = NULL;
state = STATE_INIT;
return TRUE; // return TRUE unless you set the focus to a control
}
void CFdtd1Dlg::OnSysCommand(UINT nID, LPARAM lParam) {
    if ((nID & 0xFFFF) == IDM_ABOUTBOX) {
        CAboutDlg dlgAbout;
        dlgAbout.DoModal();
    } else CDialog::OnSysCommand(nID, lParam);
}
void CFdtd1Dlg::OnPaint() {
    if (IsIconic()) {
        CPaintDC dc(this);
        SendMessage(WM_ICONERASEBKGD, (WPARAM) dc.GetSafeHdc(), 0);
        int cxIcon = GetSystemMetrics(SM_CXICON);
        int cyIcon = GetSystemMetrics(SM_CYICON);
        CRect rect; GetClientRect(&rect);
        int x = (rect.Width() - cxIcon + 1) / 2;
        int y = (rect.Height() - cyIcon + 1) / 2;
        dc.DrawIcon(x, y, m_hIcon);
    } else CDialog::OnPaint();
}
HCURSOR CFdtd1Dlg::OnQueryDragIcon() {return (HCURSOR) m_hIcon;}

BOOL CFdtd1Dlg::paintGraph(Discret *d, LPCTSTR imgFileName) {
    CWnd *wnd; CRect rt, irt;
    int i, j, imax, jmax;
    double x, y, z, u, umin, umax;
    double *fp;

    wnd = GetDlgItem(IDC_GRAPH); wnd->GetClientRect(rt);
    mdc->FillRect(rt, &CBrush(RGB(255, 255, 255)));
    irt = rt; irt.DeflateRect(0, 0, 30, 0);
    imax = irt.Width(); jmax = irt.Height();
    umin = umax = 0;
    fp = new double[imax * jmax];
    for (i = 0; i < imax; i++) {
        for (j = 0; j < jmax; j++) {
            //x = d->xf2 + (d->xoven - d->xf2) * i / imax;
            //x = d->xoven * i / imax;
            //y = d->yoven * 0.5;
            //z = (d->zsl + d->zsl2) * 0.5;
            //z = d->zoven * j / jmax;

```

```

#if (PAYLOAD == 1)
    x = d->xs1 + (d->xs2 - d->xs1) * i / imax;
    y = d->ys1;
    z = d->zs1 + (d->zs2 - d->zs1) * j / jmax;
#else
    x = d->xs2;
    y = d->ys1 + (d->ys2 - d->ys1) * i / imax;
    z = d->zs1 + (d->zs2 - d->zs1) * j / jmax;
#endif

    fp[i + j*imax] = u = sq(d->value(22, x, y, z));
    if (_isnan(u)) continue;
    if (umin > u) umin = u;
    if (umax < u) umax = u;
}
}
SetDlgItemText(IDC_TEXT, Format("P: %lg, u: %lg - %lg, th: %lg, time: %lg",
d->avgPwr(), umin, umax, d->maxth(), d->ttime));
if (umax - umin == 0) {
    umax = 1 + umin; delete fp; return FALSE;
}
for (i = 0; i < imax; i++) {
    for (j = 0; j < jmax; j++) {
        mdc->SetPixelV(i, jmax - 1 - j,
            colorv((fp[i + j*imax] - umin) / (umax - umin)));
    }
}
delete fp;
CPen *pen, *oldpen;
for (j = 0; j < jmax; j++) {
    pen = new CPen(PS_SOLID, 0, colorv(1 - (double)j/jmax));
    oldpen = mdc->SelectObject(pen);
    mdc->MoveTo(irt.right + 10, j);
    mdc->LineTo(irt.right + 30, j);
    mdc->SelectObject(oldpen);
    delete pen;
}
if (imgFileName) {
    SaveTrueColorBitmap(mdc->m_hDC, rt, *mBitmap, imgFileName);
}
wnd->Invalidate();
return TRUE;
}
void CFdtd1Dlg::OnDrawItem(int nIDCtl, LPDRAWITEMSTRUCT p) {
    CDialog::OnDrawItem(nIDCtl, p);
    CWnd *wnd; CRect rt;
    switch (nIDCtl) {
        case IDC_GRAPH:
            wnd = GetDlgItem(nIDCtl); wnd->GetClientRect(rt);
            wnd->GetDC()->BitBlt(0, 0, rt.Width(), rt.Height(),
                mdc, 0, 0, SRCCOPY);
            break;
    }
}
void CFdtd1Dlg::OnOK() {
    GetDlgItem(IDOK)->EnableWindow(FALSE);
    if (state == STATE_INIT) {
        SetDlgItemText(IDOK, "Pause");
        state = STATE_RUNNING;
        SYSTEM_INFO si;
        GetSystemInfo(&si);
        CWinThread *t = AfxBeginThread(__threadLauncher,

```

```

        this, THREAD_PRIORITY, 0, CREATE_SUSPENDED);
    SetThreadAffinityMask(t->m_hThread,
        1 << (si.dwNumberOfProcessors - 1));
    t->ResumeThread();
} else if (state == STATE_RUNNING) {
    state = STATE_PAUSED;
    SetDlgItemText(IDOK, "Resume");
} else {
    state = STATE_RUNNING;
    SetDlgItemText(IDOK, "Pause");
}
}
}
UINT CFdtd1Dlg::_threadLauncher(LPVOID _this) {
    ((CFdtd1Dlg*)_this)->thread(); return 0;
}
void CFdtd1Dlg::thread() {
    SetDlgItemText(IDC_STATUS, "Started");
    BOOL dopics = IsDlgButtonChecked(IDC_SAVE_PICS);
    double time = 0, T, dt, tht;
    int step;
    prevdis = new Discret();
    prevdis->init(DIVFACT, TDIV, TRUE);
    T = 1 / prevdis->freq;
    dt = T / (2 * TDIV);
    prevdis->initThFile();
    while (true) {
        GetDlgItem(IDOK)->EnableWindow(TRUE);
        if (state == STATE_PAUSED) {
            Sleep(100); continue;
        }
        step = 1 + prevdis->getSequence() - INIT_STEPS;
        if (step >= 0 && step % STEPS == 0) tht = 1;
        else tht = 0;
        dis = new Discret();
        dis->init(prevdis);
        dis->dt = dt;
        prevdis->excit(EXCIT * sin(M_2_PI * dis->freq * time));
        dis->startCalculate(prevdis, tht);
        dis->waitForThreads();
        time += dt;

        if (dopics) {
            if (dis->getSequence() % TDIV == 0) {
                paintGraph(dis, getWorkDir() +
                    Format("\\%08d.bmp", dis->getSequence()));
                SetDlgItemText(IDC_STATUS,
                    Format("Step %d", dis->getSequence()));
            }
        } else {
            if (!paintdis) {
                if (dis->getSequence() % TDIV == 0) {
                    paintdis = dis;
                    startPaintThread();
                }
            }
        }
        prevdis->discard(); prevdis = dis;

        if (tht != 0) {
            dis->ttime += tht;
            dis->updateThFile();
        }
    }
}

```

```

    }

    if (dis->ttime >= MAXTIME
        || dis->getSequence() >= MAXSTEPS
        || dis->maxth() > MAXTEMP) {
        state = STATE_PAUSED;
        SetDlgItemText(IDOK, "Resume");
    }
}

}

UINT CFdtd1Dlg::__paintThreadLauncher(LPVOID _this) {
    ((CFdtd1Dlg*)_this)->paintThread(); return 0;
}

void CFdtd1Dlg::paintThread() {
    ASSERT(paintdis);
    paintGraph(paintdis, NULL);
    SetDlgItemText(IDC_STATUS,
        Format("Step %d", paintdis->getSequence()));
    paintdis->discard(); paintdis = NULL;
}

void CFdtd1Dlg::startPaintThread() {
    paintdis->refer();
    SYSTEM_INFO si;
    GetSystemInfo(&si);
    CWinThread *t = AfxBeginThread(_paintThreadLauncher,
        this, THREAD_PRIORITY, 0, CREATE_SUSPENDED);
    SetThreadAffinityMask(t->m_hThread,
        1 << (si.dwNumberOfProcessors - 1));
    t->ResumeThread();
}

```

### Fişierul Material.h

```

////////////////////////////////////////////////////////////////////////////////////////////////////////////////////////////////
// Material.h - header file
////////////////////////////////////////////////////////////////////////////////////////////////////////////////////////////////

#ifndef __MATERIAL_H
#define __MATERIAL_H

double mat_sigma(int idx, double th);
double mat_eps(int idx, double th);
double mat_miu(int idx, double th);
double mat_a(int idx, double th);
double mat_c(int idx, double th);
double mat_ro(int idx, double th);
double mat_lambda(int idx, double th);

#endif// __MATERIAL_H

```

### Fişierul Material.cpp

```

#include "stdafx.h"
#include "Material.h"

#define EPS2 (EPS0 * M_2_PI * 2.45E9)

double mat_miu(int idx, double th) {

```

```

    return MIU0;
}
double mat_sigma(int idx, double th) {
    double x;
    switch (idx) {
        default: return 0;
        case 1: x = EPS2 * 0.2;
    }
    return EPS2 * (x > 0.01 ? x : 0.01);
}
double mat_eps(int idx, double th) {
    switch (idx) {
        default: return EPS0;
        case 1: return 2 * EPS0;
    }
}
double mat_a(int idx, double th) {
    switch (idx) {
        case 1: return 1.2e-6;
    }
    return mat_lambda(idx, th) / (mat_c(idx, th) * mat_ro(idx, th));
}
double mat_c(int idx, double th) {
    switch (idx) {
        default: return 0;
        case 1: return 2200;
    }
}
double mat_ro(int idx, double th) {
    switch (idx) {
        default: return 0;
        case 1: return 380;
    }
}
double mat_lambda(int idx, double th) {
    switch (idx) {
        default: return 0;
        case 1: return 0.16;
    }
}
}

```

### Fişierul Utils.h

```

#ifndef __UTILS_H
#define __UTILS_H

void SetOwnerDraw(HWND hwnd);
void SetOwnerDraw(CWnd *wnd);
CString Format(LPCTSTR lpszFormat, ...);
void MsgBox(LPCTSTR lpszFormat, ...);
CString hms(int nsec);
CString mseconds(double x);

double __forceinline sq(double x) {return x*x;}
double ipwr(double x, int k);
int round(double x);

void sizeRectToInclude(CRect& rt, POINT& p);
void setRectMaximalSize(CRect& rtmax, CRect& rt);
void drawRectangle(CDC *dc, CRect& rt);

```

```

POINT pointOnLine(POINT& p, POINT& q, float t);
CString getExeDir();
CString getDefaultsFile();

void log(LPCTSTR string);
void logf(LPCTSTR lpszFormat, ...);

#ifdef __UTILS_H

```

### Fisierul Utils.cpp

```

#include "stdafx.h"
#include "Utils.h"

void SetOwnerDraw(HWND hwnd) {
    SetWindowLong(hwnd, GWL_STYLE,
        SS_OWNERDRAW|GetWindowLong(hwnd, GWL_STYLE));
}
void SetOwnerDraw(CWnd *wnd) {
    SetOwnerDraw(wnd->m_hWnd);
}

CString Format(LPCTSTR lpszFormat, ...) {
    CString cs;
    va_list argList;
    va_start(argList, lpszFormat);
    cs.FormatV(lpszFormat, argList);
    va_end(argList);
    return cs;
}

void MsgBox(LPCTSTR lpszFormat, ...) {
    CString cs;
    va_list argList;
    va_start(argList, lpszFormat);
    cs.FormatV(lpszFormat, argList);
    va_end(argList);
    AfxMessageBox(cs);
}

CString hms(int nsec) {
    if (nsec <= 0) return "00";
    CString cs;
    cs.Format("%02d", nsec % 60); nsec /= 60;
    if (nsec) {
        cs.Insert(0, Format("%02d:", nsec % 60)); nsec /= 60;
        if (nsec) cs.Insert(0, Format("%02d:", nsec));
    }
    return cs;
}

CString mseconds(double x) {
    ASSERT(x >= 0);
    if (x < 1e-3) return Format("%.11f us", x*1e6);
    if (x < 1) return Format("%.11f ms", x*1e3);
    return Format("%.11f s", x);
}

double ipwr(double x, int k) {
    if (k > 0) {
        double xx = x, res = 1;
        for( ; k; k >>= 1, xx *= xx) {
            if (k & 1) res *= xx;
        }
        return res;
    }
}

```

```

    } else if (k < 0) {
        return 1/ipwr(x, -k);
    } else return 1;
}
int round(double x) {
    int r = (int)x;
    if (x - r <= 0.5) return r;
    return r + 1;
}

void sizeRectToInclude(CRect& rt, POINT& p) {
    if (rt.left > p.x) rt.left = p.x;
    if (rt.right < p.x) rt.right = p.x;
    if (rt.top > p.y) rt.top = p.y;
    if (rt.bottom < p.y) rt.bottom = p.y;
}

void setRectMaximalSize(CRect& rtmax, CRect& rt) {
    if (rt.left < rtmax.left) rt.left = rtmax.left;
    if (rt.top < rtmax.top) rt.top = rtmax.top;
    if (rt.right > rtmax.right) rt.right = rtmax.right;
    if (rt.bottom > rtmax.bottom) rt.bottom = rtmax.bottom;
}

void drawRectangle(CDC *dc, CRect& rt) {
    dc->MoveTo(rt.left, rt.top);
    dc->LineTo(rt.left, rt.bottom);
    dc->LineTo(rt.right, rt.bottom);
    dc->LineTo(rt.right, rt.top);
    dc->LineTo(rt.left, rt.top);
}

POINT pointOnLine(POINT& p, POINT& q, float t) {
    POINT r;
    r.x = p.x + (q.x - p.x)*t;
    r.y = p.y + (q.y - p.y)*t;
    return r;
}

CString getExeDir() {
    CString cs(GetCommandLine());
    cs = cs.Mid(1, cs.Find('\\"), 1) - 1);
    return cs.Left(1 + cs.ReverseFind('\\"));
}

CString getDefaultFile() {
    return getExeDir() + "ingot-defaults.mdf";
}

void log(LPCTSTR string) {
    FILE *f = fopen(getWorkDir() + "\\fdtdl.log", "at+");
    fputs(string, f); fputc('\n', f); fclose(f);
}

void logf(LPCTSTR lpszFormat, ...) {
    CString cs;
    va_list argList;
    va_start(argList, lpszFormat);
    cs.FormatV(lpszFormat, argList);
    va_end(argList);
    log(cs);
}

```